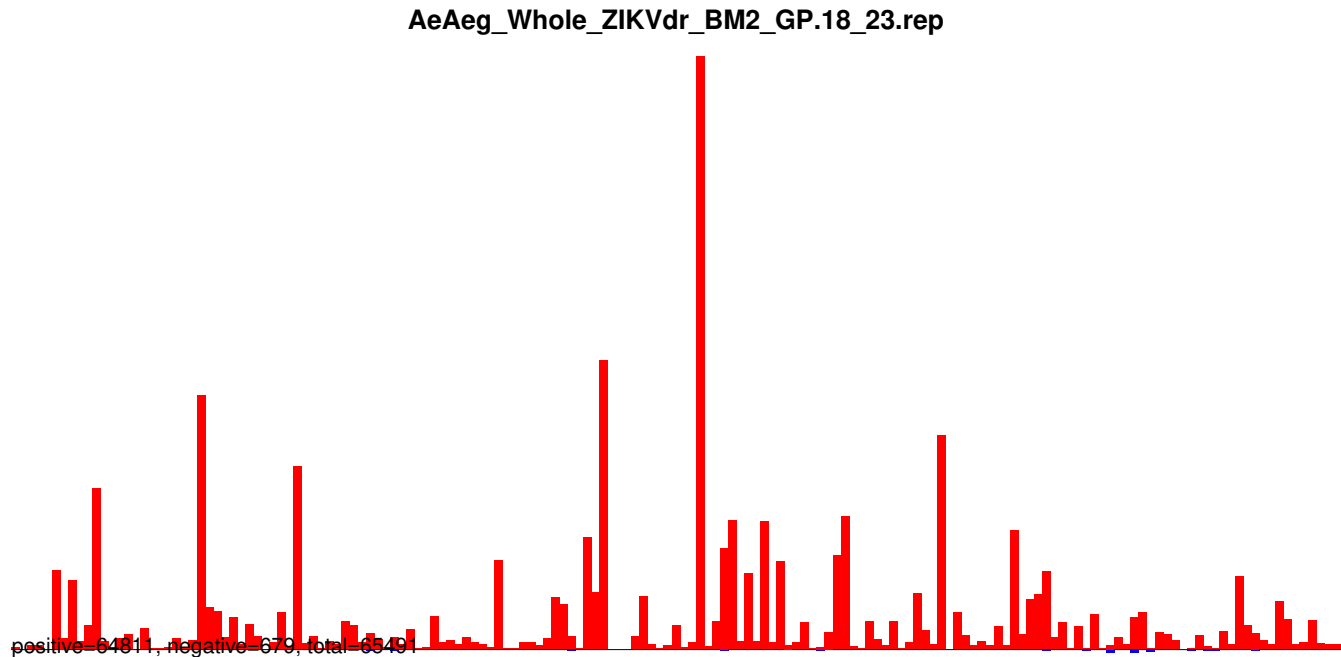
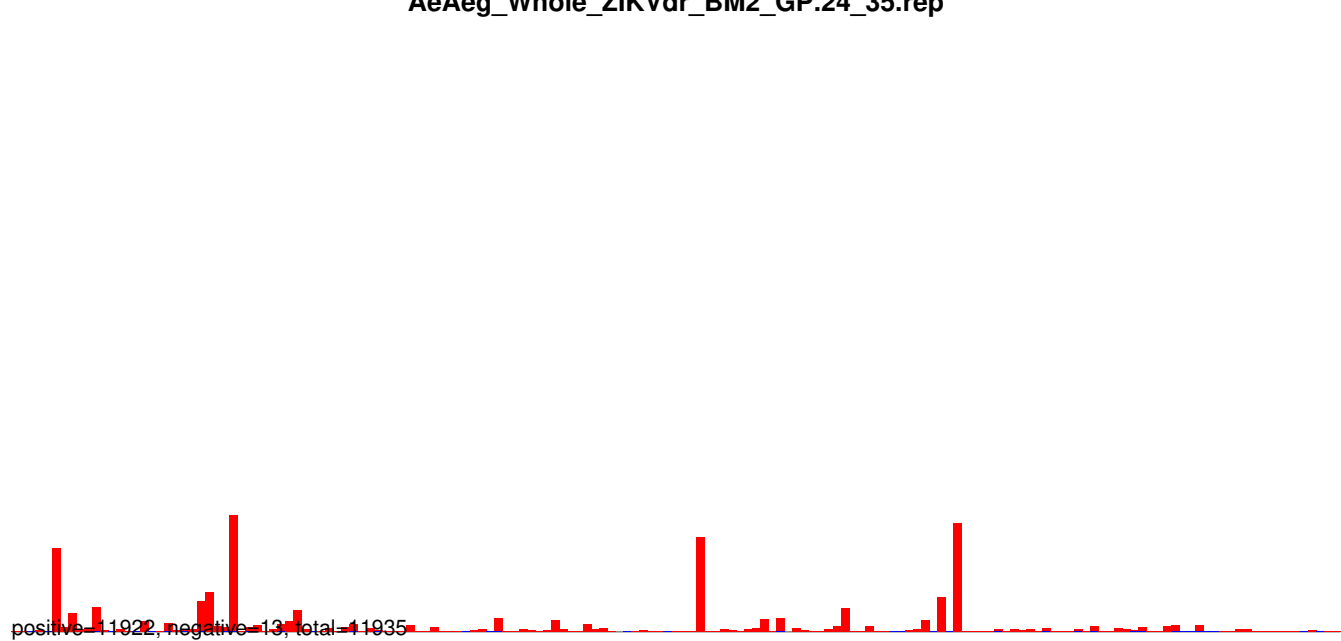


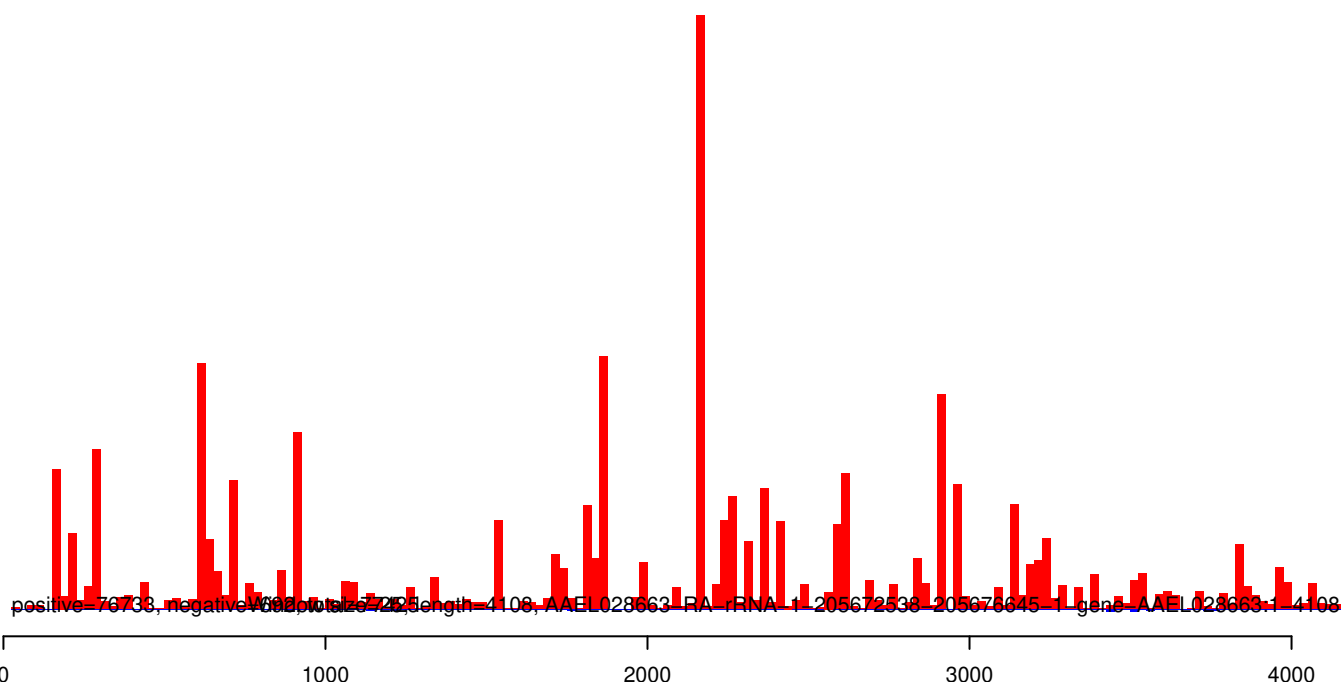
AeAeg\_Whole\_ZIKVdr\_BM2\_GP.18\_23.rep



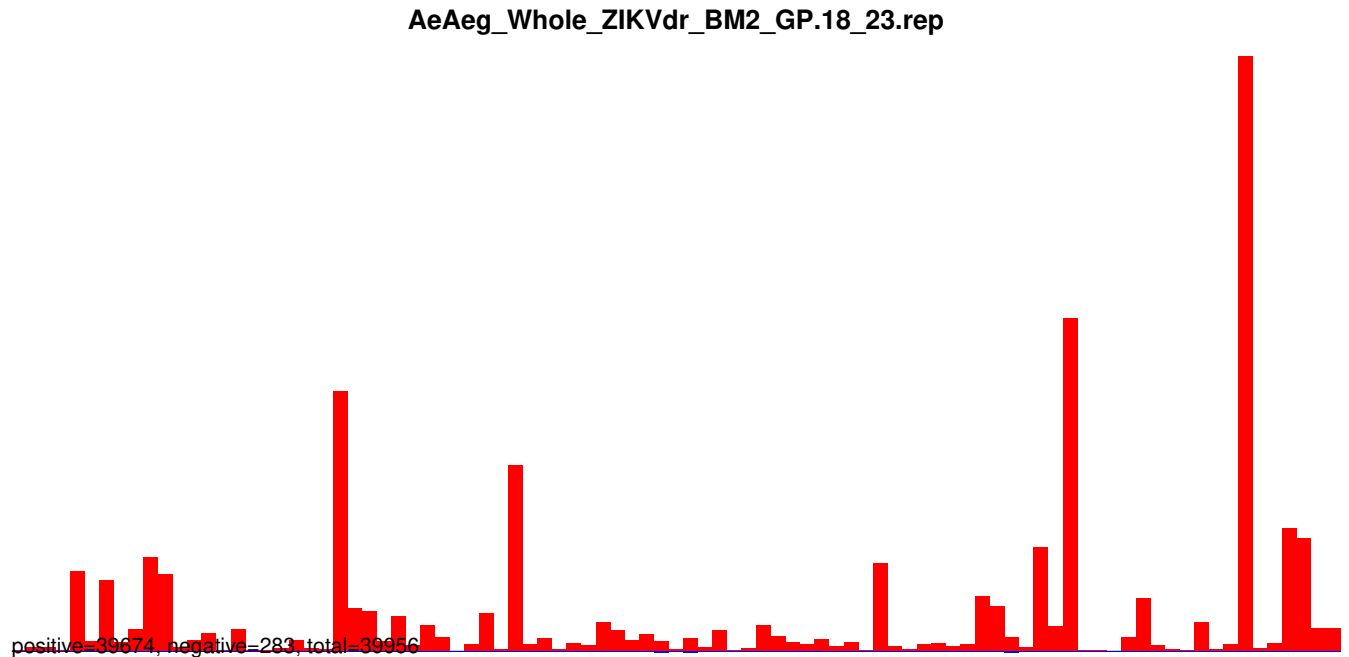
AeAeg\_Whole\_ZIKVdr\_BM2\_GP.24\_35.rep



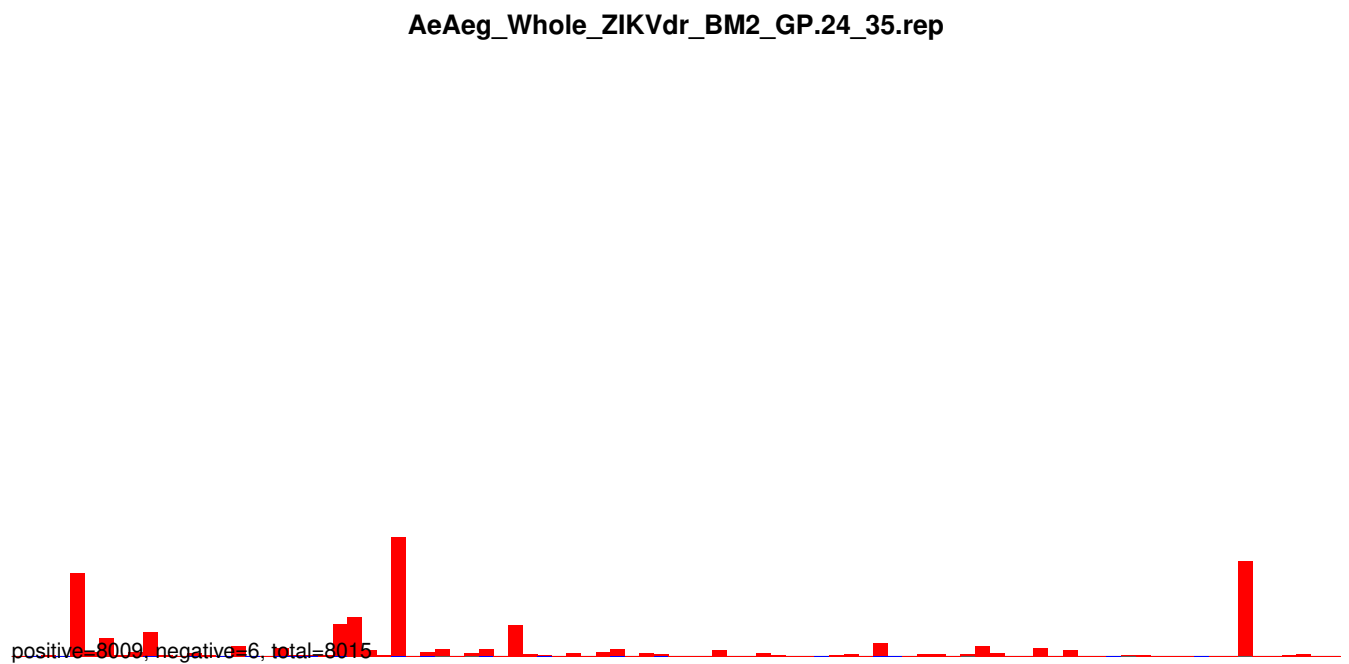
AeAeg\_Whole\_ZIKVdr\_BM2\_GP.rep



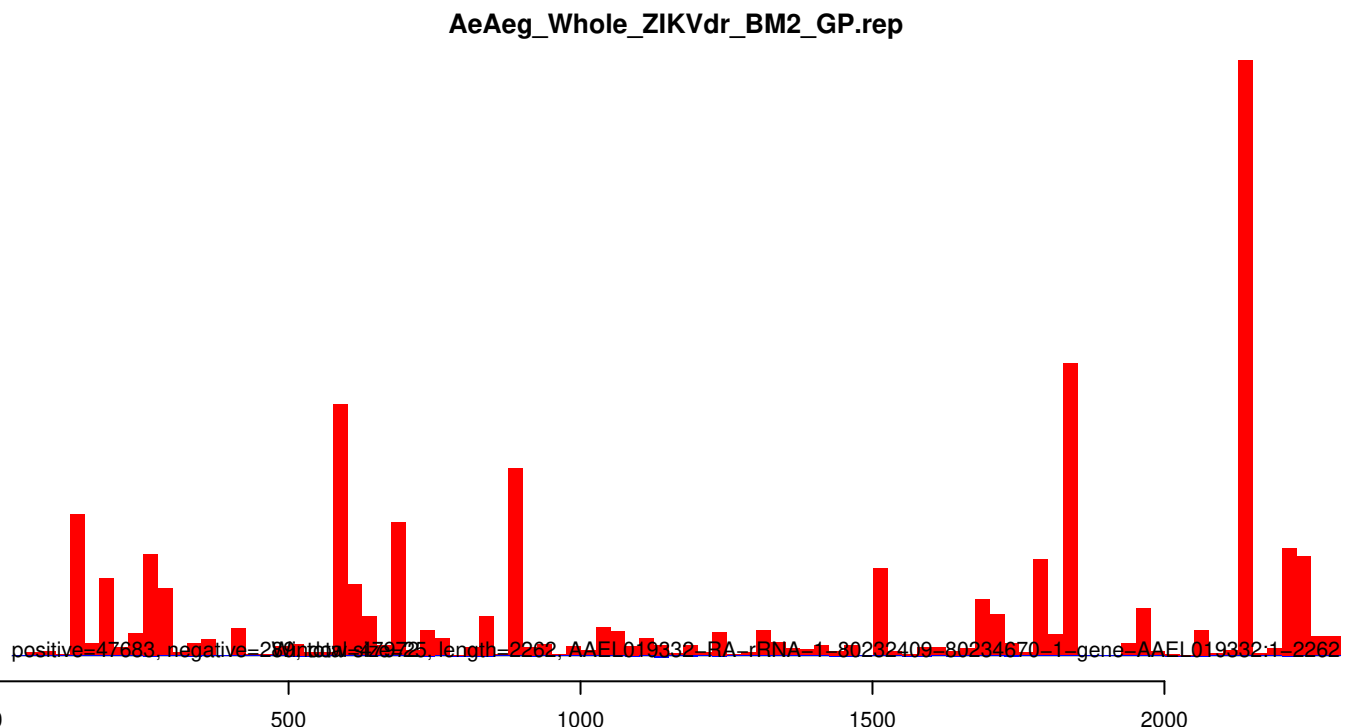
AeAeg\_Whole\_ZIKVdr\_BM2\_GP.18\_23.rep



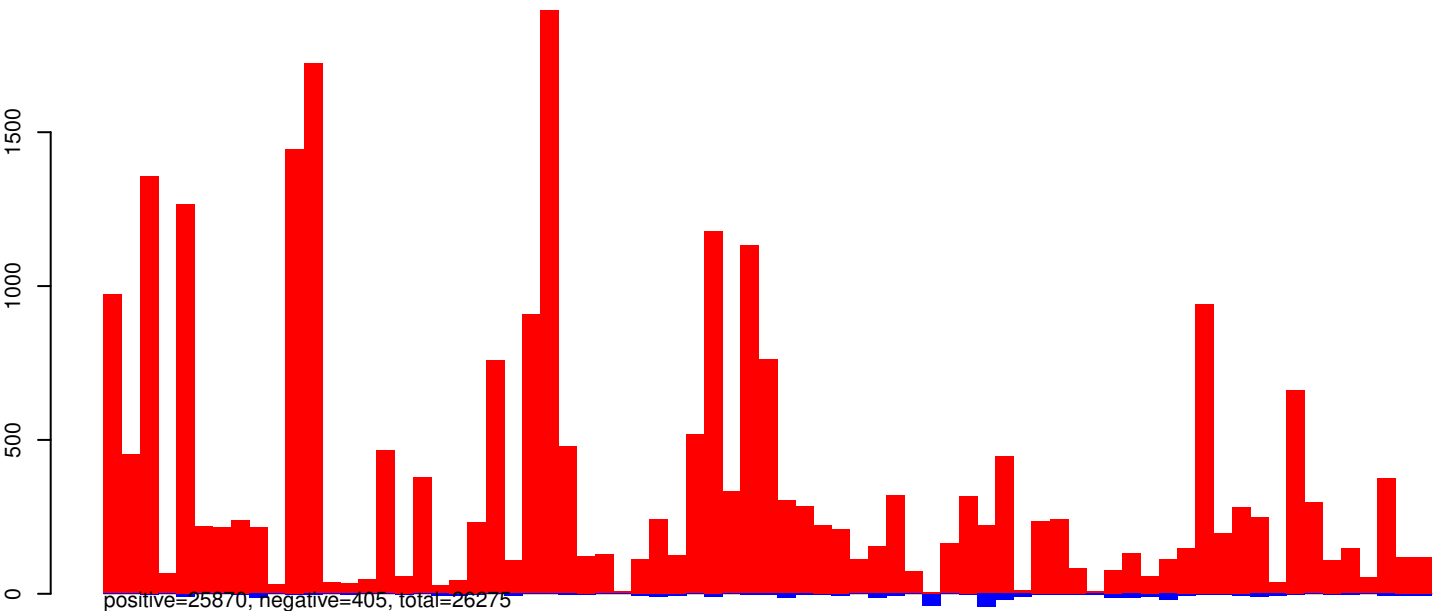
AeAeg\_Whole\_ZIKVdr\_BM2\_GP.24\_35.rep



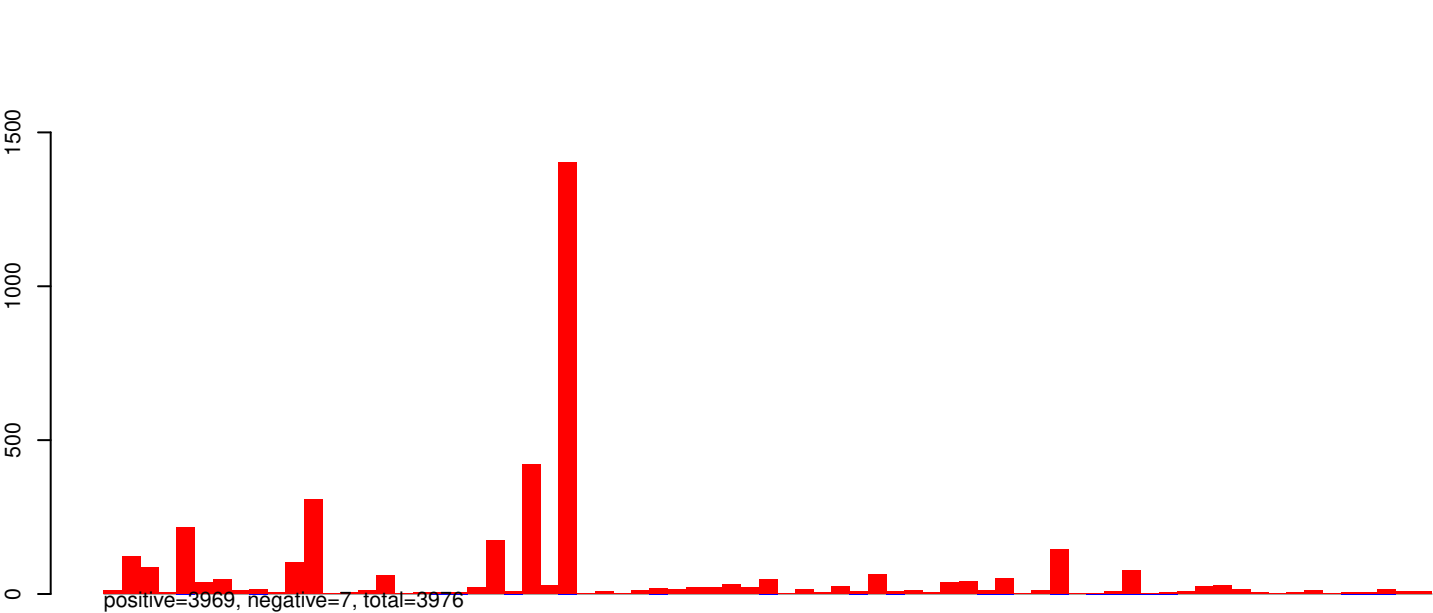
AeAeg\_Whole\_ZIKVdr\_BM2\_GP.rep



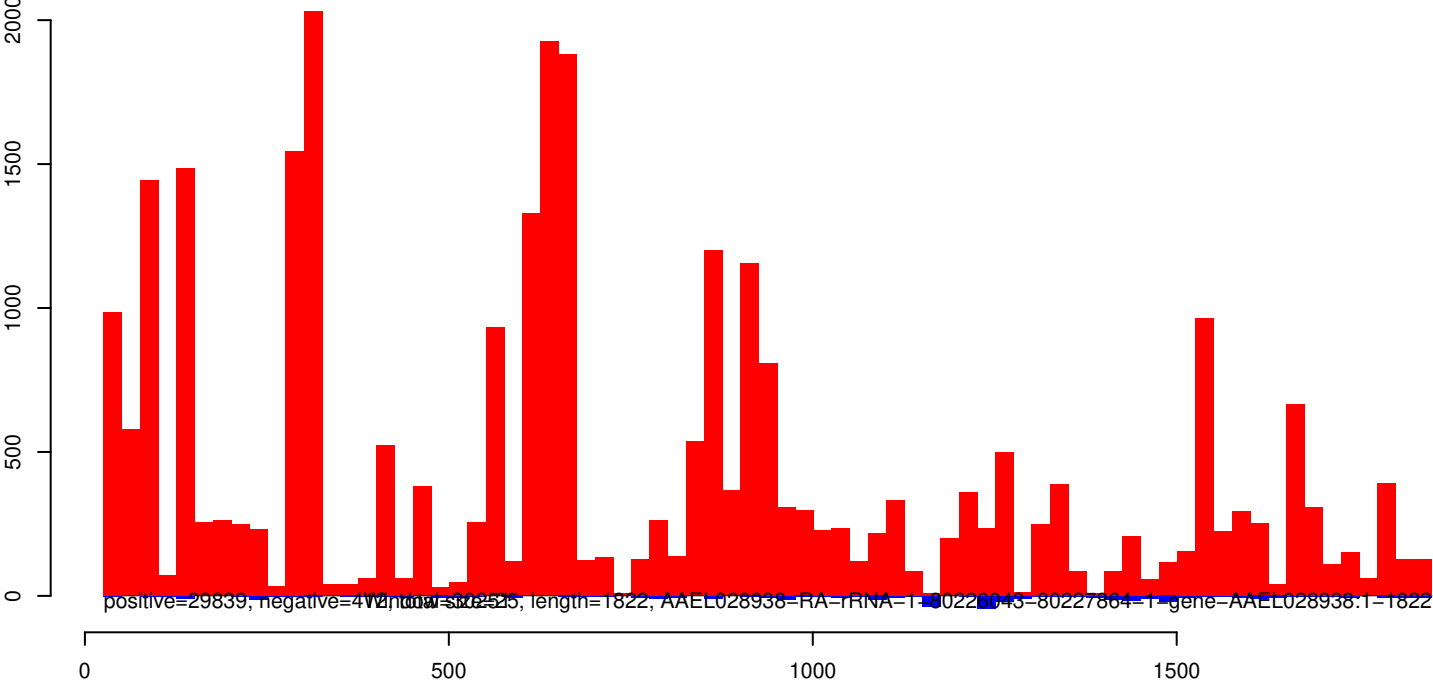
AeAeg\_Whole\_ZIKVdr\_BM2\_GP.18\_23.rep



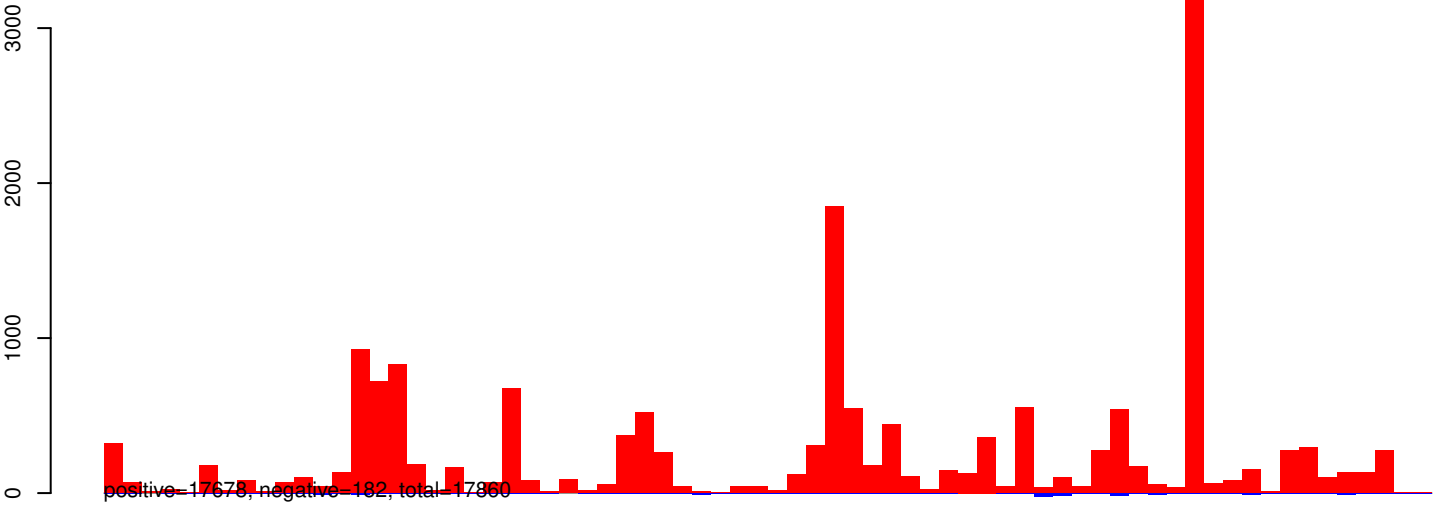
AeAeg\_Whole\_ZIKVdr\_BM2\_GP.24\_35.rep



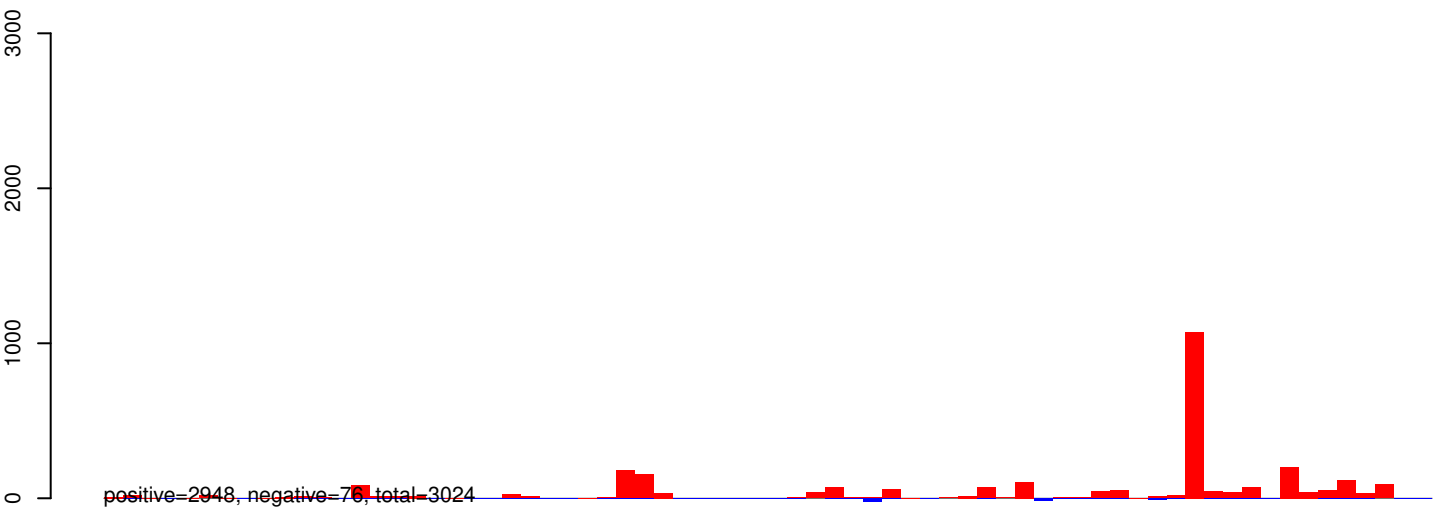
AeAeg\_Whole\_ZIKVdr\_BM2\_GP.rep



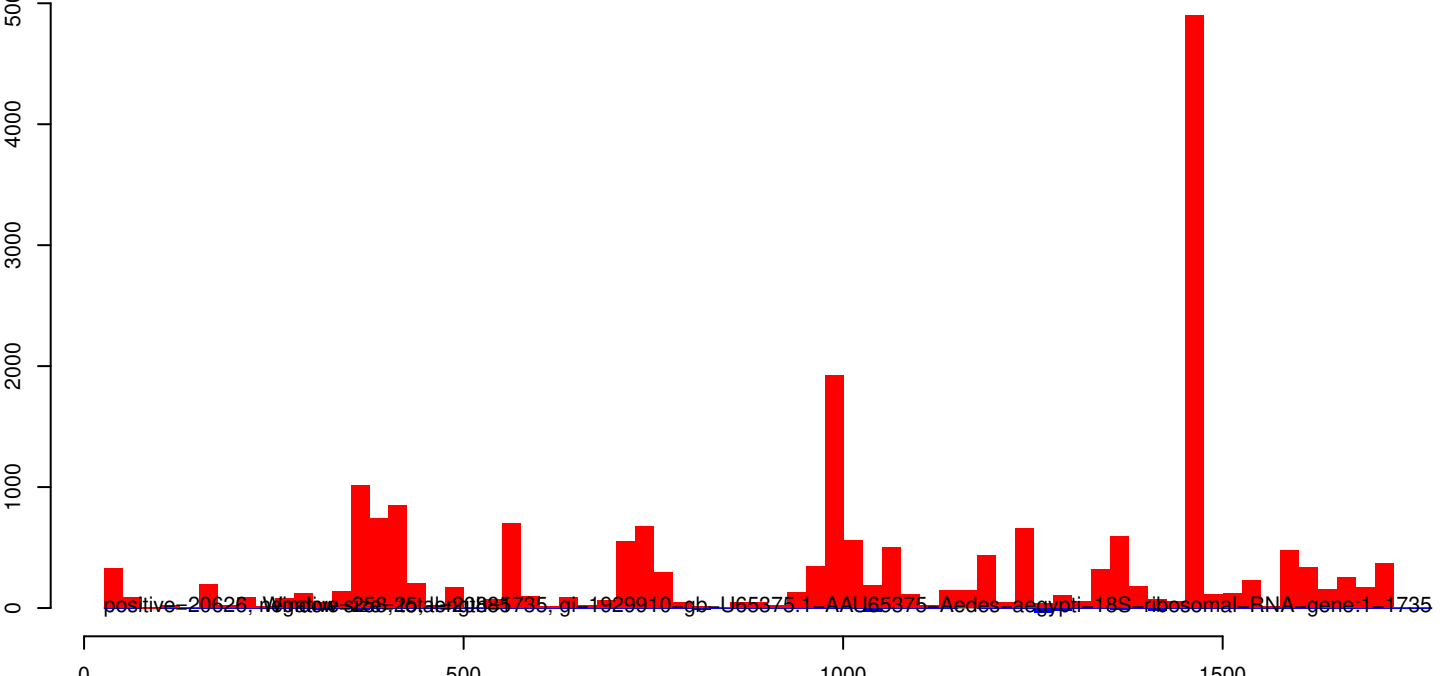
AeAeg\_Whole\_ZIKVdr\_BM2\_GP.18\_23.rep



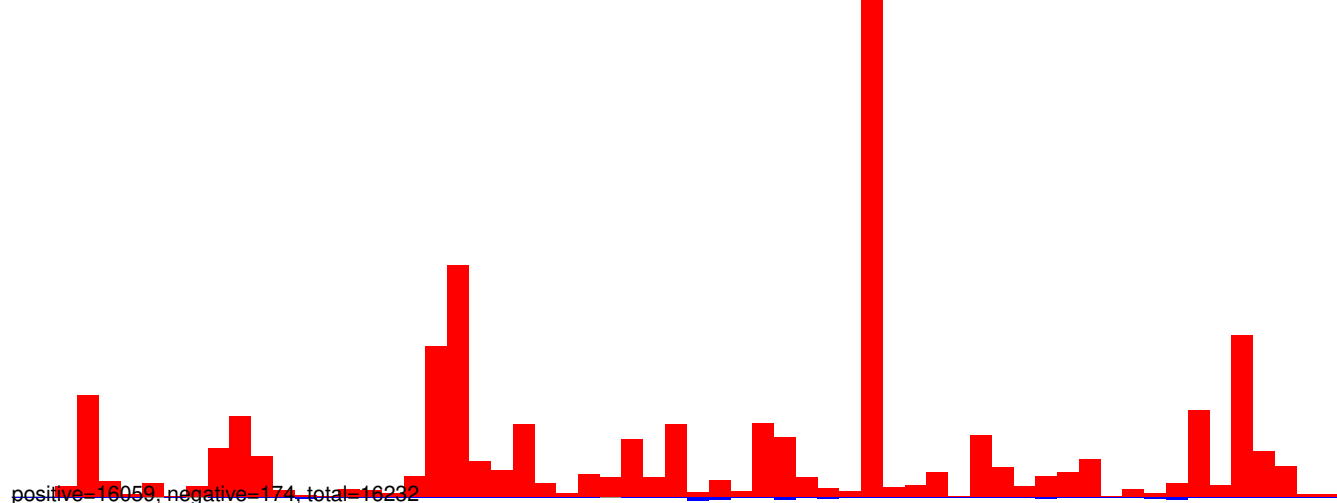
AeAeg\_Whole\_ZIKVdr\_BM2\_GP.24\_35.rep



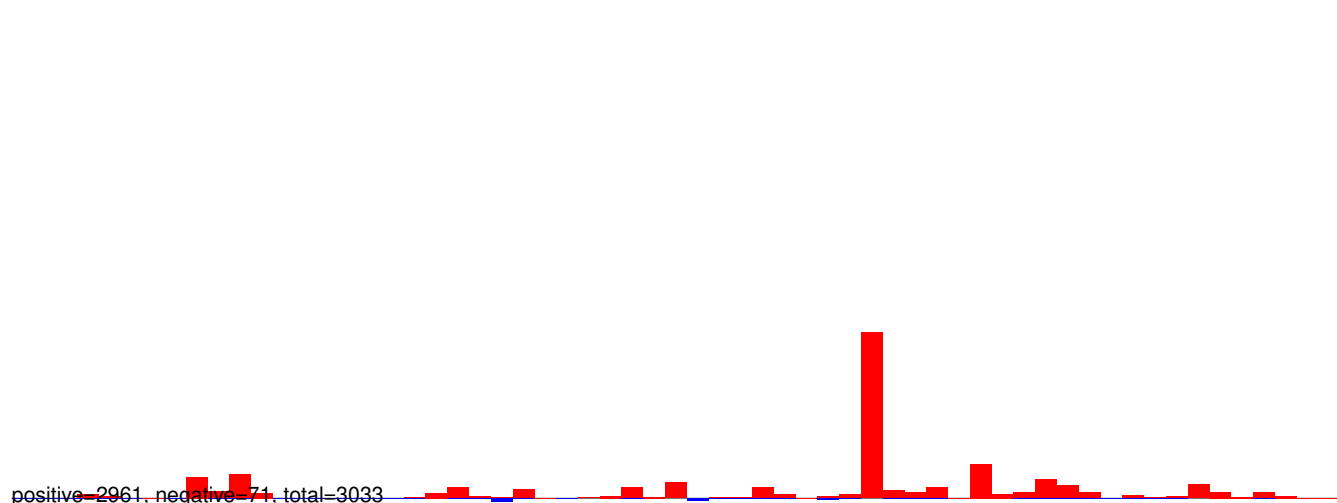
AeAeg\_Whole\_ZIKVdr\_BM2\_GP.rep



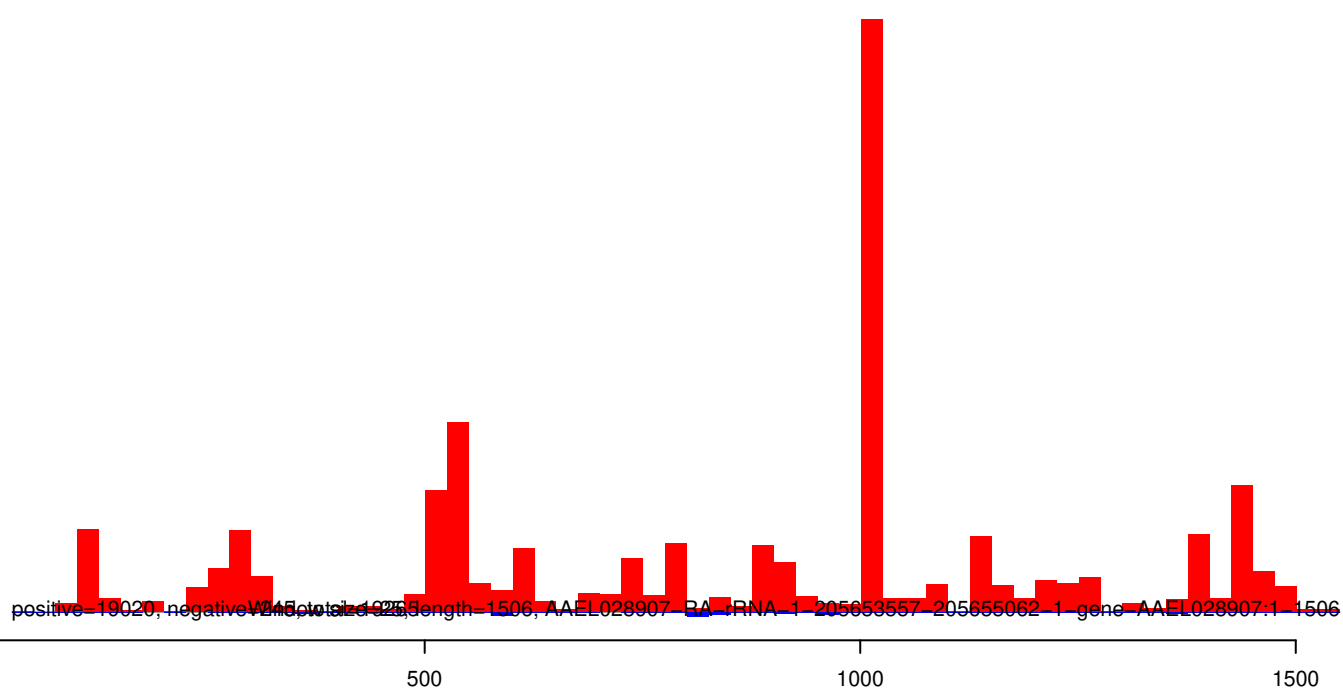
AeAeg\_Whole\_ZIKVdr\_BM2\_GP.18\_23.rep



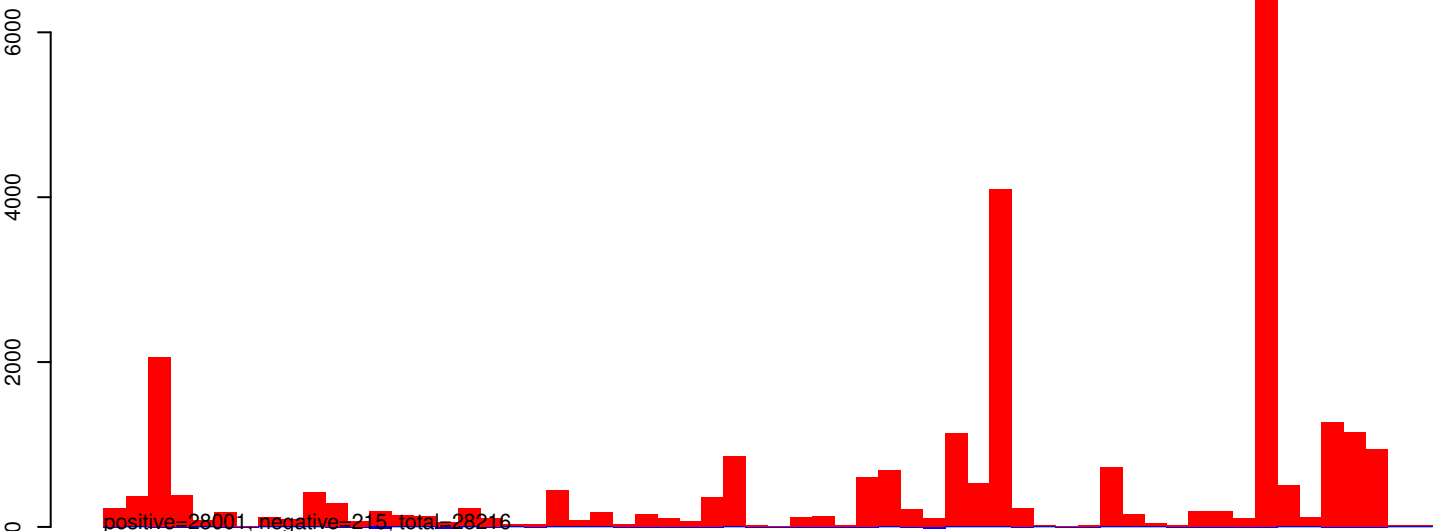
AeAeg\_Whole\_ZIKVdr\_BM2\_GP.24\_35.rep



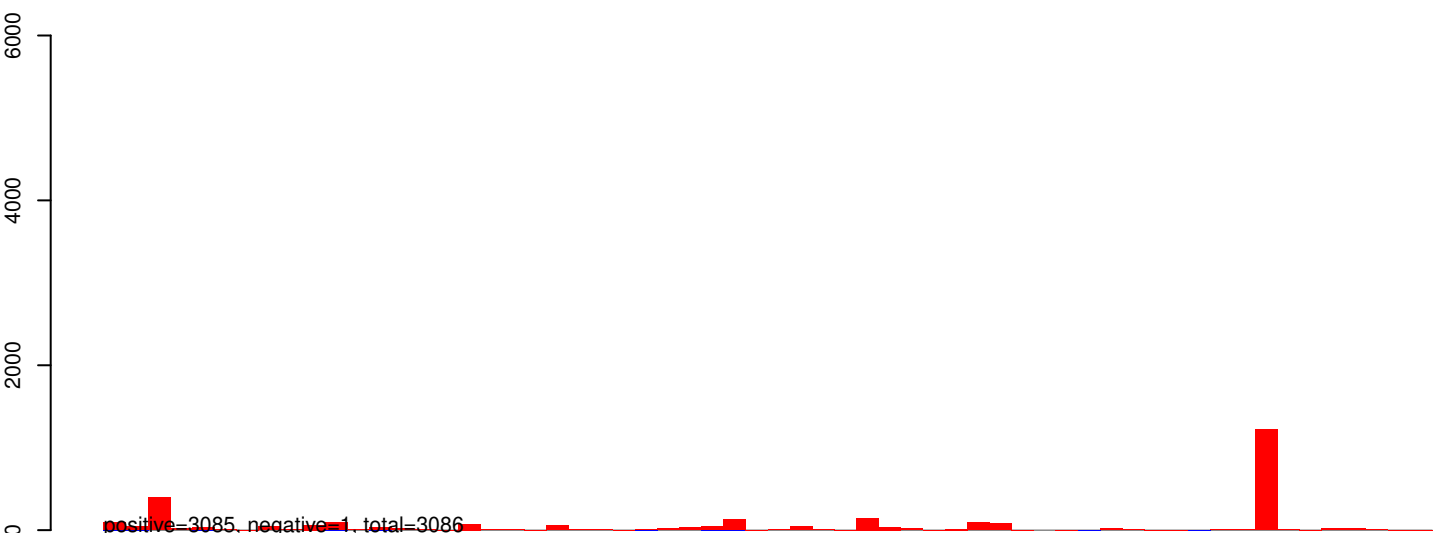
AeAeg\_Whole\_ZIKVdr\_BM2\_GP.rep



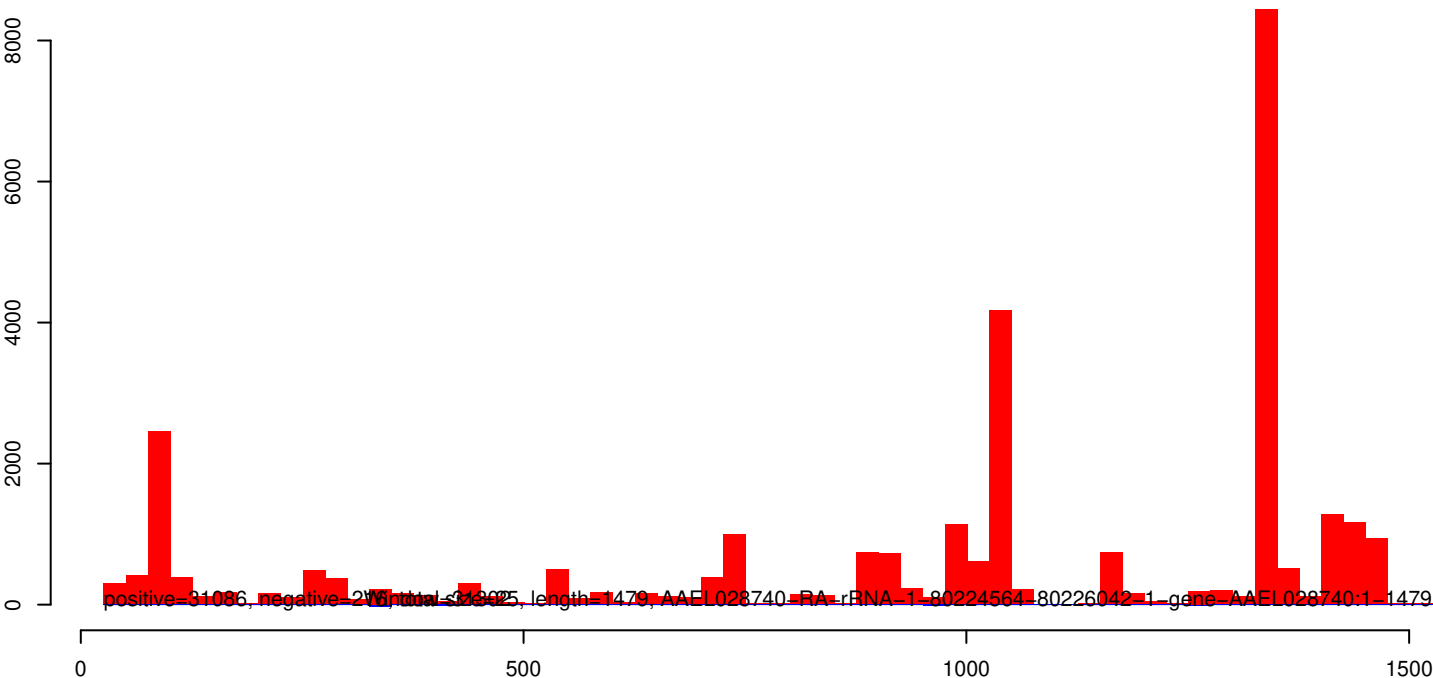
AeAeg\_Whole\_ZIKVdr\_BM2\_GP.18\_23.rep



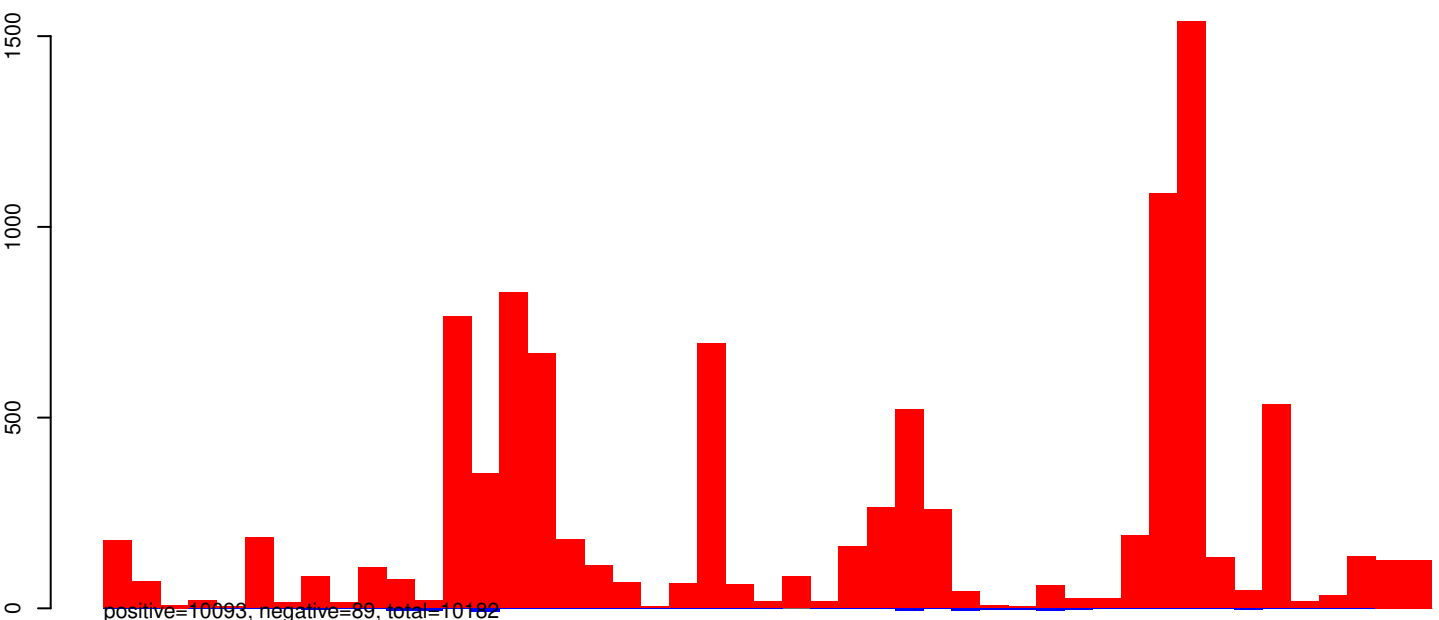
AeAeg\_Whole\_ZIKVdr\_BM2\_GP.24\_35.rep



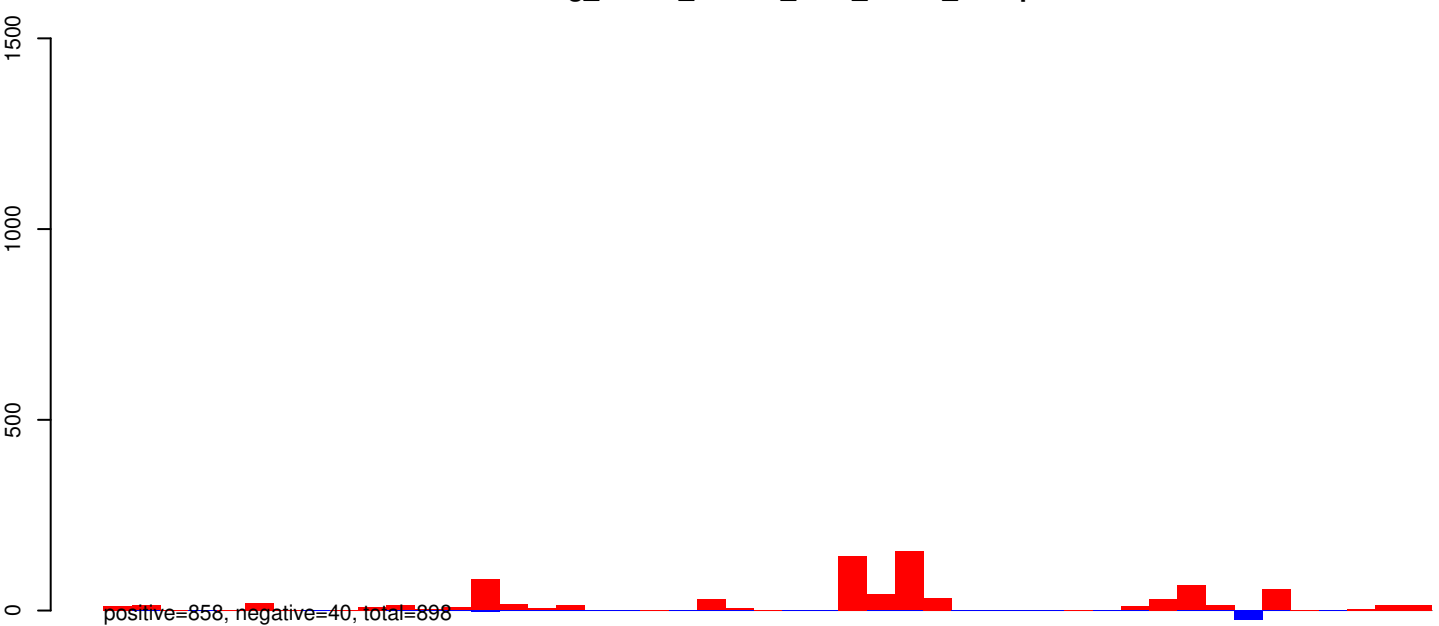
AeAeg\_Whole\_ZIKVdr\_BM2\_GP.rep



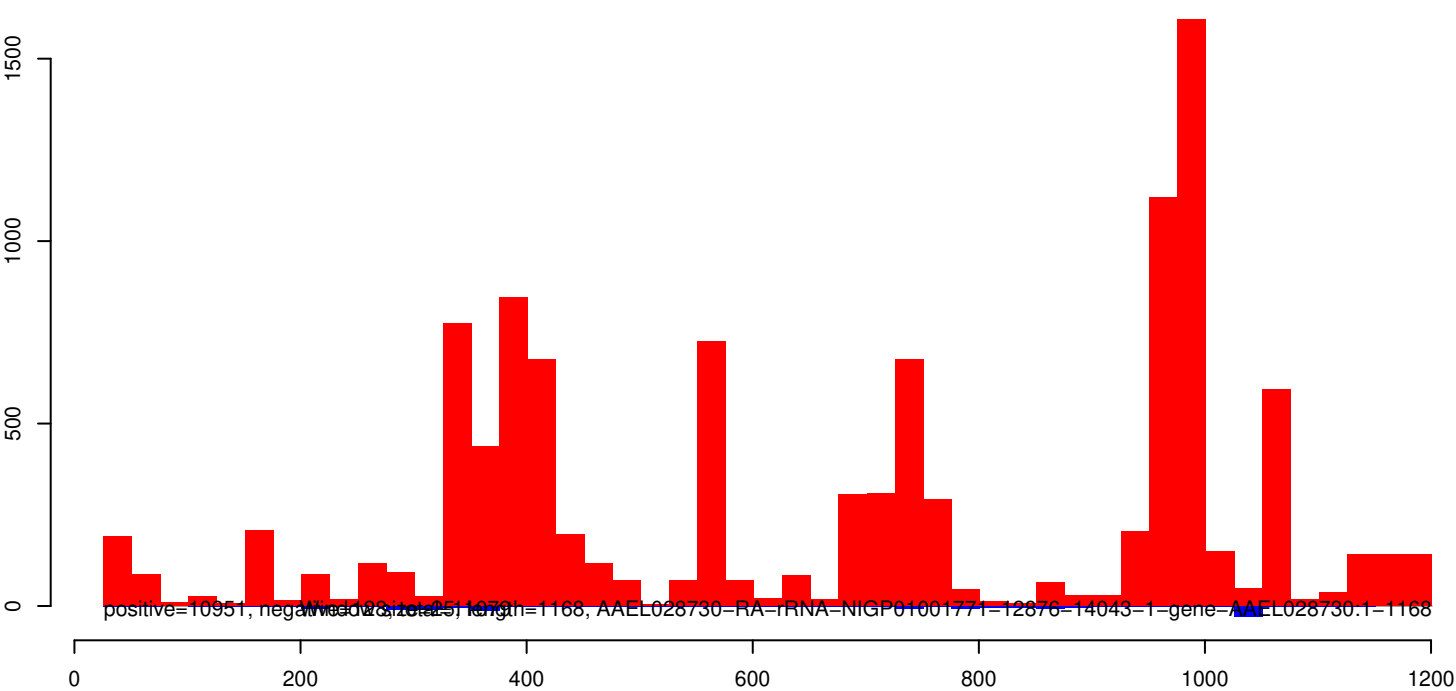
AeAeg\_Whole\_ZIKVdr\_BM2\_GP.18\_23.rep



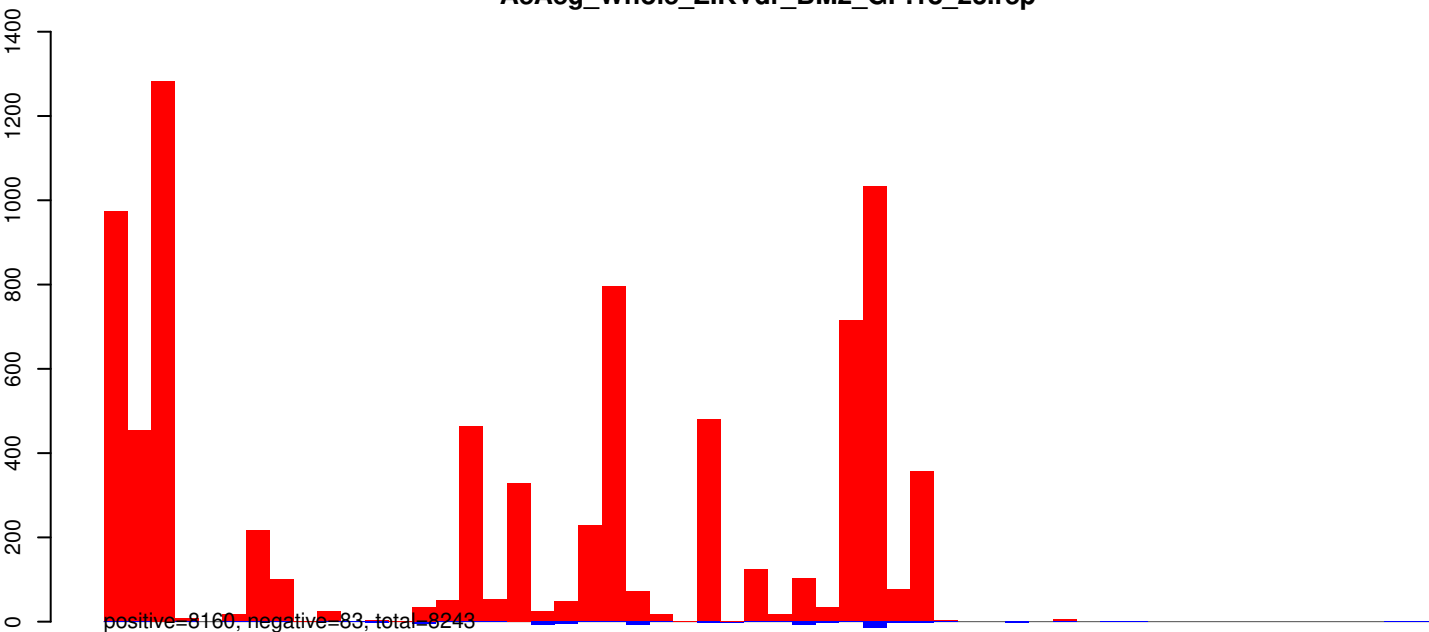
AeAeg\_Whole\_ZIKVdr\_BM2\_GP.24\_35.rep



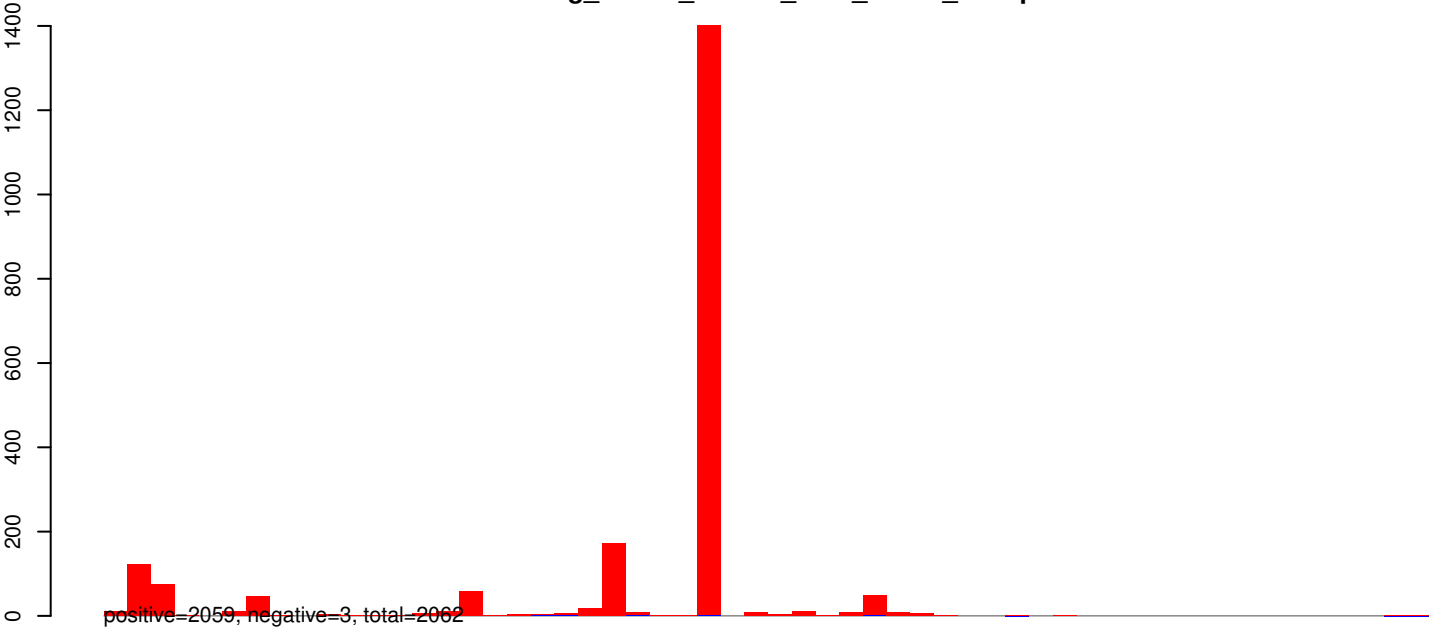
AeAeg\_Whole\_ZIKVdr\_BM2\_GP.rep



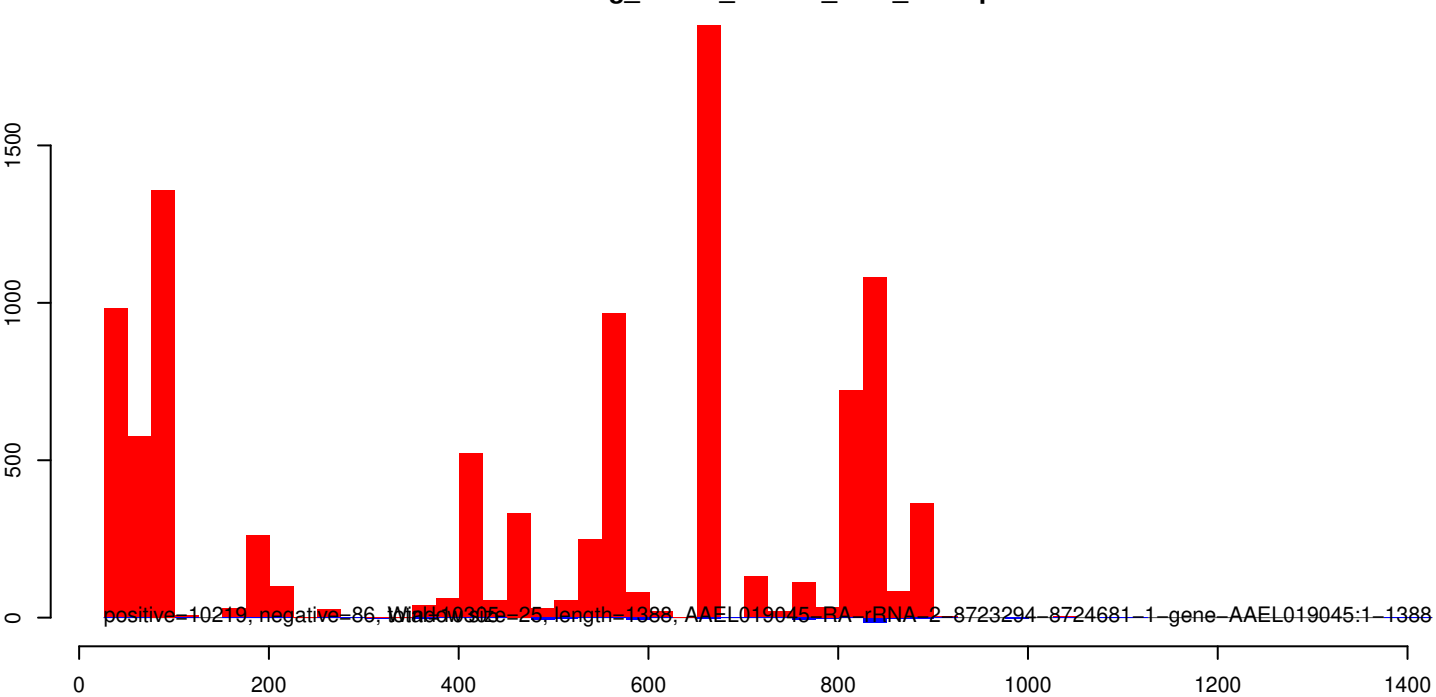
AeAeg\_Whole\_ZIKVdr\_BM2\_GP.18\_23.rep



AeAeg\_Whole\_ZIKVdr\_BM2\_GP.24\_35.rep

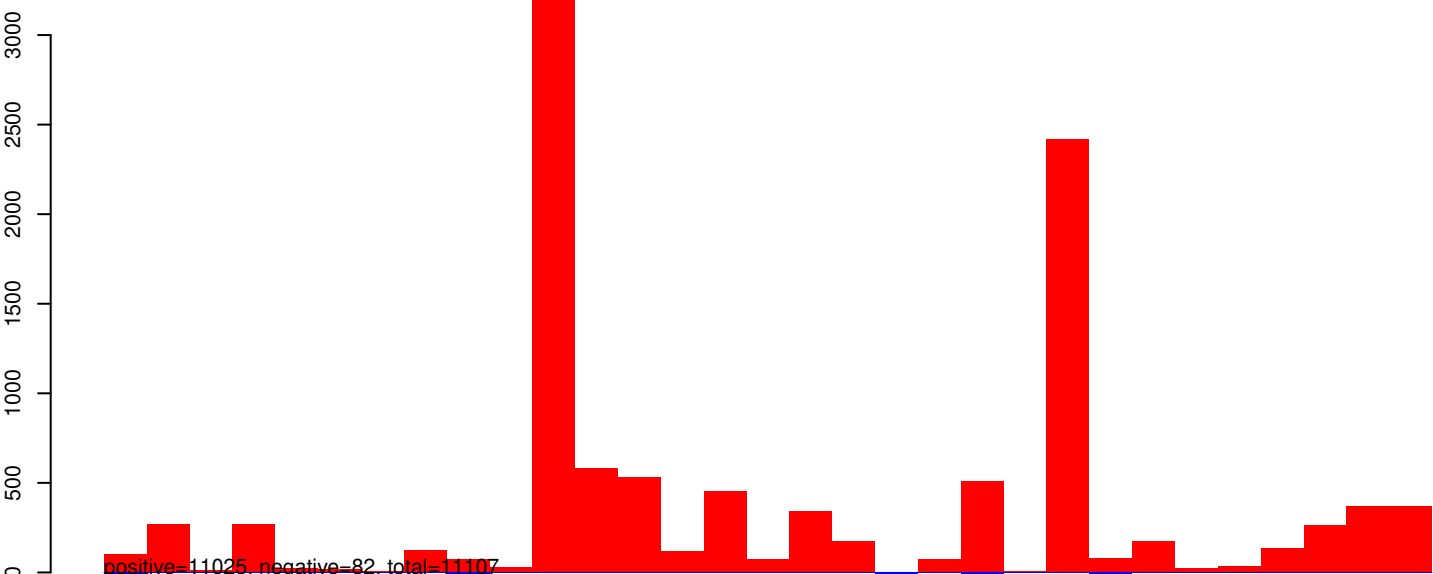


AeAeg\_Whole\_ZIKVdr\_BM2\_GP.rep

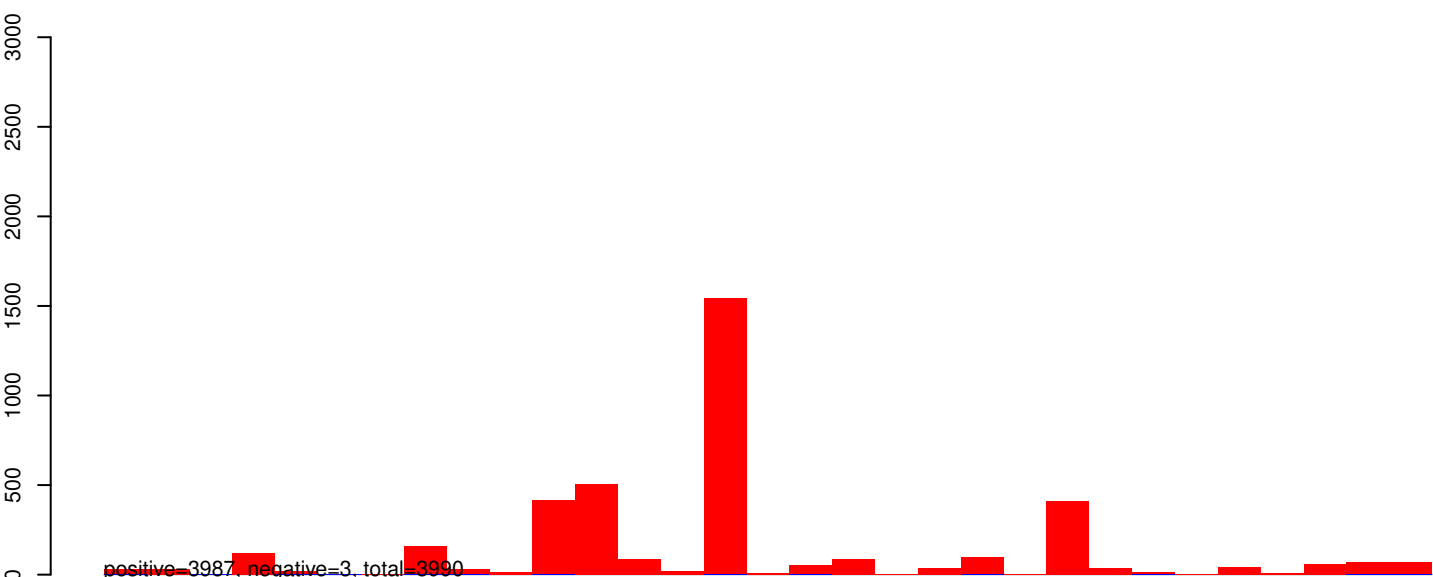




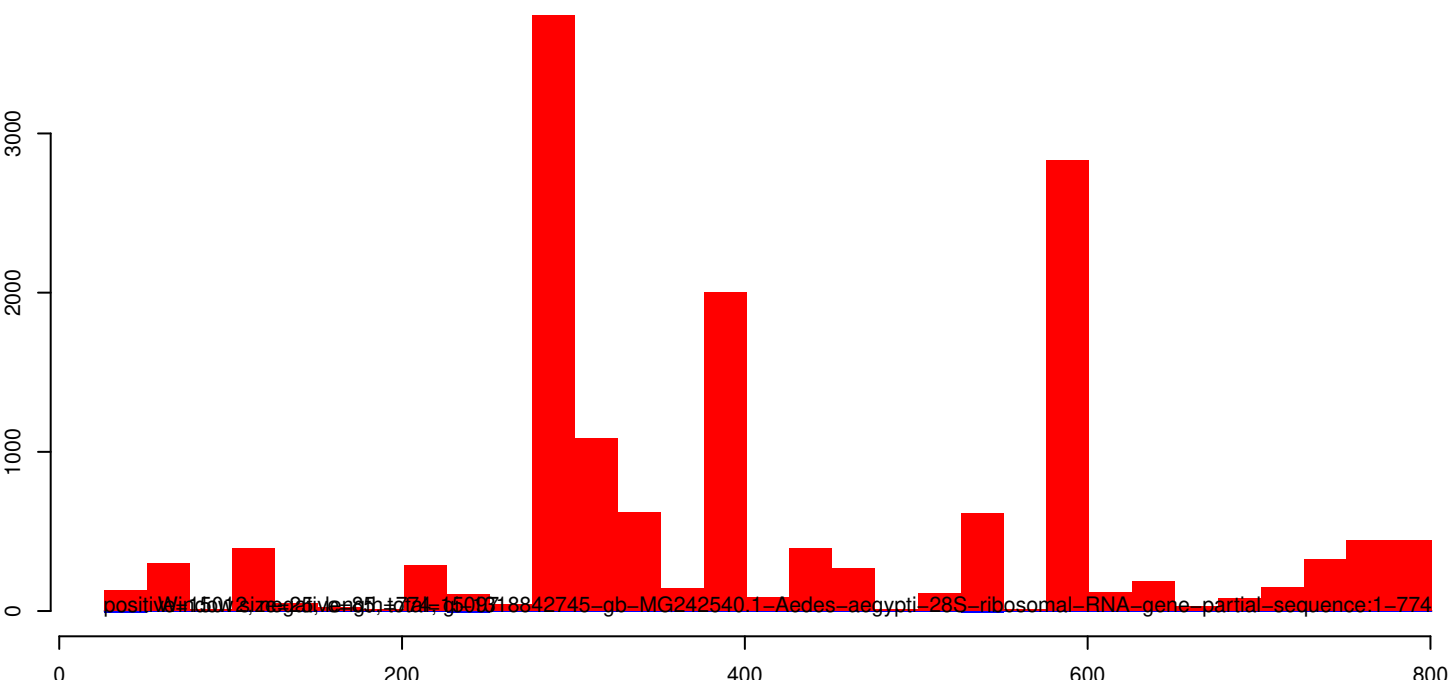
AeAeg\_Whole\_ZIKVdr\_BM2\_GP.18\_23.rep



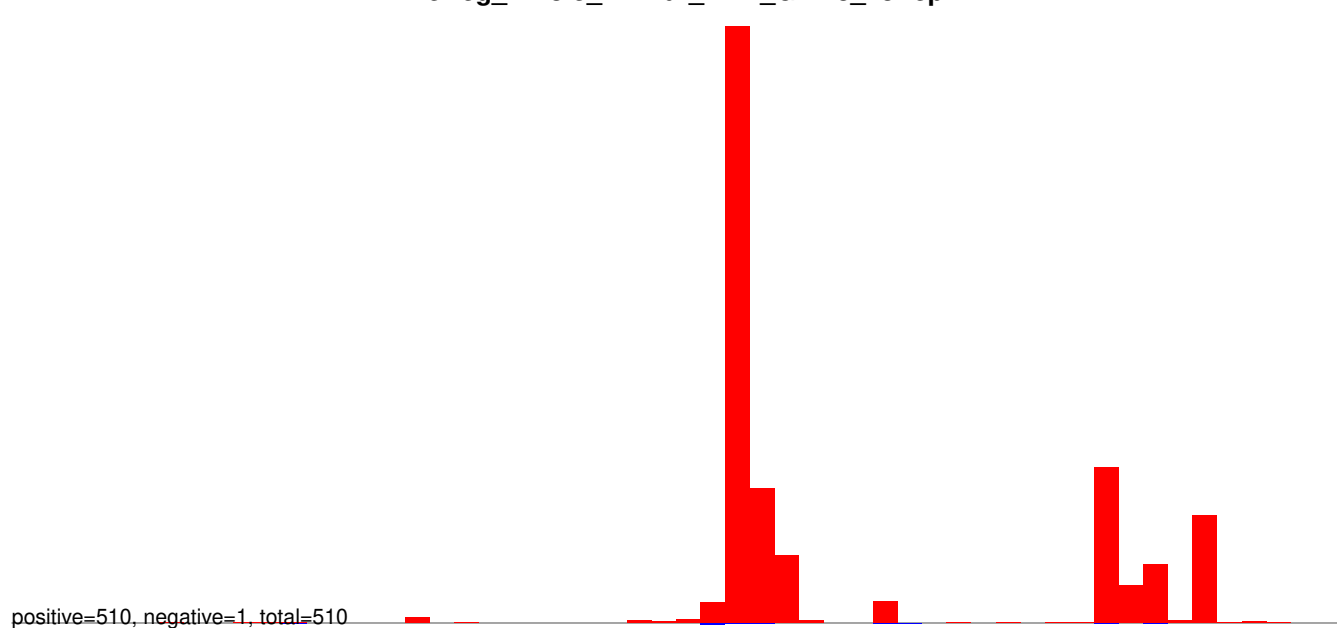
AeAeg\_Whole\_ZIKVdr\_BM2\_GP.24\_35.rep



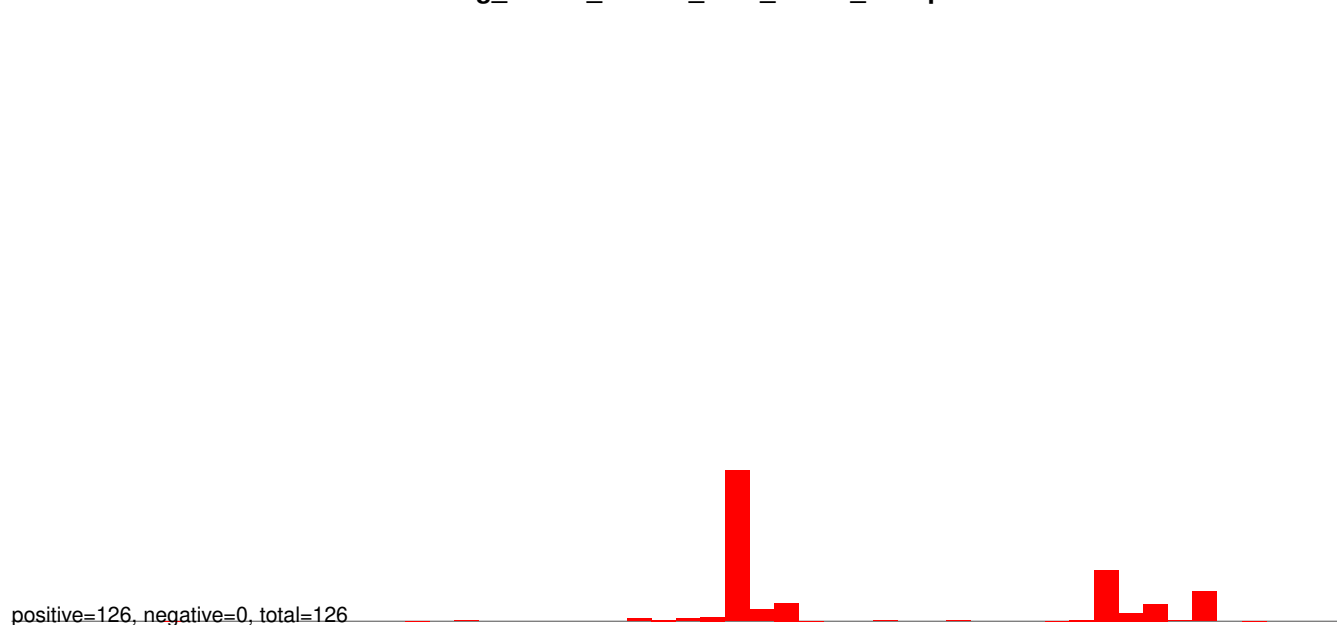
AeAeg\_Whole\_ZIKVdr\_BM2\_GP.rep



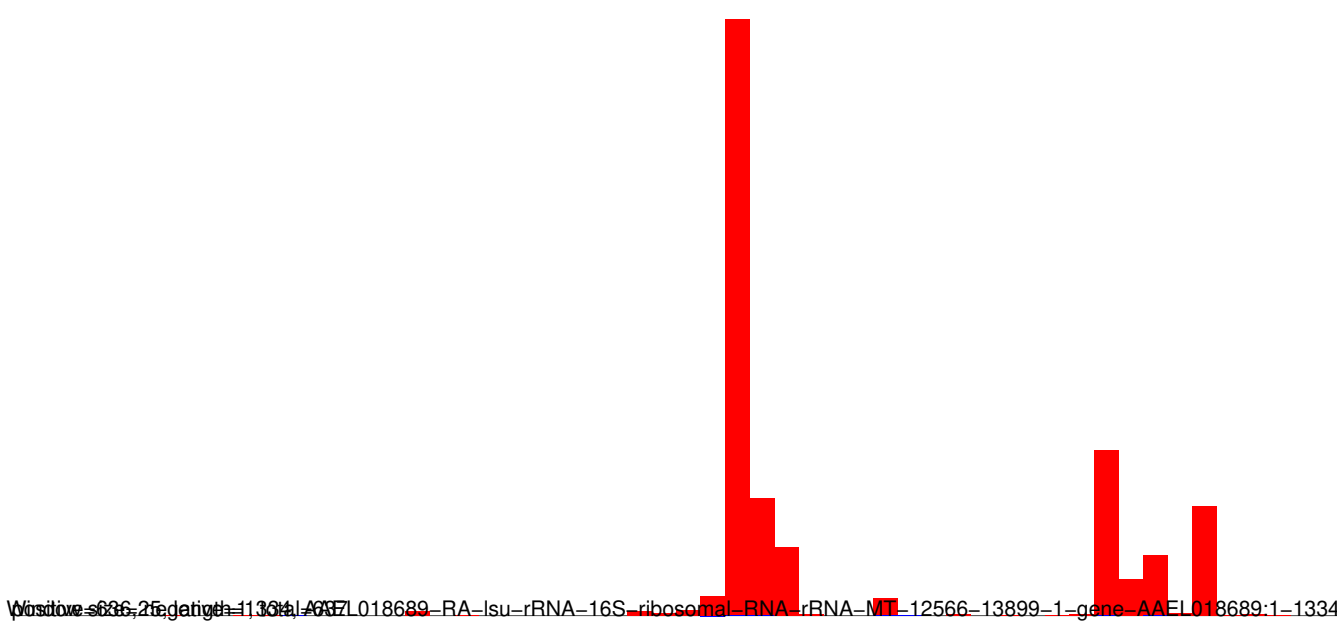
AeAeg\_Whole\_ZIKVdr\_BM2\_GP.18\_23.rep



AeAeg\_Whole\_ZIKVdr\_BM2\_GP.24\_35.rep

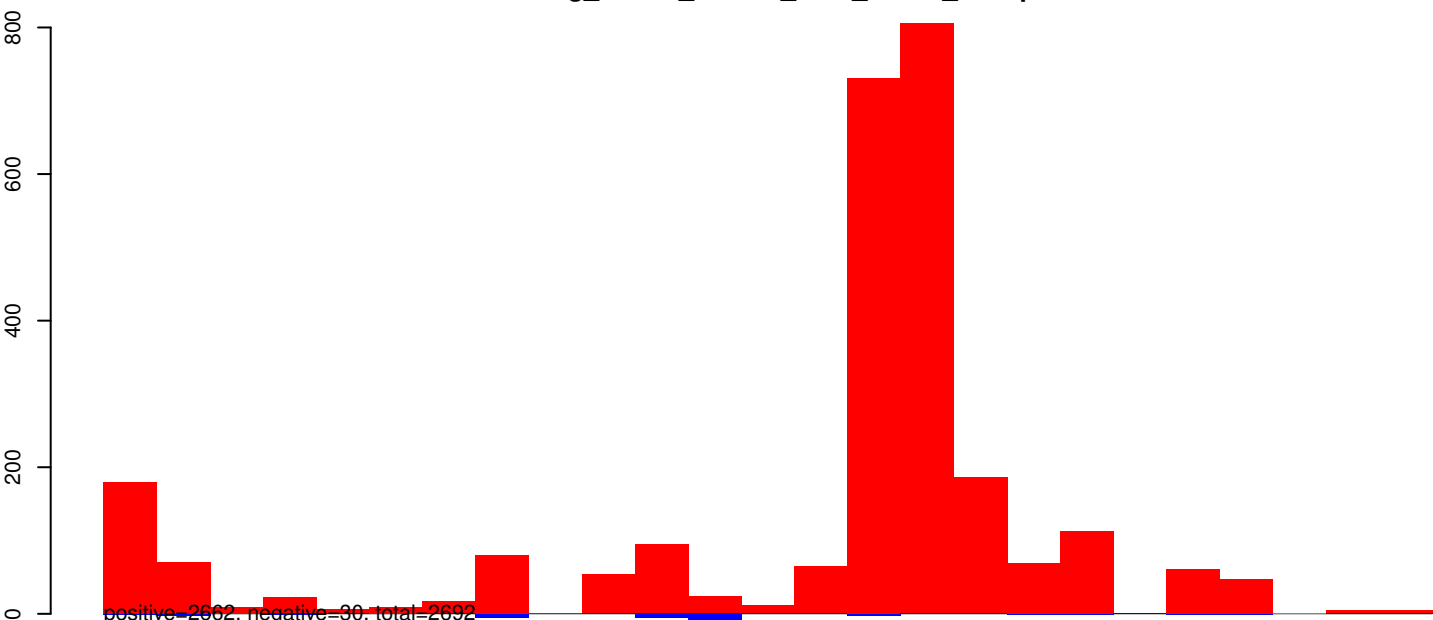


AeAeg\_Whole\_ZIKVdr\_BM2\_GP.rep

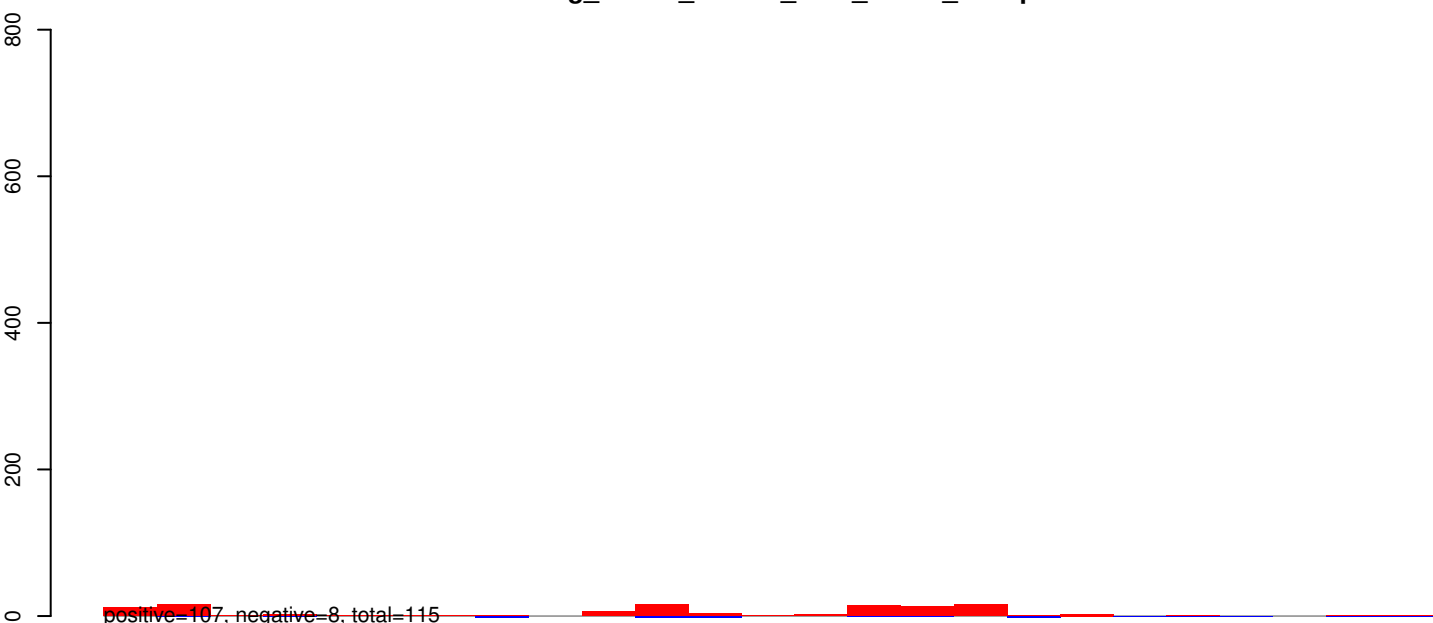


W:\2016-2017\1304-AE7L018689-RA-Isu-rRNA-16S-ribosomal-RNA-rRNA-MT-12566-13899-1-gene-AAEL018689:1-1334

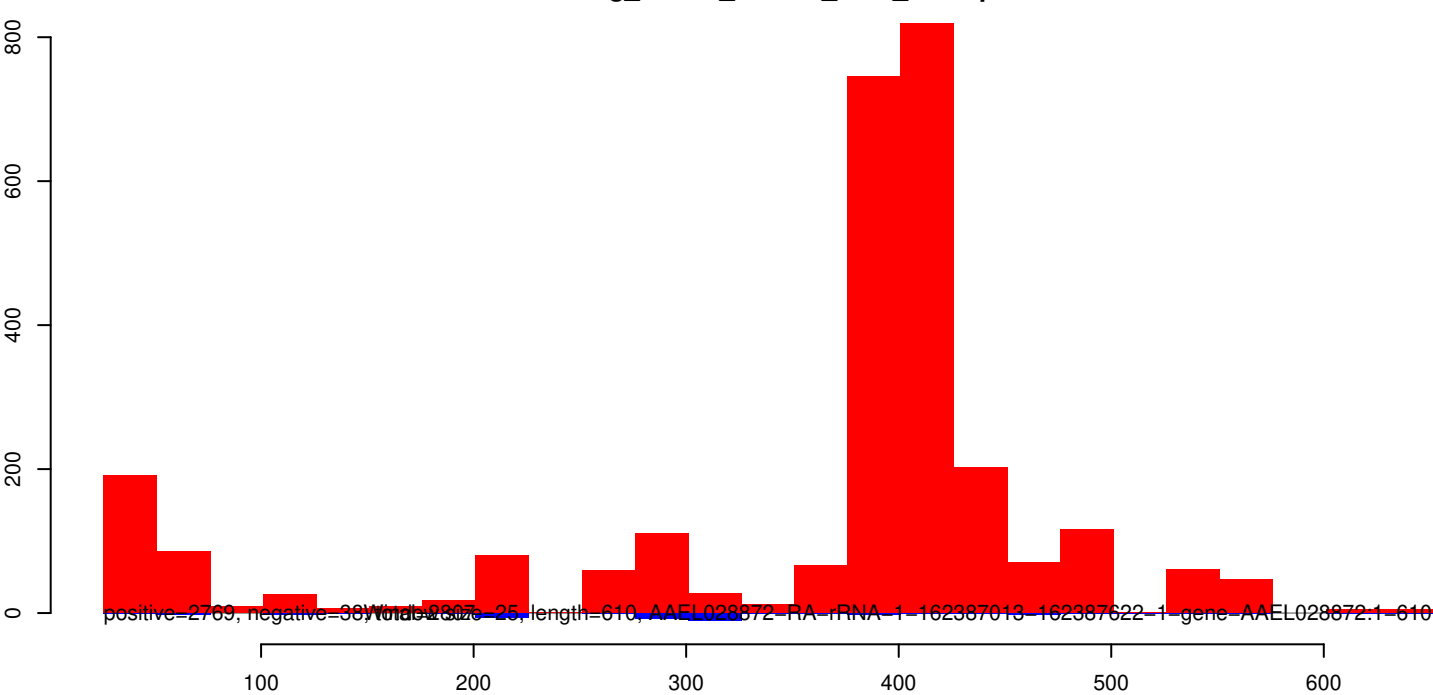
AeAeg\_Whole\_ZIKVdr\_BM2\_GP.18\_23.rep



AeAeg\_Whole\_ZIKVdr\_BM2\_GP.24\_35.rep



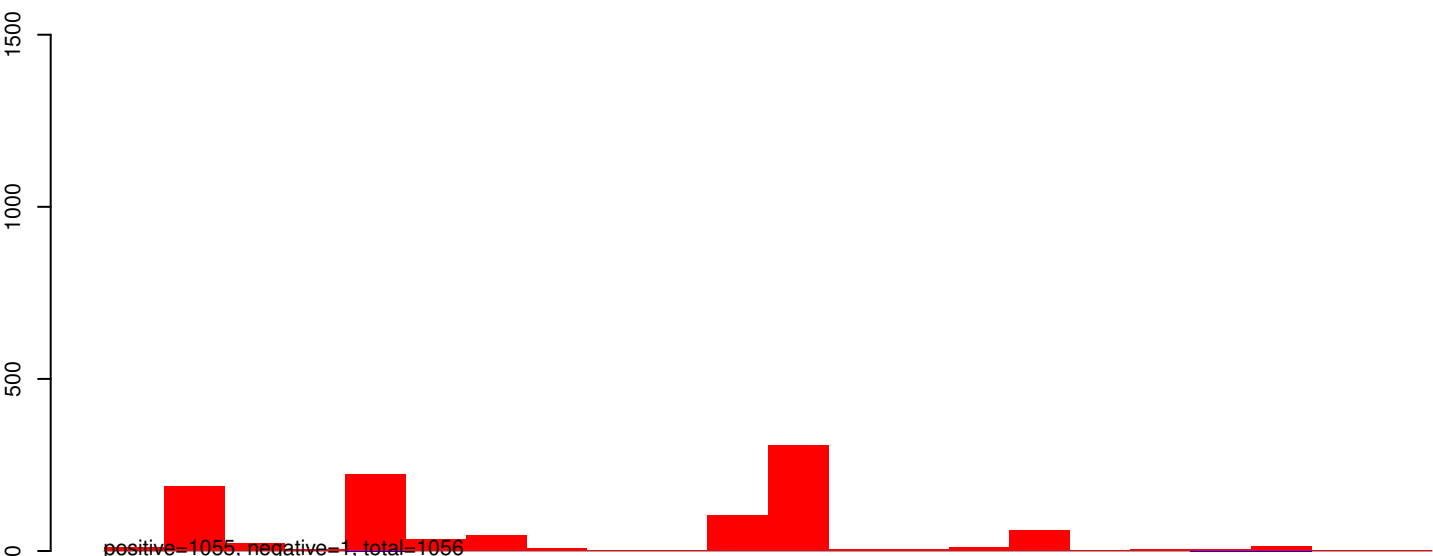
AeAeg\_Whole\_ZIKVdr\_BM2\_GP.rep



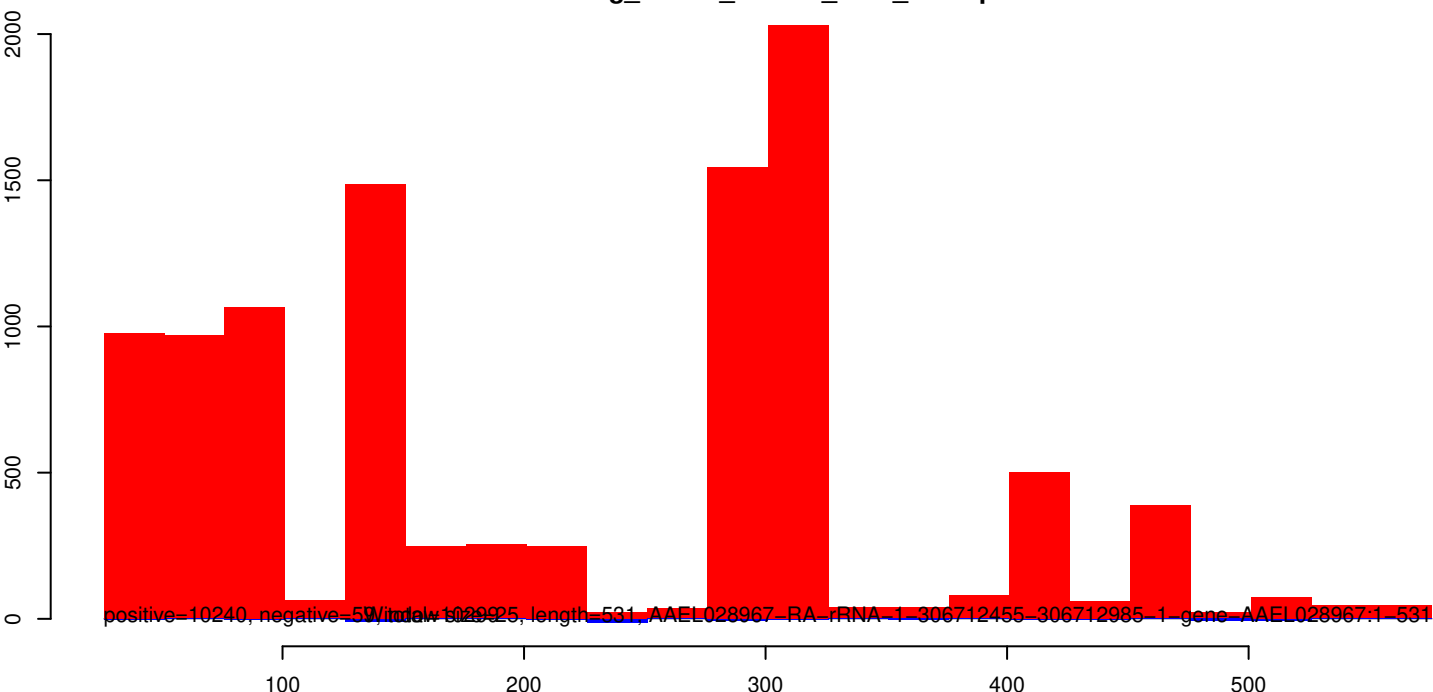
AeAeg\_Whole\_ZIKVdr\_BM2\_GP.18\_23.rep



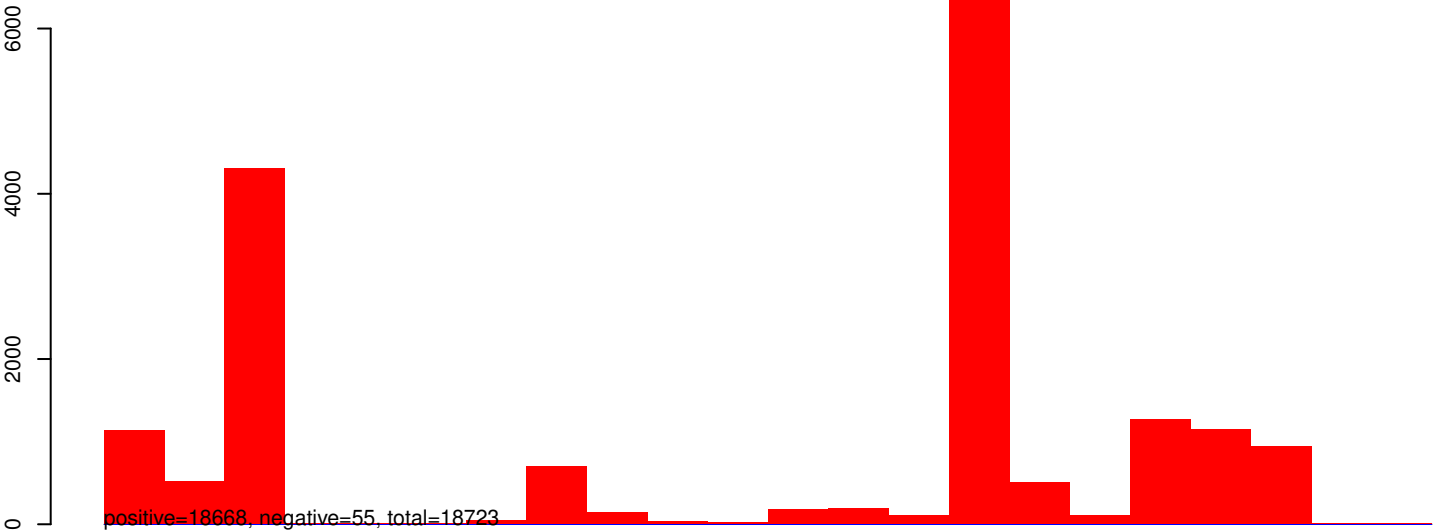
AeAeg\_Whole\_ZIKVdr\_BM2\_GP.24\_35.rep



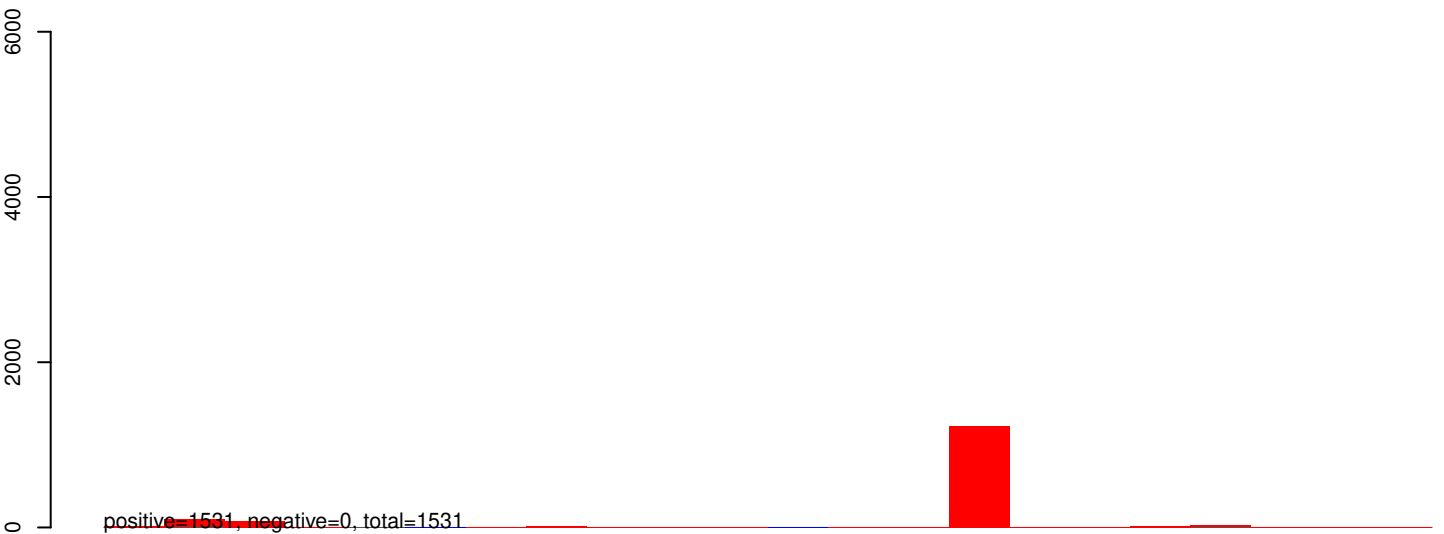
AeAeg\_Whole\_ZIKVdr\_BM2\_GP.rep



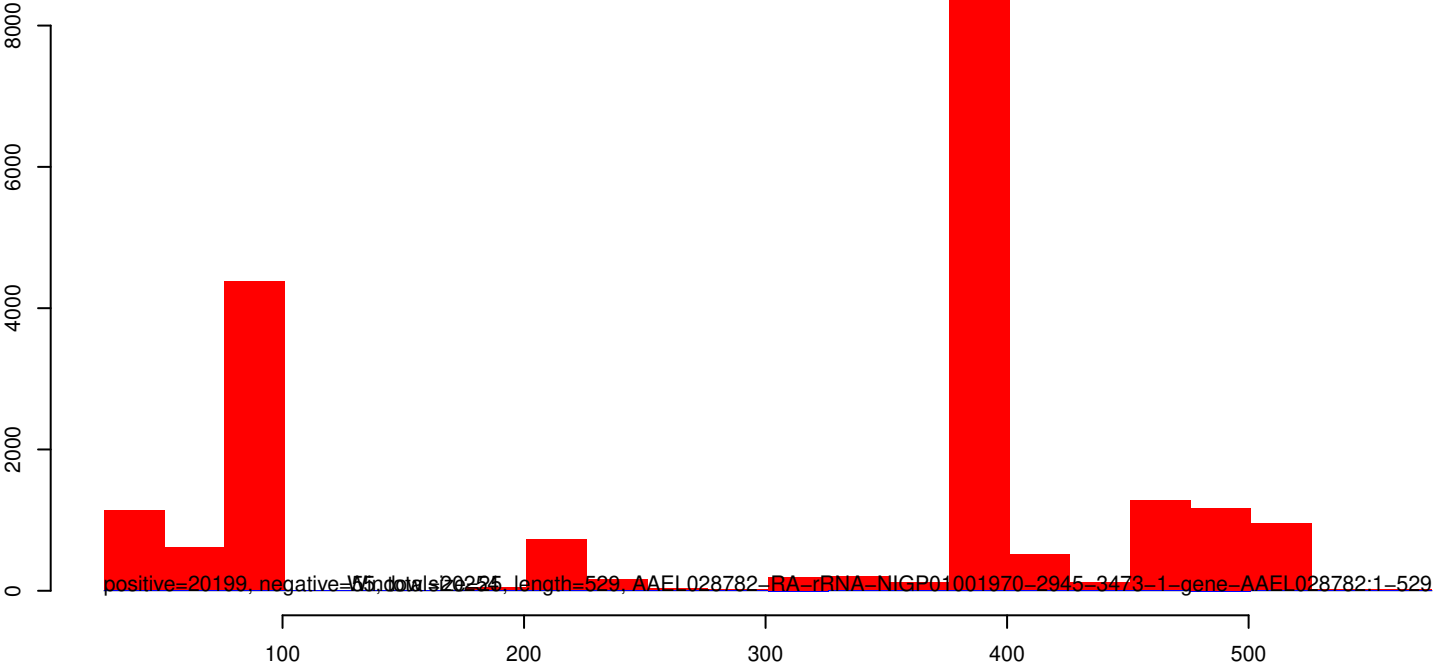
AeAeg\_Whole\_ZIKVdr\_BM2\_GP.18\_23.rep



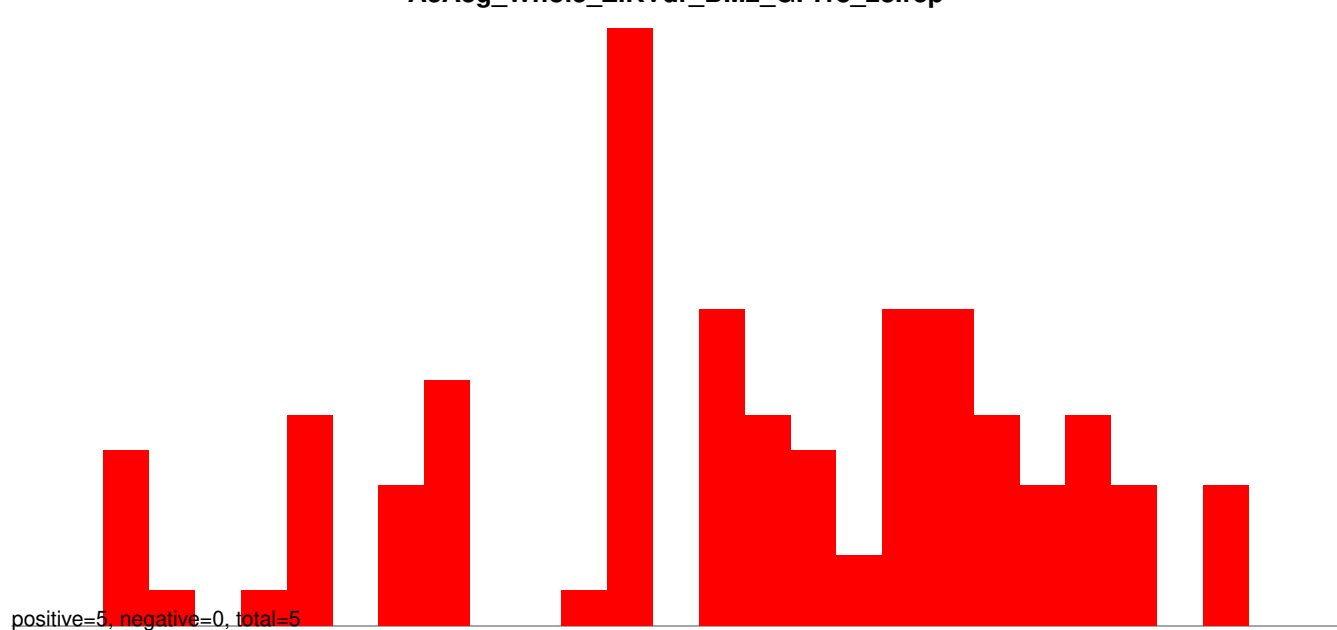
AeAeg\_Whole\_ZIKVdr\_BM2\_GP.24\_35.rep



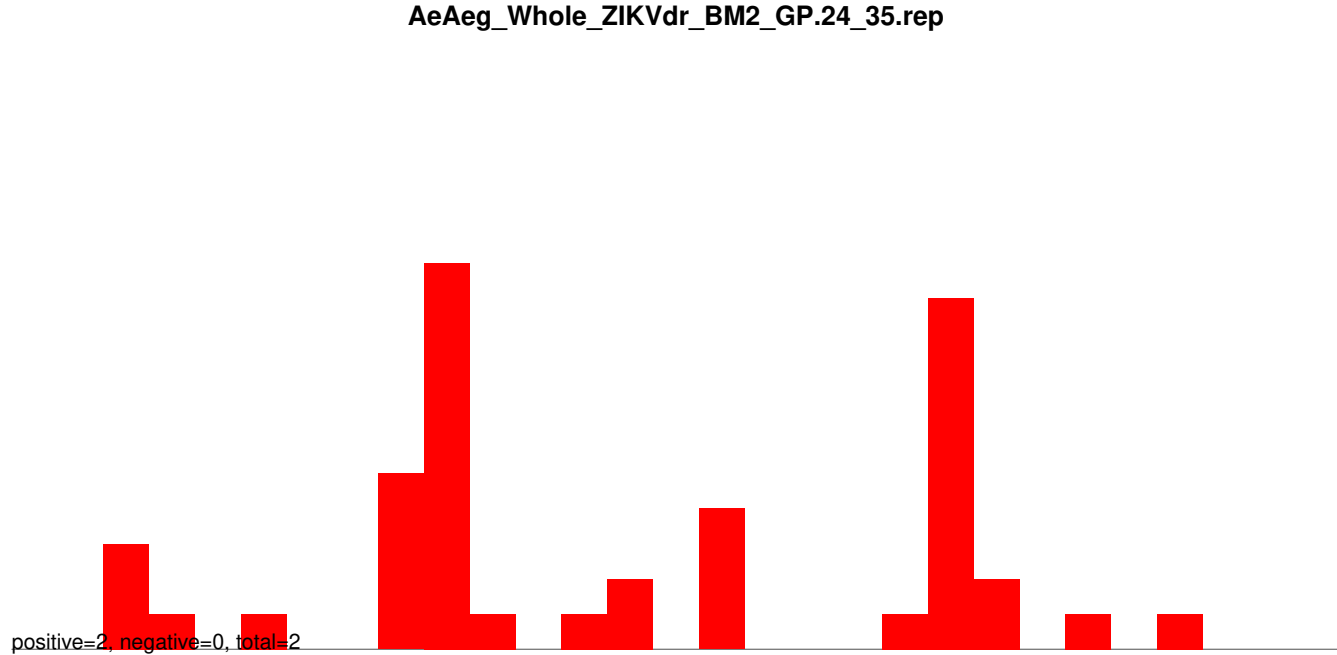
AeAeg\_Whole\_ZIKVdr\_BM2\_GP.rep



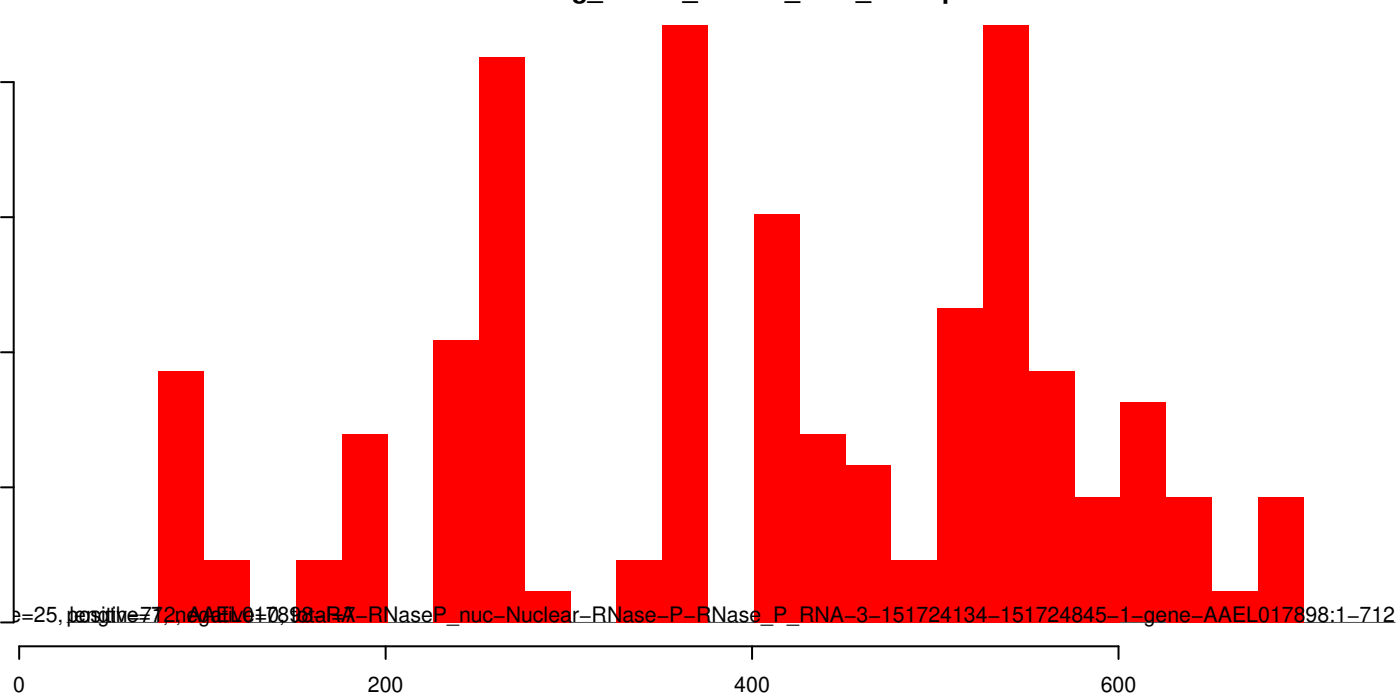
AeAeg\_Whole\_ZIKVdr\_BM2\_GP.18\_23.rep



AeAeg\_Whole\_ZIKVdr\_BM2\_GP.24\_35.rep



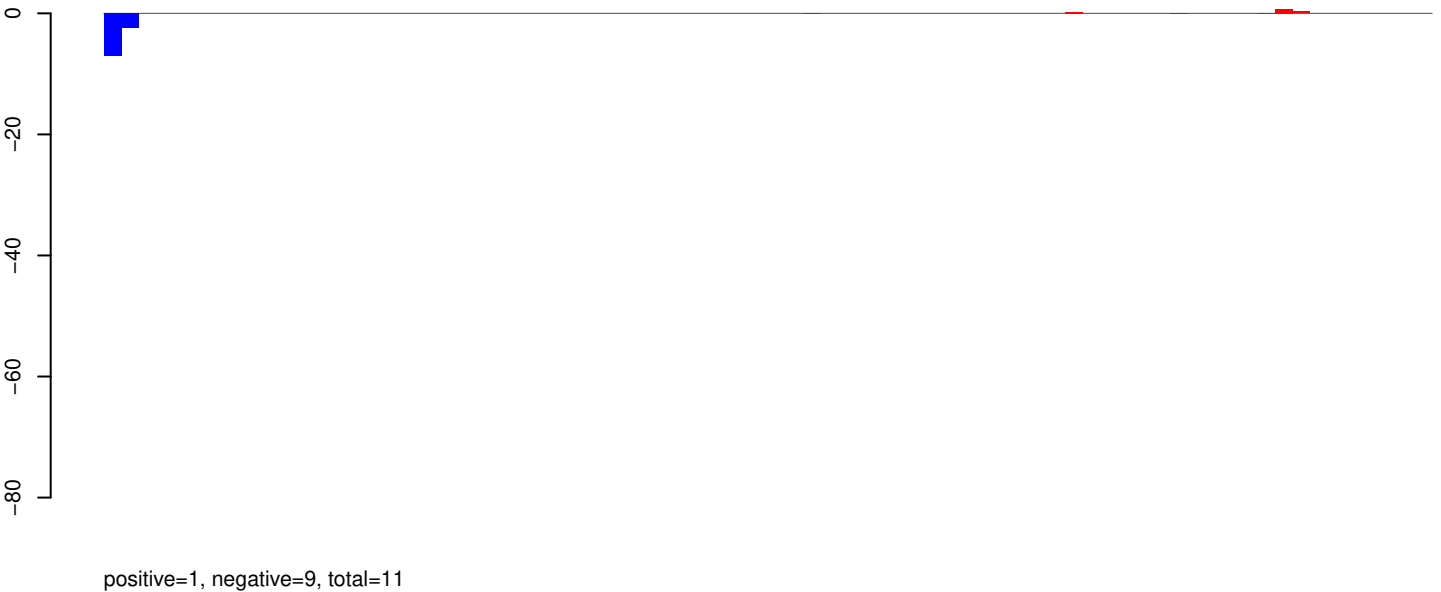
AeAeg\_Whole\_ZIKVdr\_BM2\_GP.rep



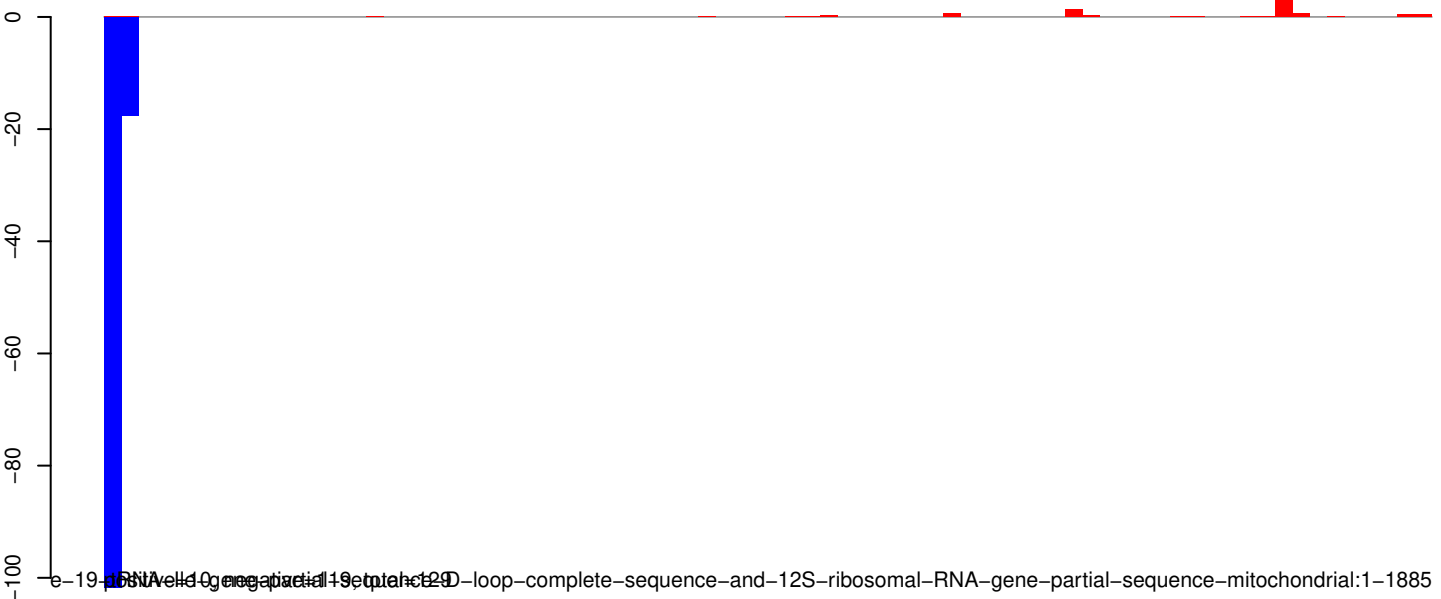
**AeAeg\_Whole\_ZIKVdr\_BM2\_GP.18\_23.rep**



**AeAeg\_Whole\_ZIKVdr\_BM2\_GP.24\_35.rep**

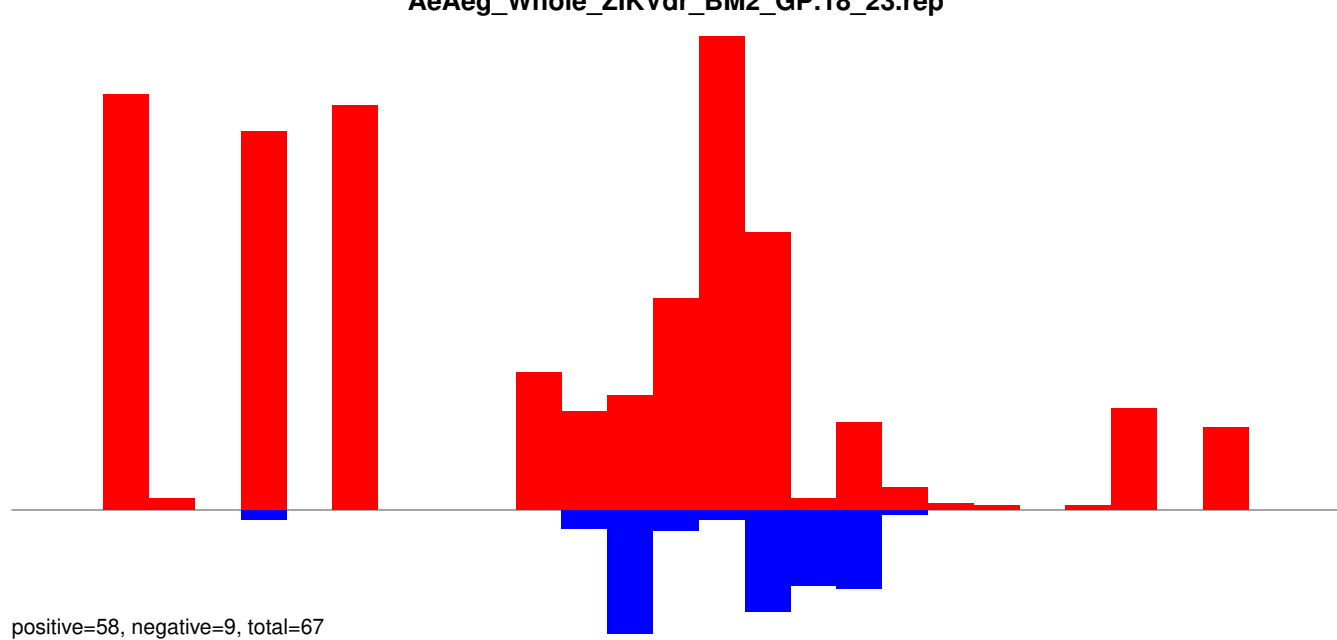


**AeAeg\_Whole\_ZIKVdr\_BM2\_GP.rep**

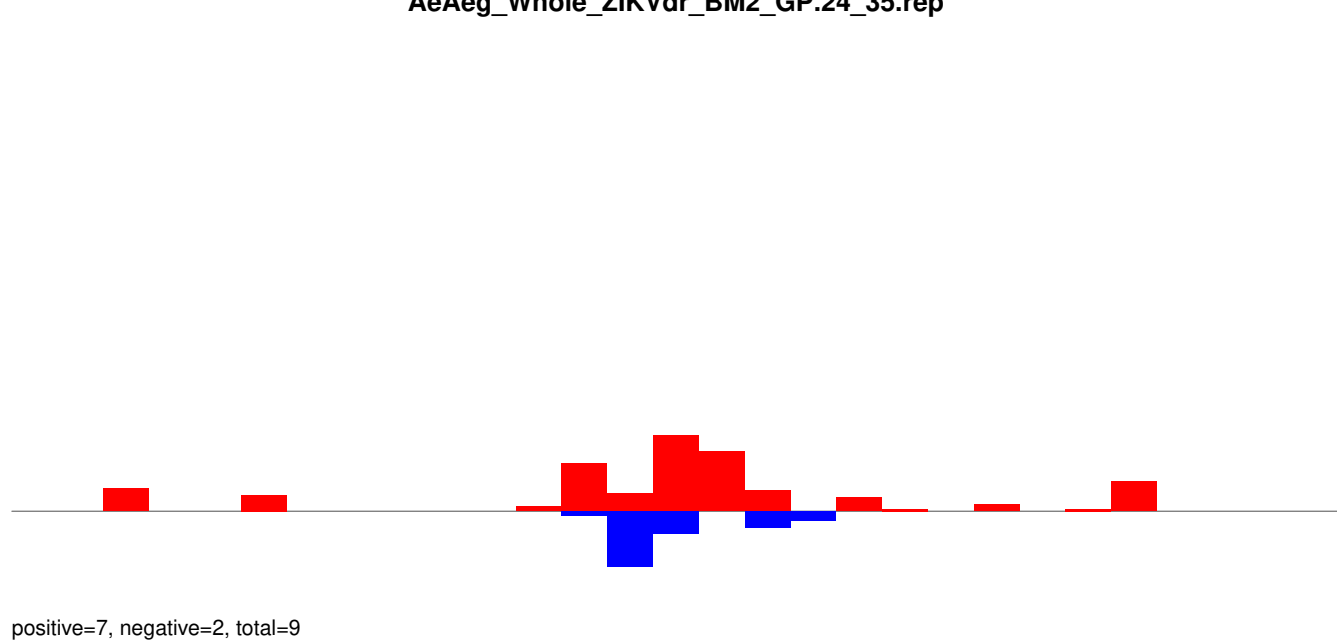


e-19-451140-gene-partial-19-19-129-loop-complete-sequence-and-12S-ribosomal-RNA-gene-partial-sequence-mitochondrial:1-1885

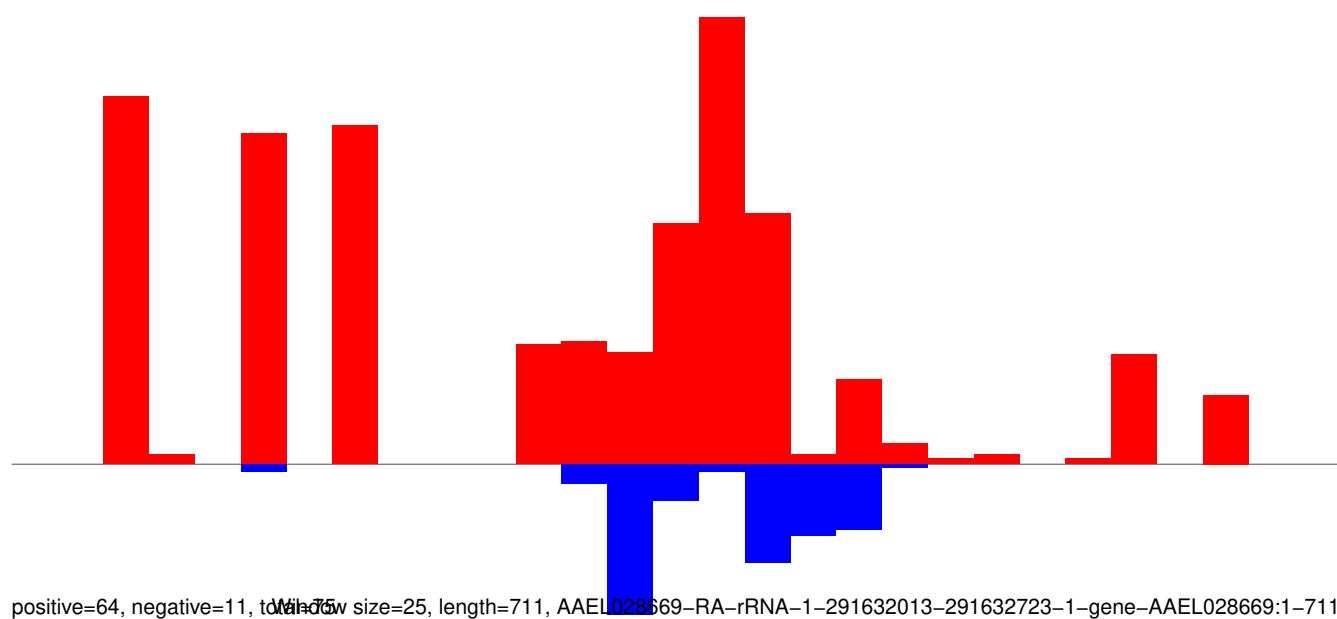
**AeAeg\_Whole\_ZIKVdr\_BM2\_GP.18\_23.rep**



**AeAeg\_Whole\_ZIKVdr\_BM2\_GP.24\_35.rep**



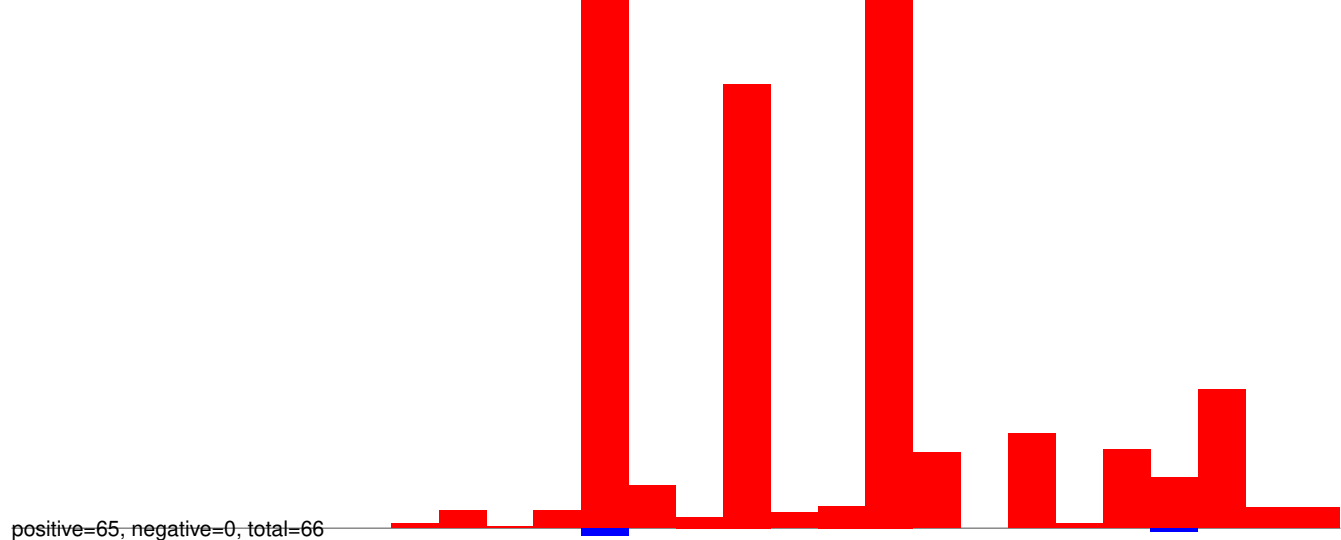
**AeAeg\_Whole\_ZIKVdr\_BM2\_GP.rep**



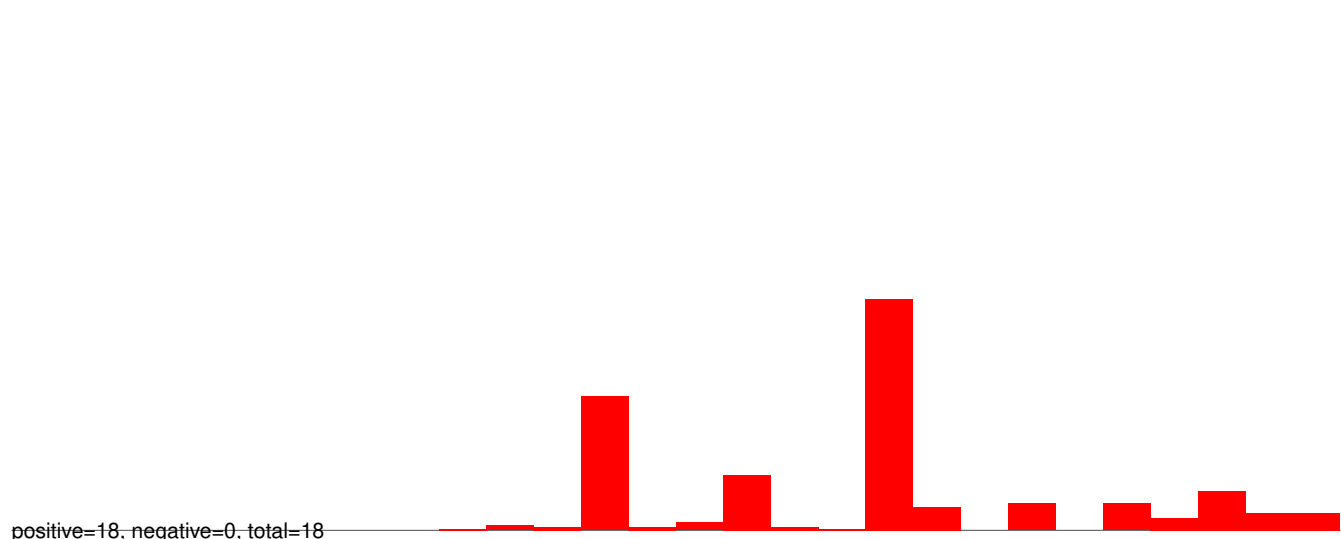
Window size=25, length=711, AAEL028669-RA-rRNA-1-291632013-291632723-1-gene-AAEL028669:1-711



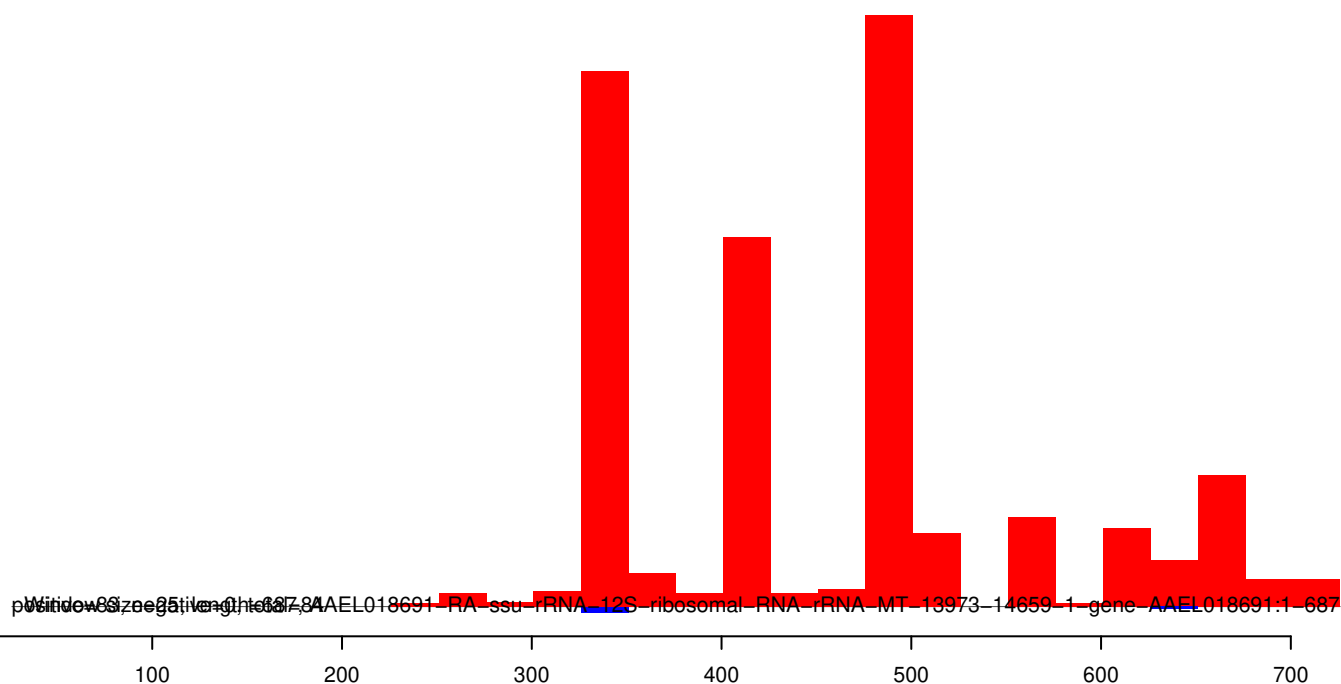
AeAeg\_Whole\_ZIKVdr\_BM2\_GP.18\_23.rep



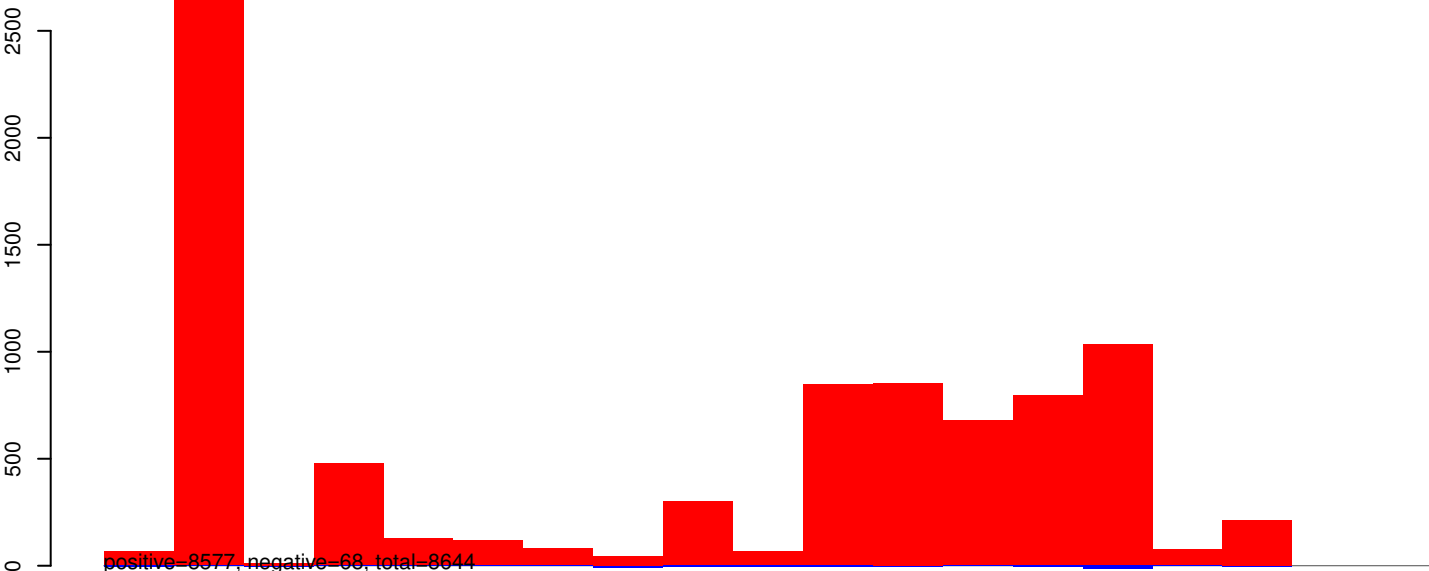
AeAeg\_Whole\_ZIKVdr\_BM2\_GP.24\_35.rep



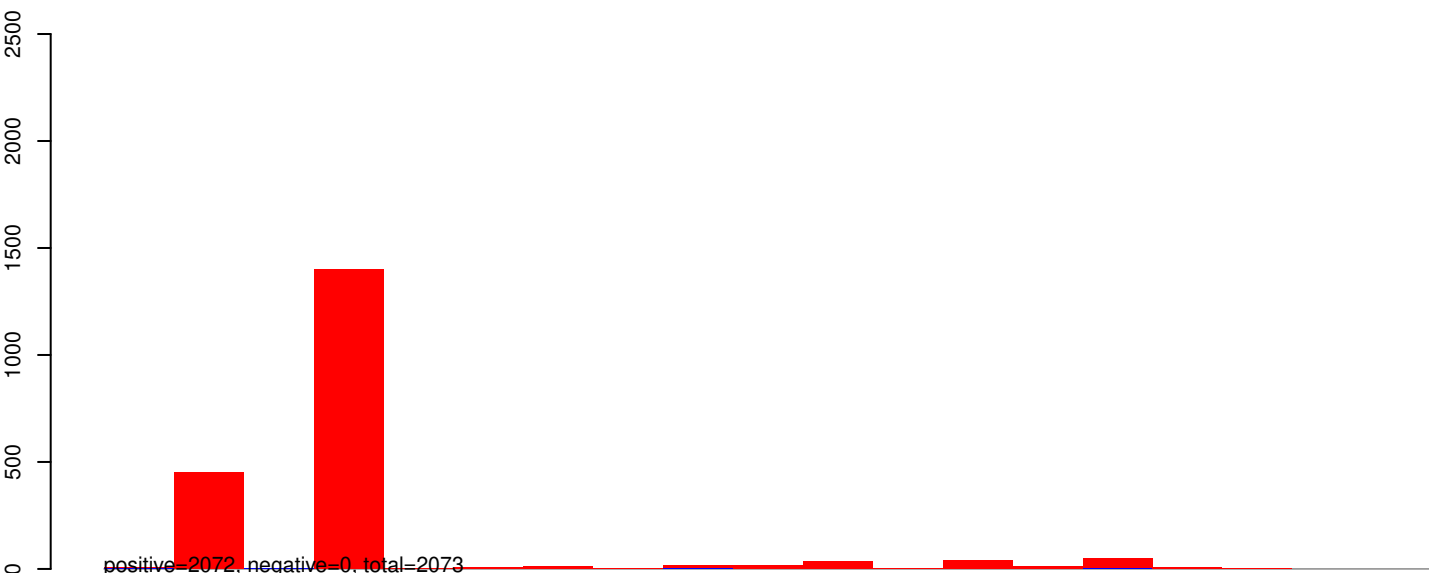
AeAeg\_Whole\_ZIKVdr\_BM2\_GP.rep



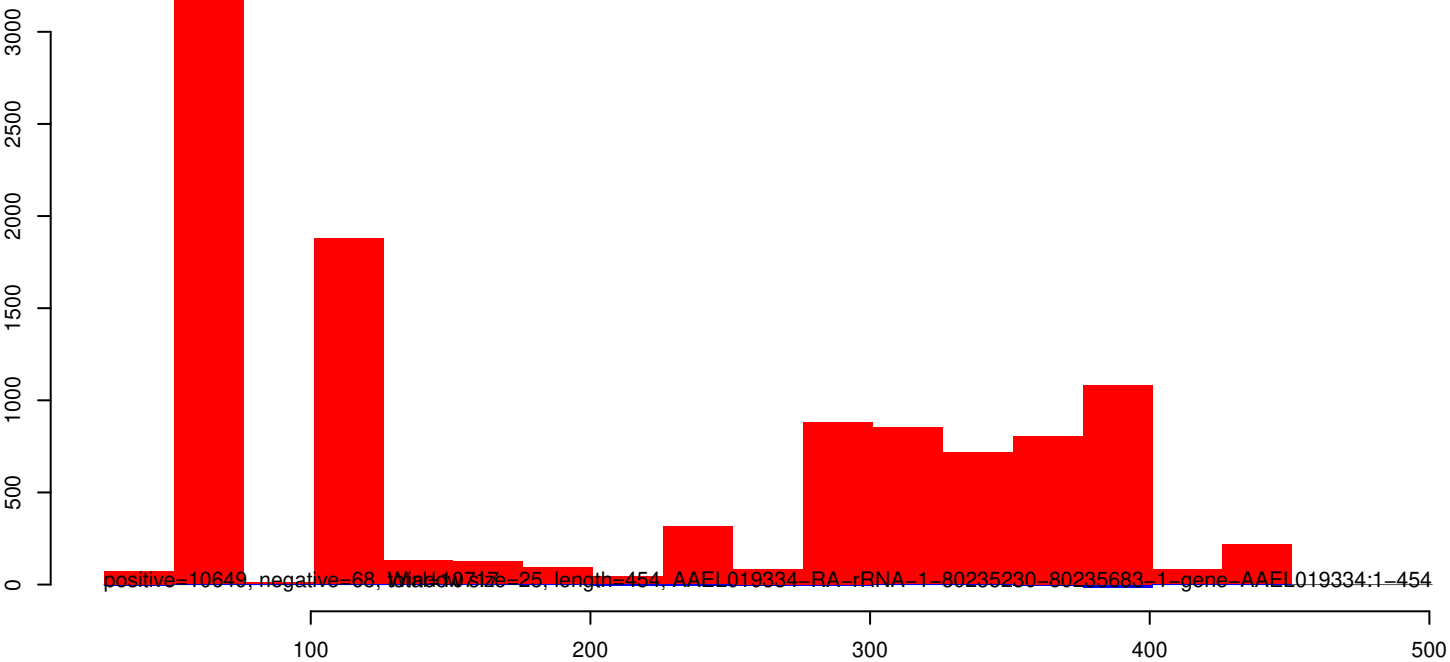
AeAeg\_Whole\_ZIKVdr\_BM2\_GP.18\_23.rep



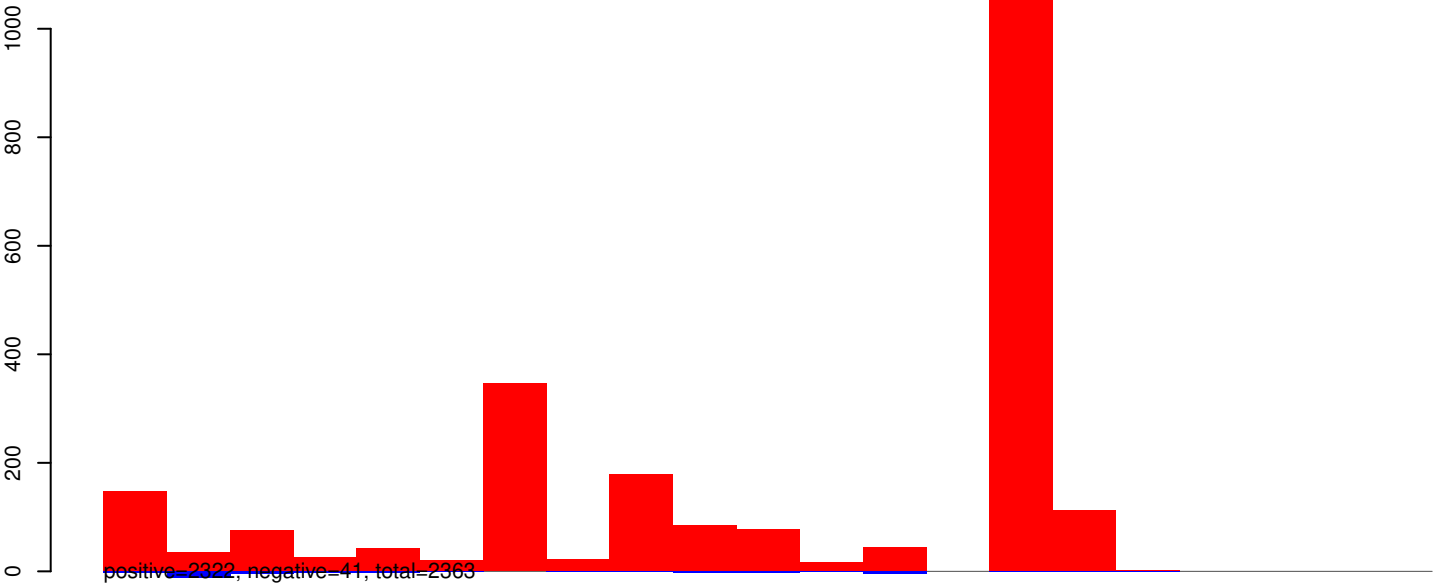
AeAeg\_Whole\_ZIKVdr\_BM2\_GP.24\_35.rep



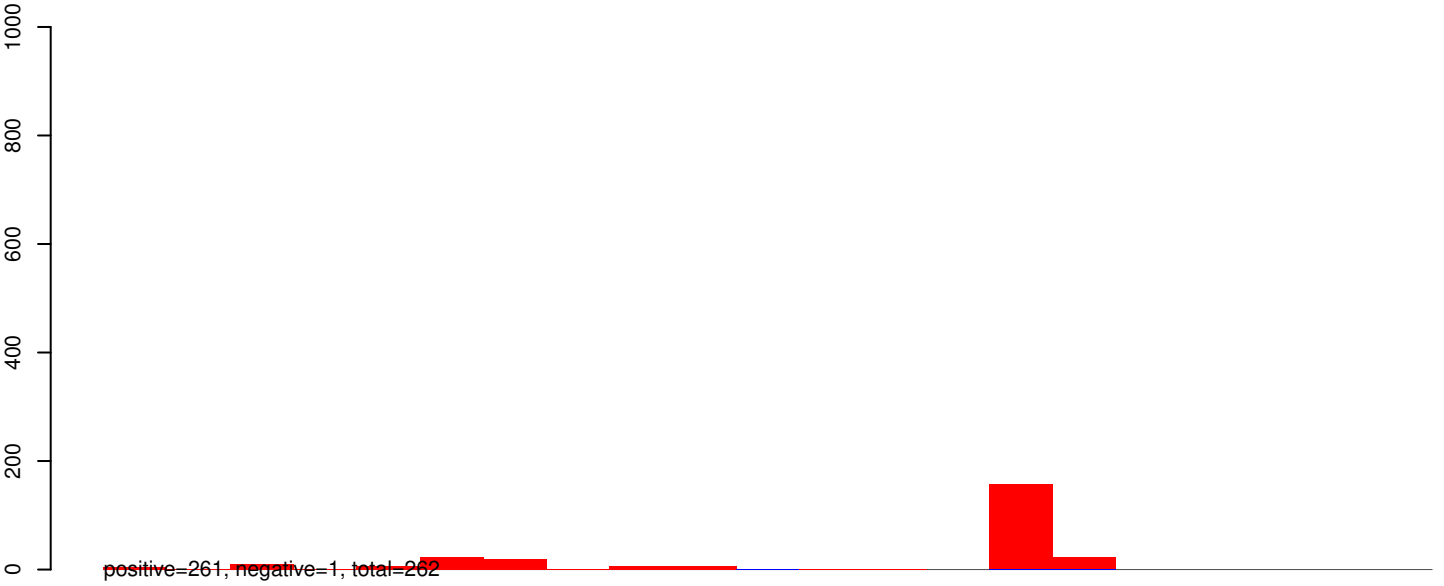
AeAeg\_Whole\_ZIKVdr\_BM2\_GP.rep



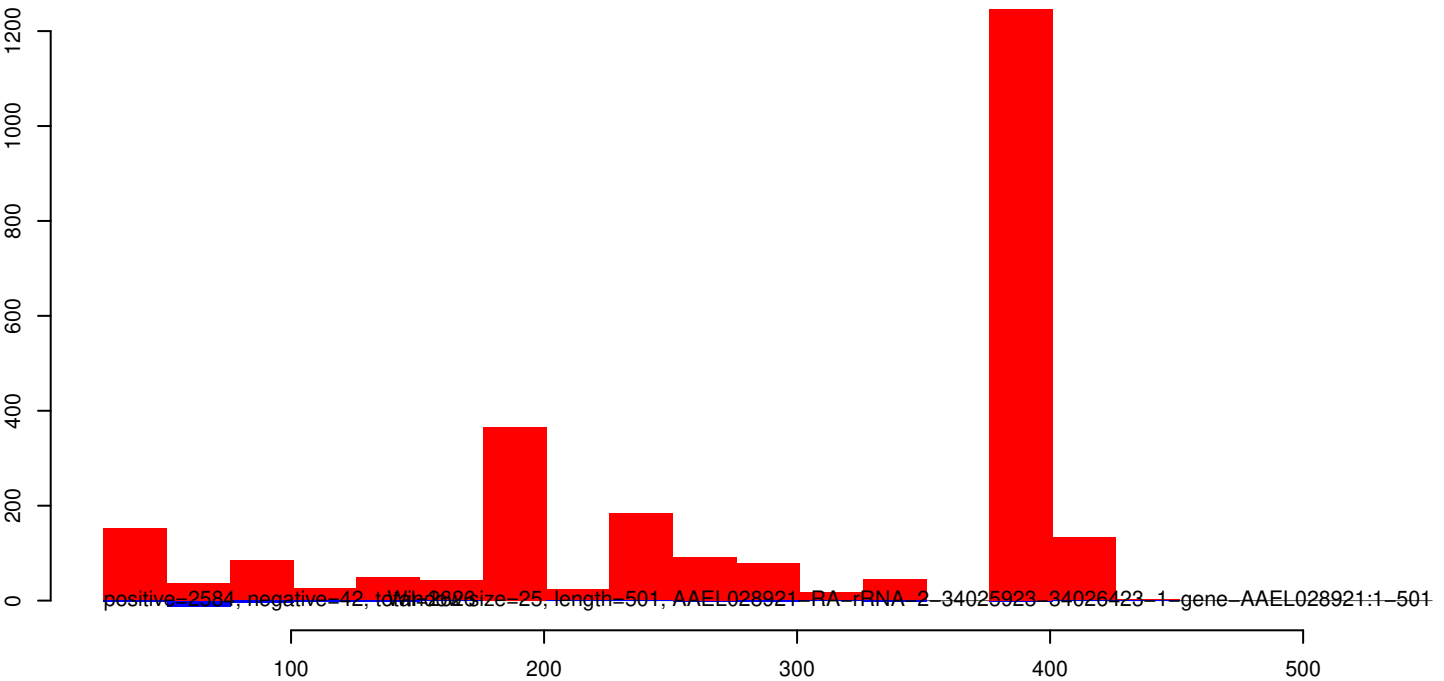
AeAeg\_Whole\_ZIKVdr\_BM2\_GP.18\_23.rep



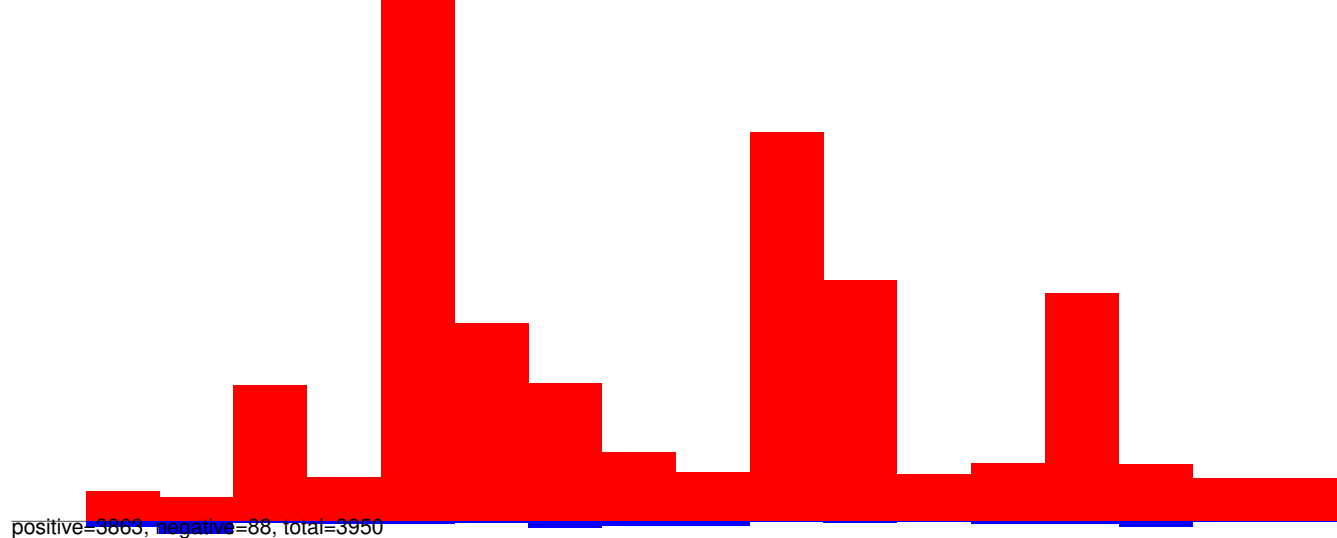
AeAeg\_Whole\_ZIKVdr\_BM2\_GP.24\_35.rep



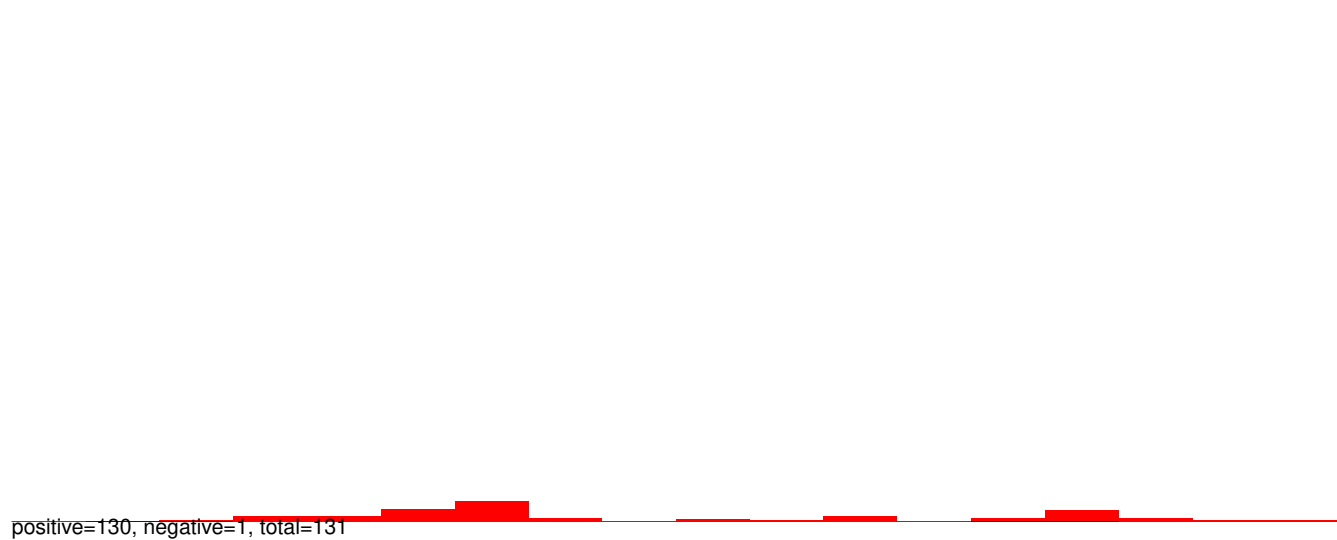
AeAeg\_Whole\_ZIKVdr\_BM2\_GP.rep



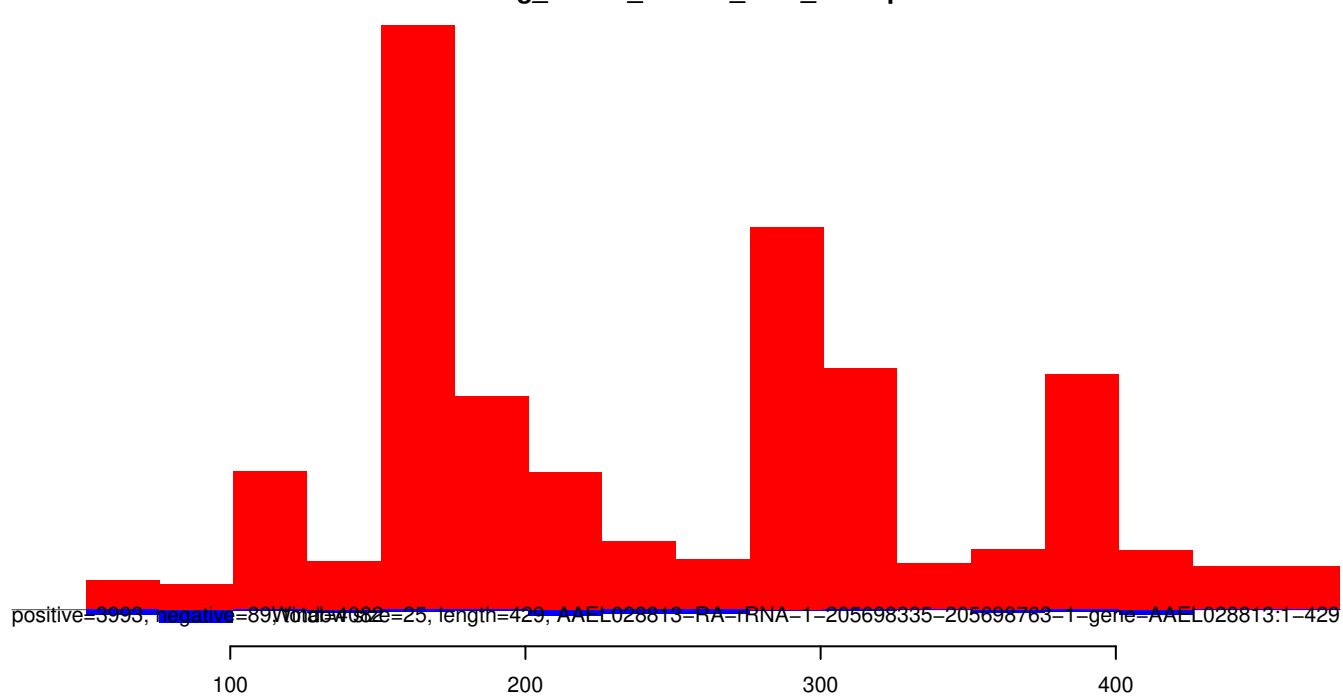
AeAeg\_Whole\_ZIKVdr\_BM2\_GP.18\_23.rep



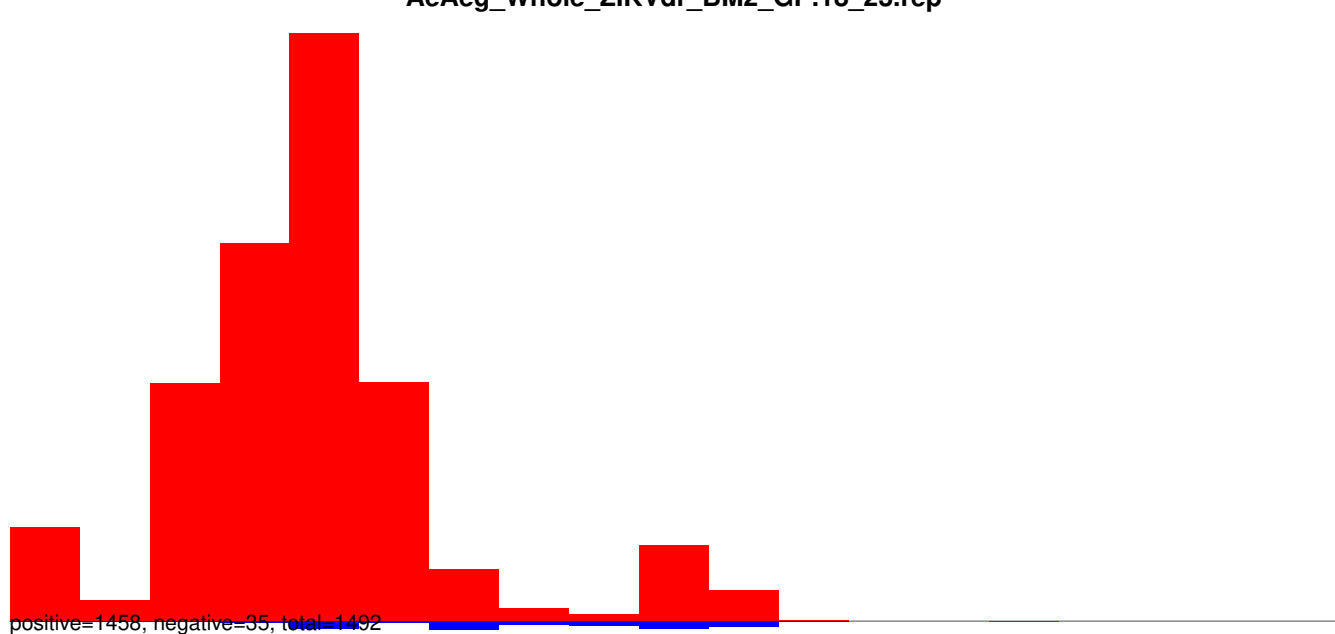
AeAeg\_Whole\_ZIKVdr\_BM2\_GP.24\_35.rep



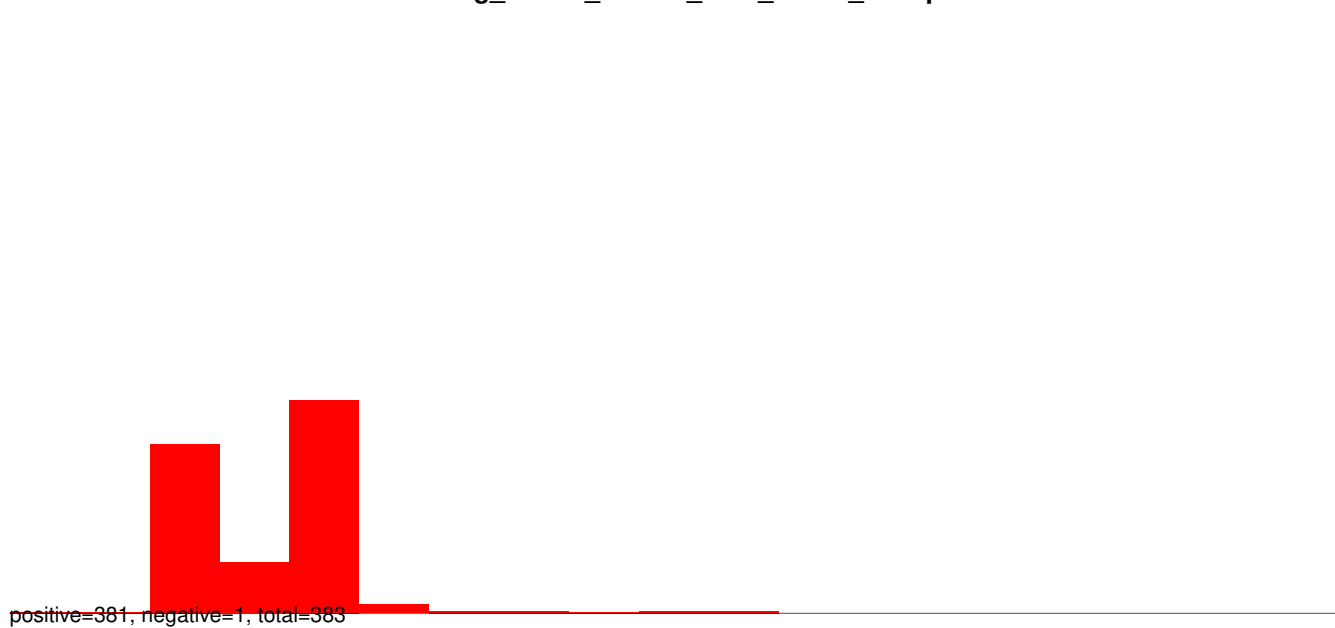
AeAeg\_Whole\_ZIKVdr\_BM2\_GP.rep



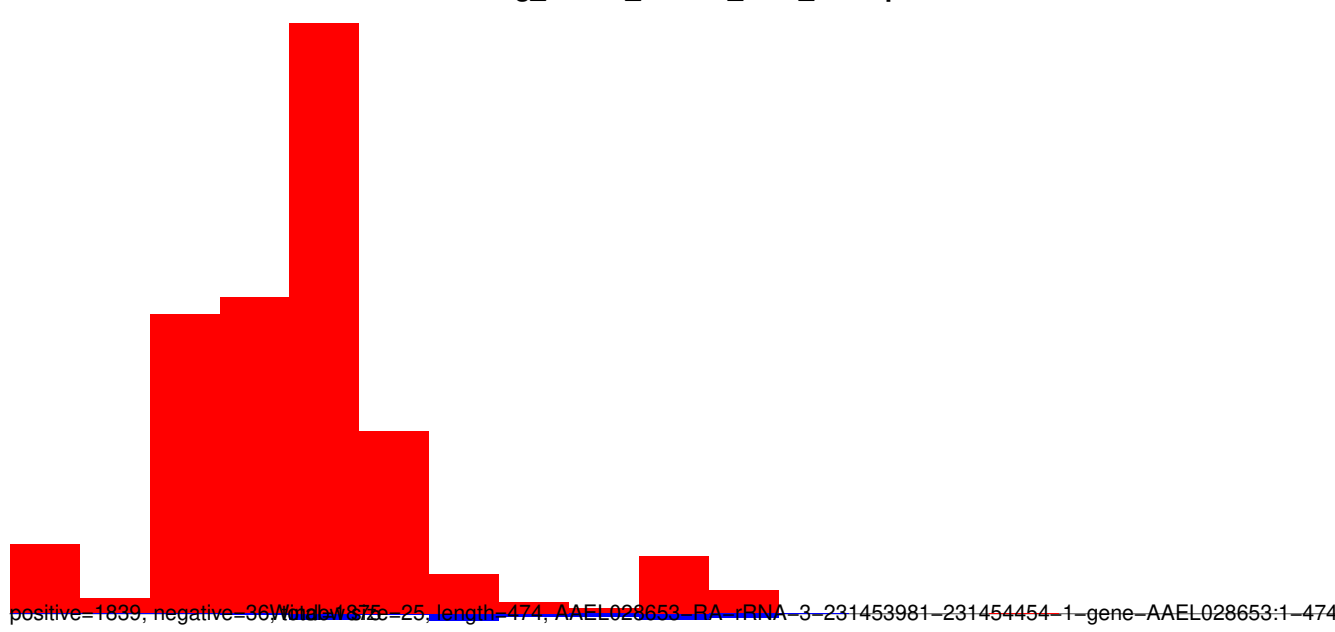
**AeAeg\_Whole\_ZIKVdr\_BM2\_GP.18\_23.rep**



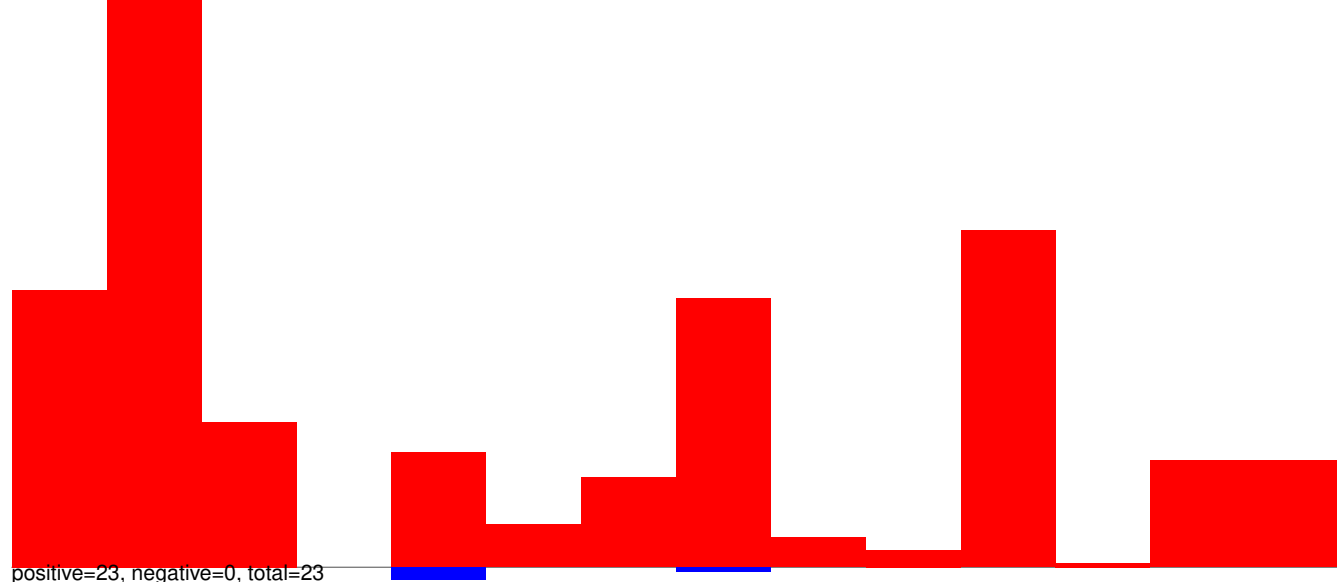
**AeAeg\_Whole\_ZIKVdr\_BM2\_GP.24\_35.rep**



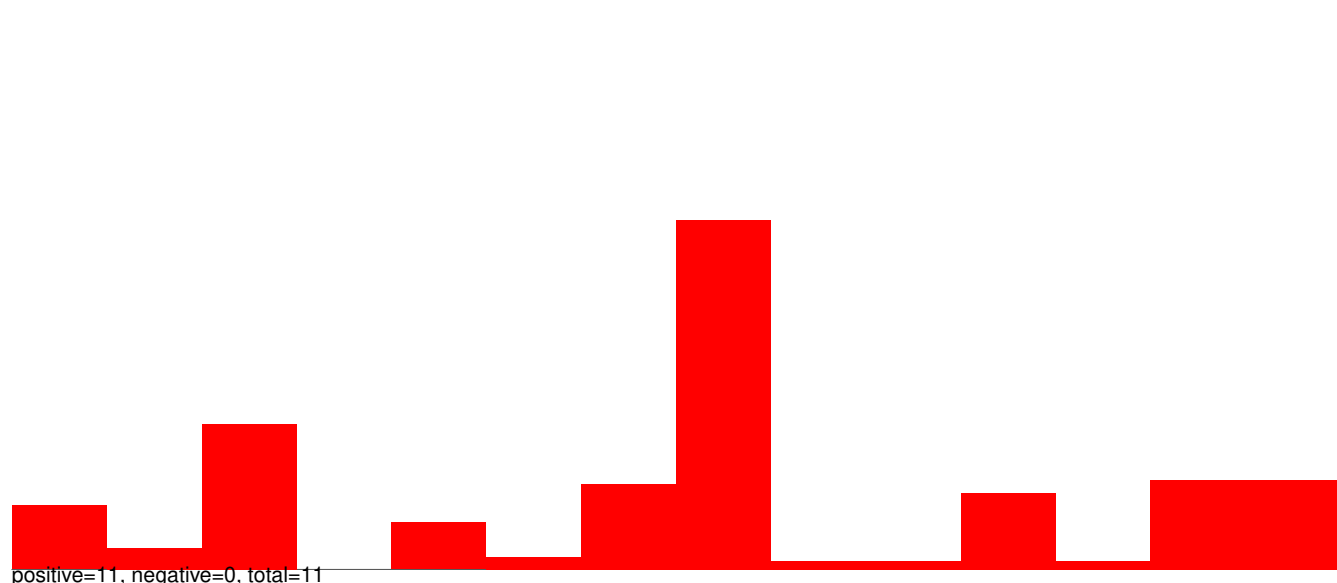
**AeAeg\_Whole\_ZIKVdr\_BM2\_GP.rep**



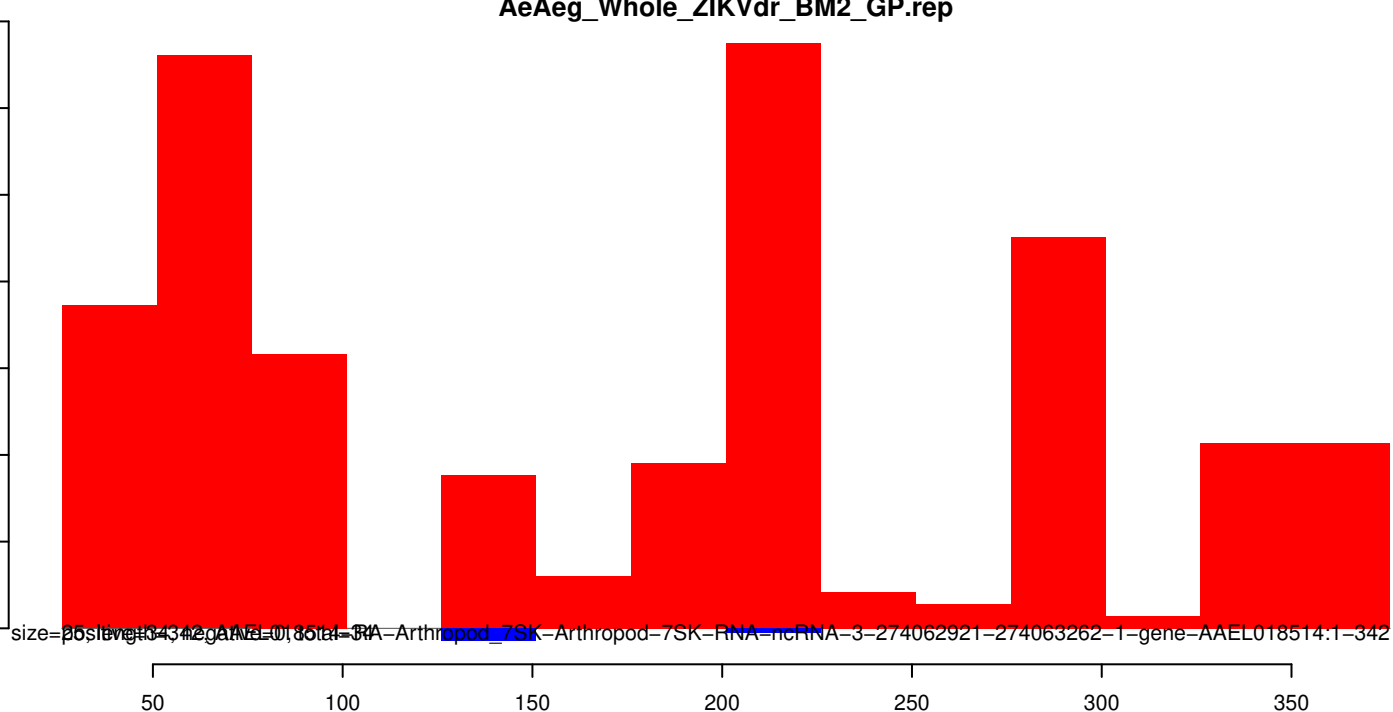
AeAeg\_Whole\_ZIKVdr\_BM2\_GP.18\_23.rep



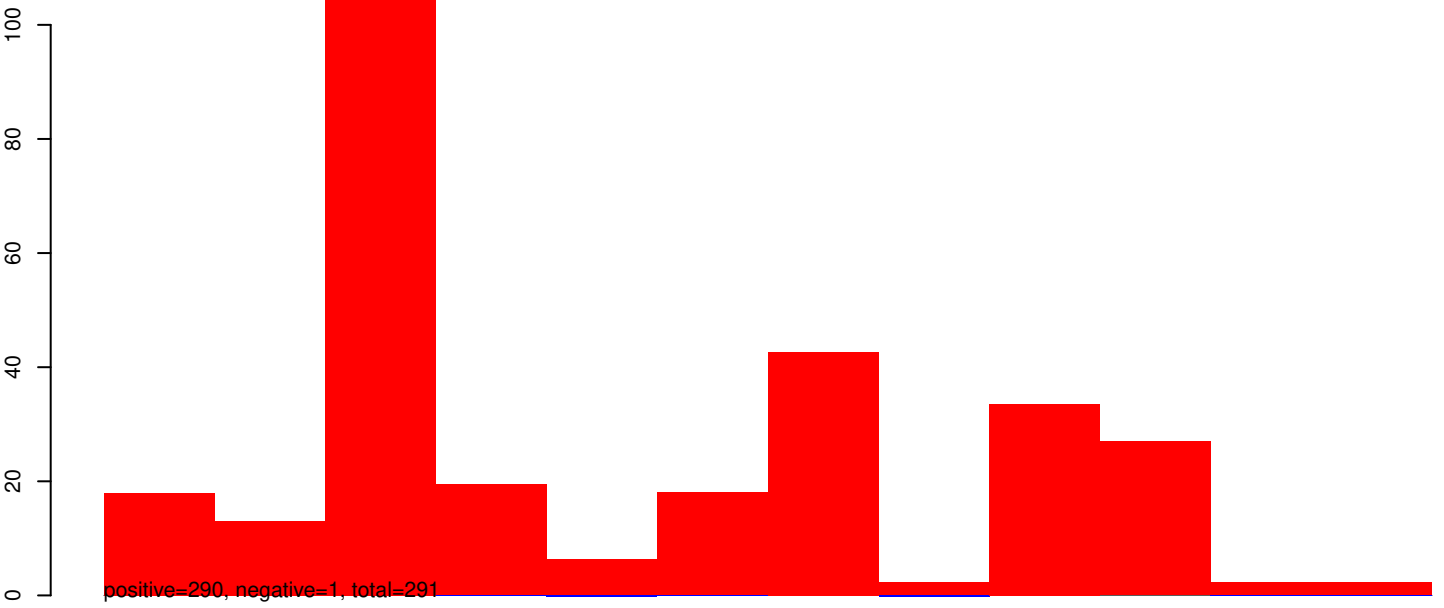
AeAeg\_Whole\_ZIKVdr\_BM2\_GP.24\_35.rep



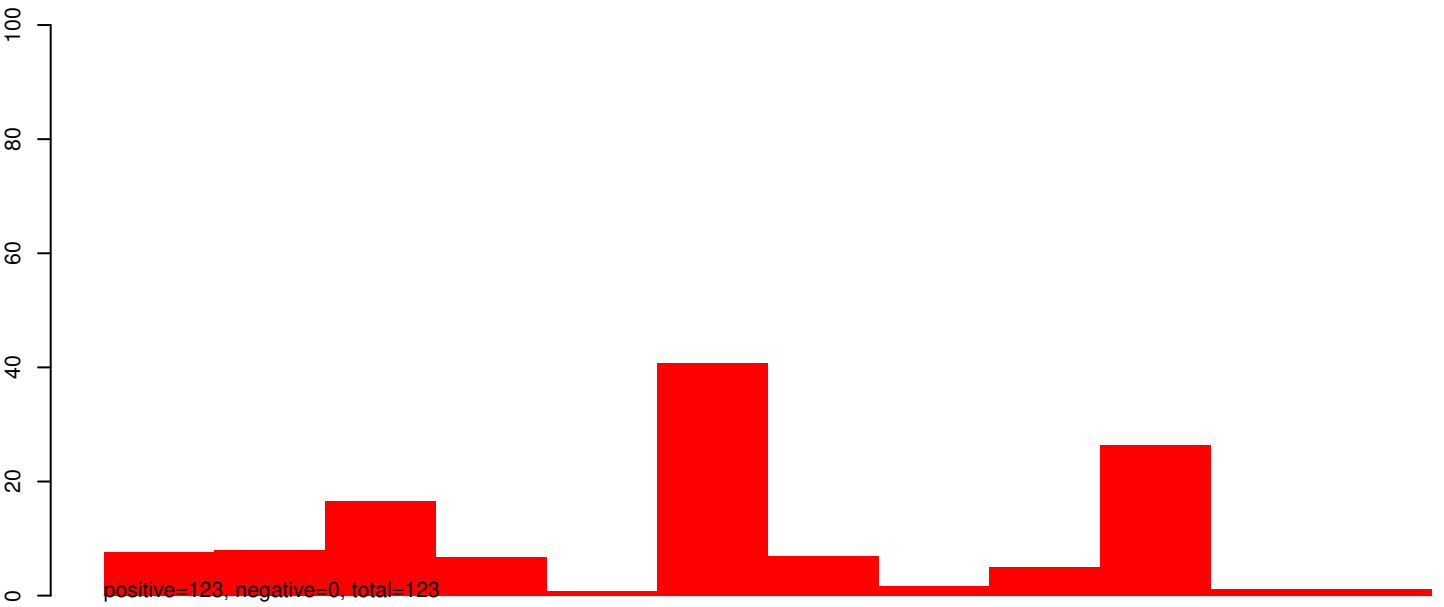
AeAeg\_Whole\_ZIKVdr\_BM2\_GP.rep



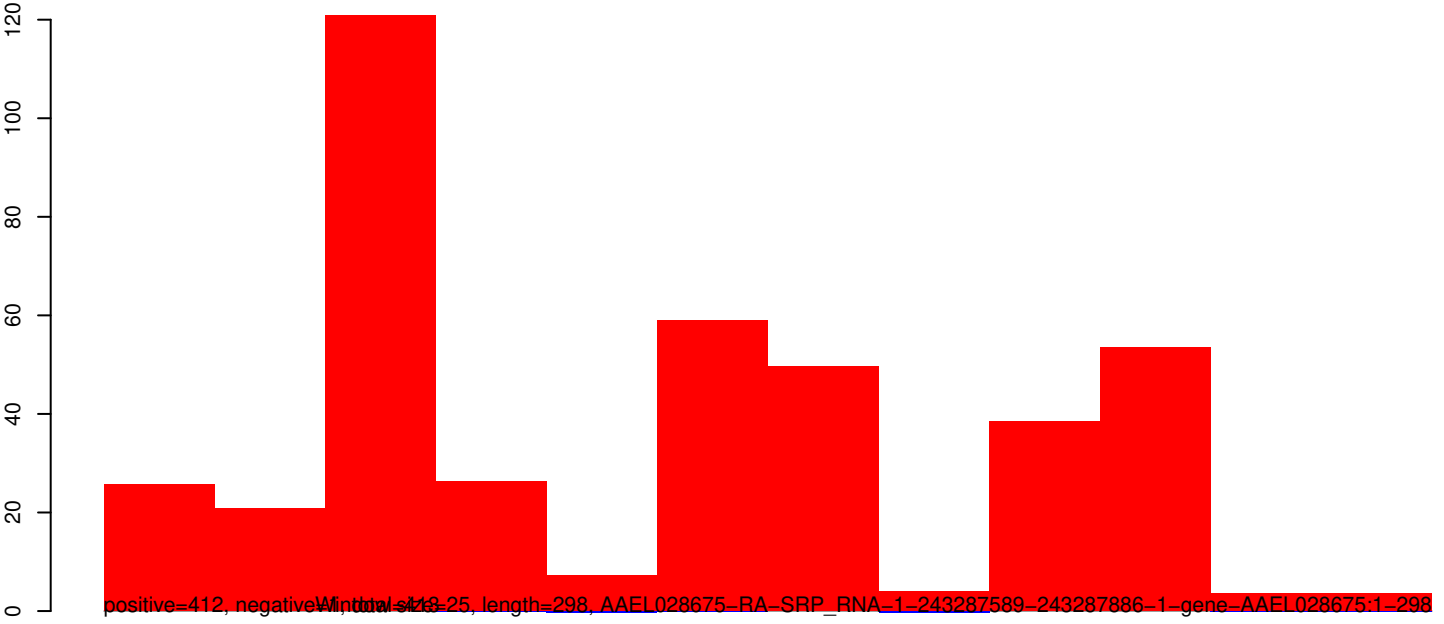
AeAeg\_Whole\_ZIKVdr\_BM2\_GP.18\_23.rep



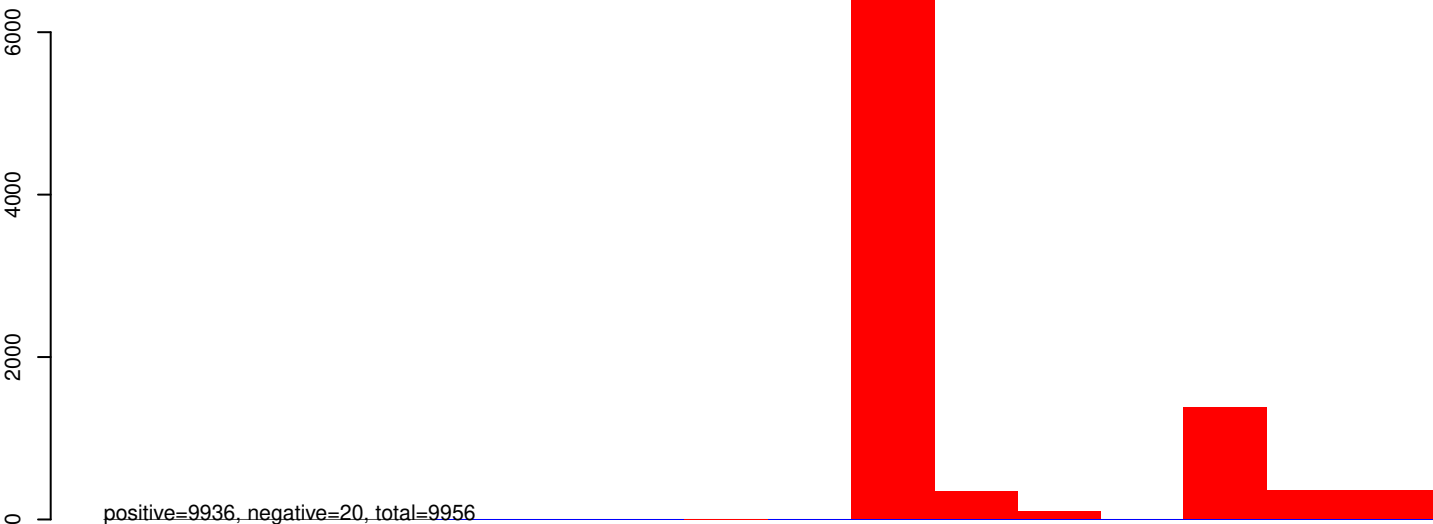
AeAeg\_Whole\_ZIKVdr\_BM2\_GP.24\_35.rep



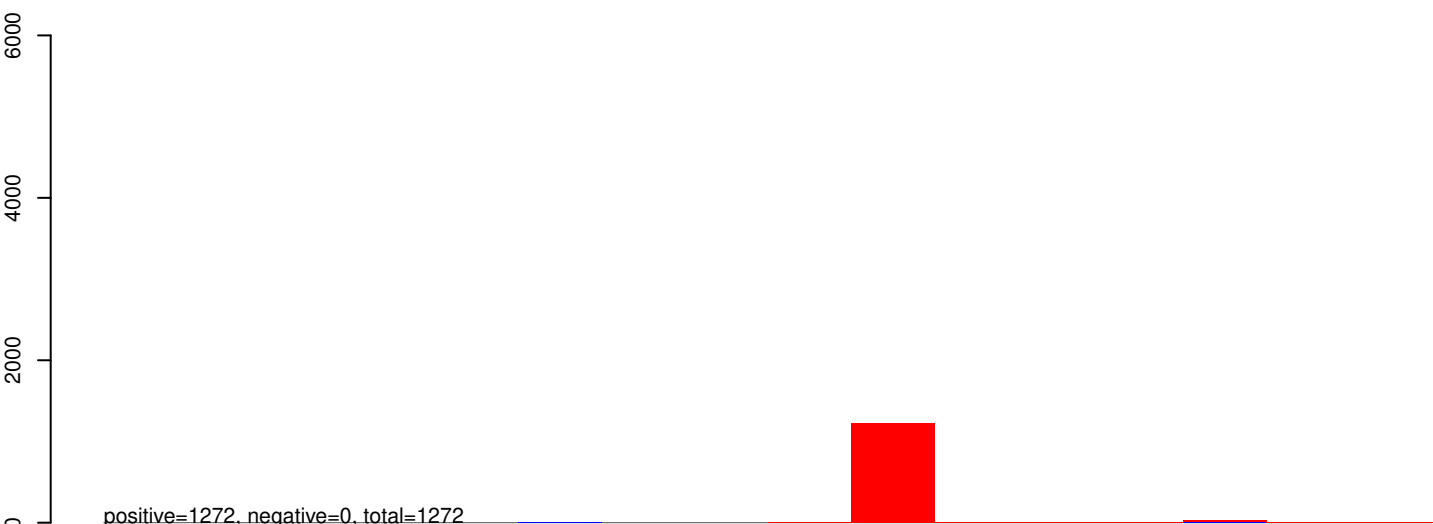
AeAeg\_Whole\_ZIKVdr\_BM2\_GP.rep



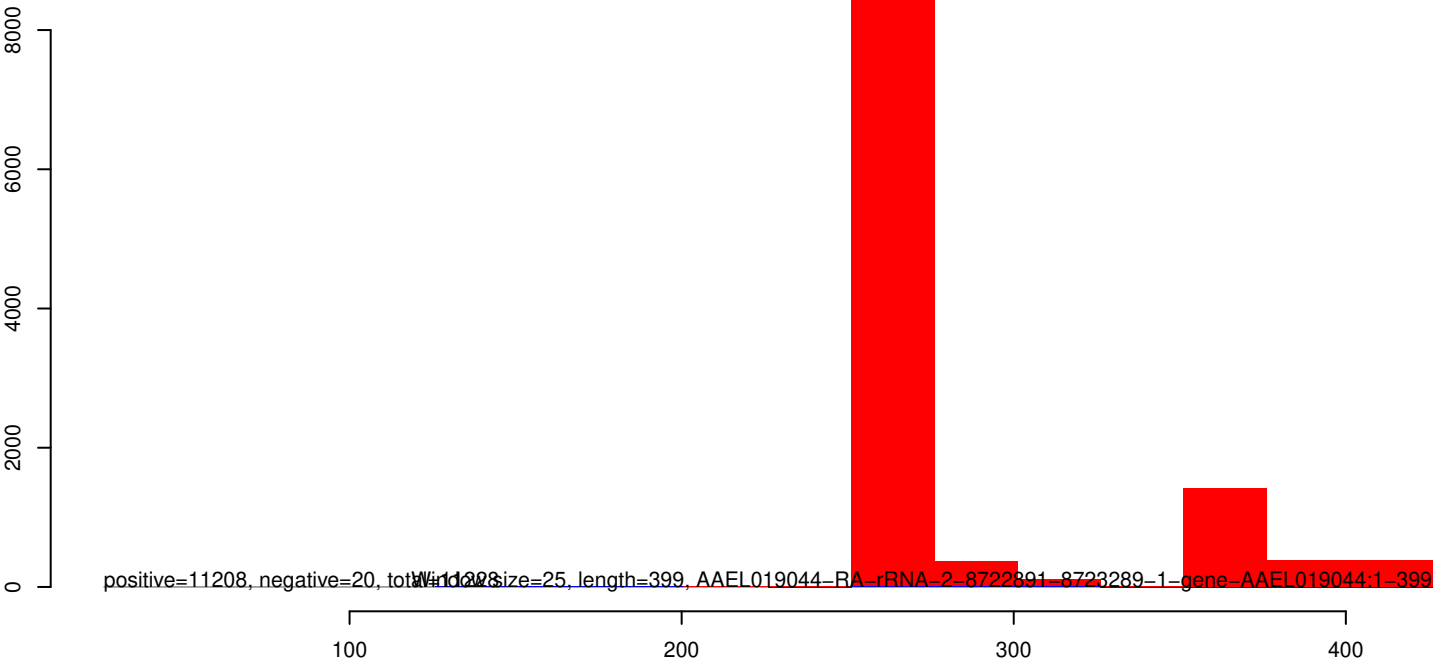
**AeAeg\_Whole\_ZIKVdr\_BM2\_GP.18\_23.rep**



**AeAeg\_Whole\_ZIKVdr\_BM2\_GP.24\_35.rep**

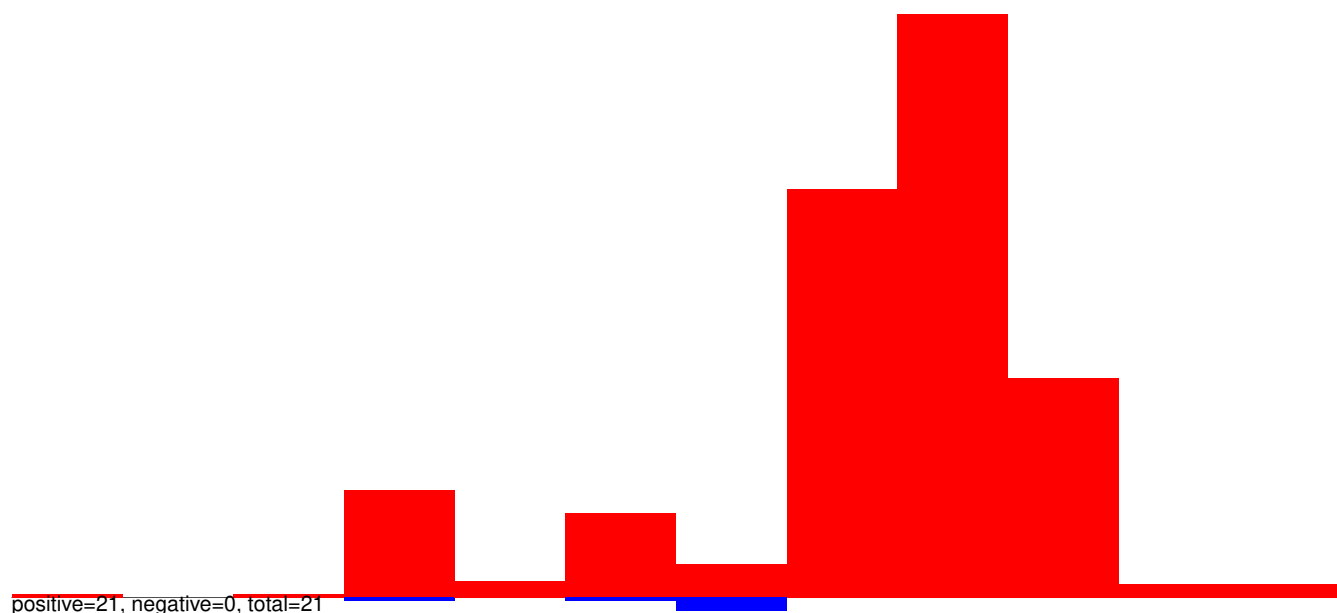


**AeAeg\_Whole\_ZIKVdr\_BM2\_GP.rep**

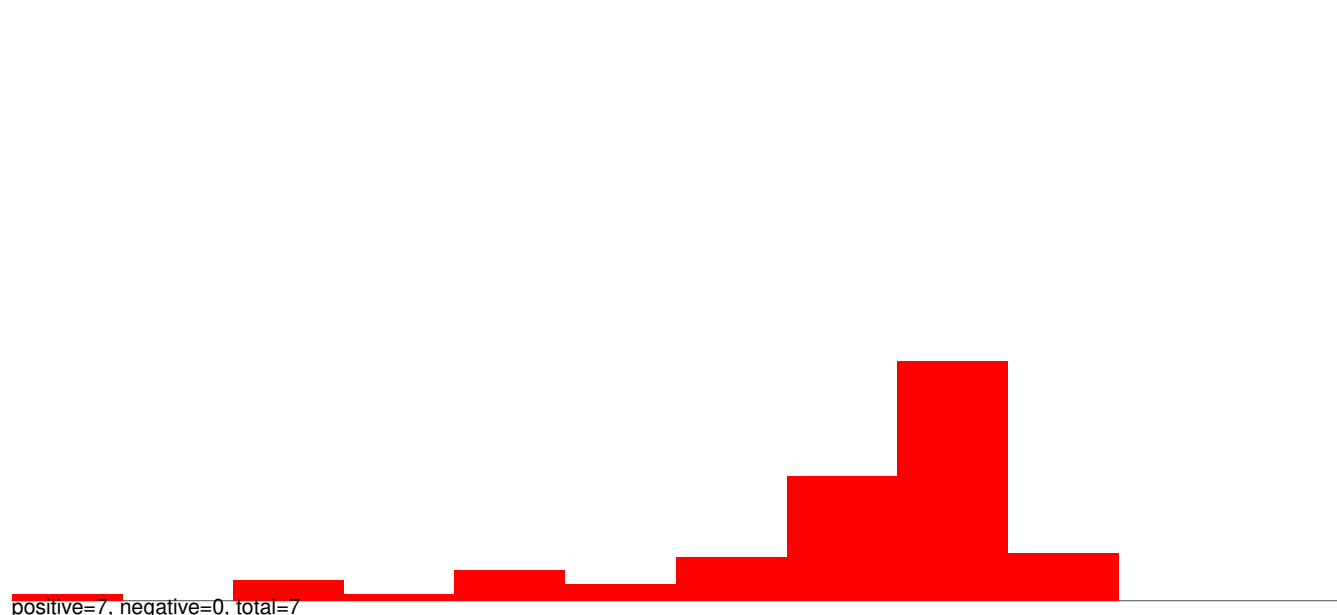




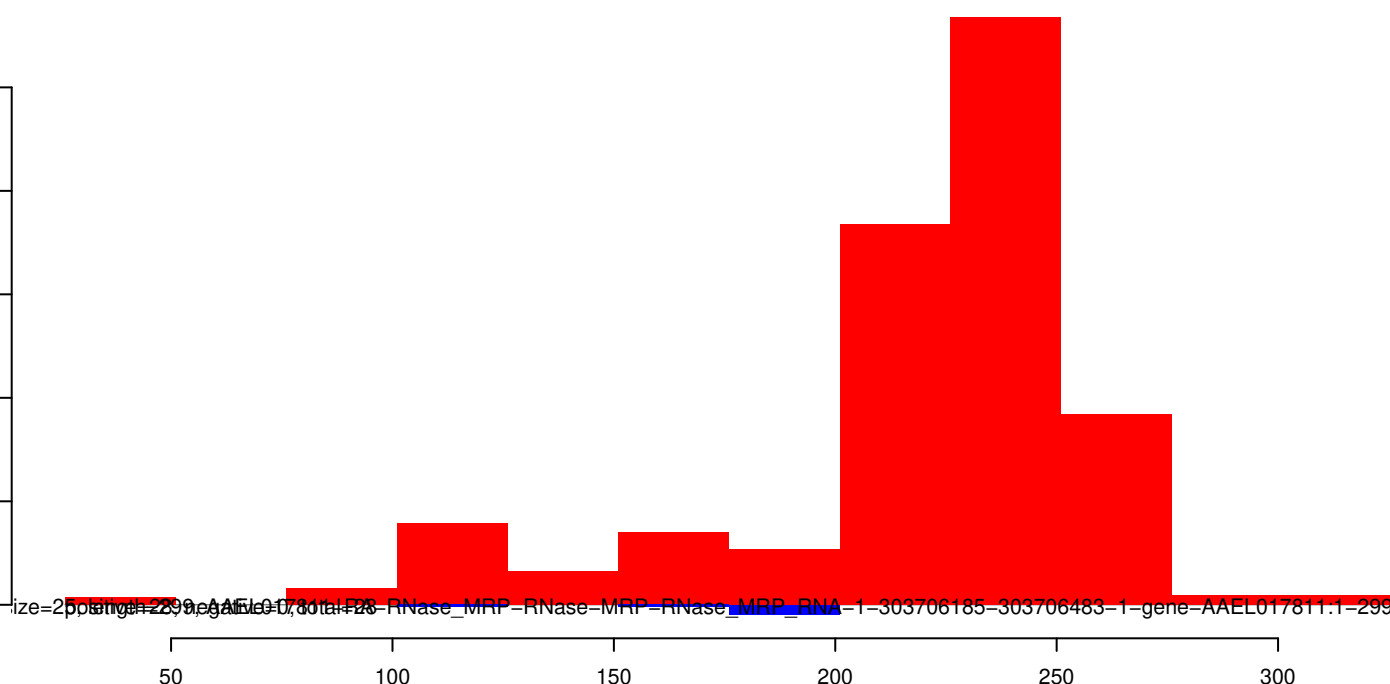
**AeAeg\_Whole\_ZIKVdr\_BM2\_GP.18\_23.rep**



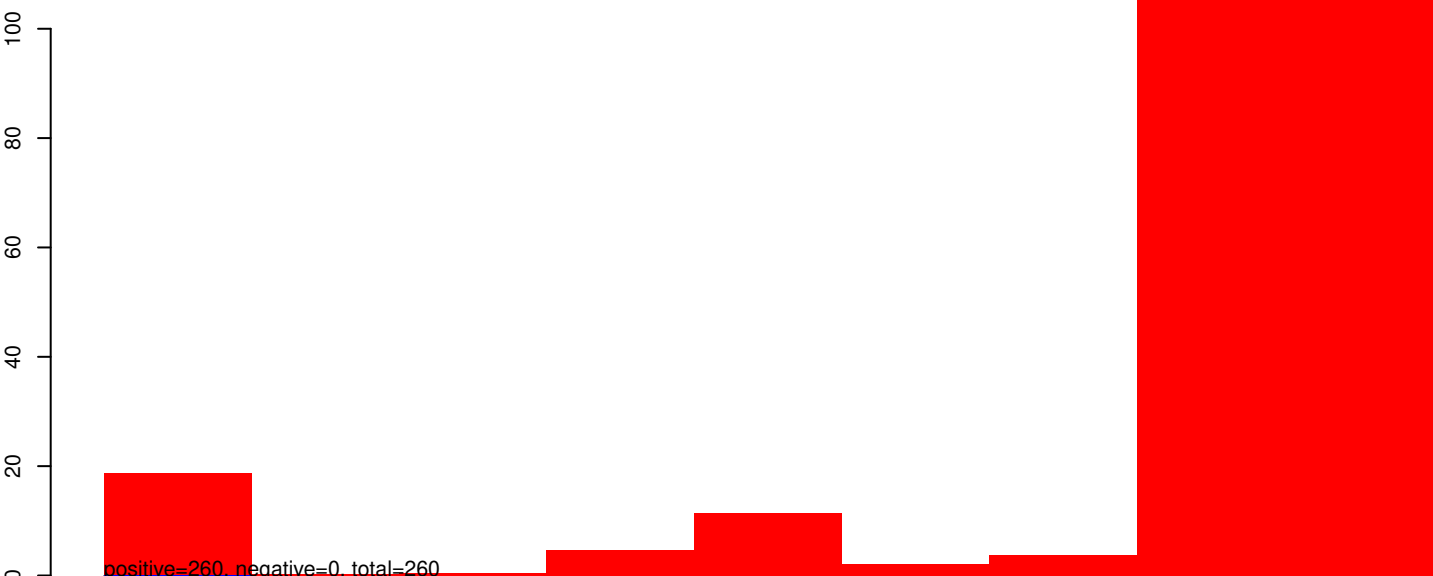
**AeAeg\_Whole\_ZIKVdr\_BM2\_GP.24\_35.rep**



**AeAeg\_Whole\_ZIKVdr\_BM2\_GP.rep**



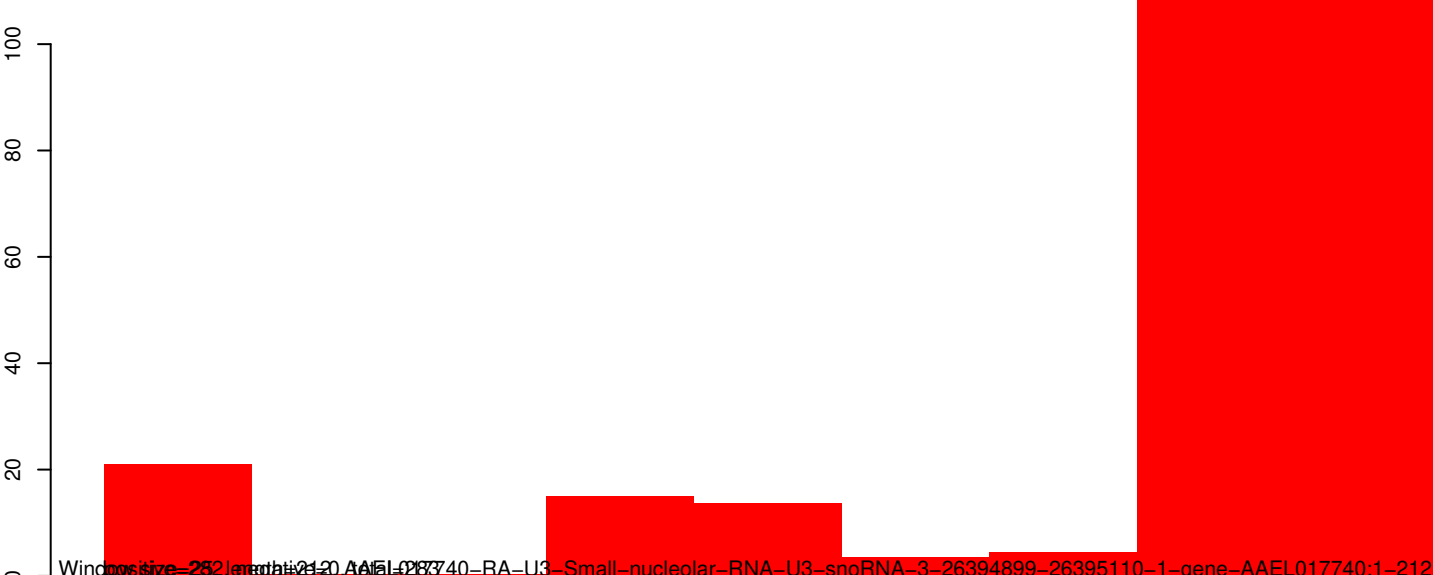
AeAeg\_Whole\_ZIKVdr\_BM2\_GP.18\_23.rep



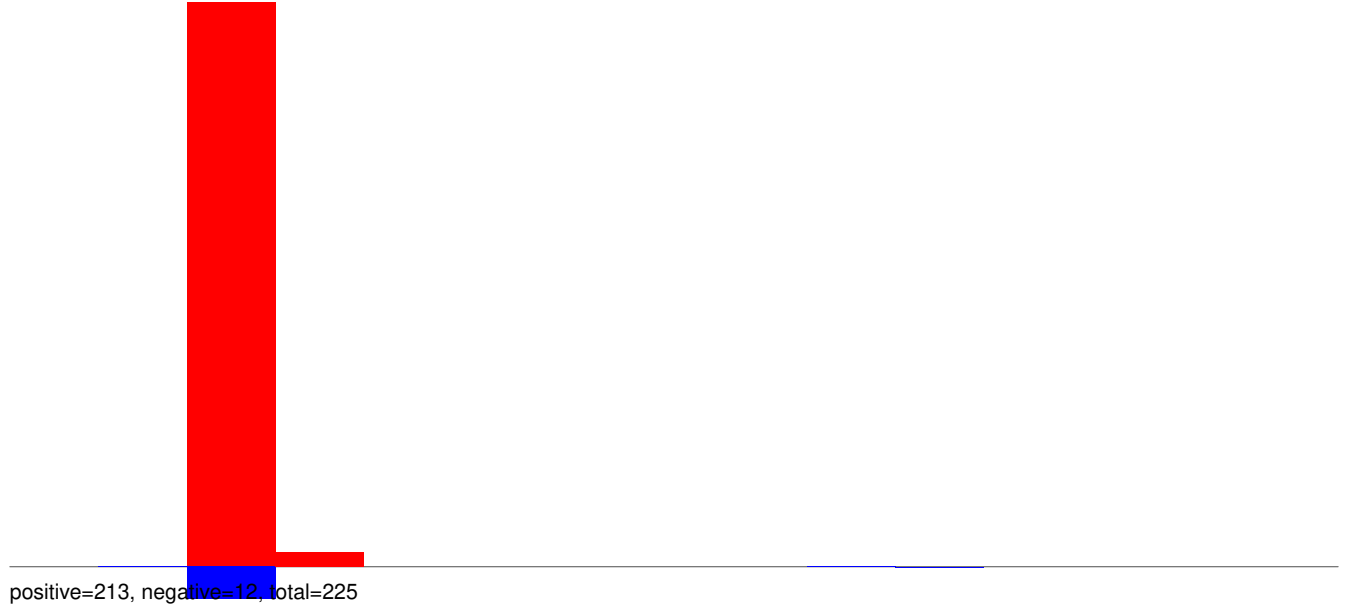
AeAeg\_Whole\_ZIKVdr\_BM2\_GP.24\_35.rep



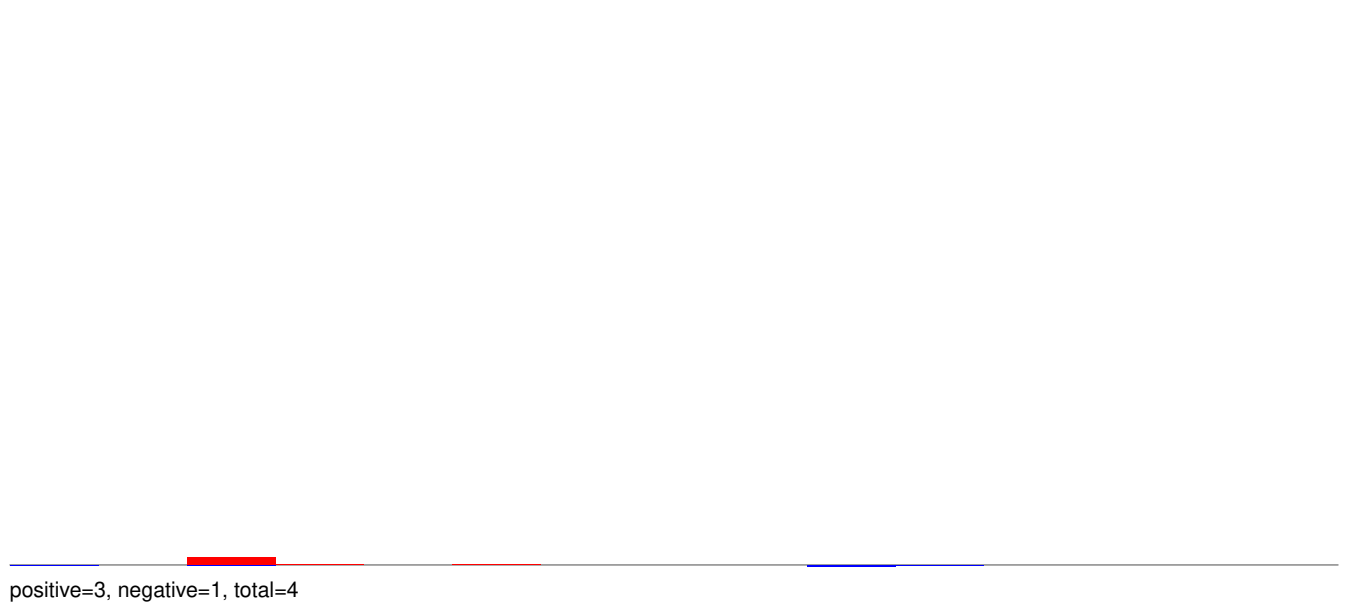
AeAeg\_Whole\_ZIKVdr\_BM2\_GP.rep



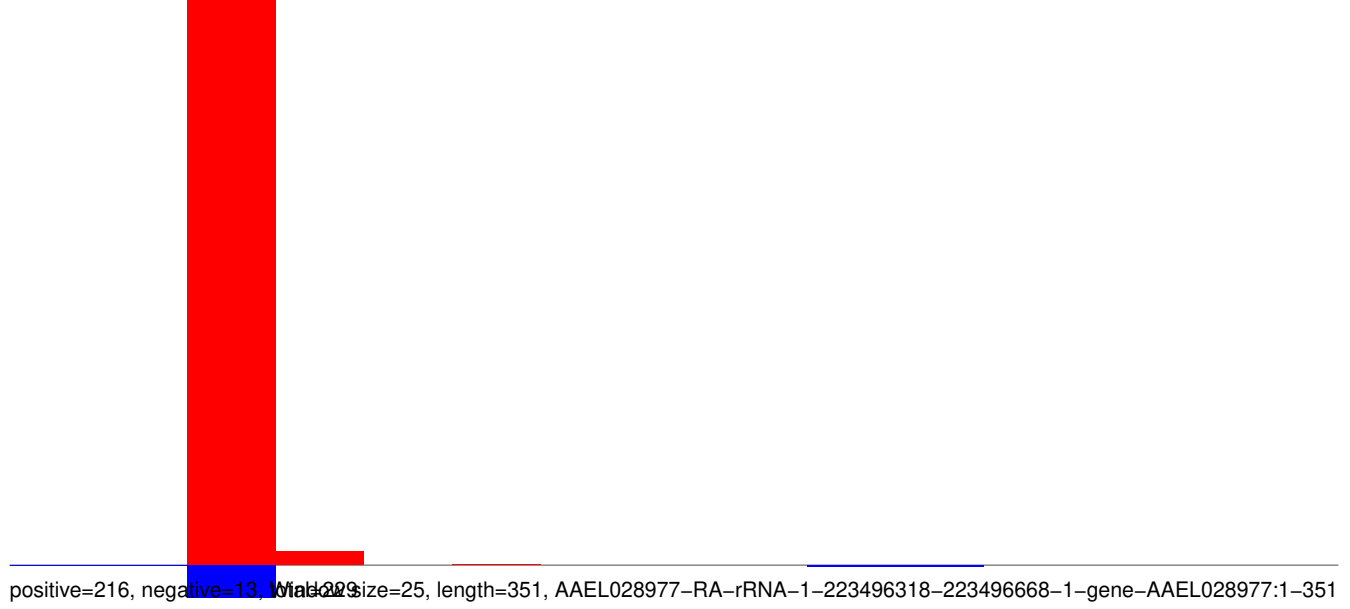
**AeAeg\_Whole\_ZIKVdr\_BM2\_GP.18\_23.rep**



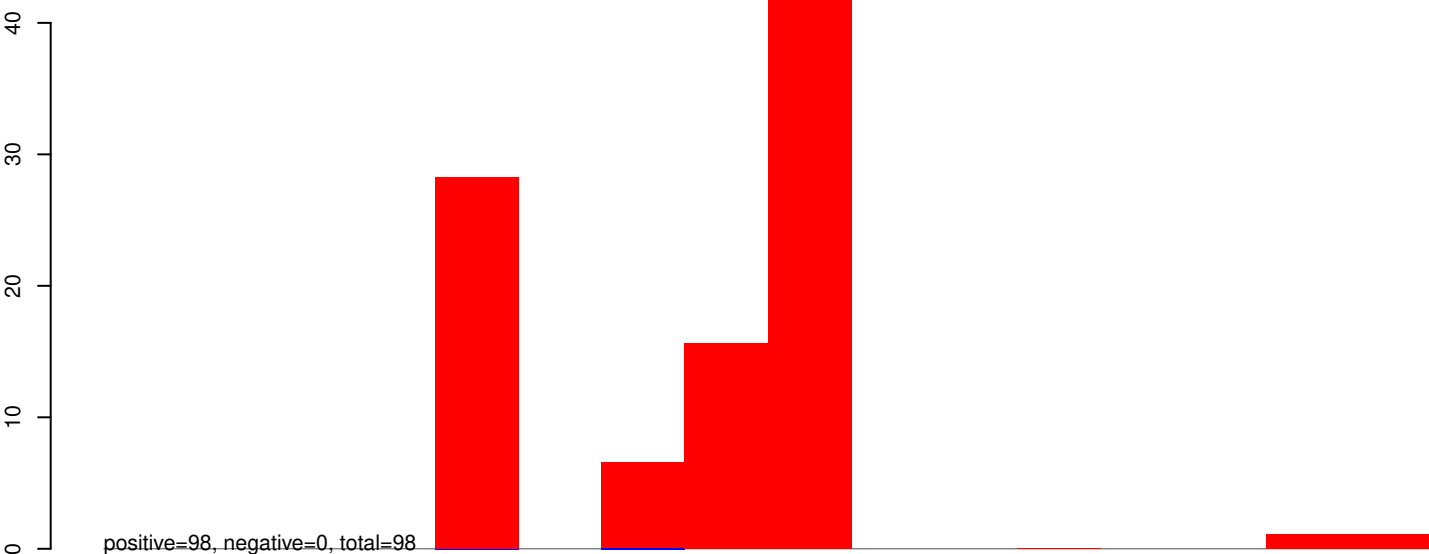
**AeAeg\_Whole\_ZIKVdr\_BM2\_GP.24\_35.rep**



**AeAeg\_Whole\_ZIKVdr\_BM2\_GP.rep**



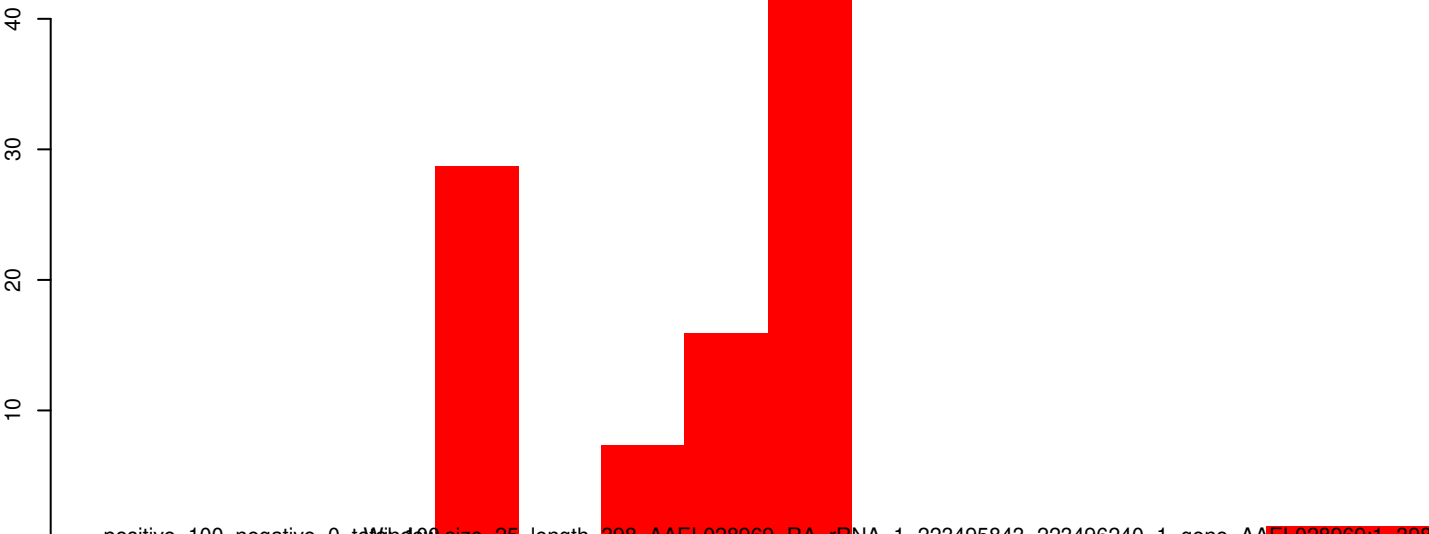
AeAeg\_Whole\_ZIKVdr\_BM2\_GP.18\_23.rep



AeAeg\_Whole\_ZIKVdr\_BM2\_GP.24\_35.rep

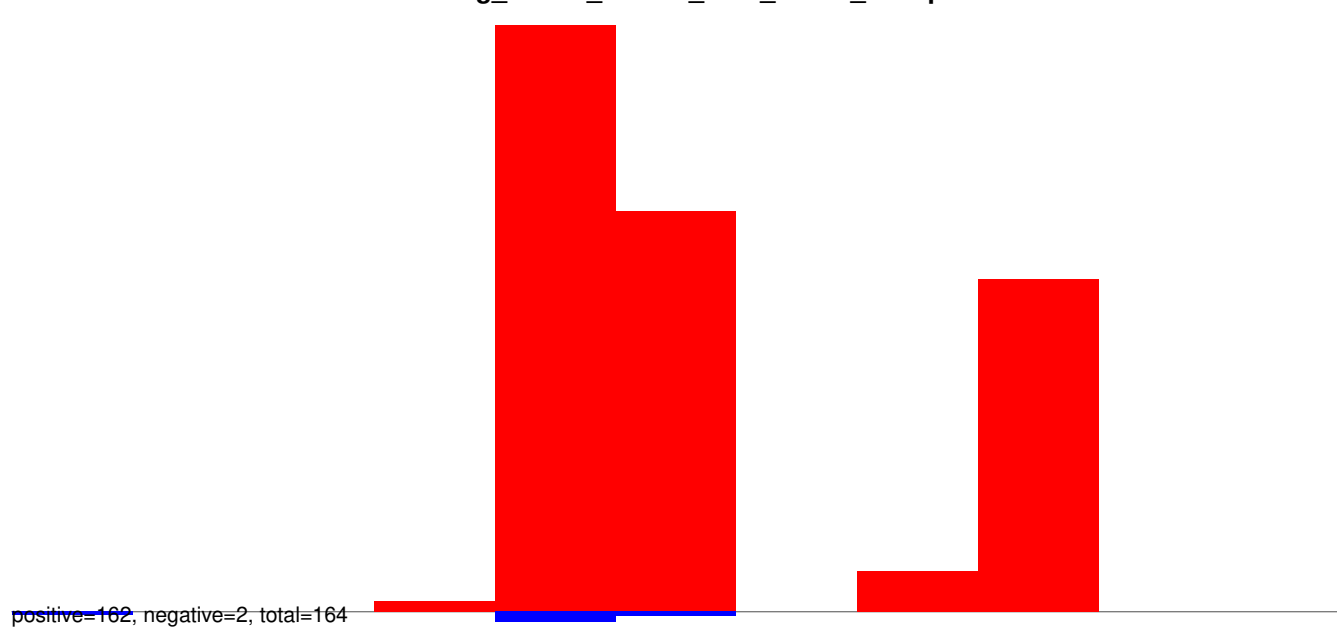


AeAeg\_Whole\_ZIKVdr\_BM2\_GP.rep

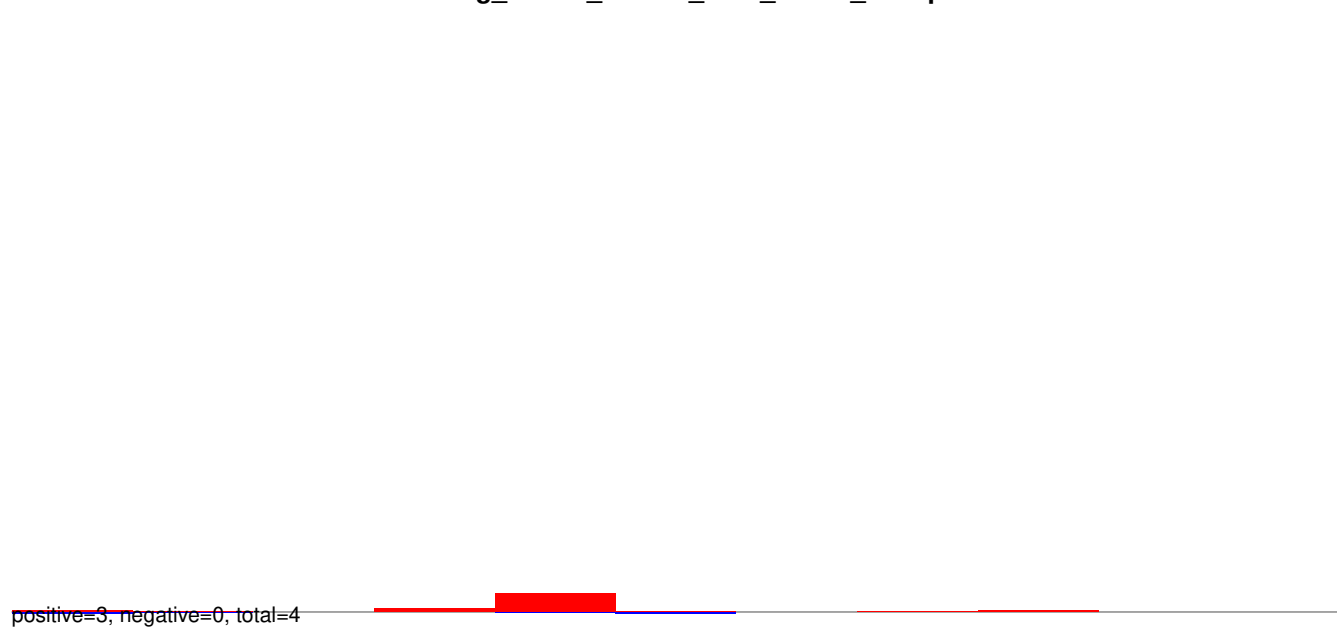


Window size=25, length=398, AAEI028969-RA-rRNA-1-223495843-223496240-1-gene-AAEI028969:1-398

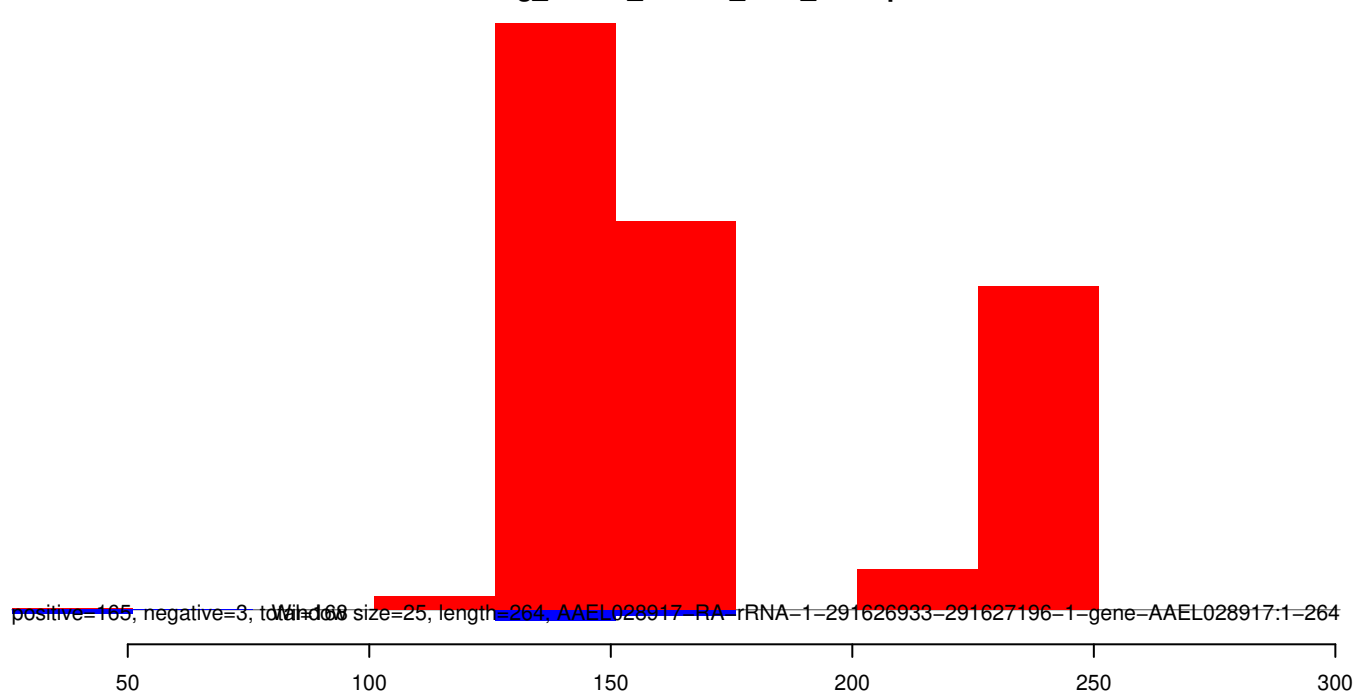
AeAeg\_Whole\_ZIKVdr\_BM2\_GP.18\_23.rep



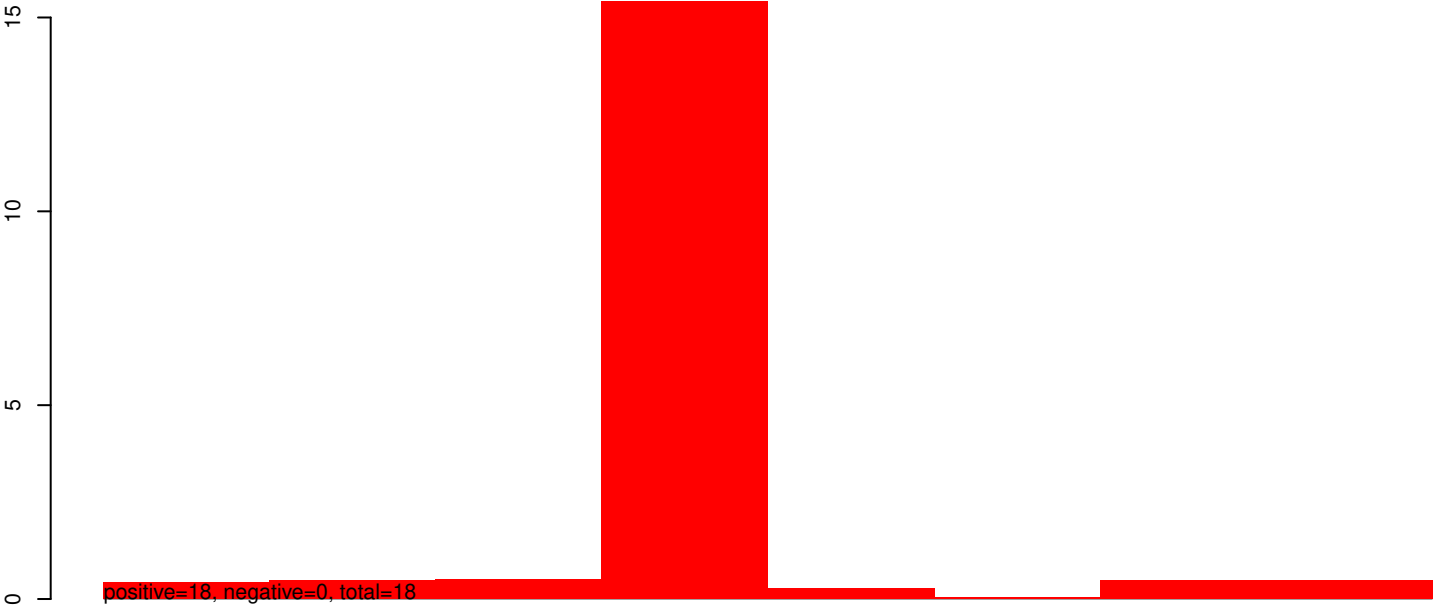
AeAeg\_Whole\_ZIKVdr\_BM2\_GP.24\_35.rep



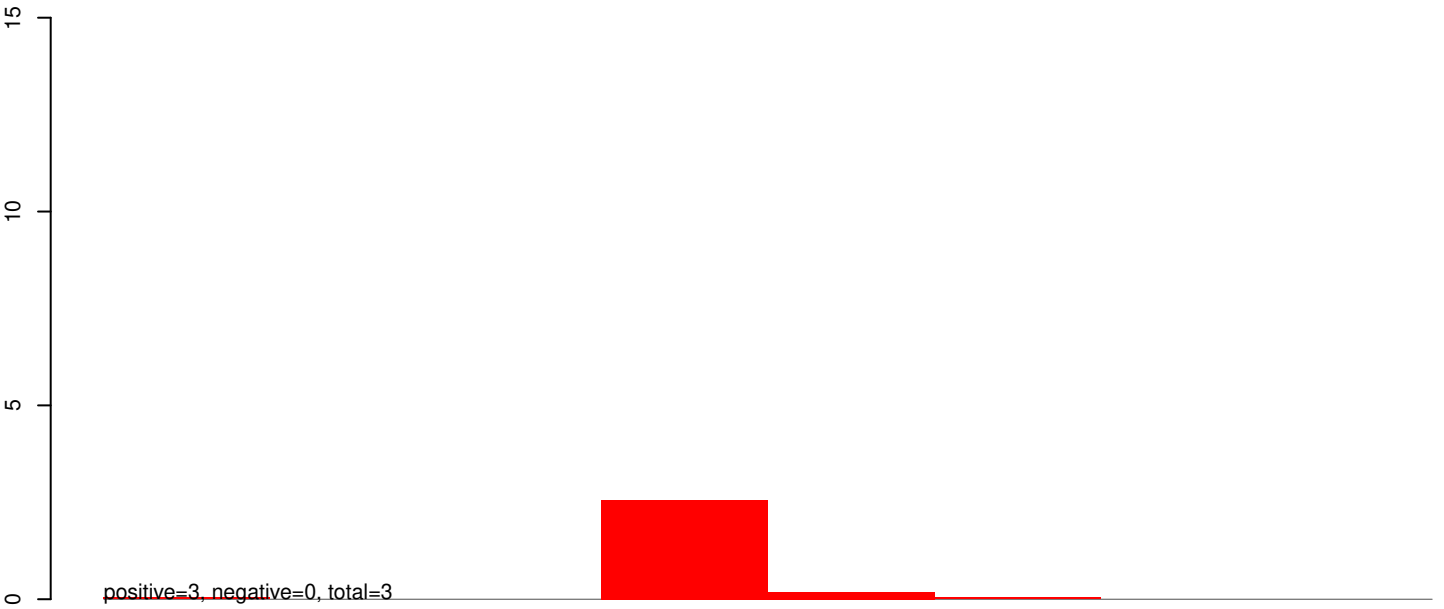
AeAeg\_Whole\_ZIKVdr\_BM2\_GP.rep



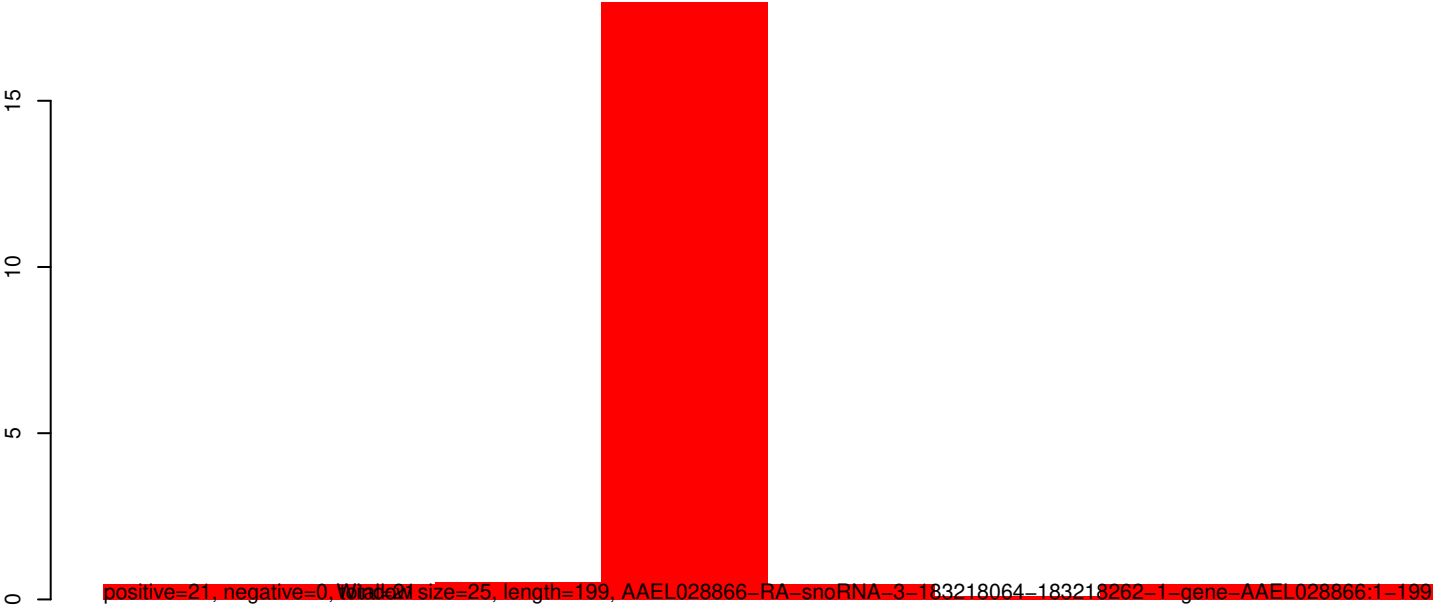
**AeAeg\_Whole\_ZIKVdr\_BM2\_GP.18\_23.rep**



**AeAeg\_Whole\_ZIKVdr\_BM2\_GP.24\_35.rep**

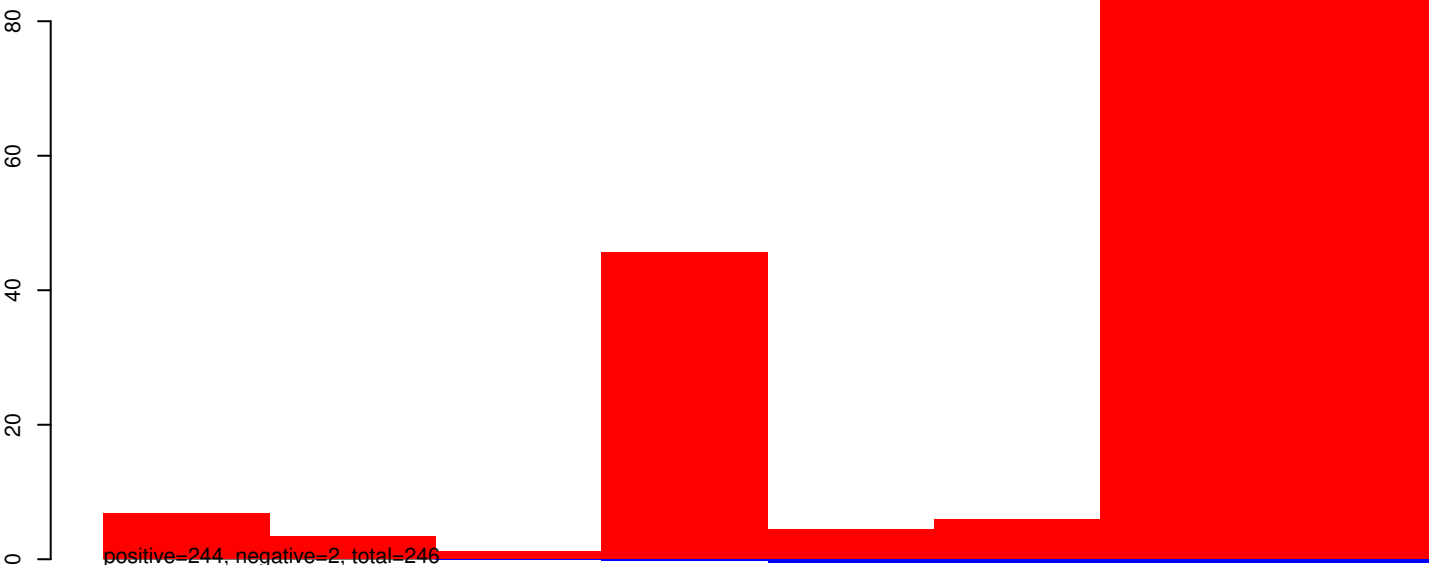


**AeAeg\_Whole\_ZIKVdr\_BM2\_GP.rep**

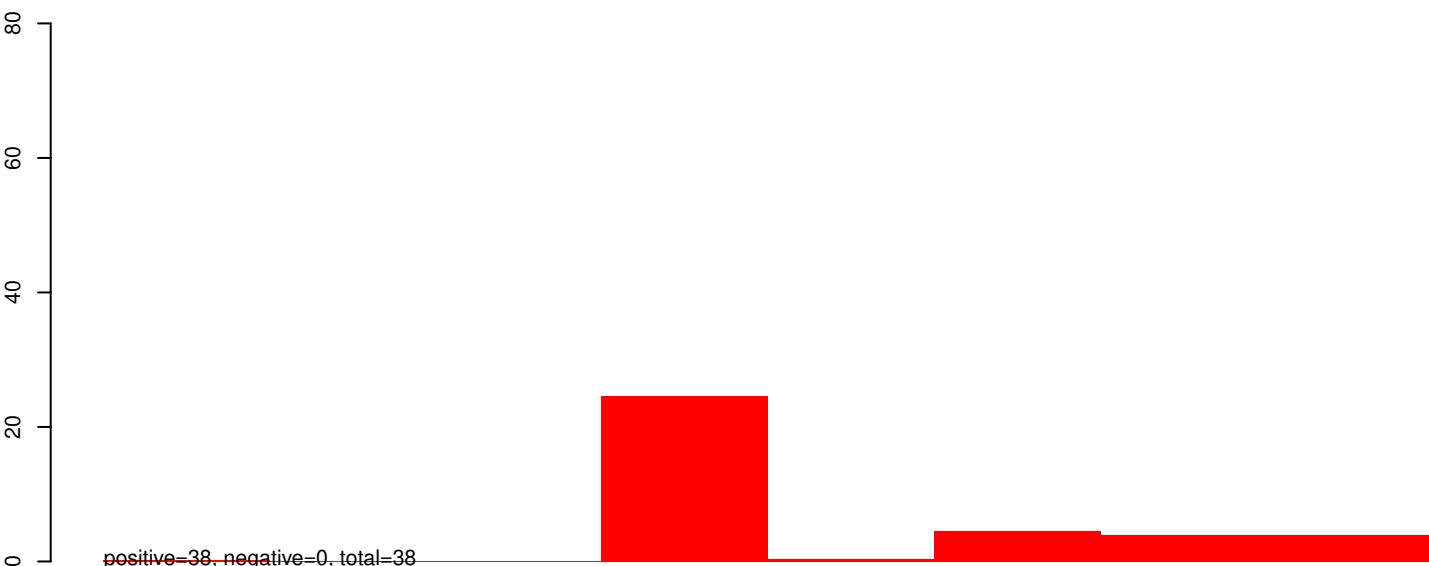


50 100 150 200

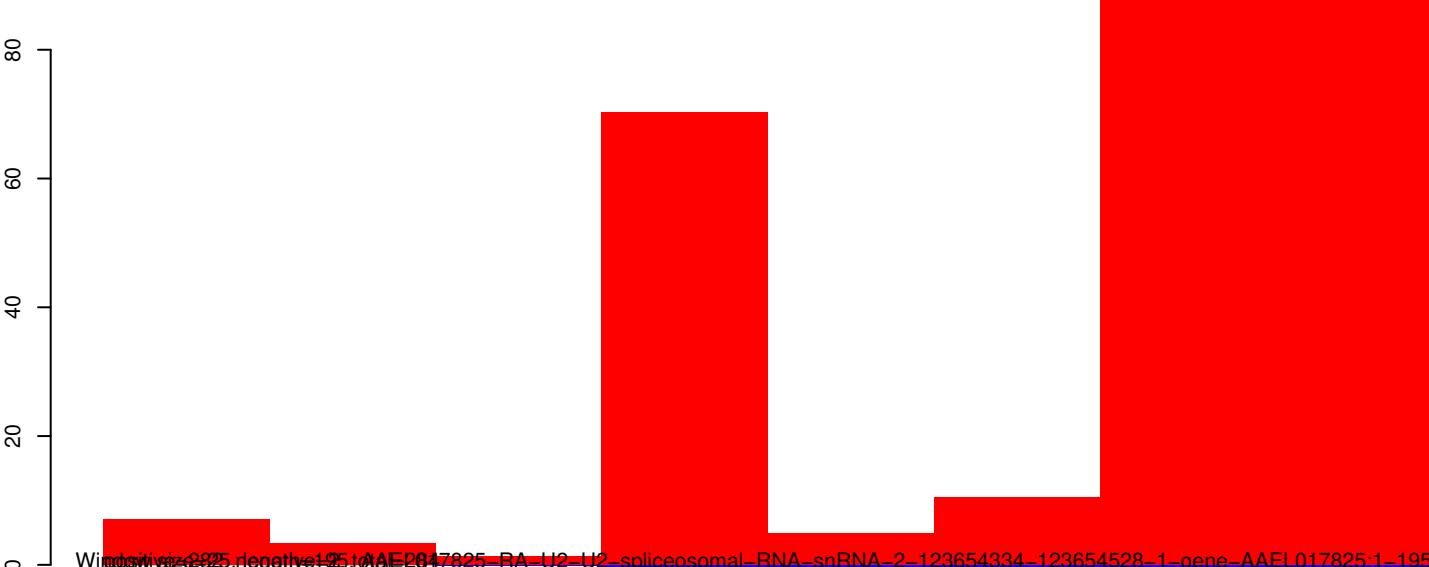
AeAeg\_Whole\_ZIKVdr\_BM2\_GP.18\_23.rep



AeAeg\_Whole\_ZIKVdr\_BM2\_GP.24\_35.rep



AeAeg\_Whole\_ZIKVdr\_BM2\_GP.rep



Window size=25, negative=2, total=294, AAEI017825-RA-U2-U2-spliceosomal-RNA-snrRNA-2-123654334-123654528-1-gene-AAEI017825:1-195

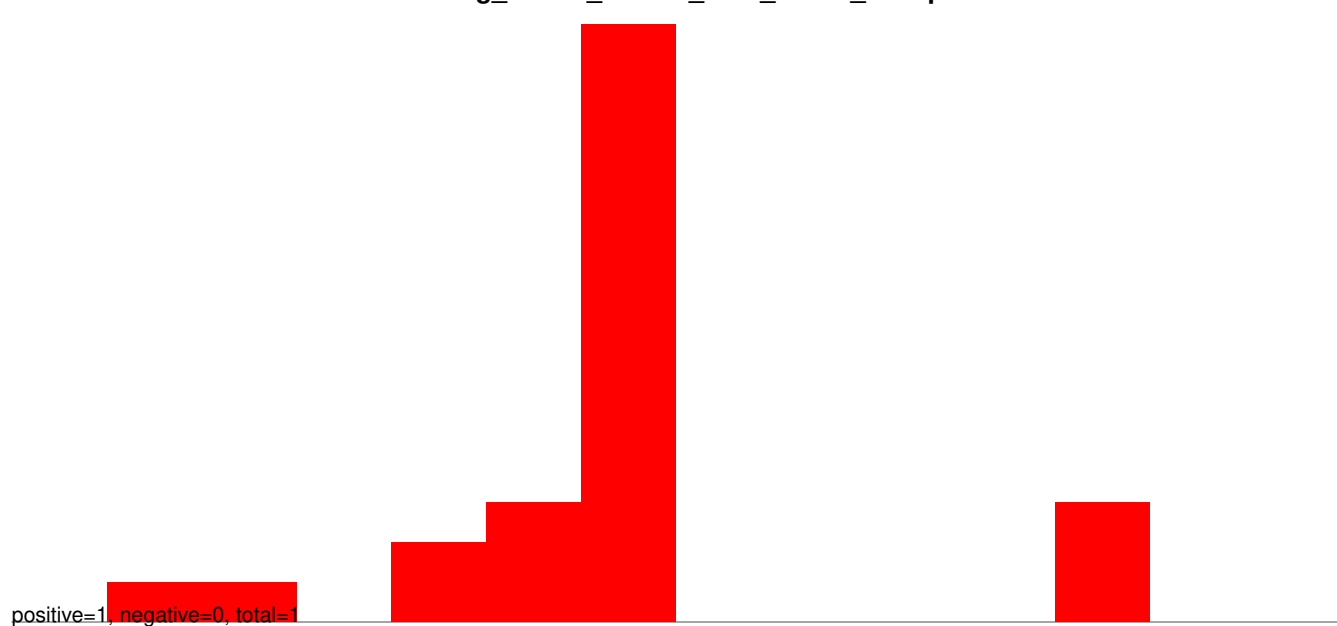
50

100

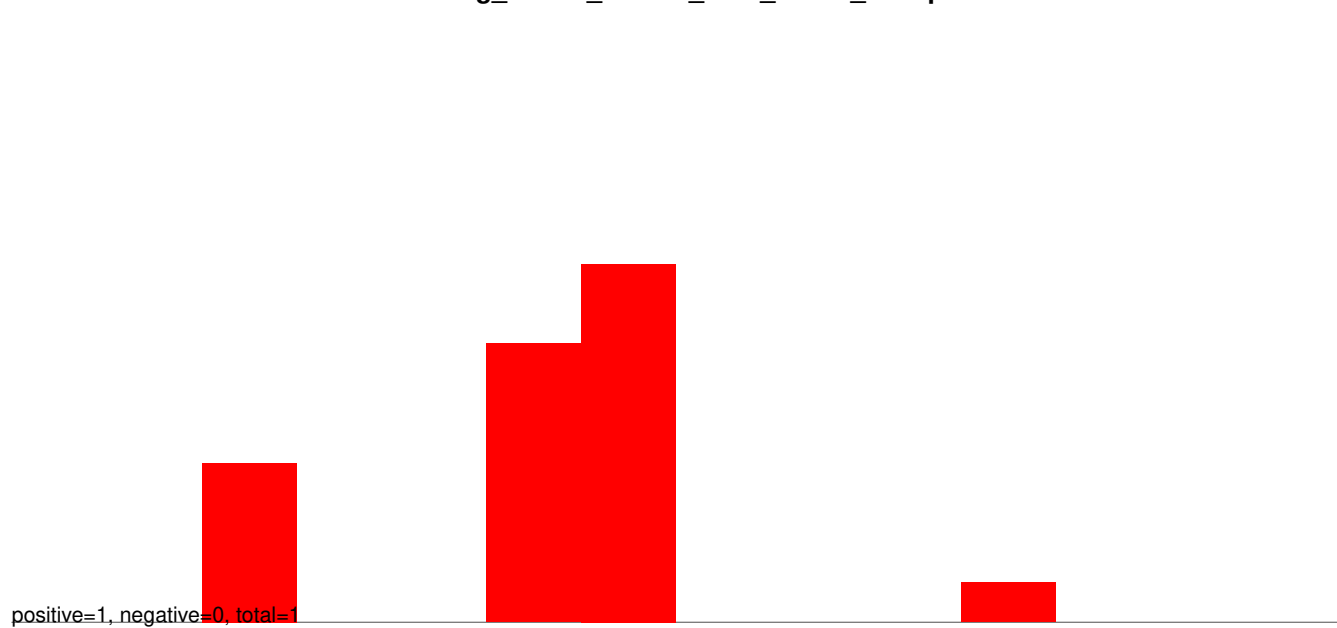
150

200

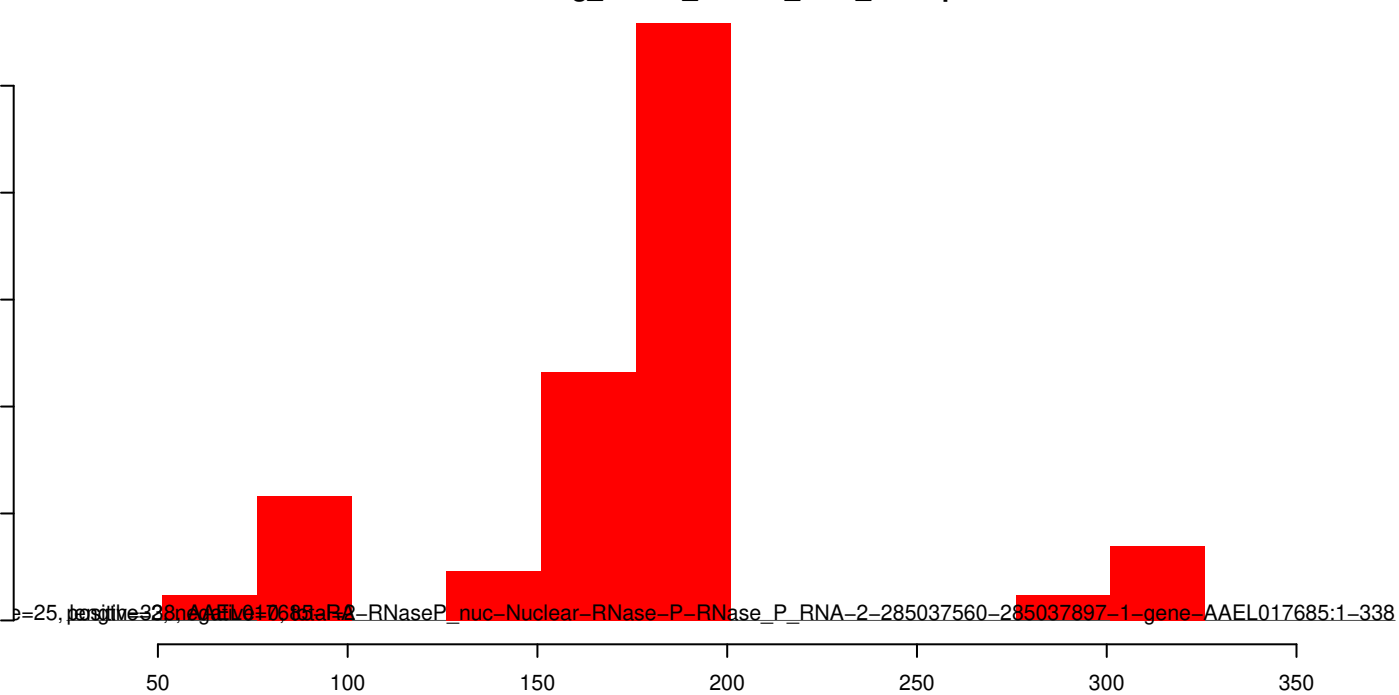
AeAeg\_Whole\_ZIKVdr\_BM2\_GP.18\_23.rep



AeAeg\_Whole\_ZIKVdr\_BM2\_GP.24\_35.rep

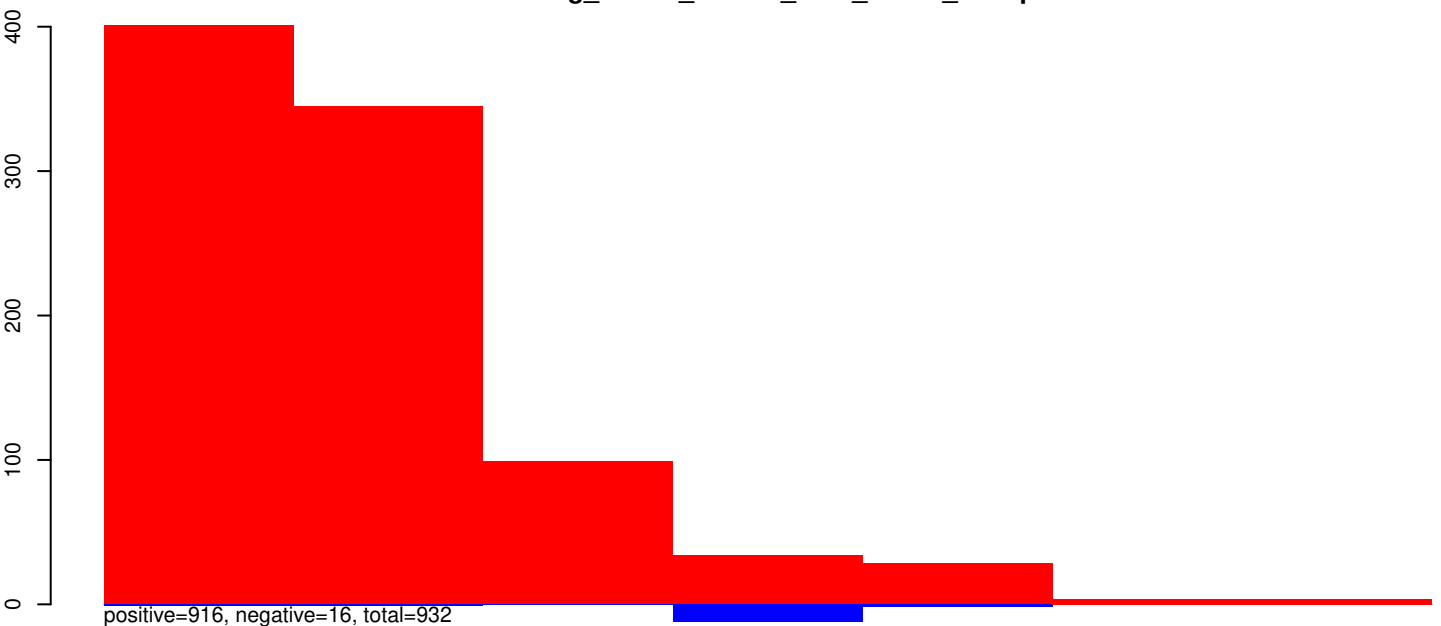


AeAeg\_Whole\_ZIKVdr\_BM2\_GP.rep

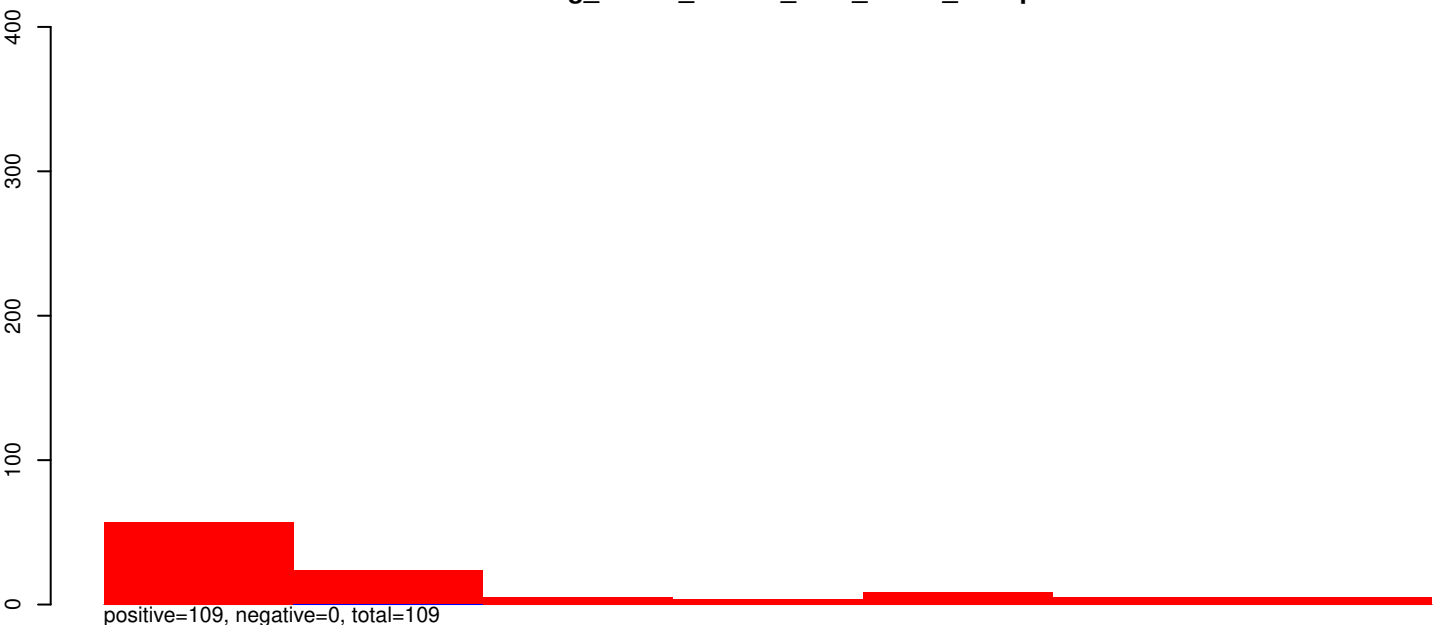




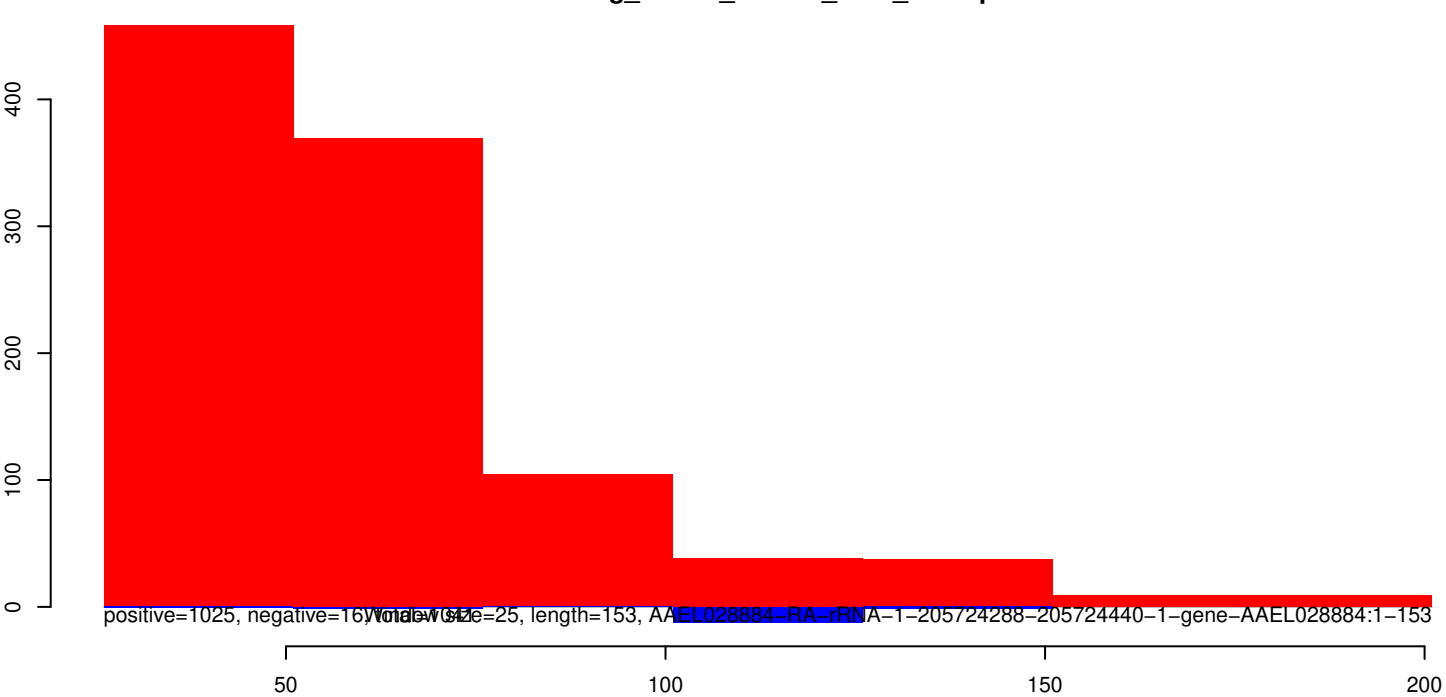
**AeAeg\_Whole\_ZIKVdr\_BM2\_GP.18\_23.rep**



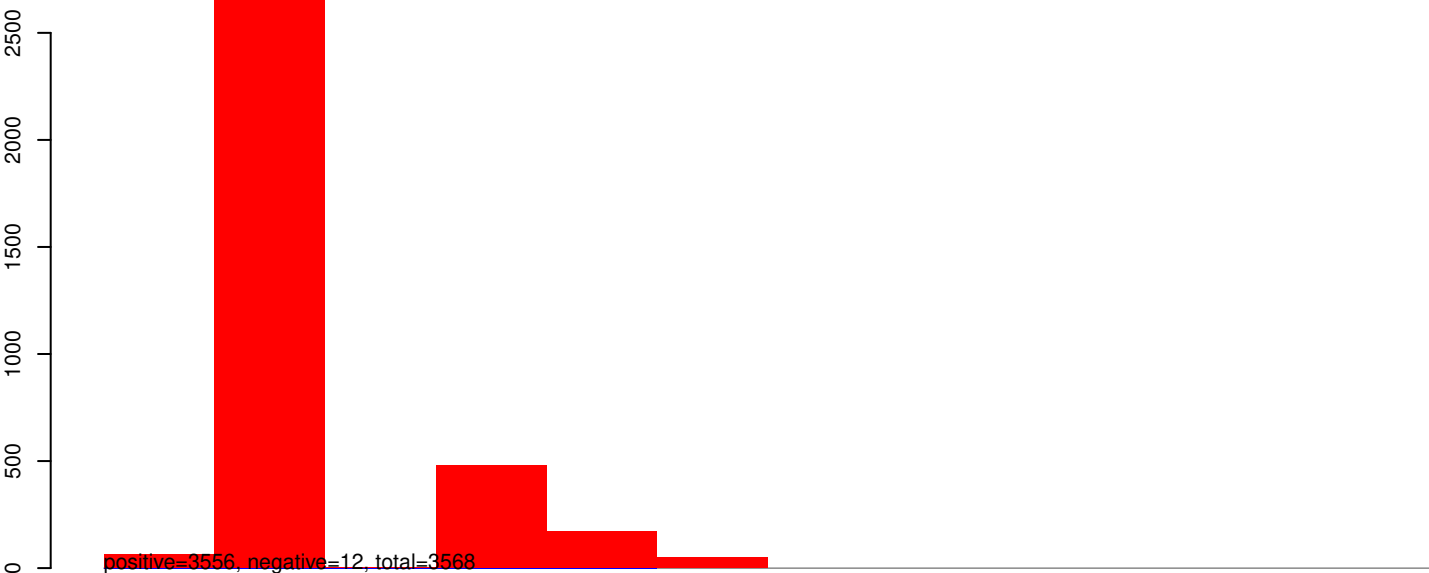
**AeAeg\_Whole\_ZIKVdr\_BM2\_GP.24\_35.rep**



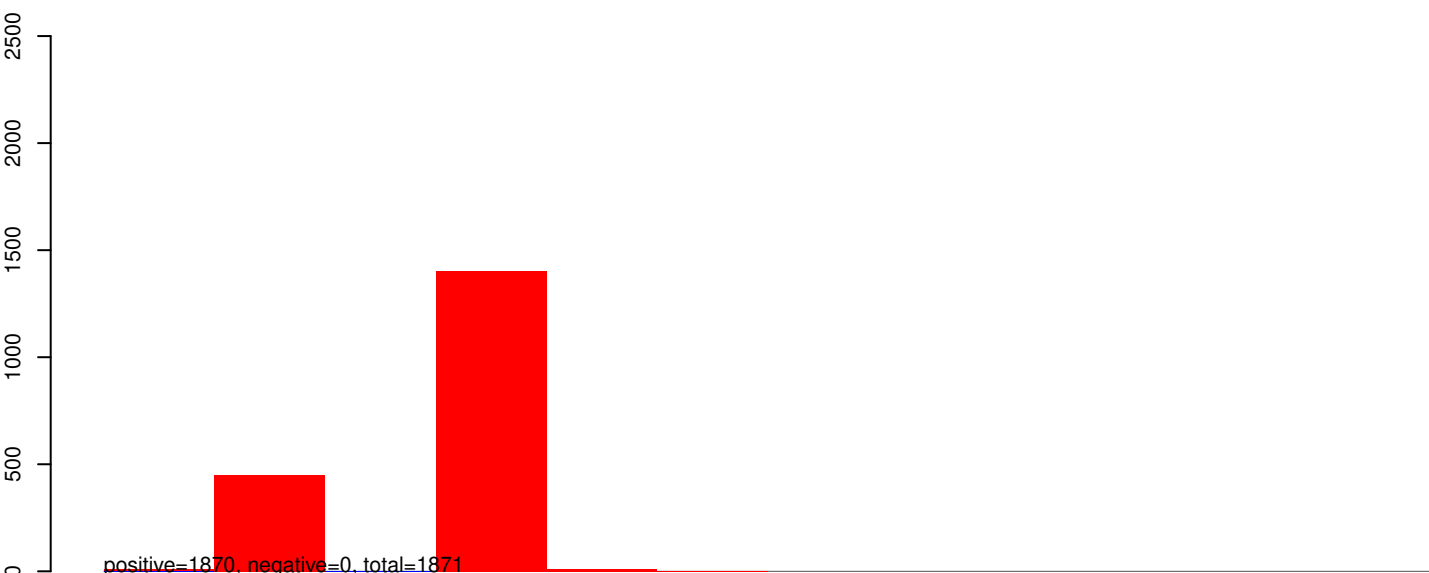
**AeAeg\_Whole\_ZIKVdr\_BM2\_GP.rep**



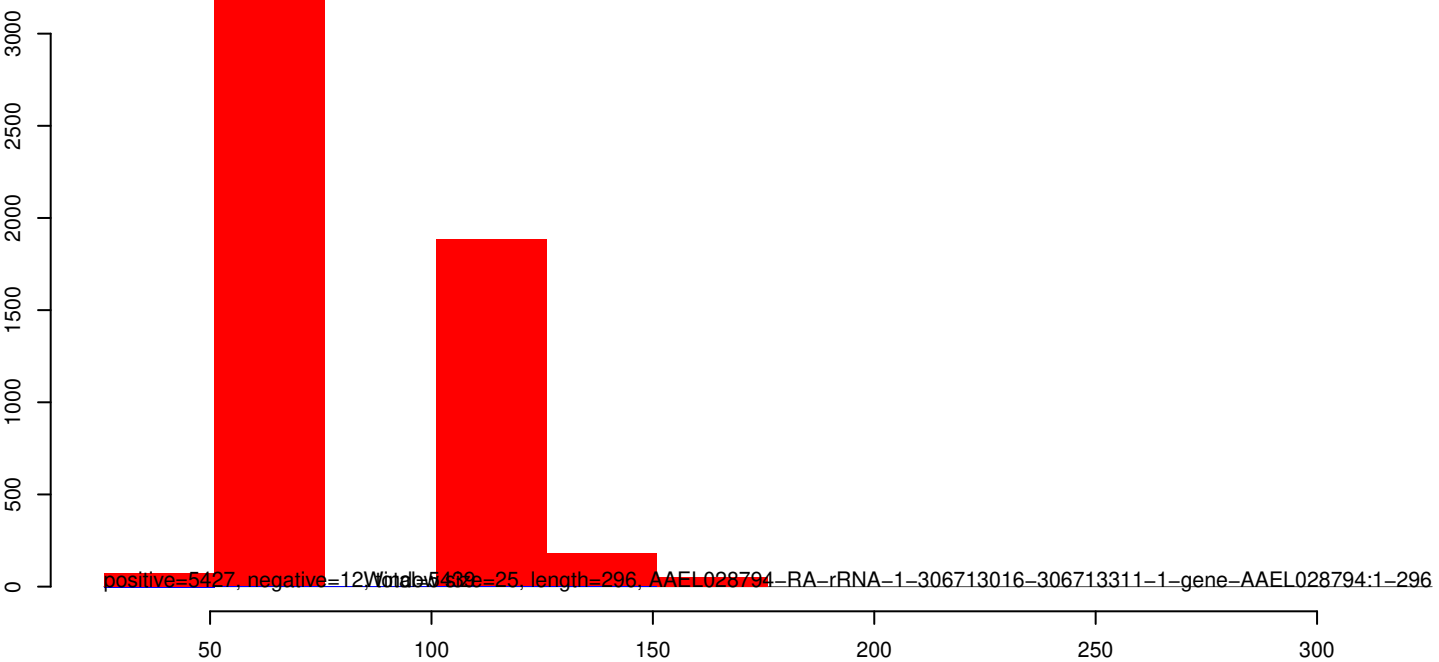
**AeAeg\_Whole\_ZIKVdr\_BM2\_GP.18\_23.rep**



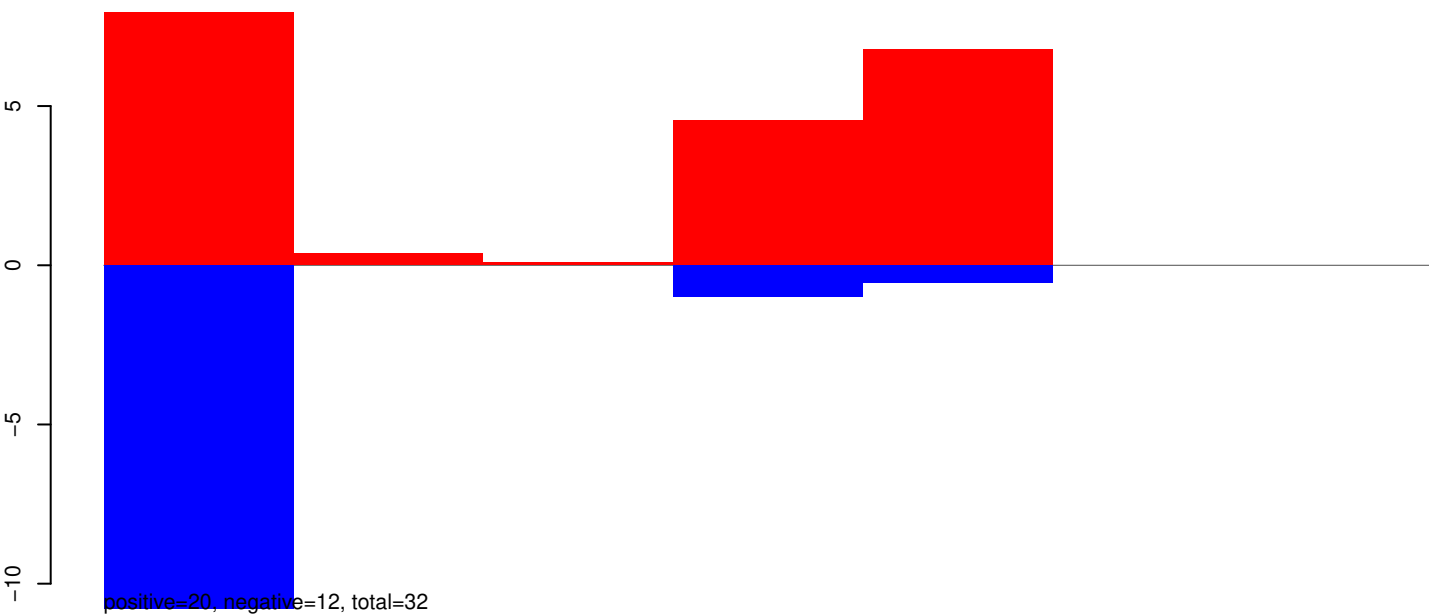
**AeAeg\_Whole\_ZIKVdr\_BM2\_GP.24\_35.rep**



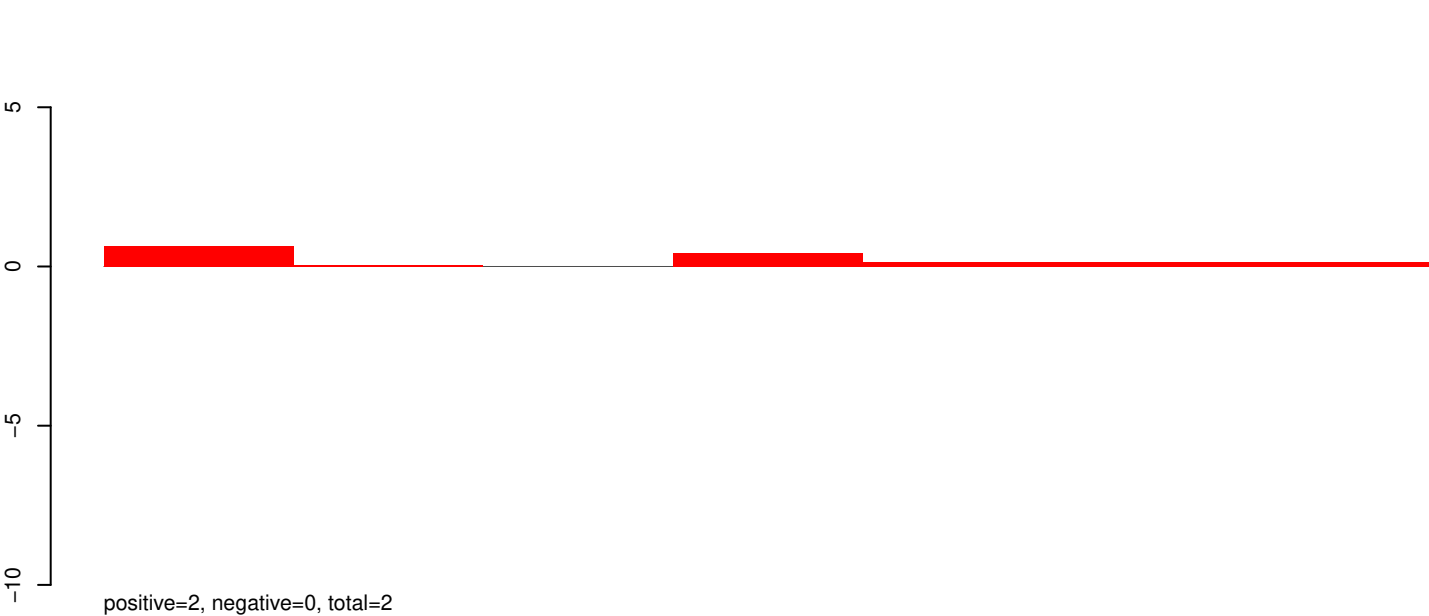
**AeAeg\_Whole\_ZIKVdr\_BM2\_GP.rep**



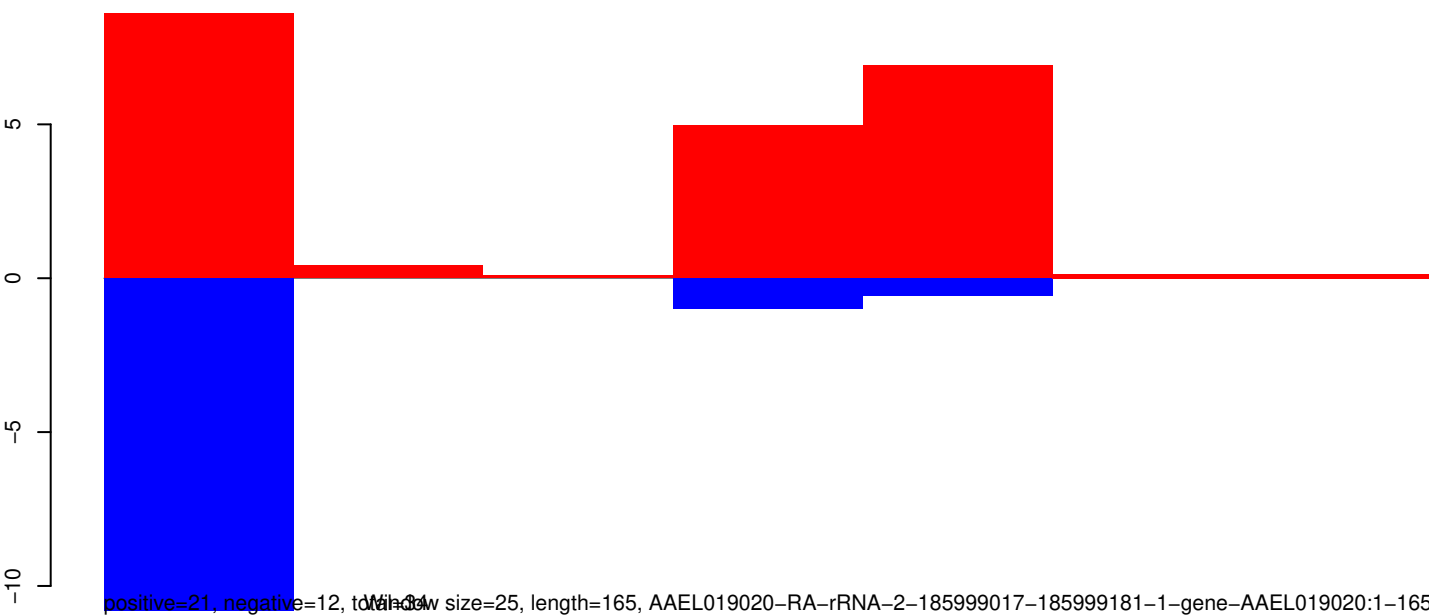
**AeAeg\_Whole\_ZIKVdr\_BM2\_GP.18\_23.rep**



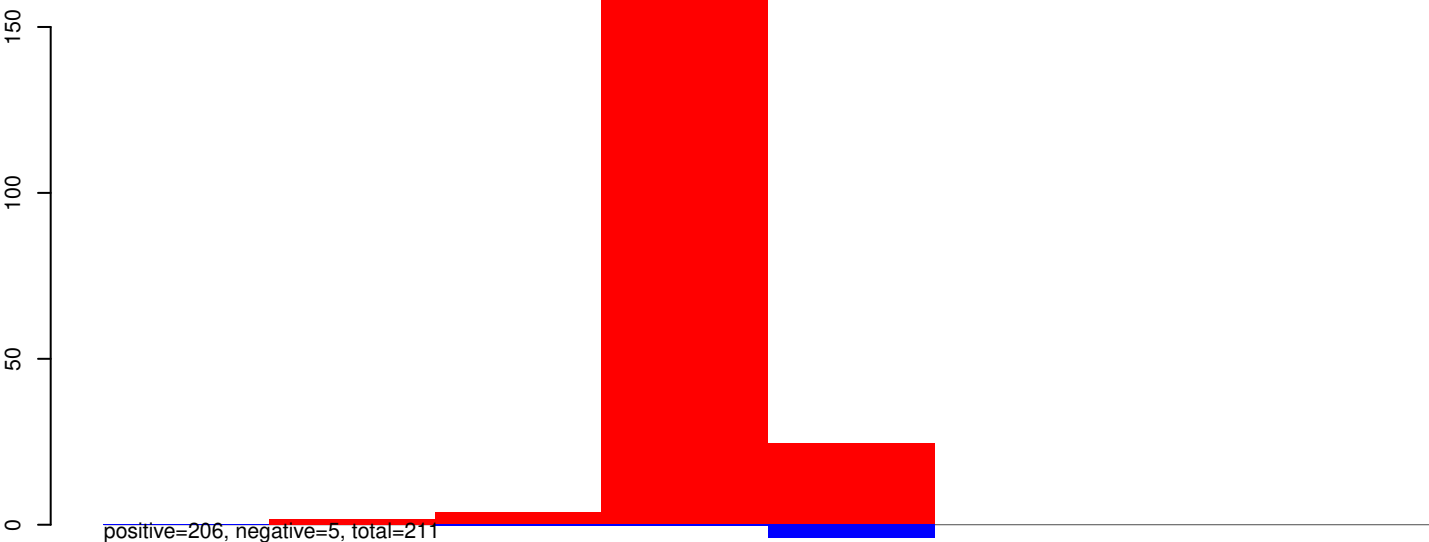
**AeAeg\_Whole\_ZIKVdr\_BM2\_GP.24\_35.rep**



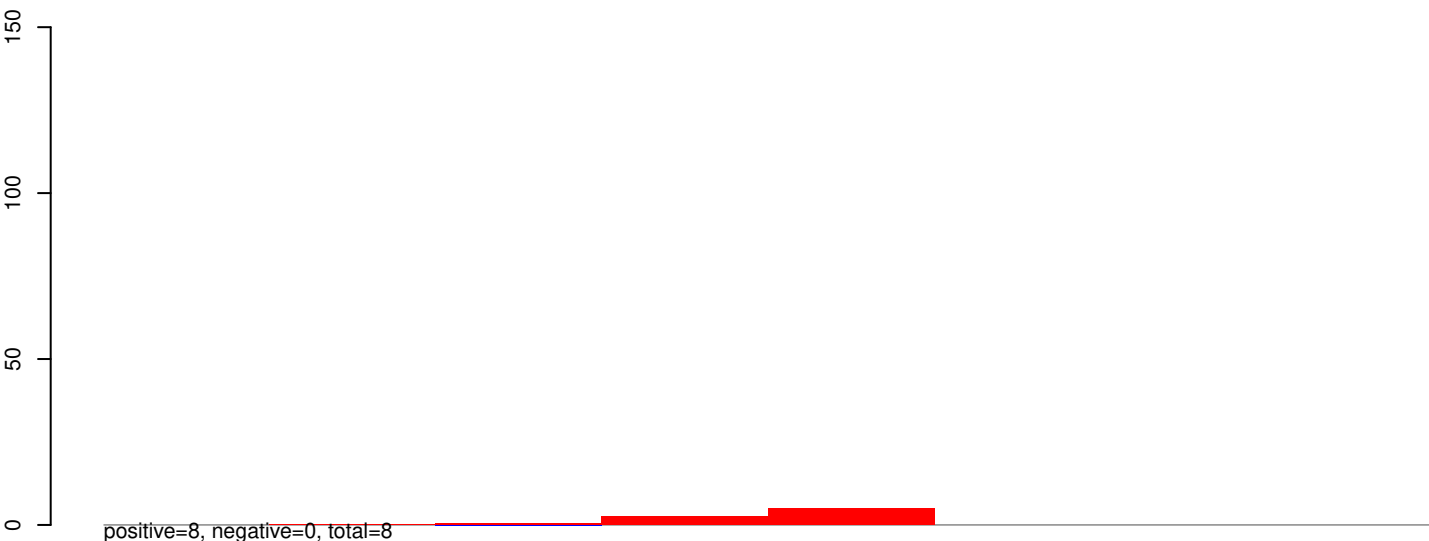
**AeAeg\_Whole\_ZIKVdr\_BM2\_GP.rep**



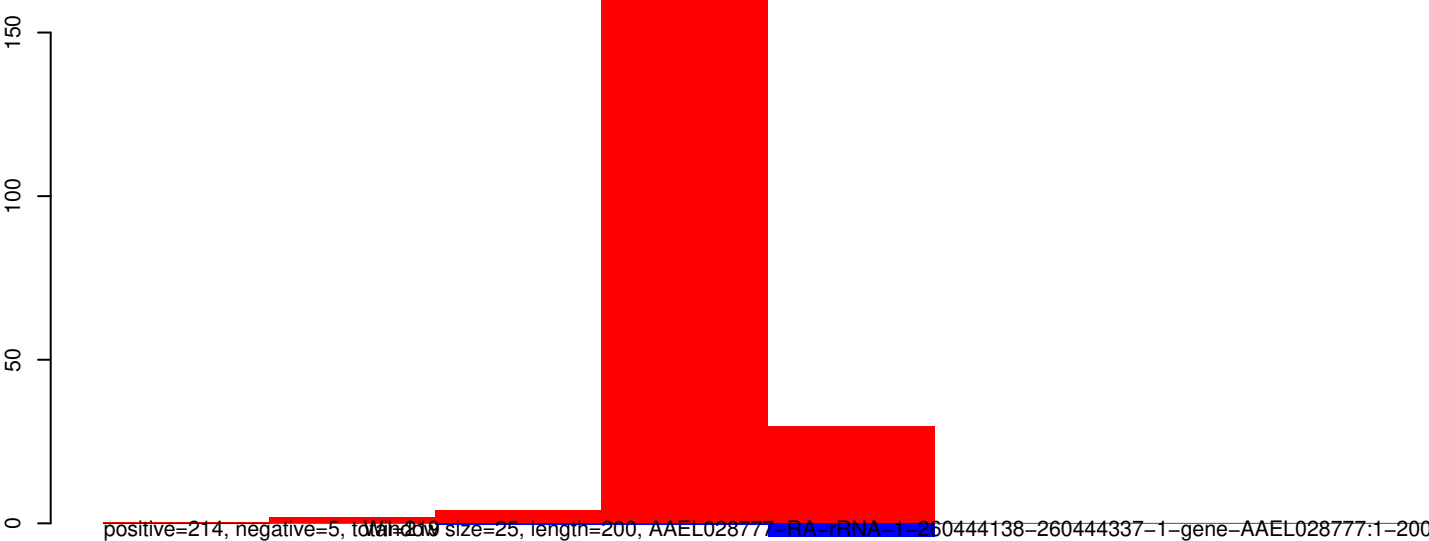
AeAeg\_Whole\_ZIKVdr\_BM2\_GP.18\_23.rep



AeAeg\_Whole\_ZIKVdr\_BM2\_GP.24\_35.rep



AeAeg\_Whole\_ZIKVdr\_BM2\_GP.rep



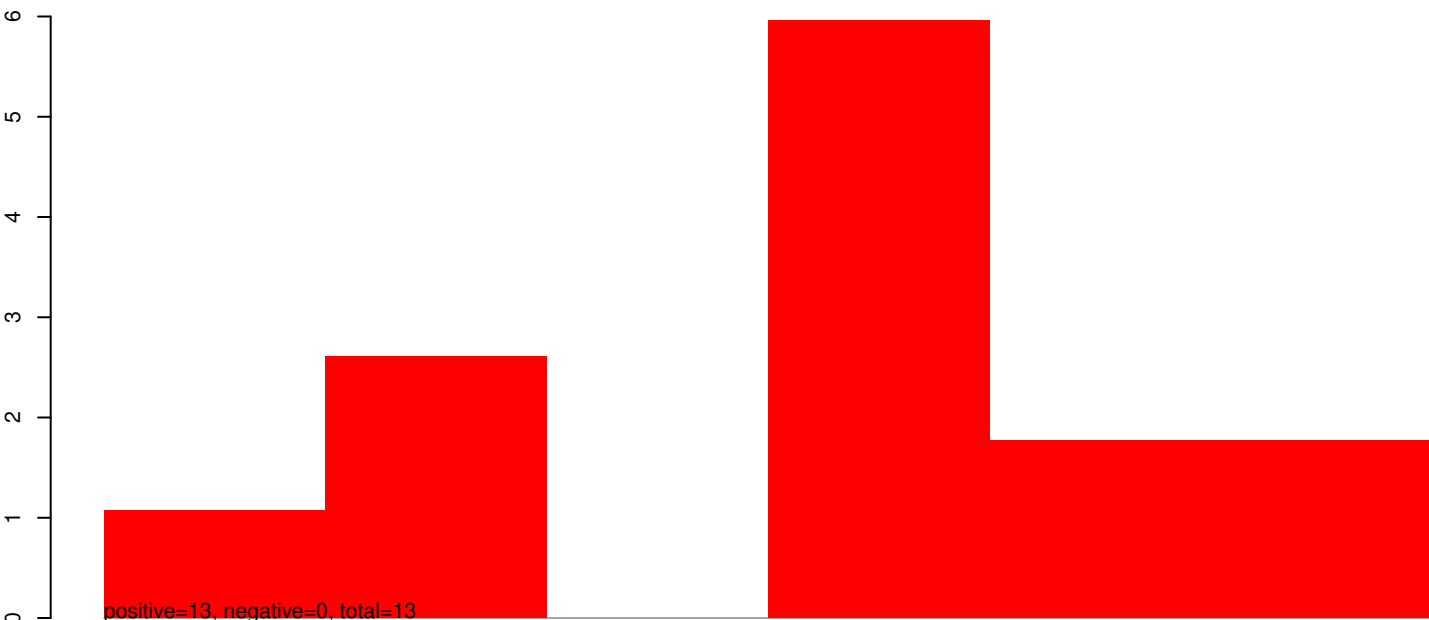
50

100

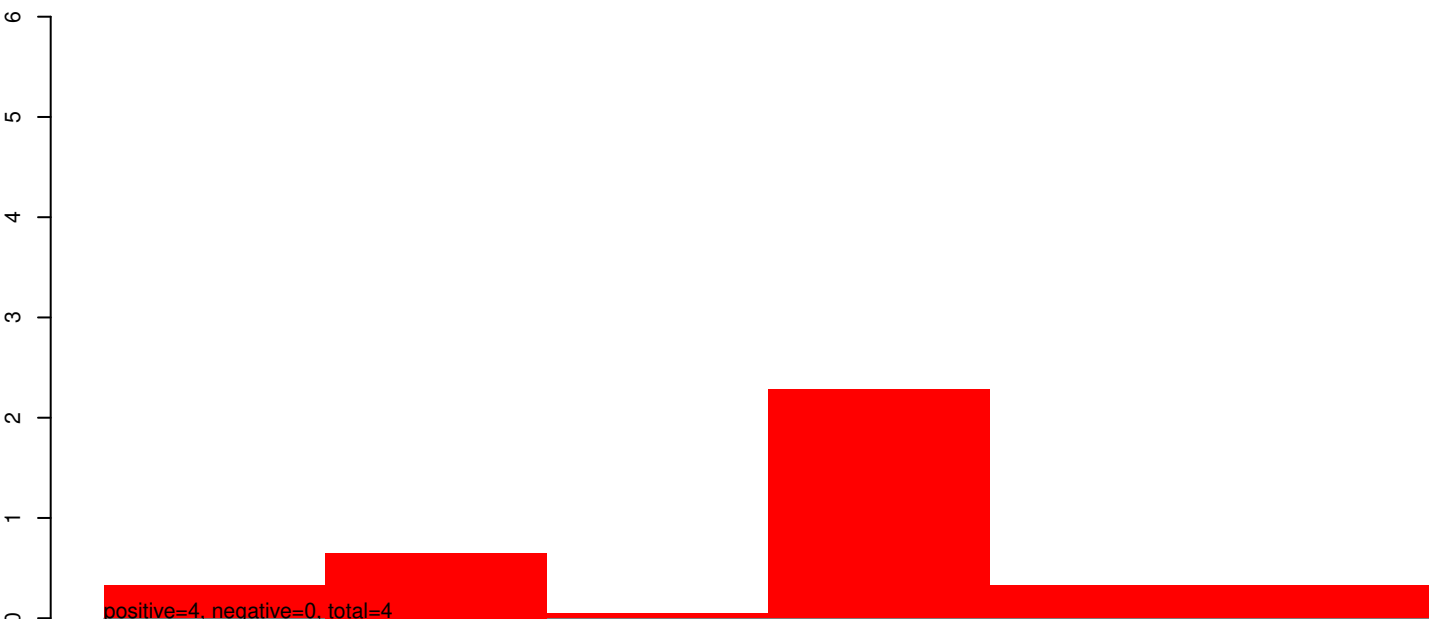
150

200

AeAeg\_Whole\_ZIKVdr\_BM2\_GP.18\_23.rep



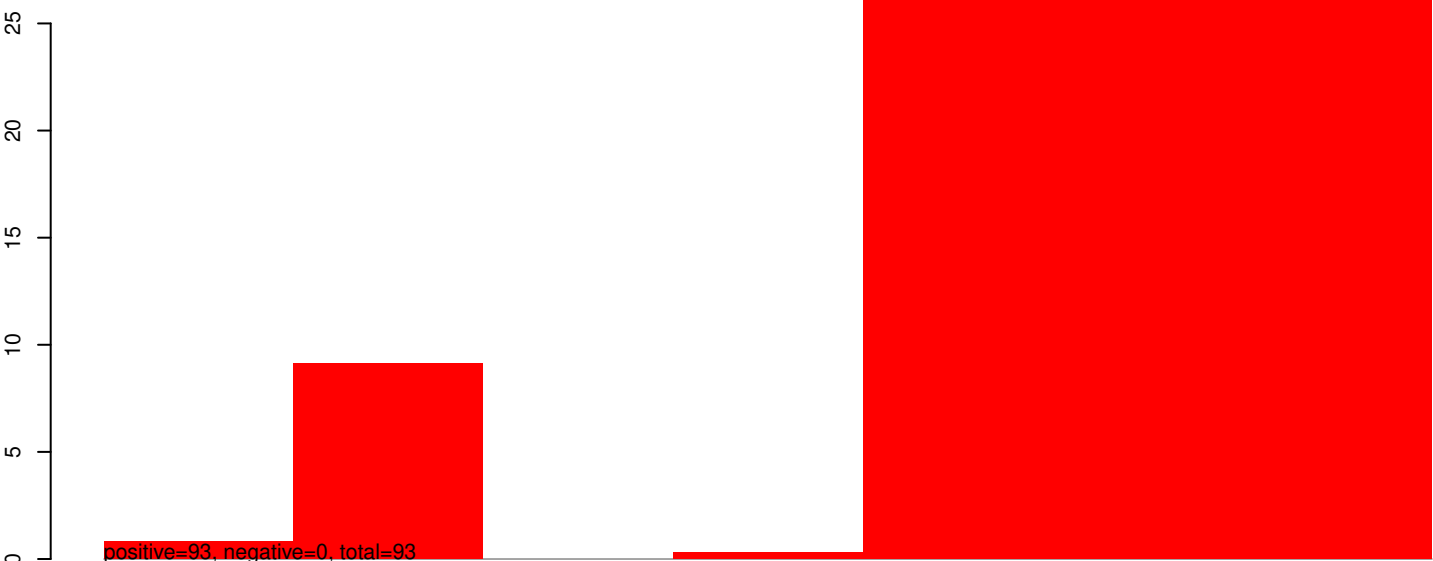
AeAeg\_Whole\_ZIKVdr\_BM2\_GP.24\_35.rep



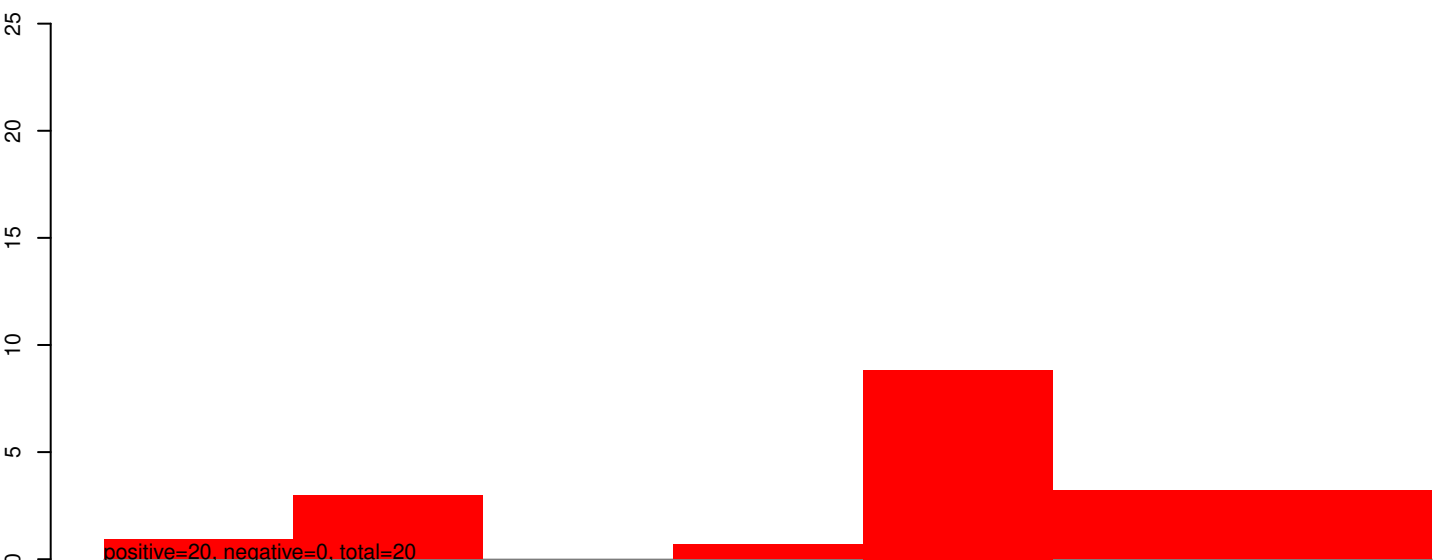
AeAeg\_Whole\_ZIKVdr\_BM2\_GP.rep



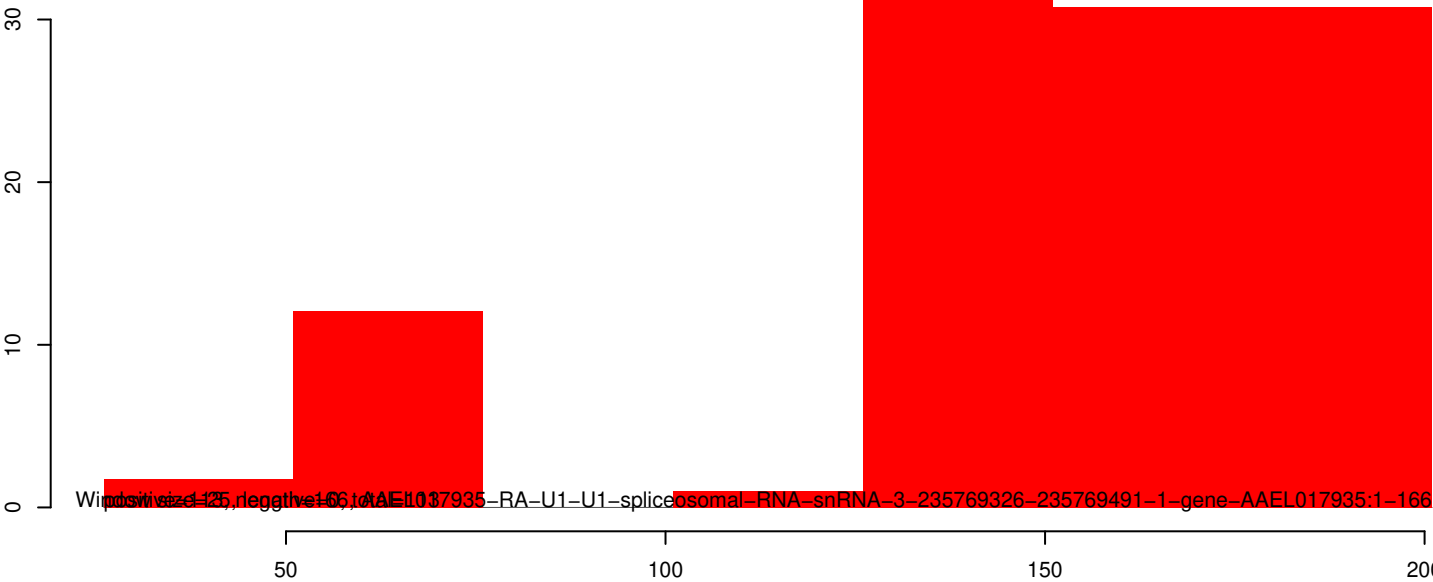
AeAeg\_Whole\_ZIKVdr\_BM2\_GP.18\_23.rep



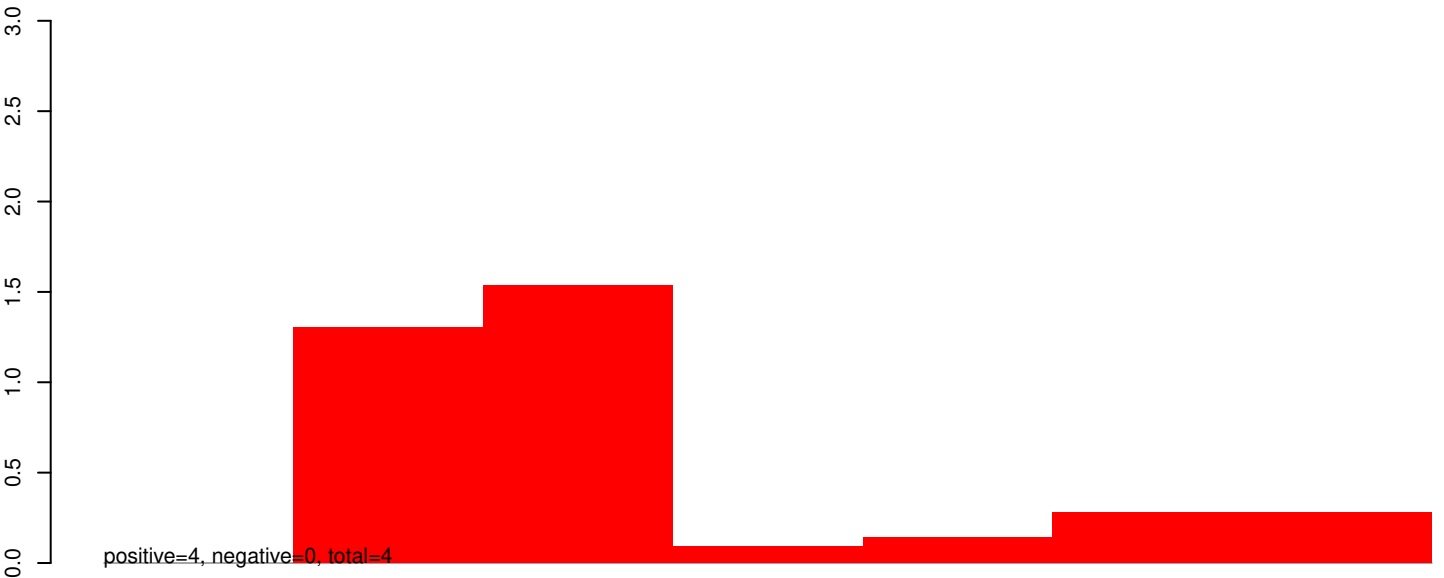
AeAeg\_Whole\_ZIKVdr\_BM2\_GP.24\_35.rep



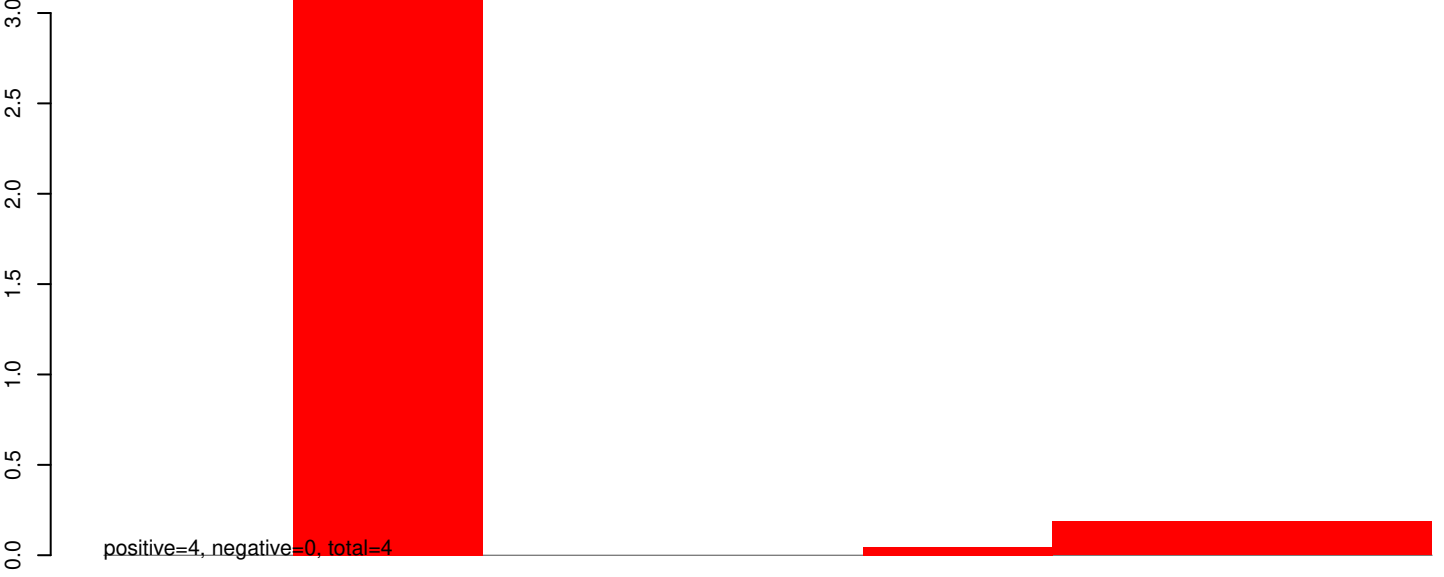
AeAeg\_Whole\_ZIKVdr\_BM2\_GP.rep



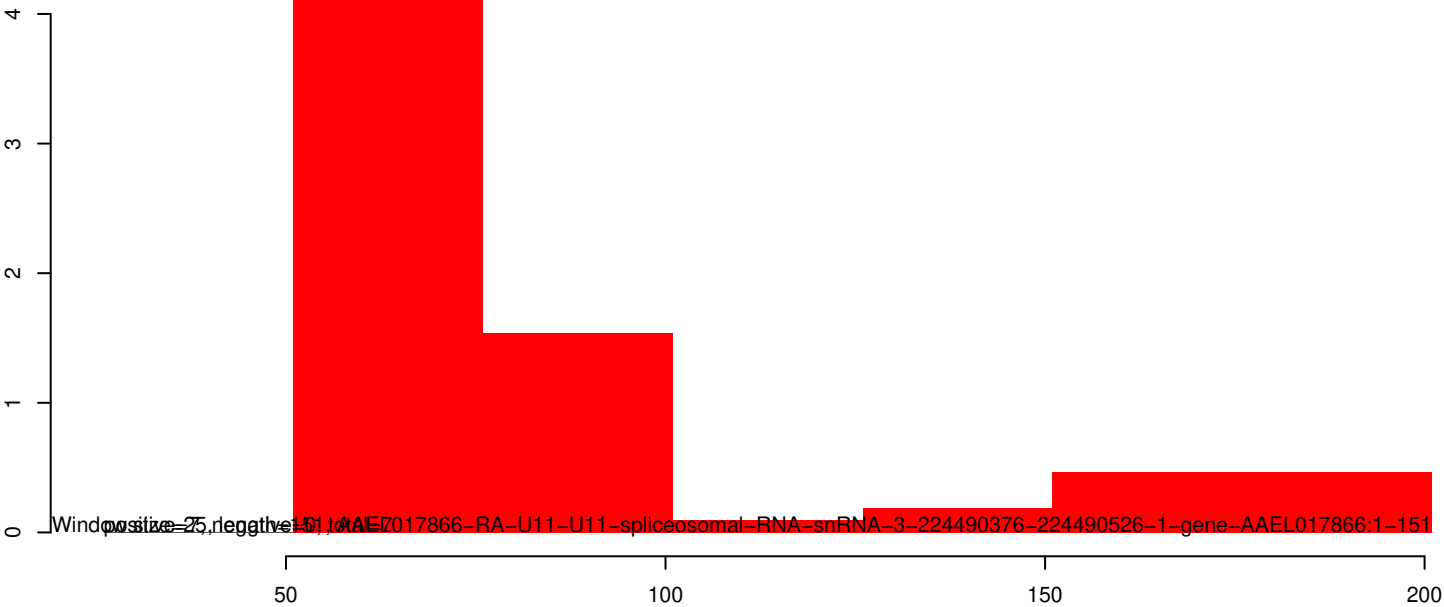
AeAeg\_Whole\_ZIKVdr\_BM2\_GP.18\_23.rep



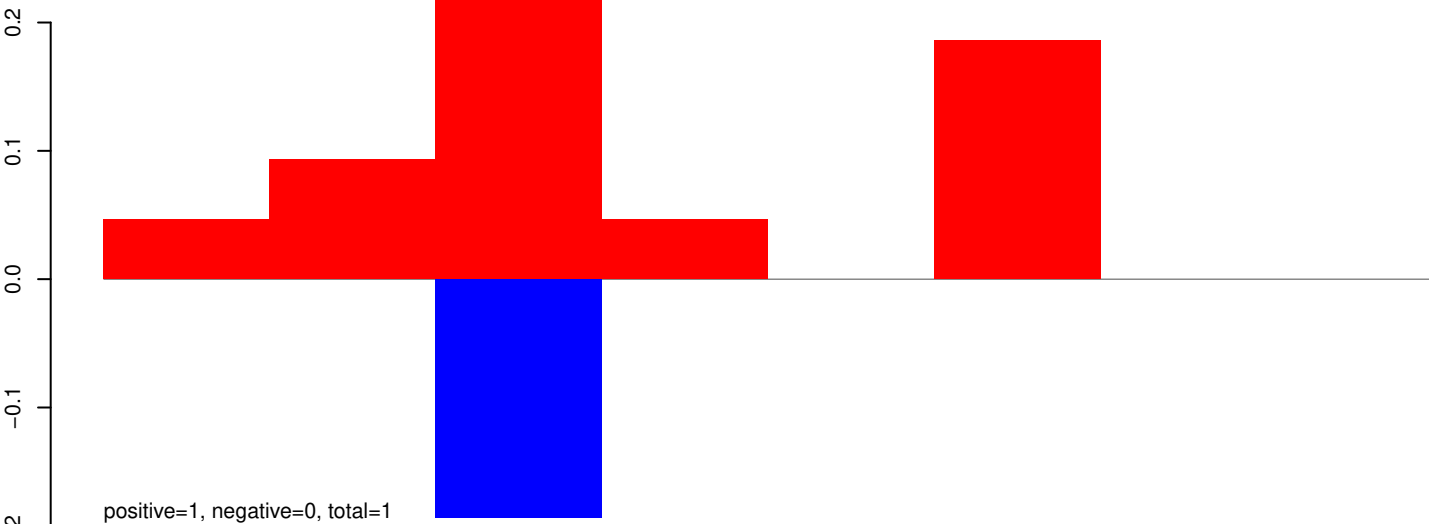
AeAeg\_Whole\_ZIKVdr\_BM2\_GP.24\_35.rep



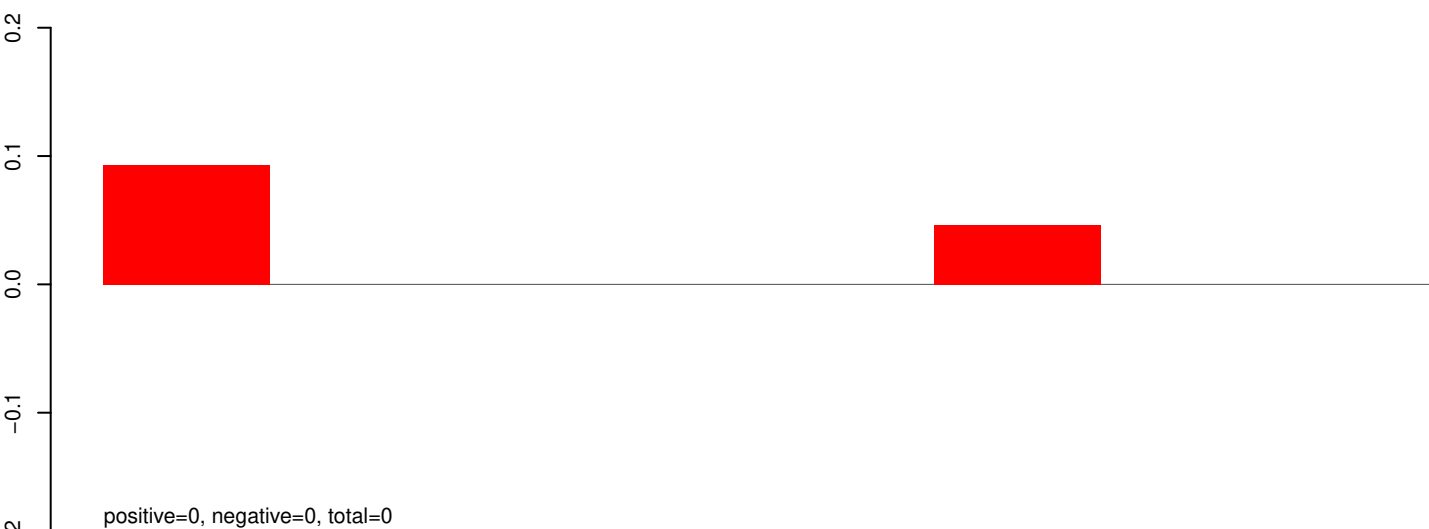
AeAeg\_Whole\_ZIKVdr\_BM2\_GP.rep



**AeAeg\_Whole\_ZIKVdr\_BM2\_GP.18\_23.rep**



**AeAeg\_Whole\_ZIKVdr\_BM2\_GP.24\_35.rep**



**AeAeg\_Whole\_ZIKVdr\_BM2\_GP.rep**

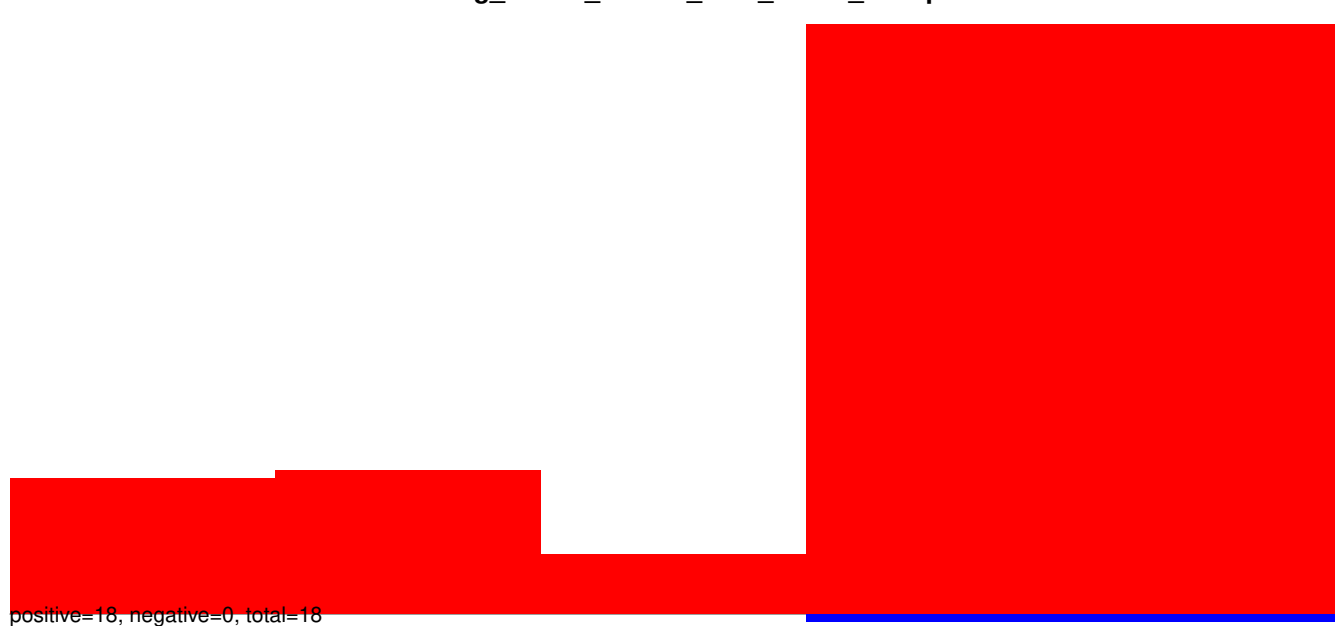


low sizes in negative AEs: 1780-BA-U12-U12-minor-spliceosomal-RNA-snrRNA-1-96323355-96323531-1-gene-AAEL017800:1-177

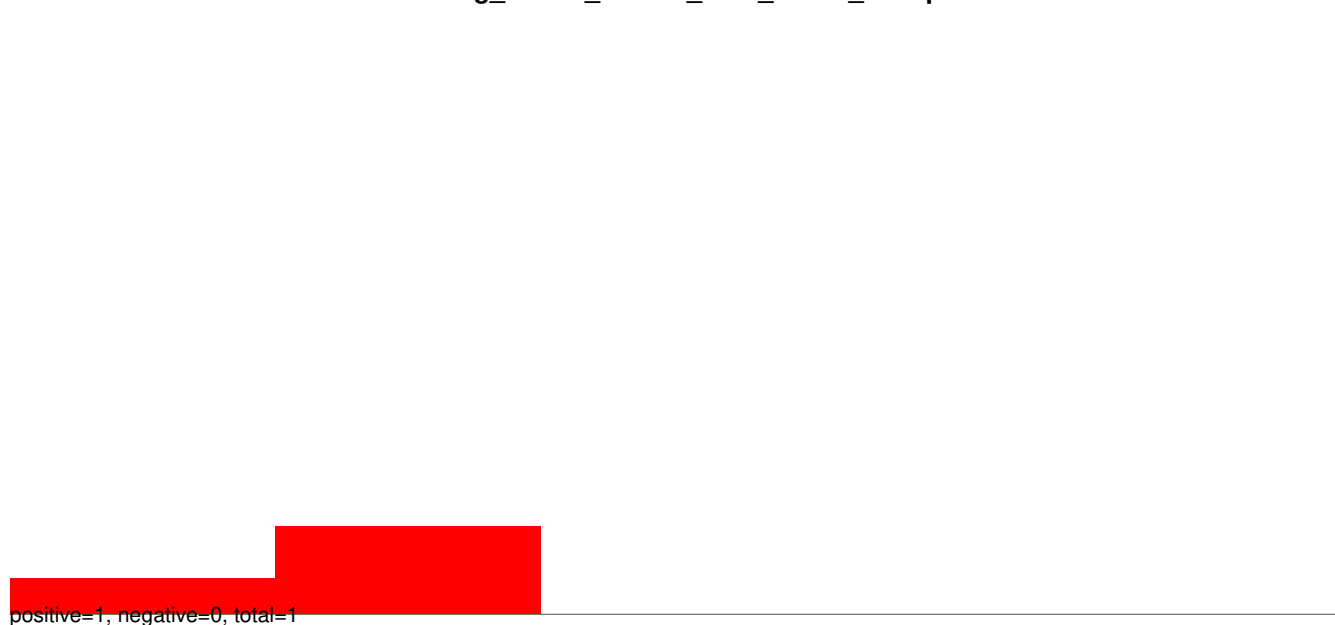
50 100 150 200



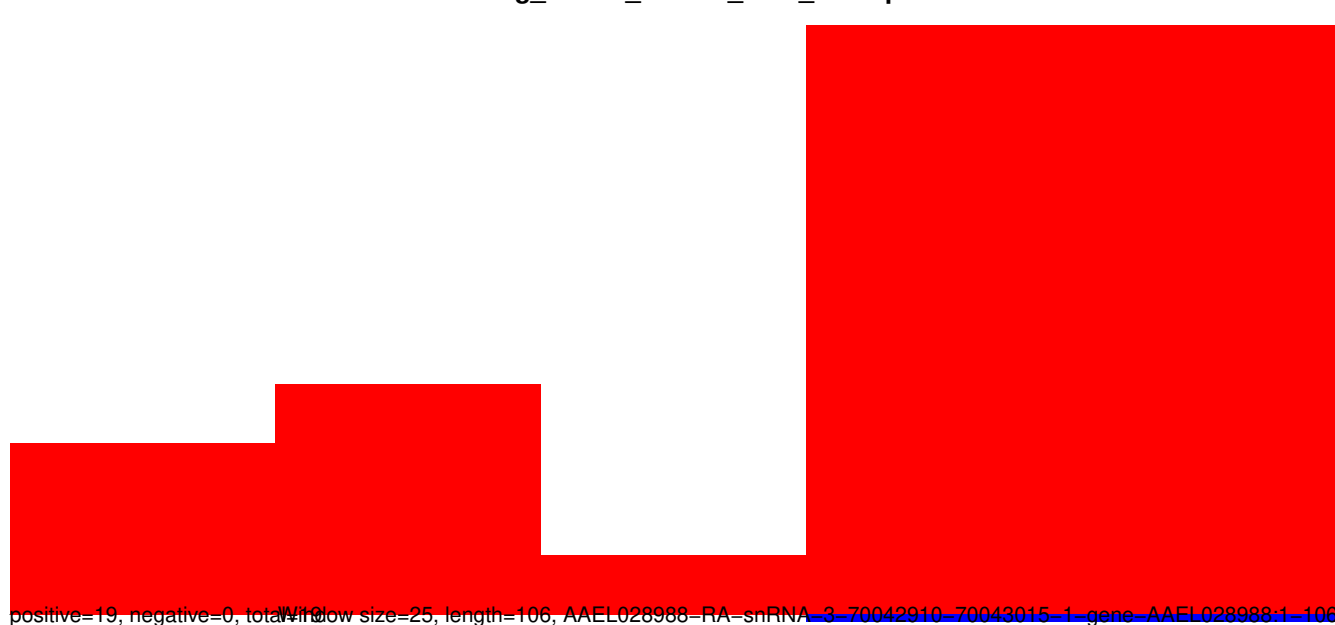
**AeAeg\_Whole\_ZIKVdr\_BM2\_GP.18\_23.rep**



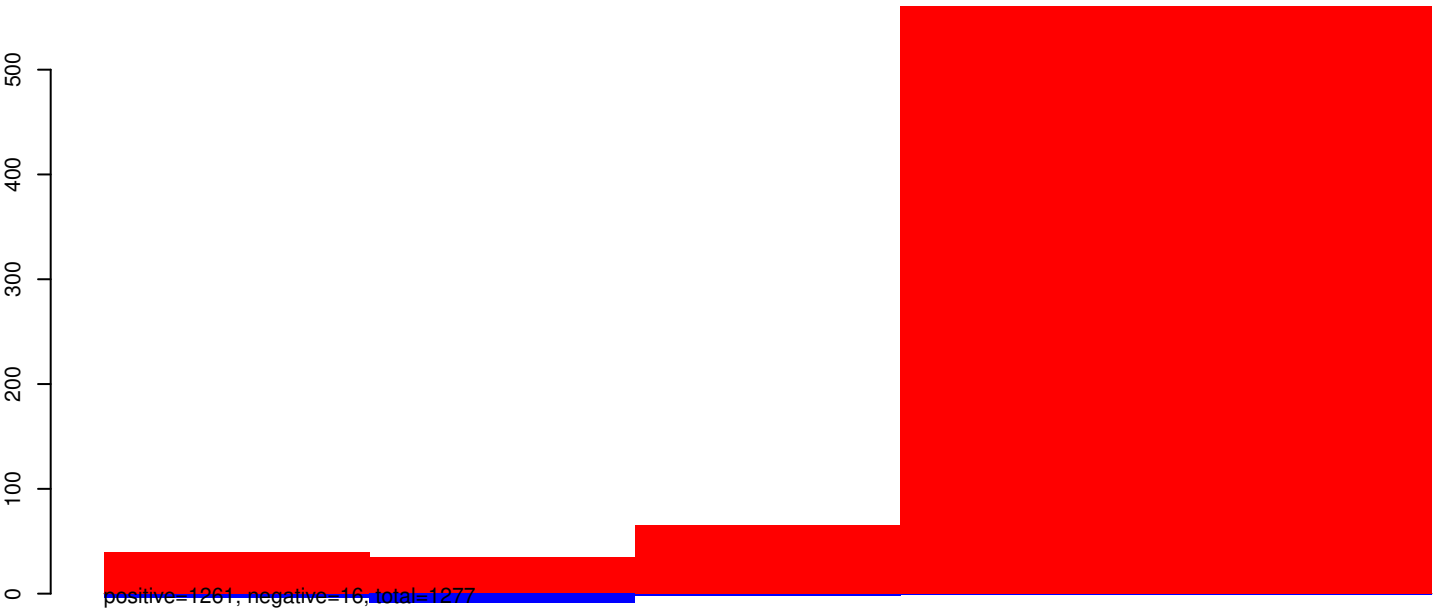
**AeAeg\_Whole\_ZIKVdr\_BM2\_GP.24\_35.rep**



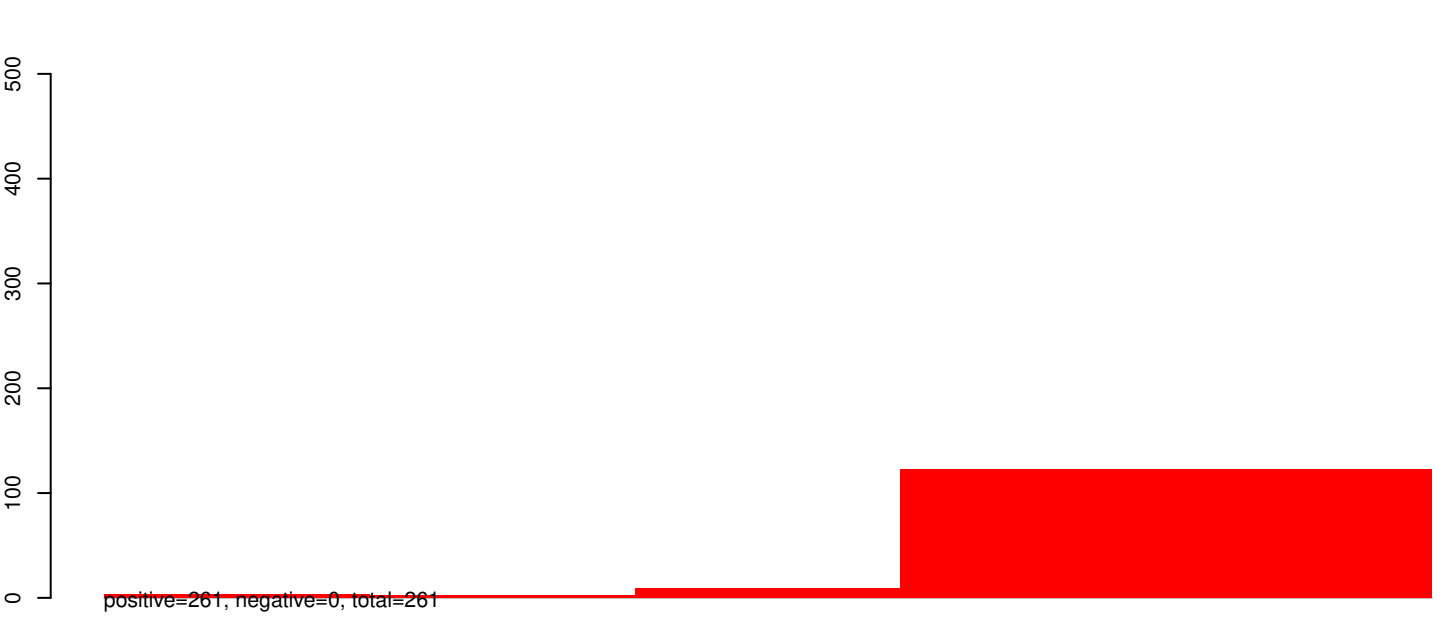
**AeAeg\_Whole\_ZIKVdr\_BM2\_GP.rep**



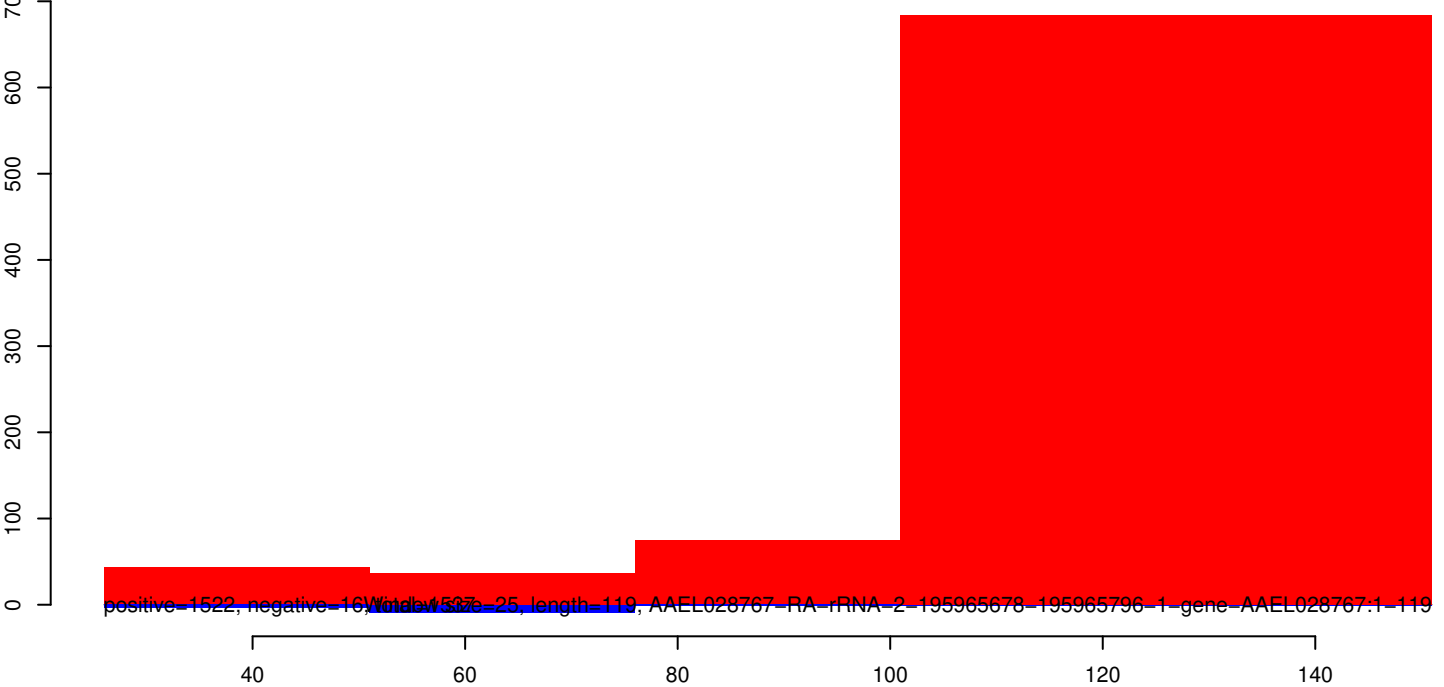
AeAeg\_Whole\_ZIKVdr\_BM2\_GP.18\_23.rep



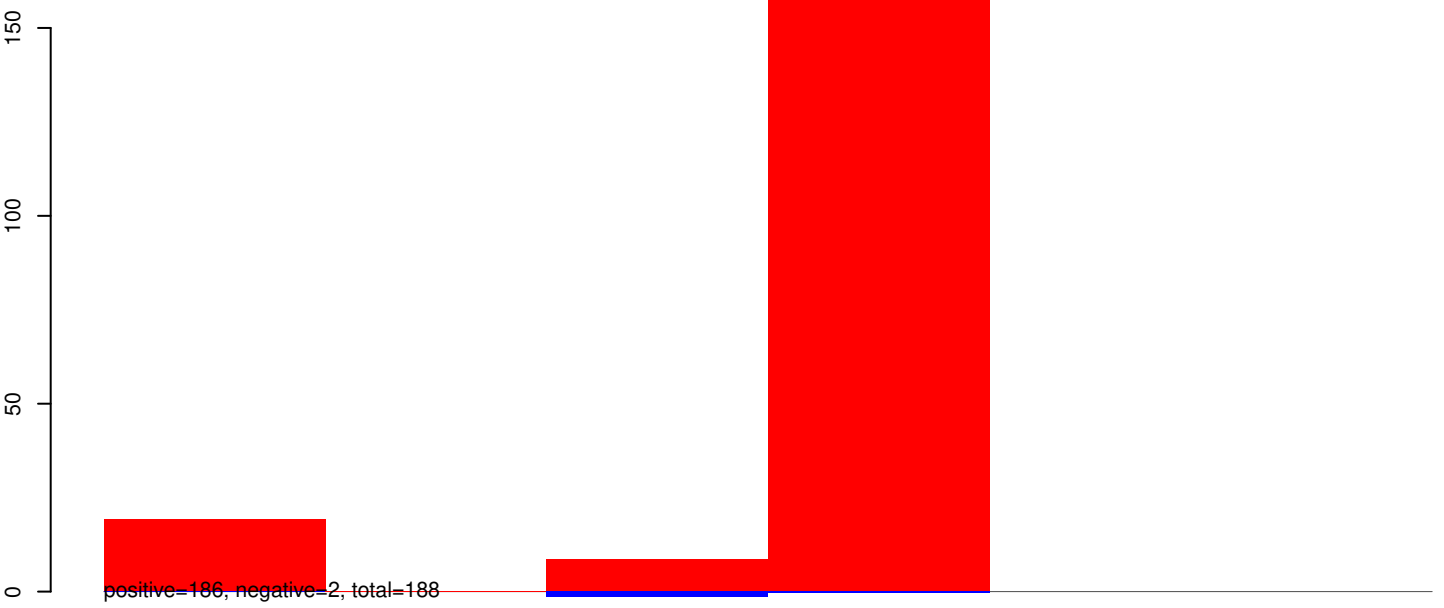
AeAeg\_Whole\_ZIKVdr\_BM2\_GP.24\_35.rep



AeAeg\_Whole\_ZIKVdr\_BM2\_GP.rep



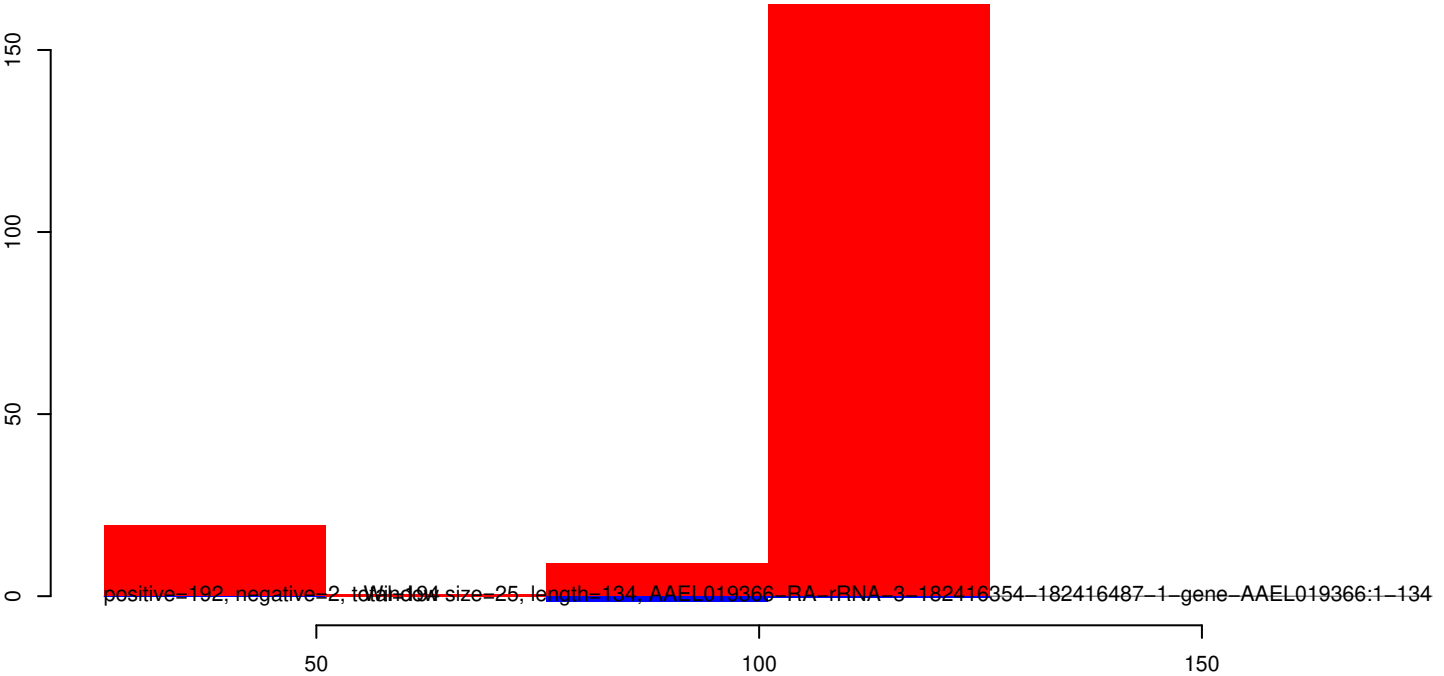
**AeAeg\_Whole\_ZIKVdr\_BM2\_GP.18\_23.rep**



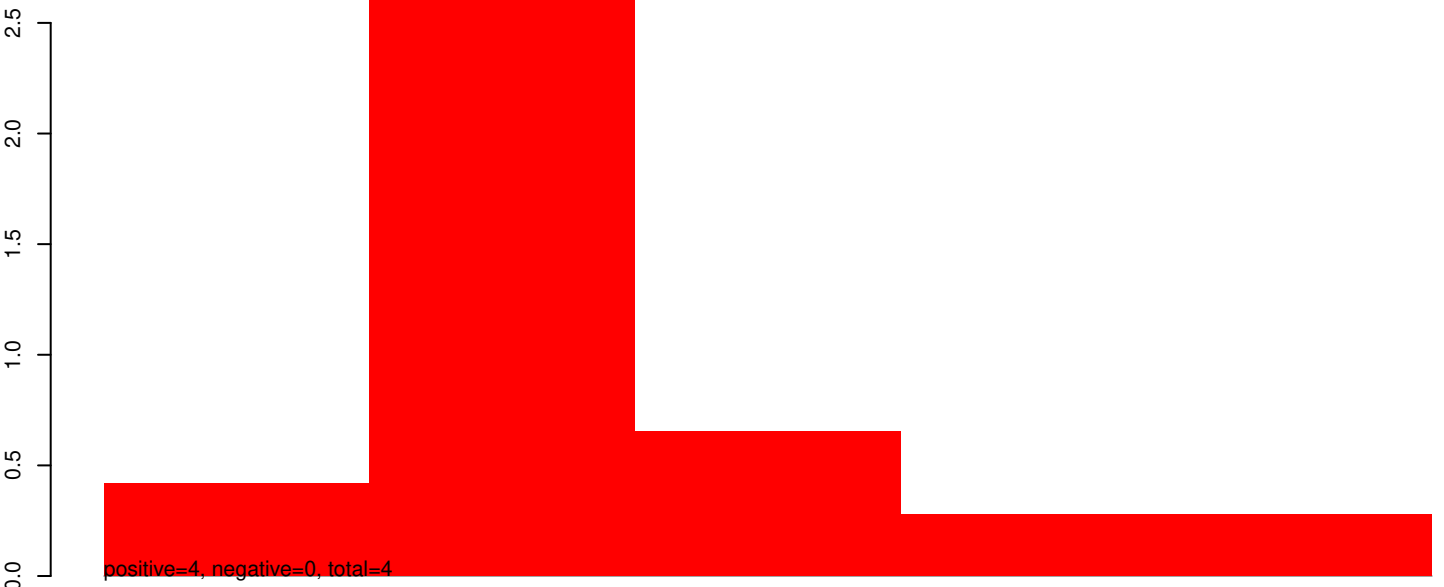
**AeAeg\_Whole\_ZIKVdr\_BM2\_GP.24\_35.rep**



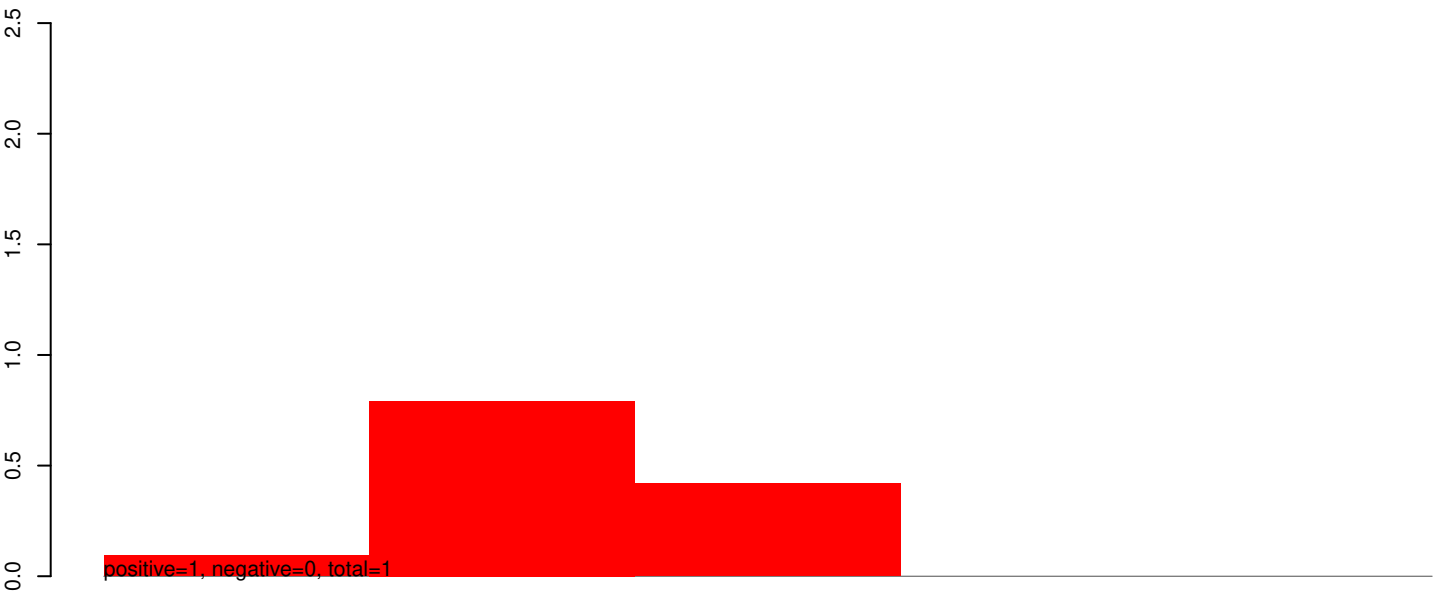
**AeAeg\_Whole\_ZIKVdr\_BM2\_GP.rep**



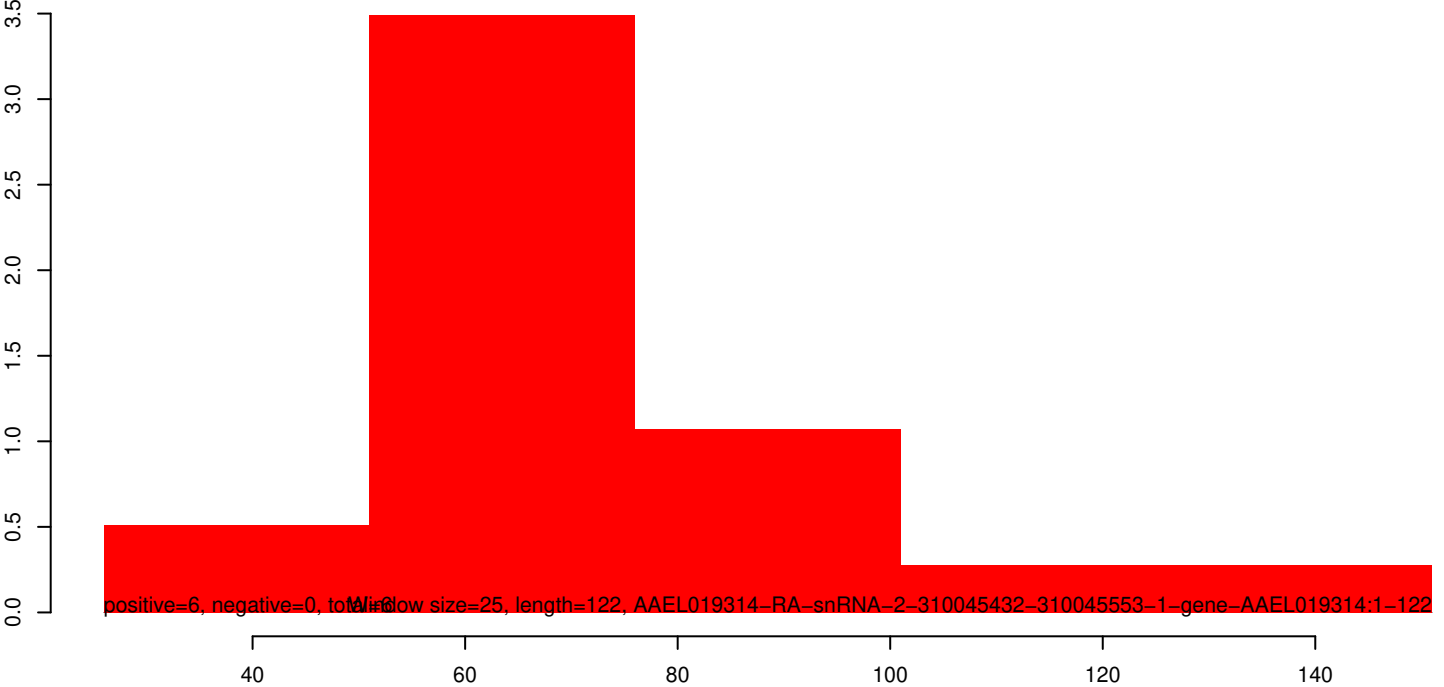
**AeAeg\_Whole\_ZIKVdr\_BM2\_GP.18\_23.rep**



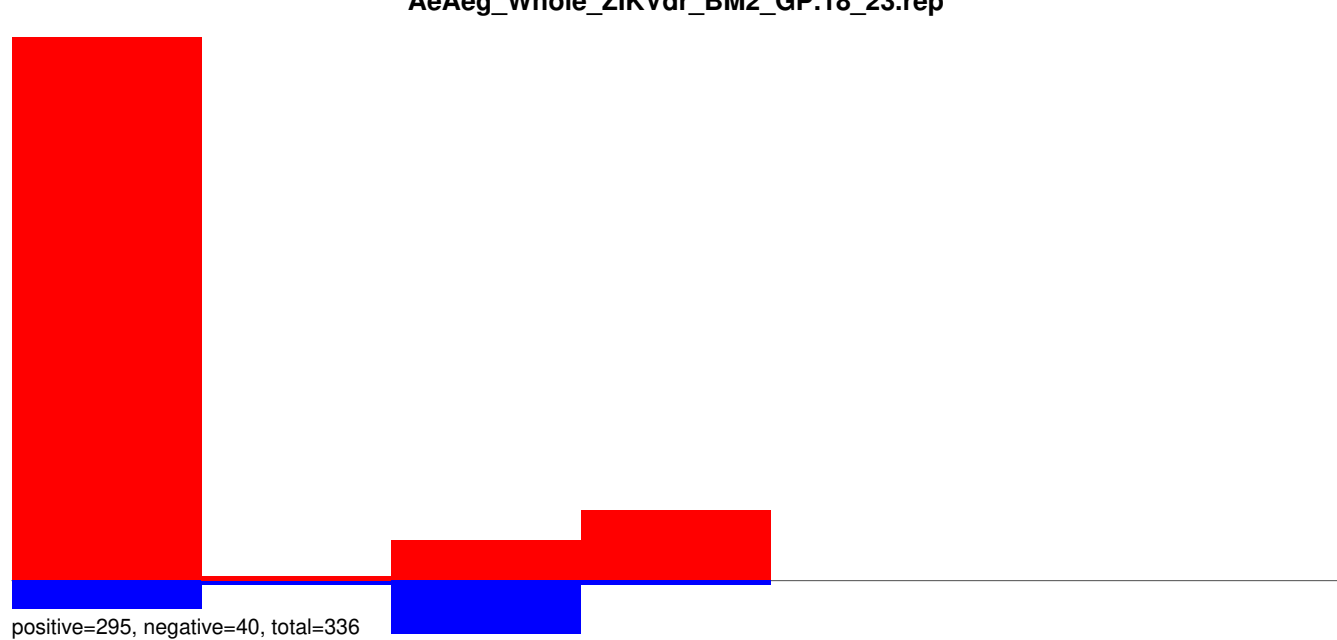
**AeAeg\_Whole\_ZIKVdr\_BM2\_GP.24\_35.rep**



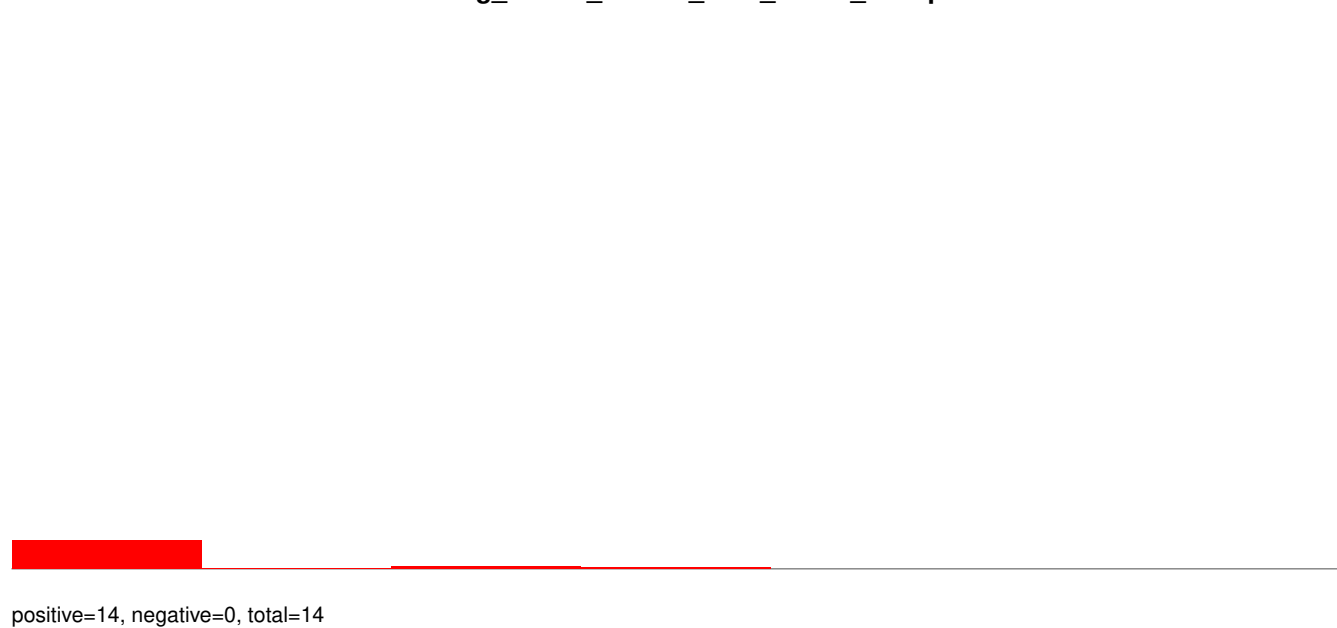
**AeAeg\_Whole\_ZIKVdr\_BM2\_GP.rep**



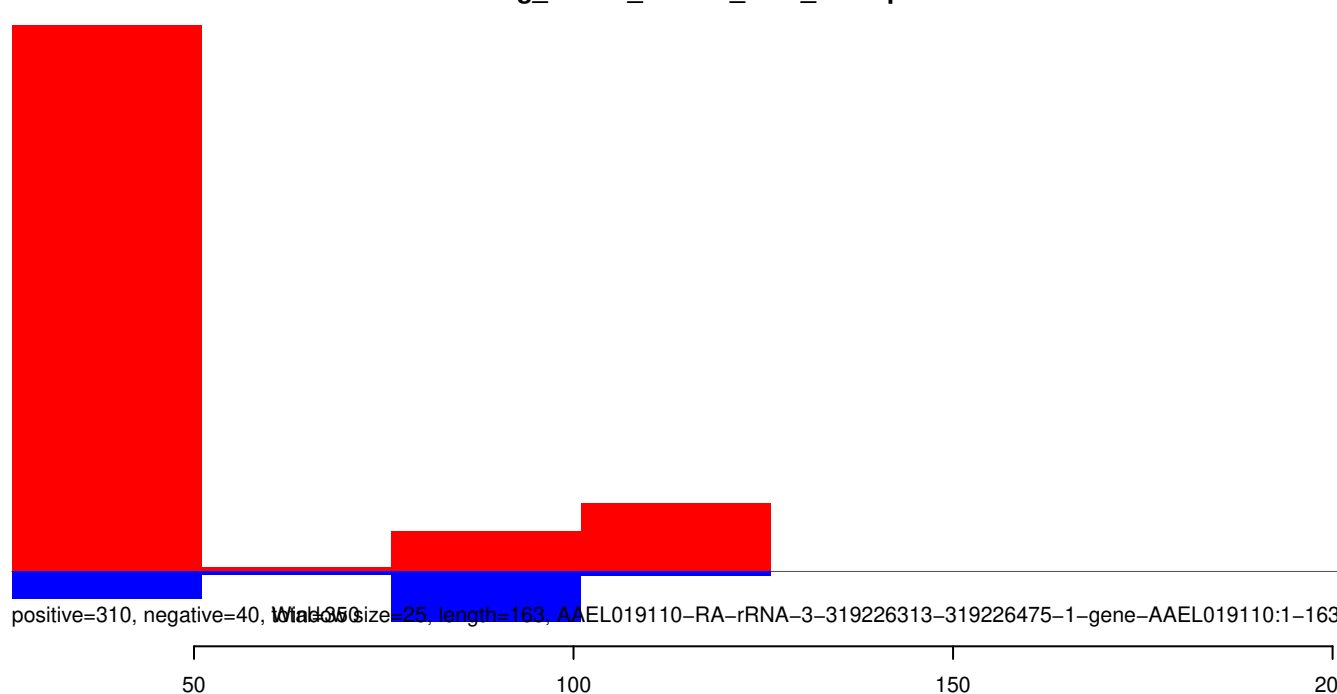
**AeAeg\_Whole\_ZIKVdr\_BM2\_GP.18\_23.rep**



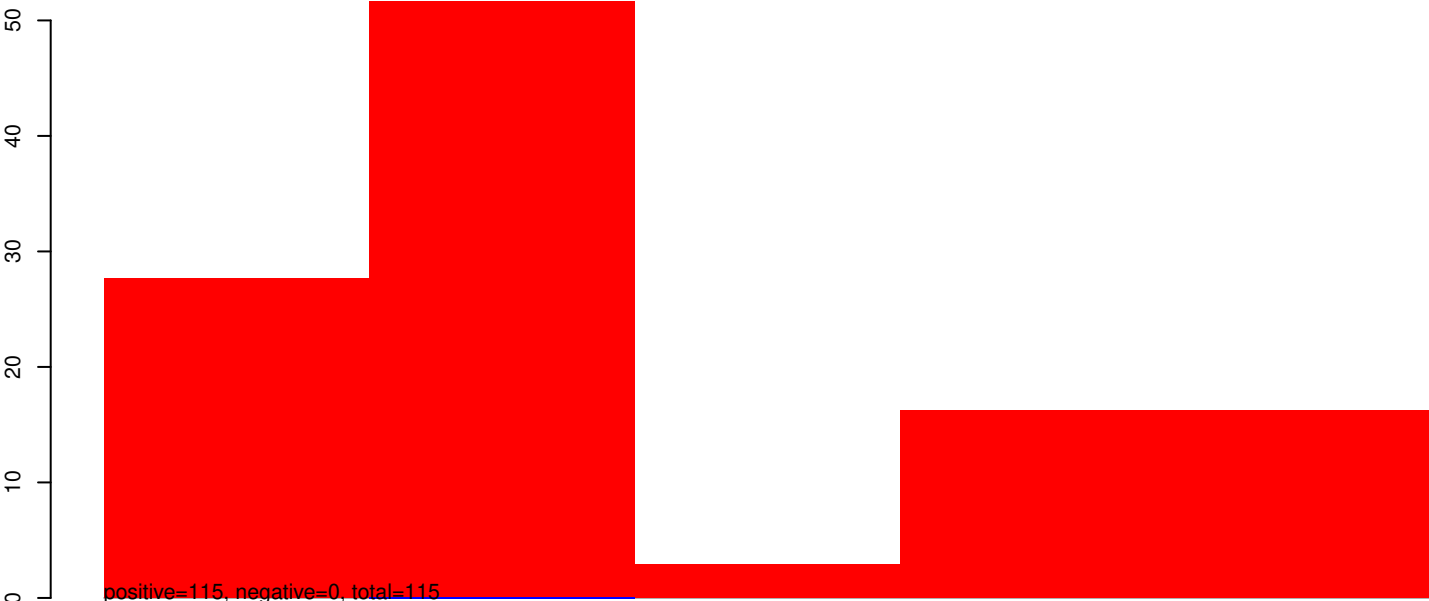
**AeAeg\_Whole\_ZIKVdr\_BM2\_GP.24\_35.rep**



**AeAeg\_Whole\_ZIKVdr\_BM2\_GP.rep**



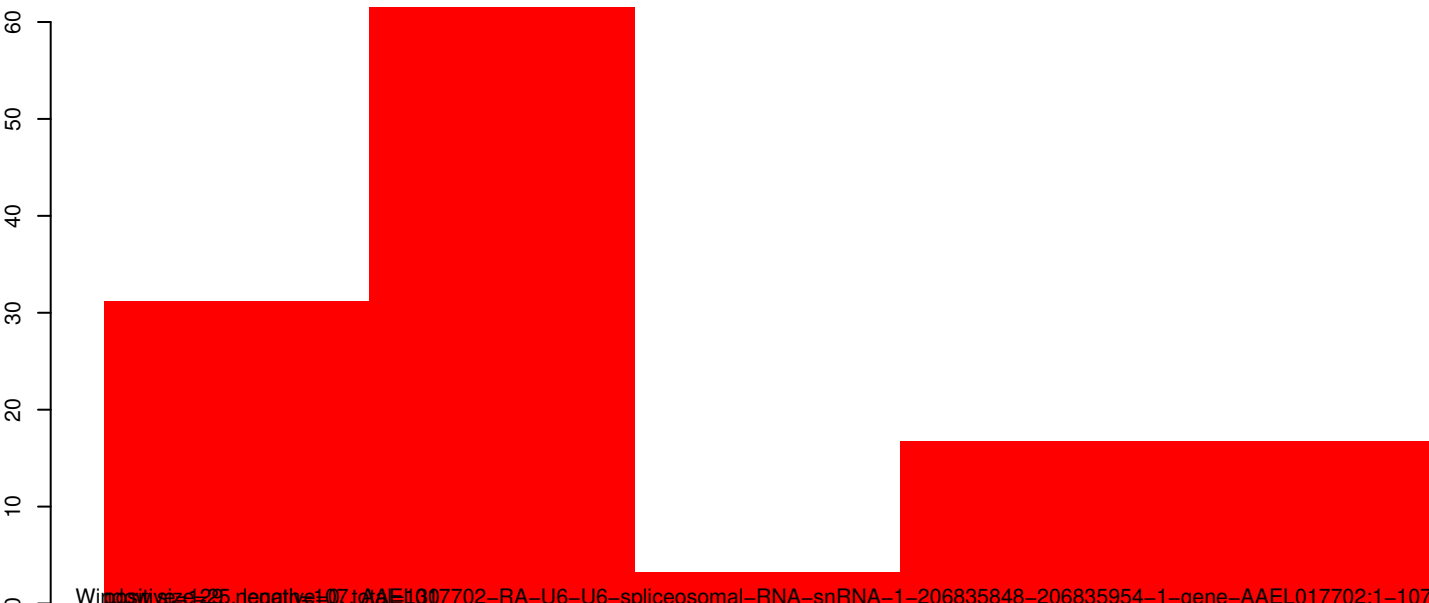
AeAeg\_Whole\_ZIKVdr\_BM2\_GP.18\_23.rep



AeAeg\_Whole\_ZIKVdr\_BM2\_GP.24\_35.rep



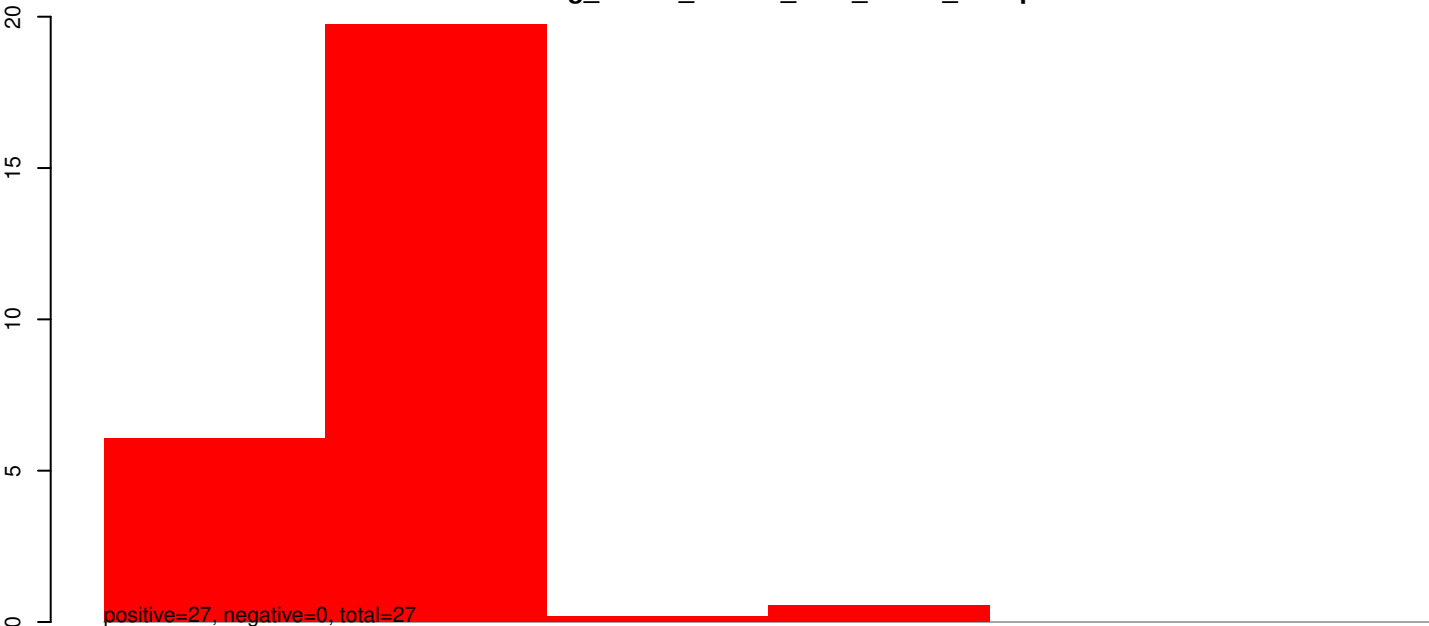
AeAeg\_Whole\_ZIKVdr\_BM2\_GP.rep



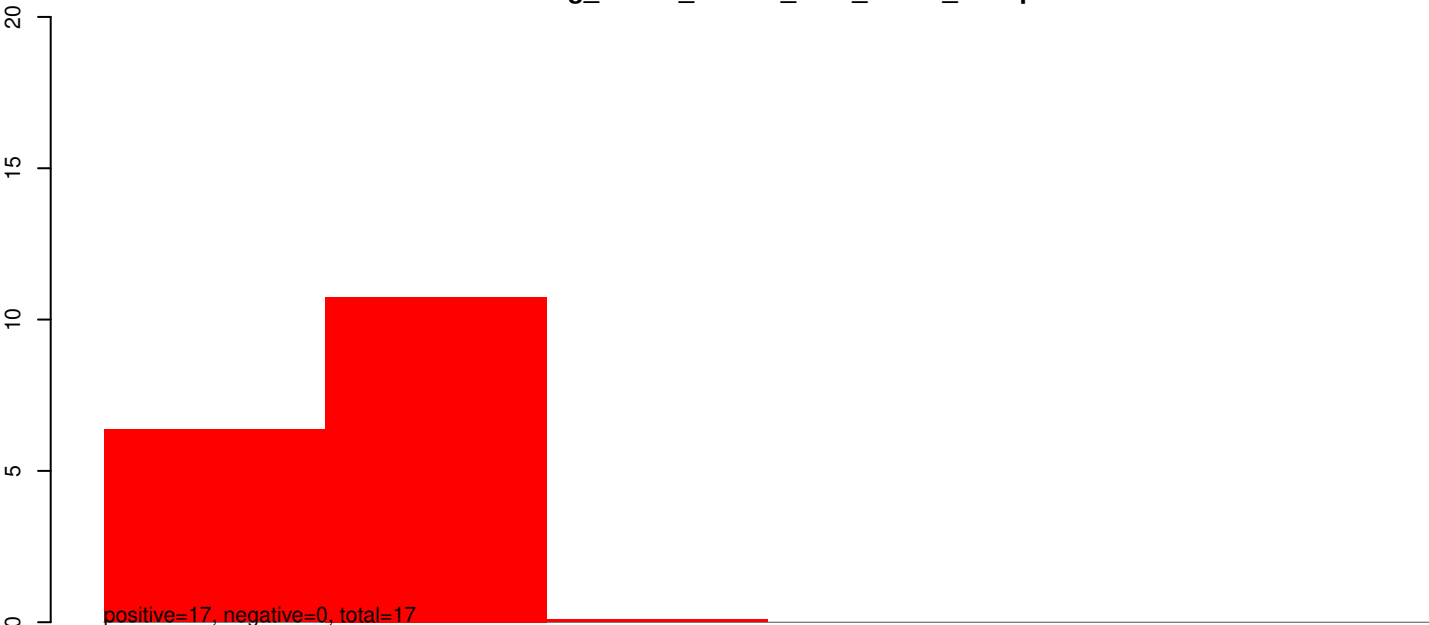
Window size=25, negative=0, total=125, AE1007702-RA-U6-U6-spliceosomal-RNA-snrRNA-1-206835848-206835954-1-gene-AAEL017702:1-107

40 60 80 100 120 140

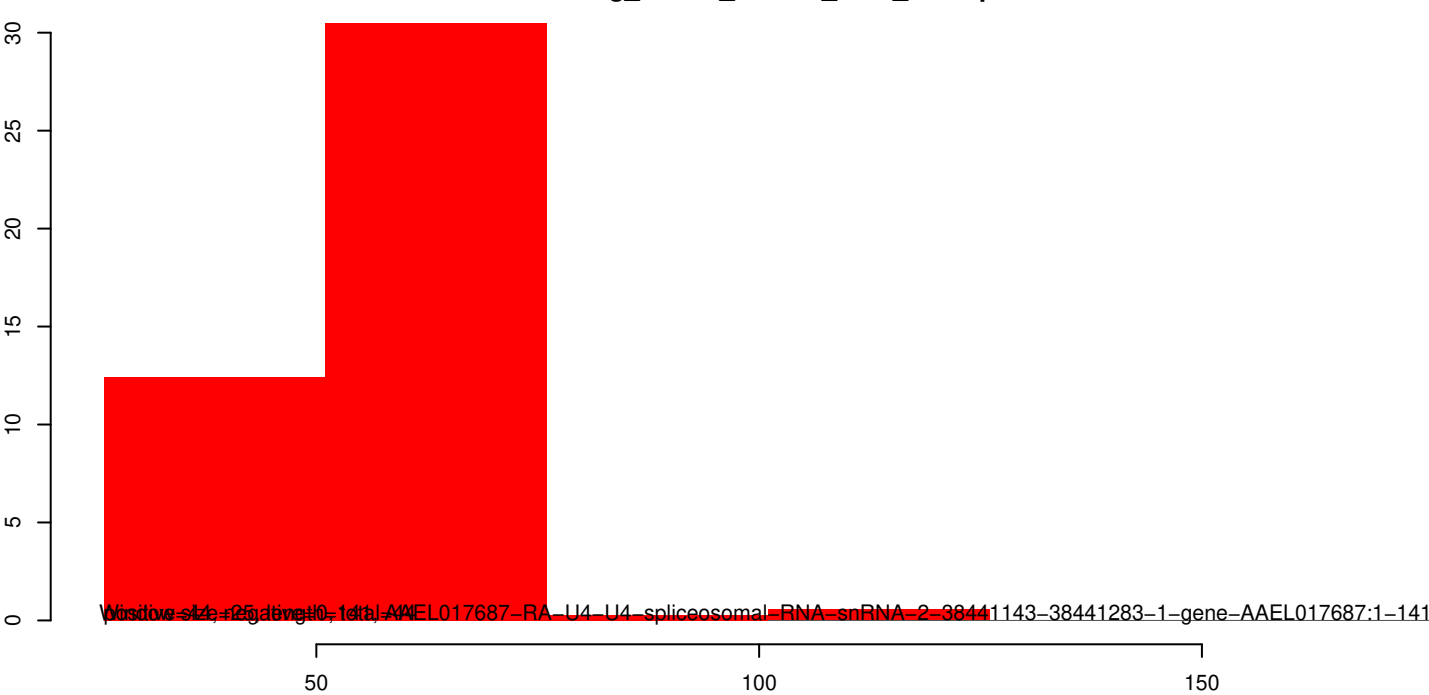
AeAeg\_Whole\_ZIKVdr\_BM2\_GP.18\_23.rep



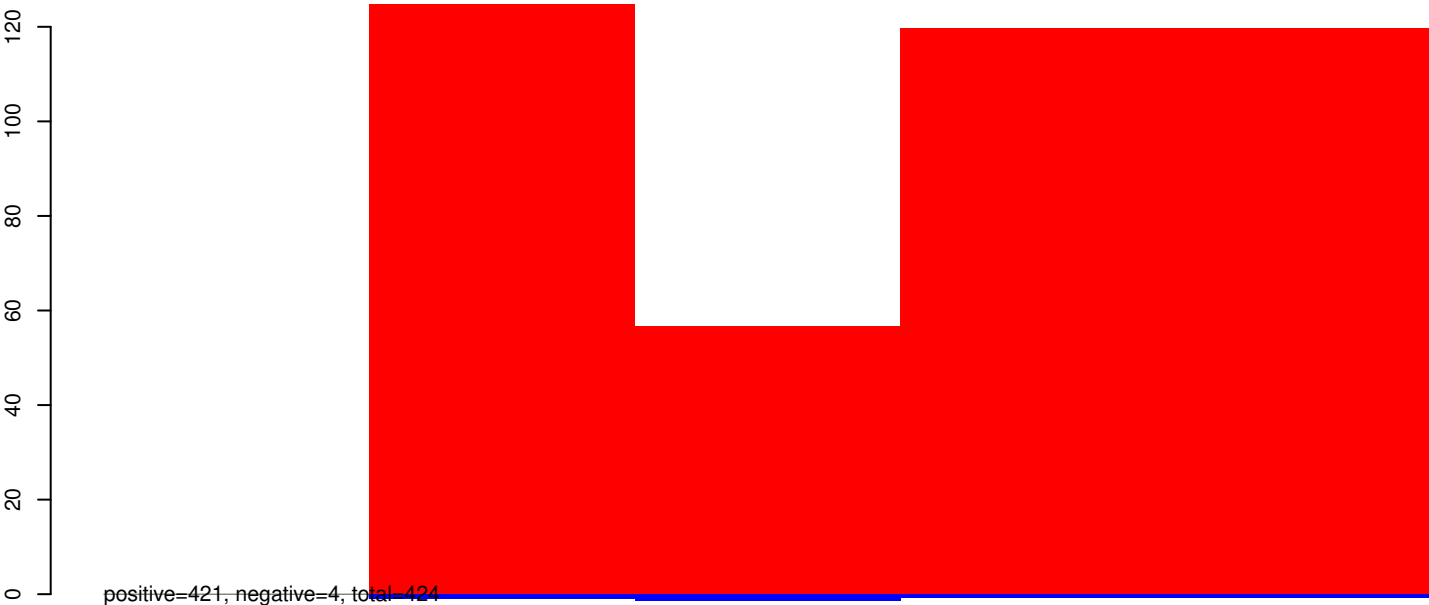
AeAeg\_Whole\_ZIKVdr\_BM2\_GP.24\_35.rep



AeAeg\_Whole\_ZIKVdr\_BM2\_GP.rep



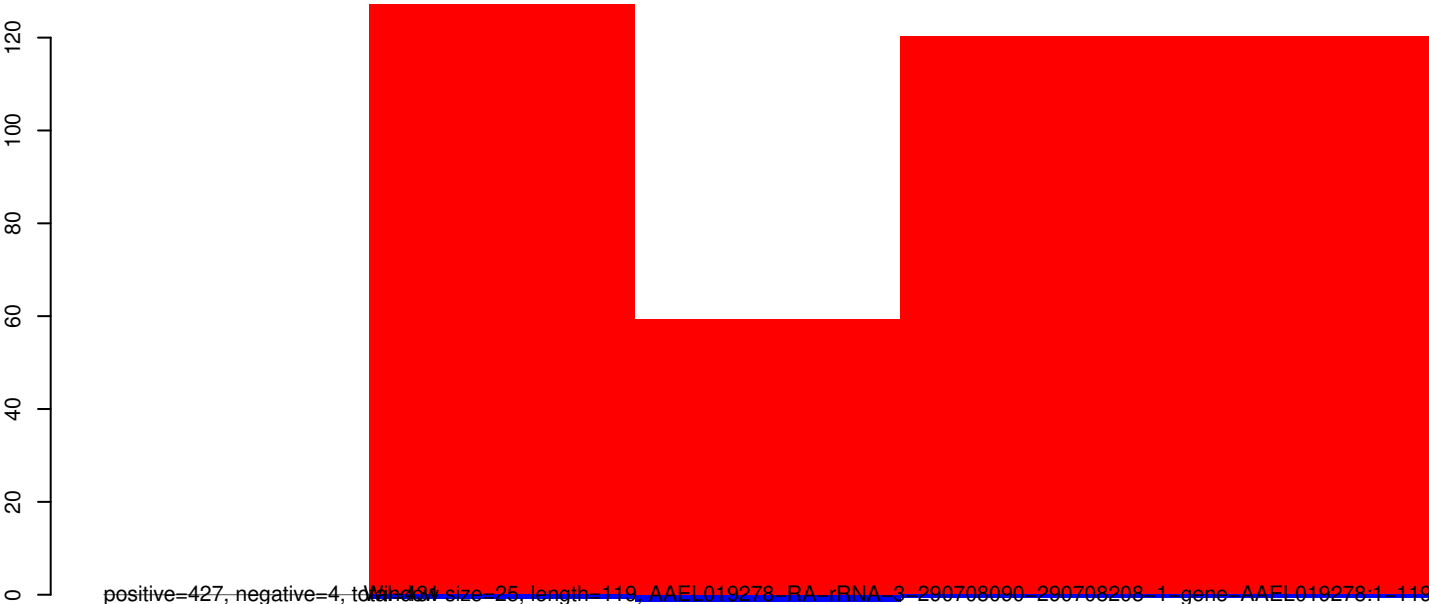
**AeAeg\_Whole\_ZIKVdr\_BM2\_GP.18\_23.rep**



**AeAeg\_Whole\_ZIKVdr\_BM2\_GP.24\_35.rep**



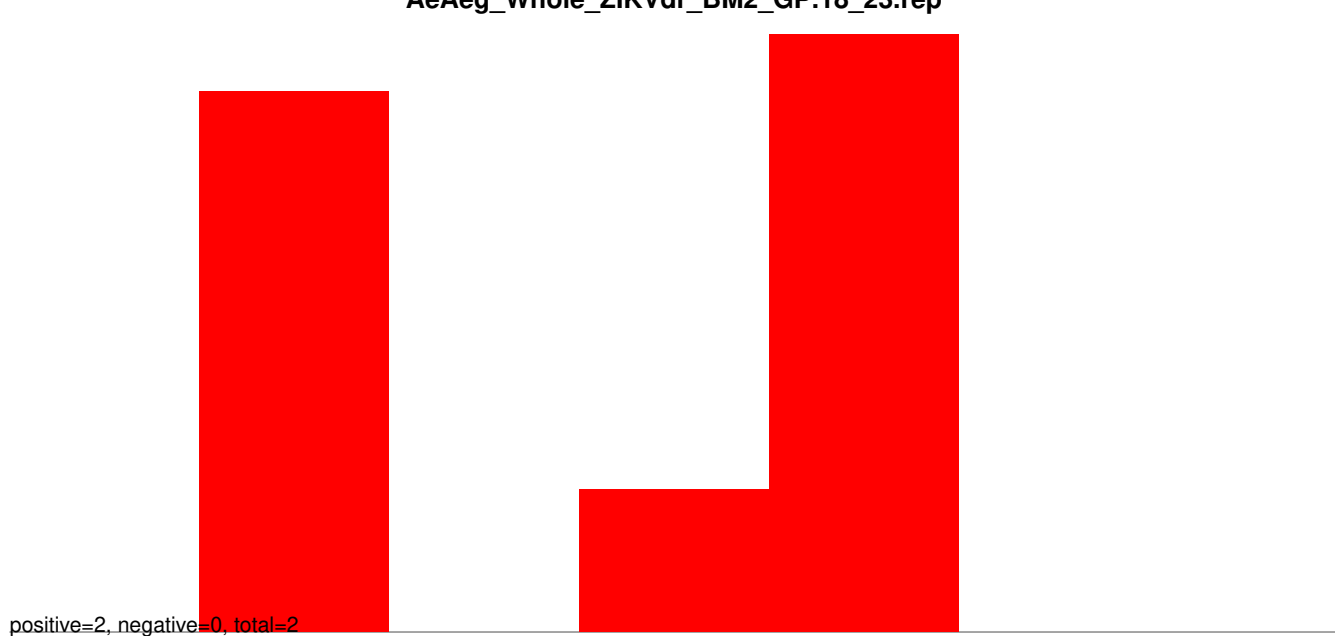
**AeAeg\_Whole\_ZIKVdr\_BM2\_GP.rep**



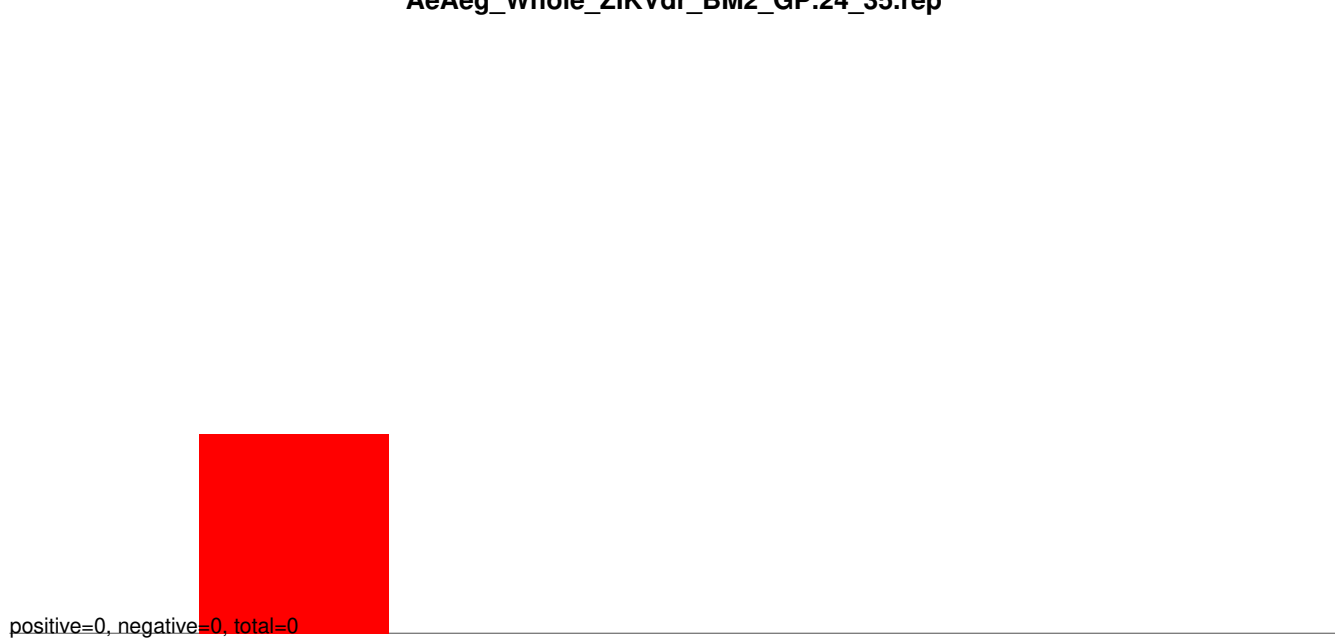
Window size=25, length=119, AAEL019278\_RA\_rRNA\_3\_290708090\_290708208\_1\_gene\_AAEL019278:1\_119



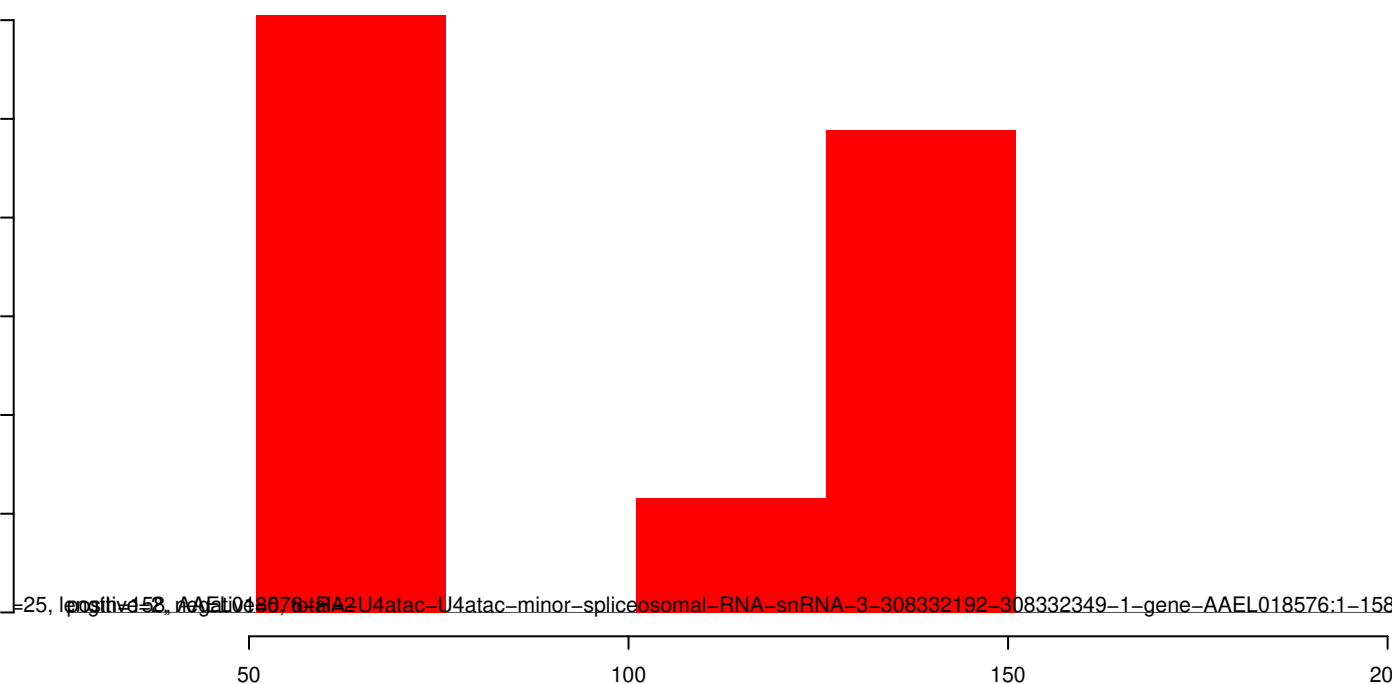
**AeAeg\_Whole\_ZIKVdr\_BM2\_GP.18\_23.rep**



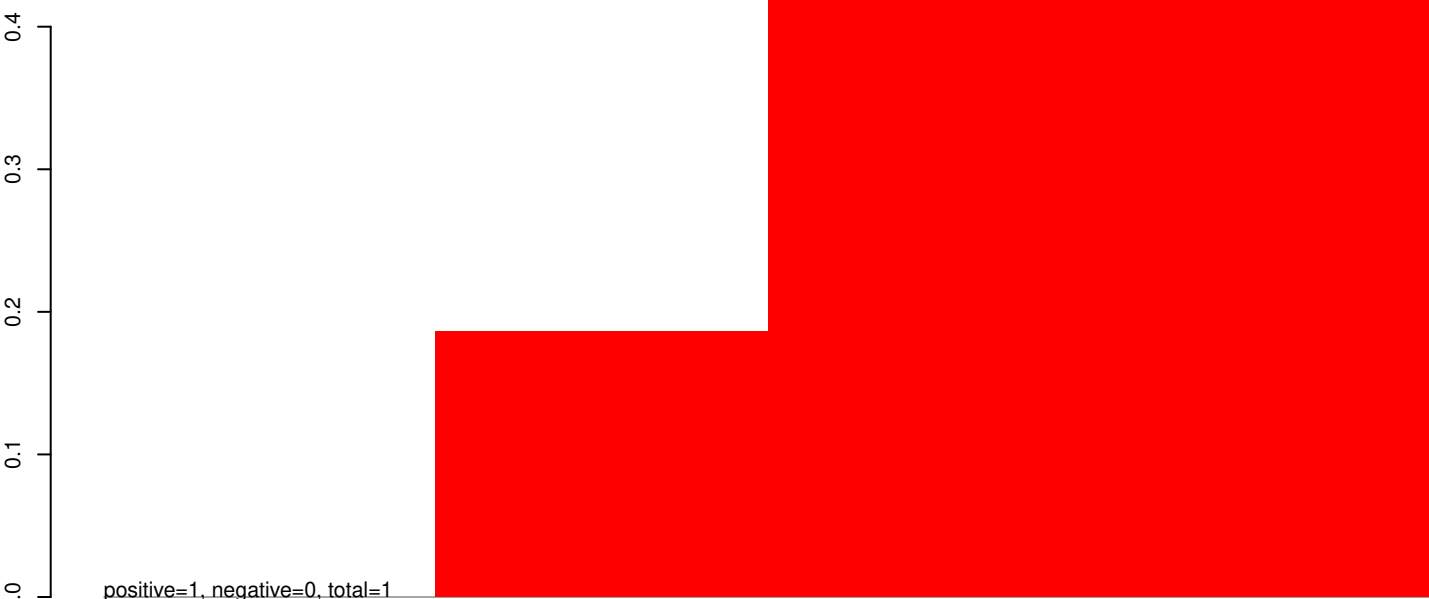
**AeAeg\_Whole\_ZIKVdr\_BM2\_GP.24\_35.rep**



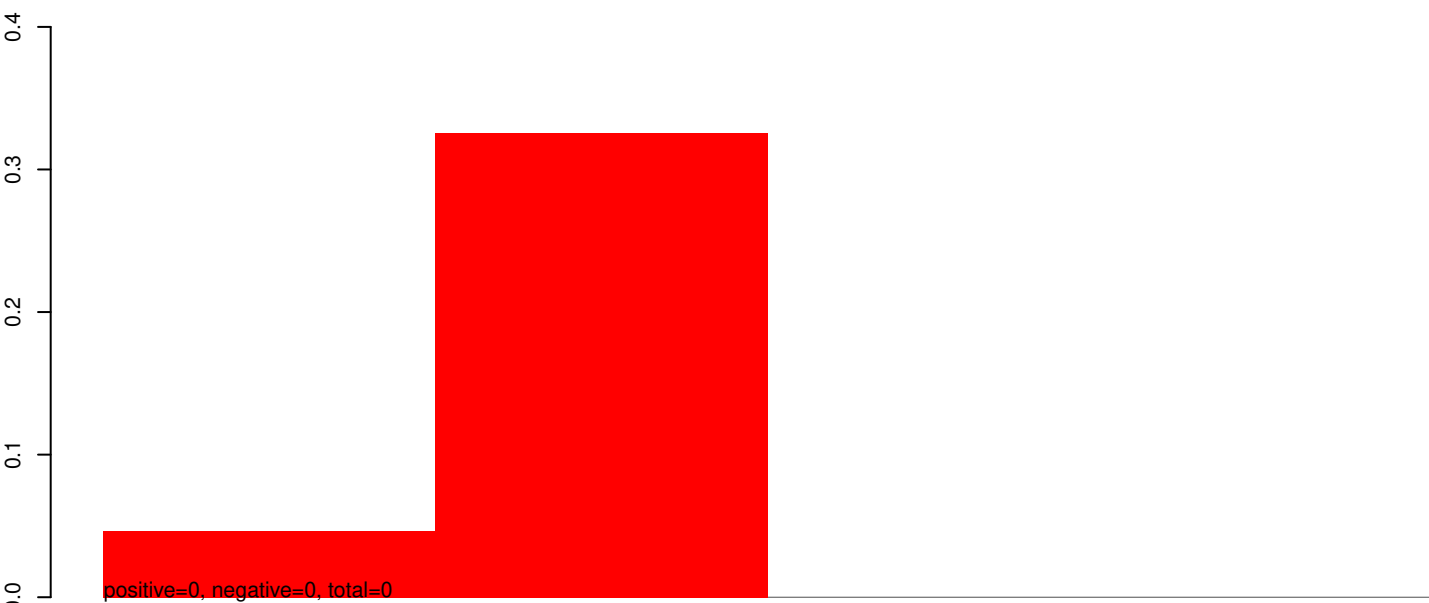
**AeAeg\_Whole\_ZIKVdr\_BM2\_GP.rep**



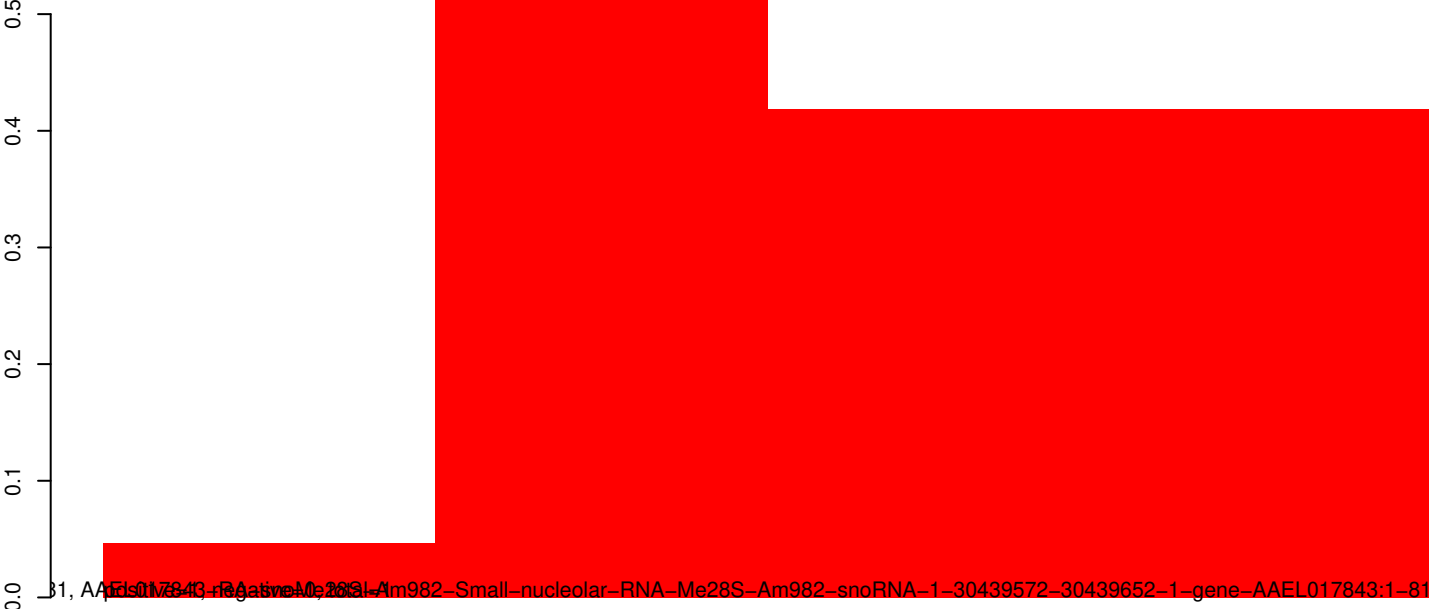
**AeAeg\_Whole\_ZIKVdr\_BM2\_GP.18\_23.rep**



**AeAeg\_Whole\_ZIKVdr\_BM2\_GP.24\_35.rep**

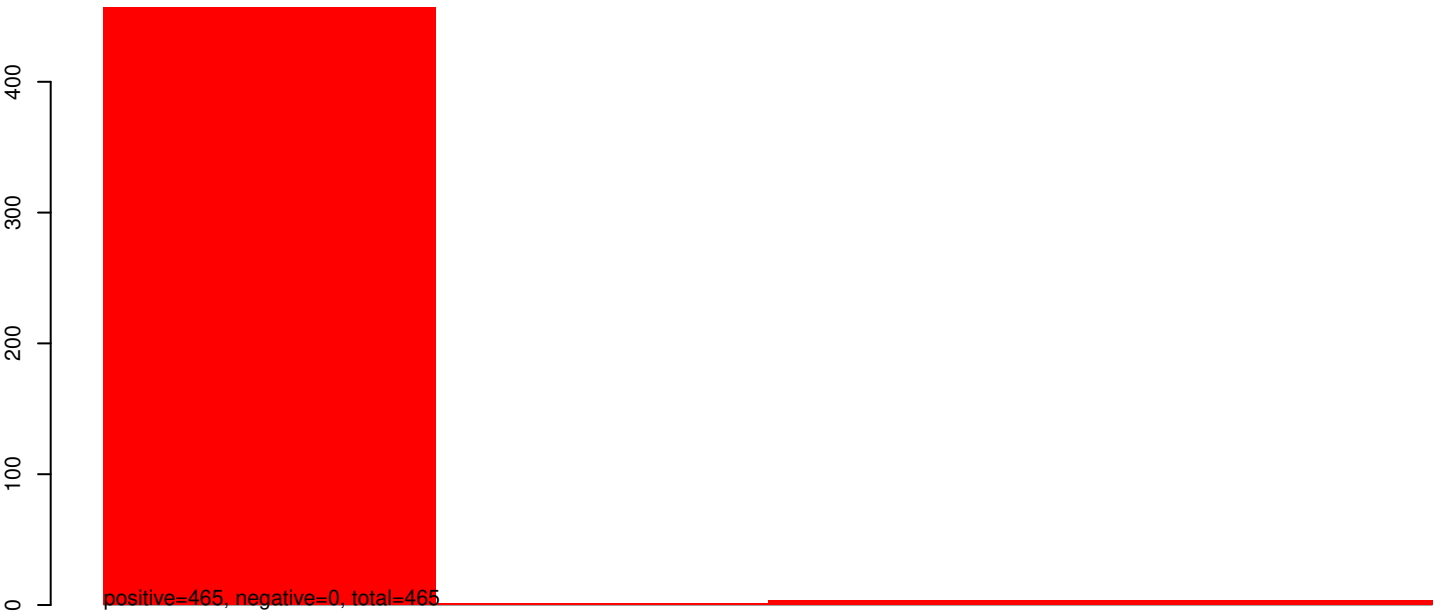


**AeAeg\_Whole\_ZIKVdr\_BM2\_GP.rep**



31, AAEL017843, rRNA-40S-1, Am982-Small-nucleolar-RNA-Me28S-Am982-snoRNA-1-30439572-30439652-1-gene-AAEL017843:1-81

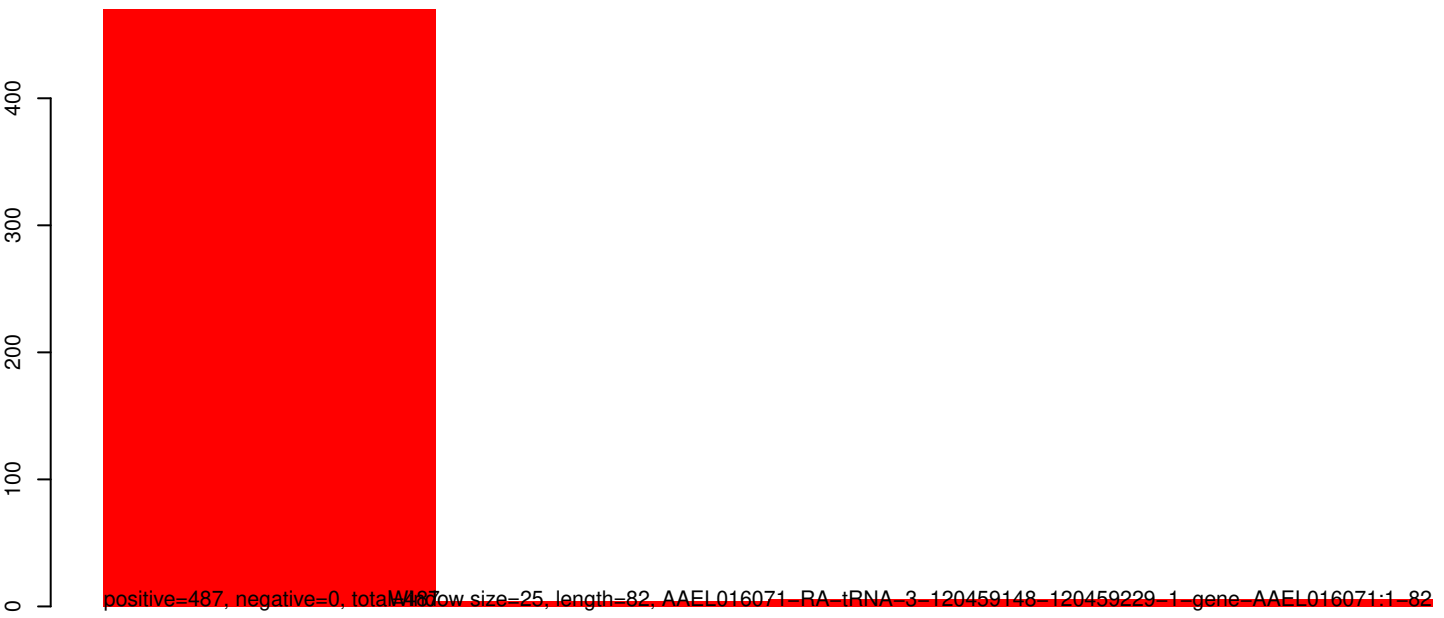
AeAeg\_Whole\_ZIKVdr\_BM2\_GP.18\_23.rep



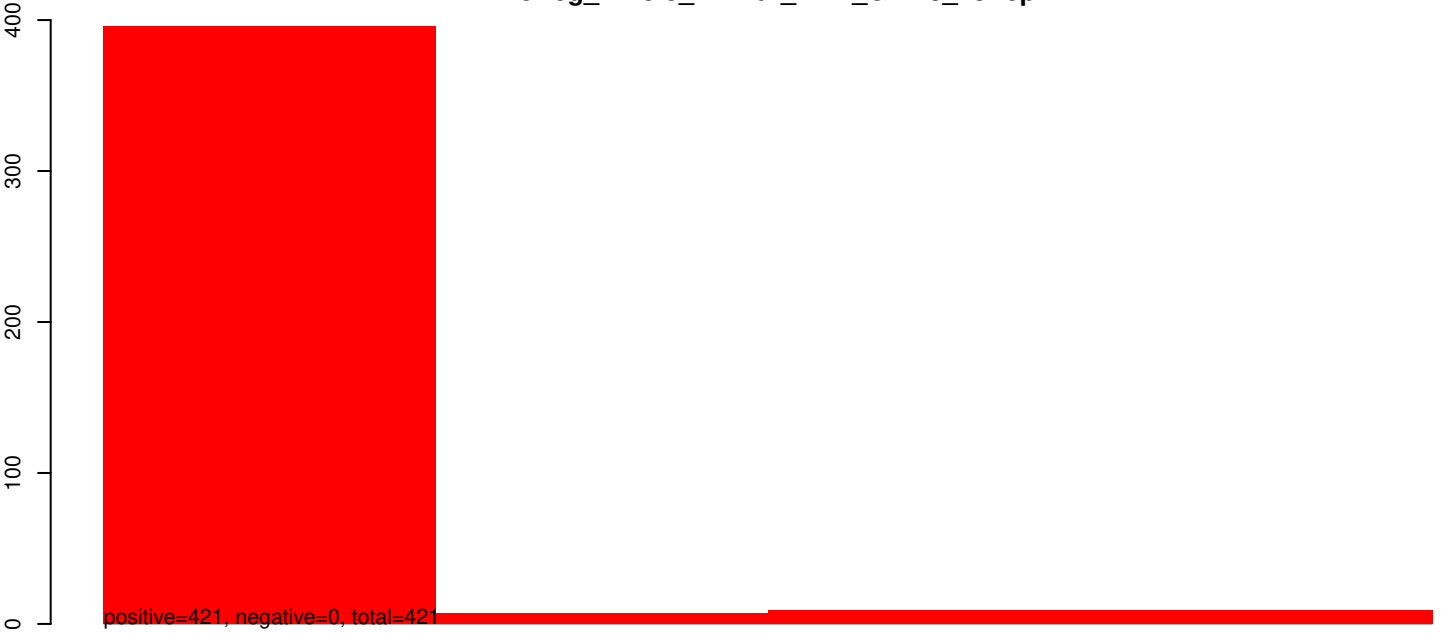
AeAeg\_Whole\_ZIKVdr\_BM2\_GP.24\_35.rep



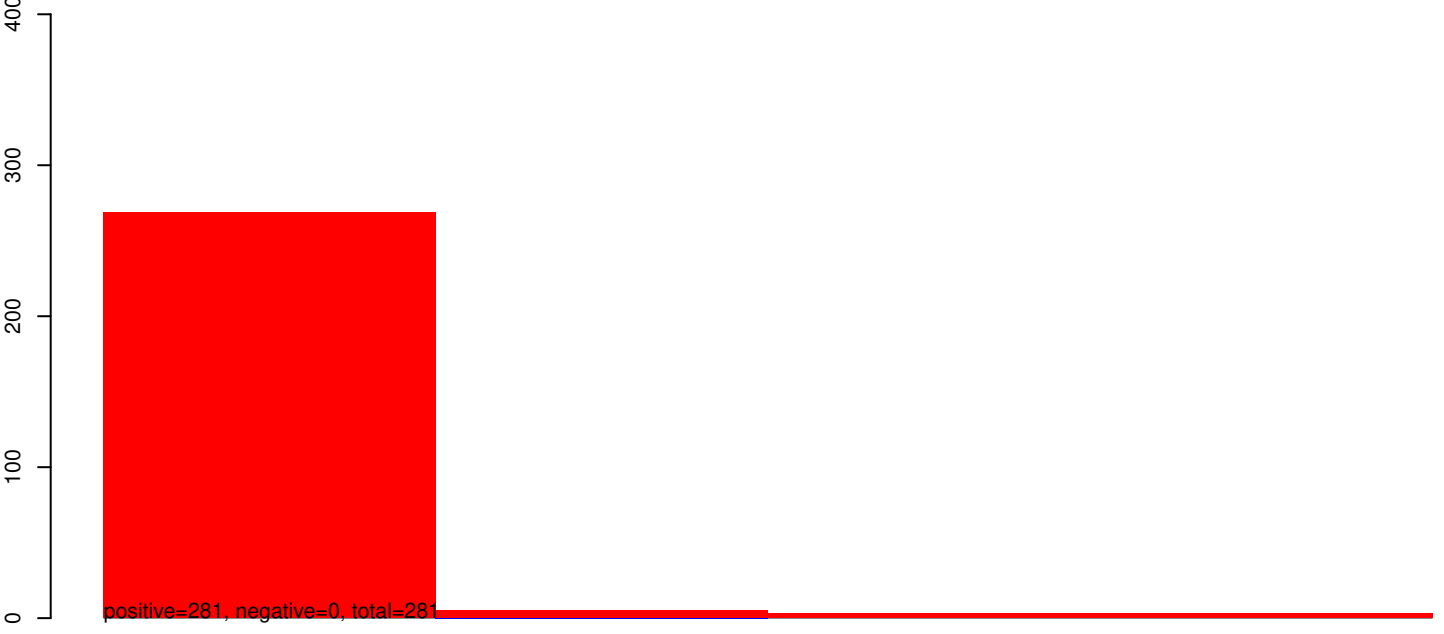
AeAeg\_Whole\_ZIKVdr\_BM2\_GP.rep



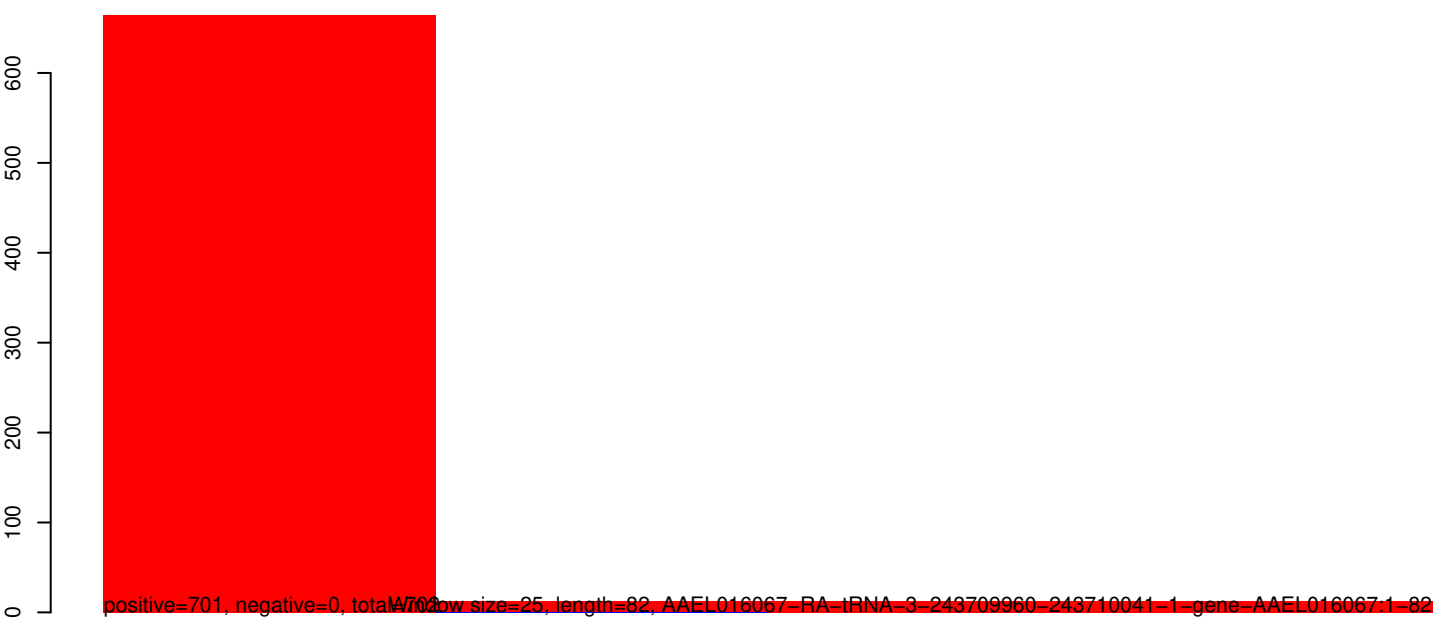
AeAeg\_Whole\_ZIKVdr\_BM2\_GP.18\_23.rep



AeAeg\_Whole\_ZIKVdr\_BM2\_GP.24\_35.rep

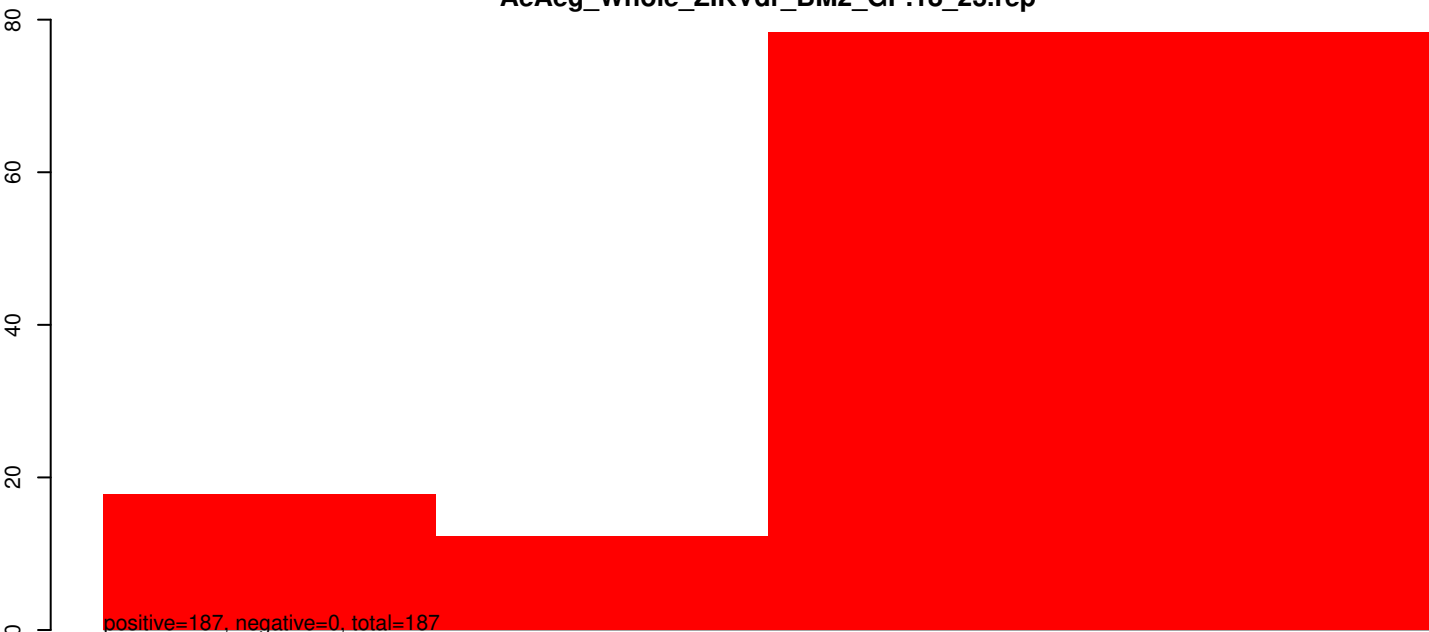


AeAeg\_Whole\_ZIKVdr\_BM2\_GP.rep

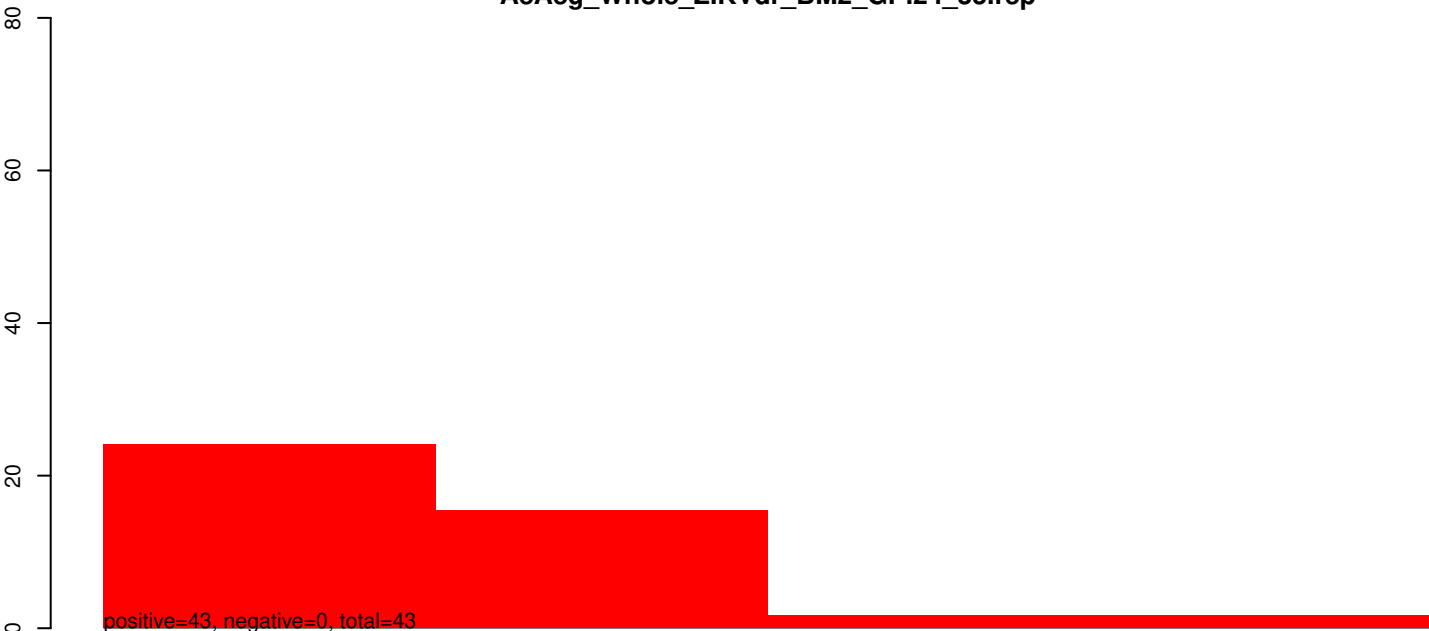


40 60 80 100 120

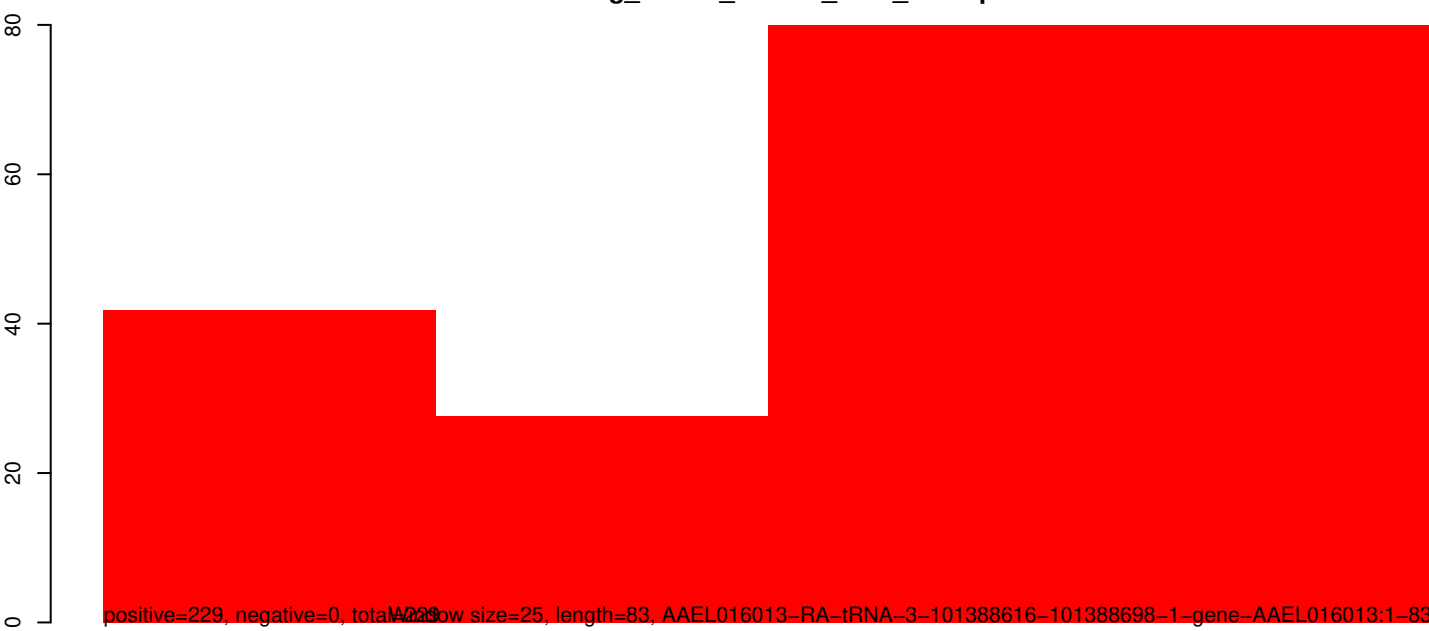
**AeAeg\_Whole\_ZIKVdr\_BM2\_GP.18\_23.rep**



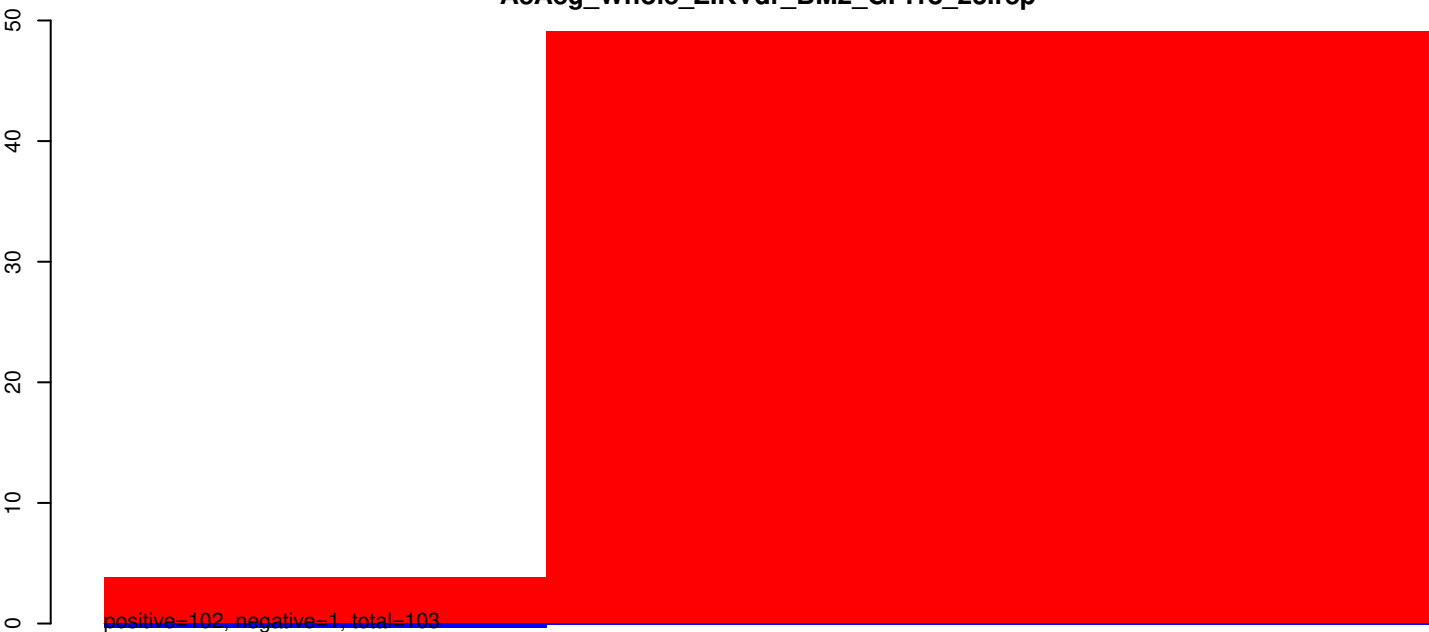
**AeAeg\_Whole\_ZIKVdr\_BM2\_GP.24\_35.rep**



**AeAeg\_Whole\_ZIKVdr\_BM2\_GP.rep**



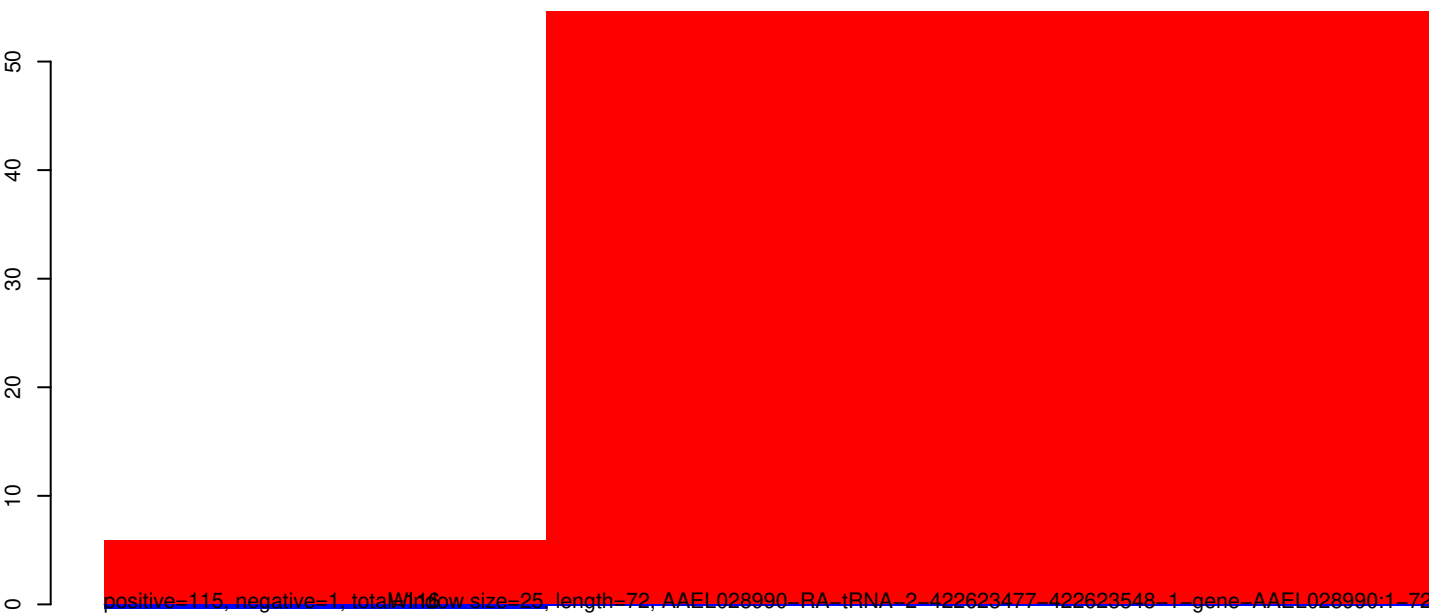
**AeAeg\_Whole\_ZIKVdr\_BM2\_GP.18\_23.rep**



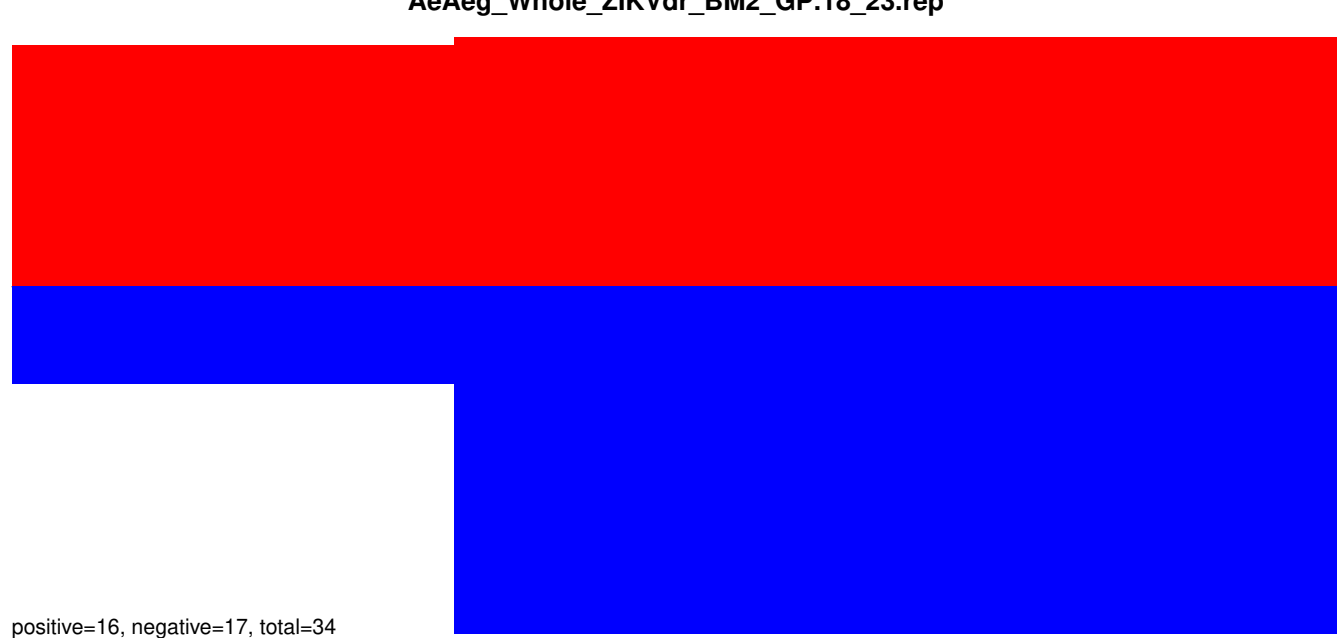
**AeAeg\_Whole\_ZIKVdr\_BM2\_GP.24\_35.rep**



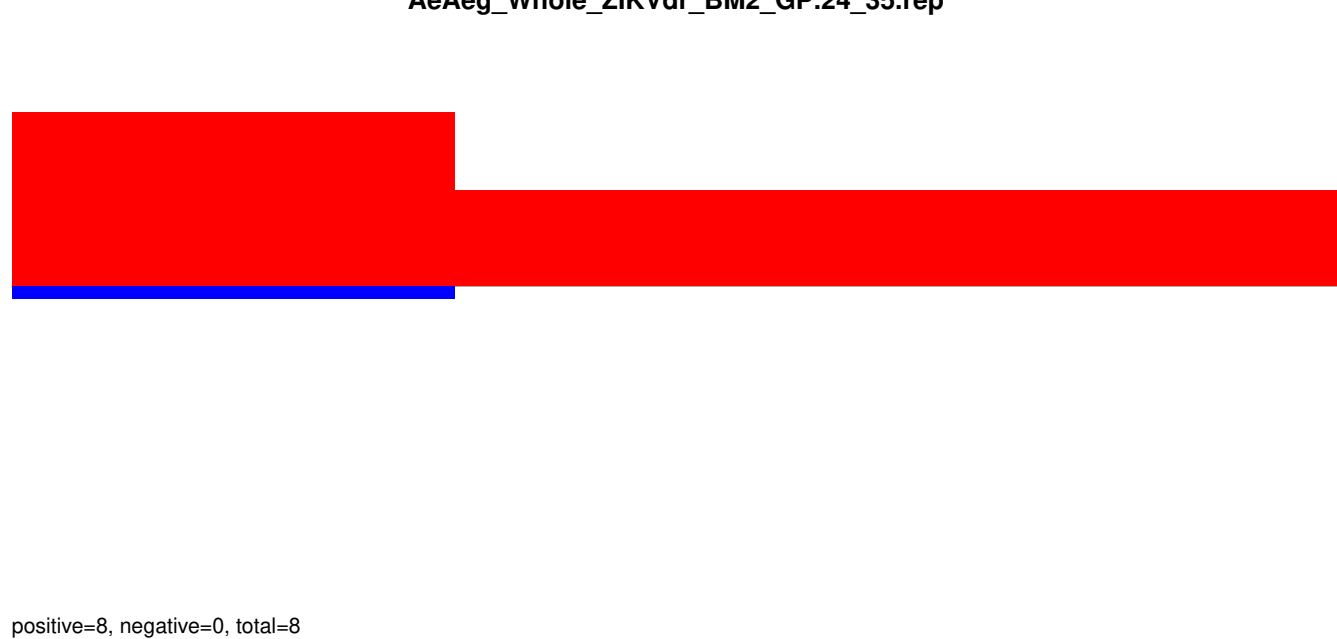
**AeAeg\_Whole\_ZIKVdr\_BM2\_GP.rep**



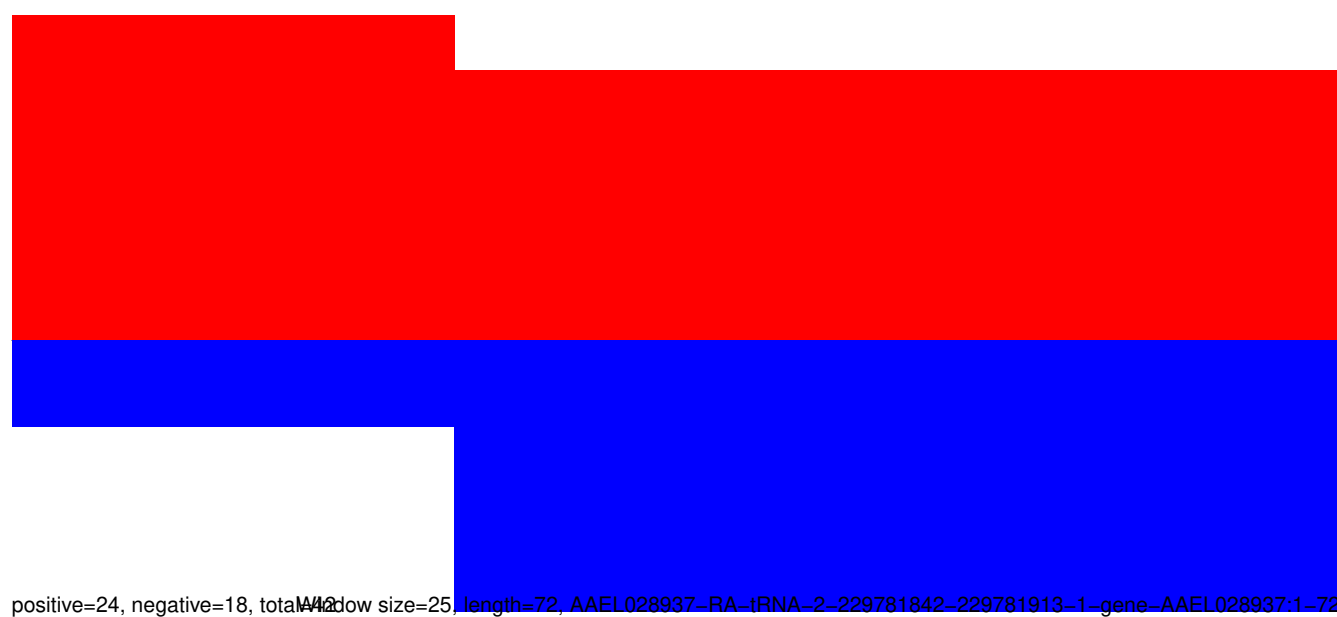
**AeAeg\_Whole\_ZIKVdr\_BM2\_GP.18\_23.rep**



**AeAeg\_Whole\_ZIKVdr\_BM2\_GP.24\_35.rep**



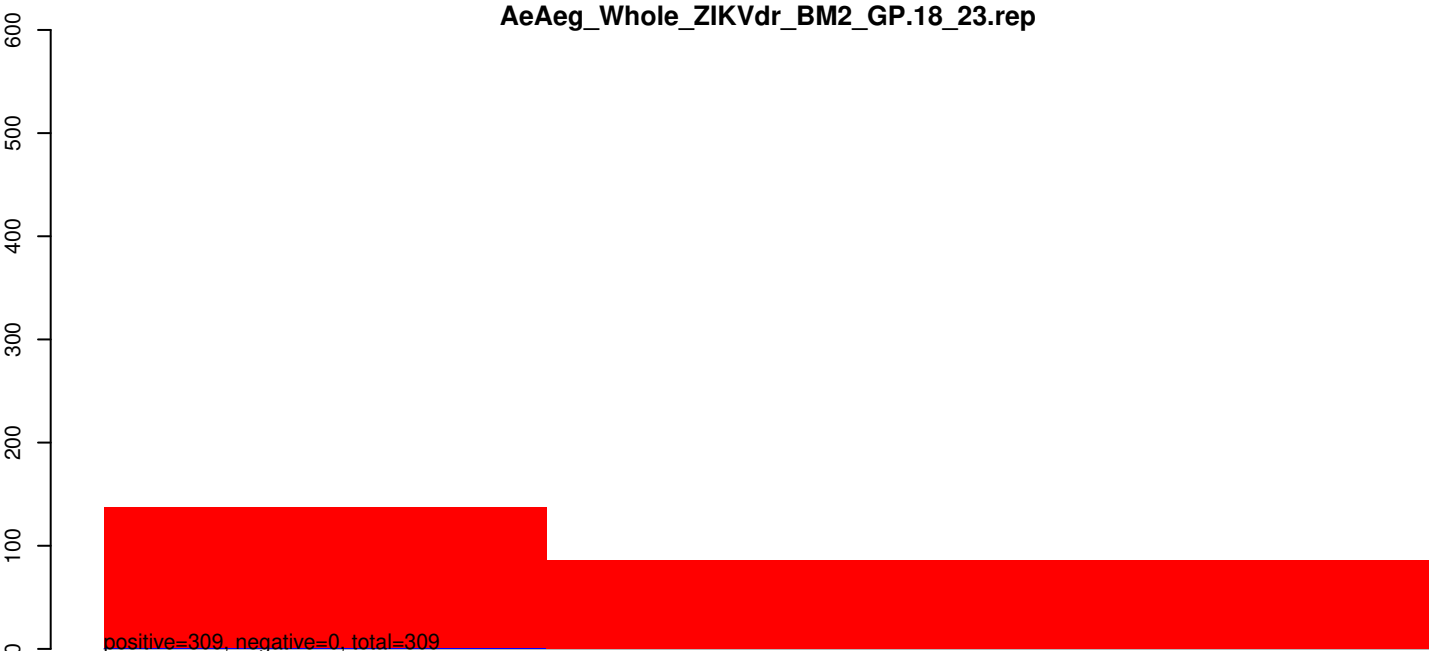
**AeAeg\_Whole\_ZIKVdr\_BM2\_GP.rep**



Window size=25, length=72, AAEL028937-RA-tRNA-2-229781842-229781913-1-gene-AAEL028937:1-72

40 60 80 100

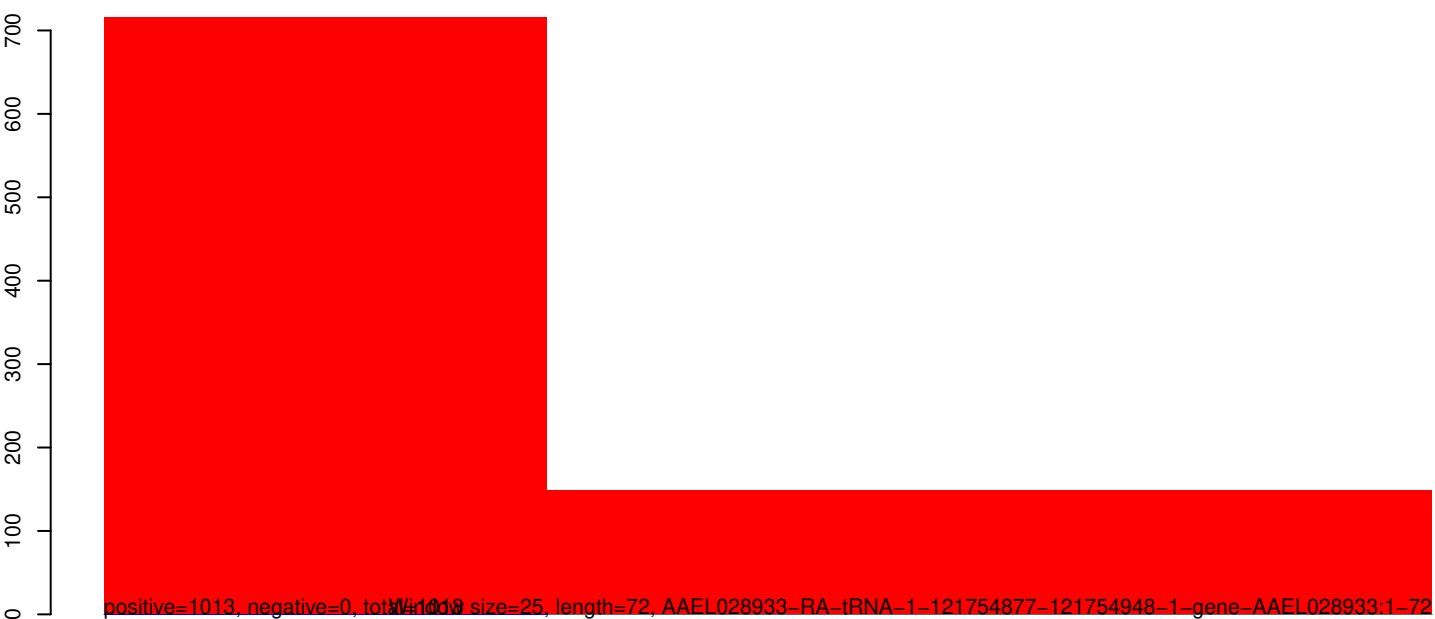
**AeAeg\_Whole\_ZIKVdr\_BM2\_GP.18\_23.rep**



**AeAeg\_Whole\_ZIKVdr\_BM2\_GP.24\_35.rep**

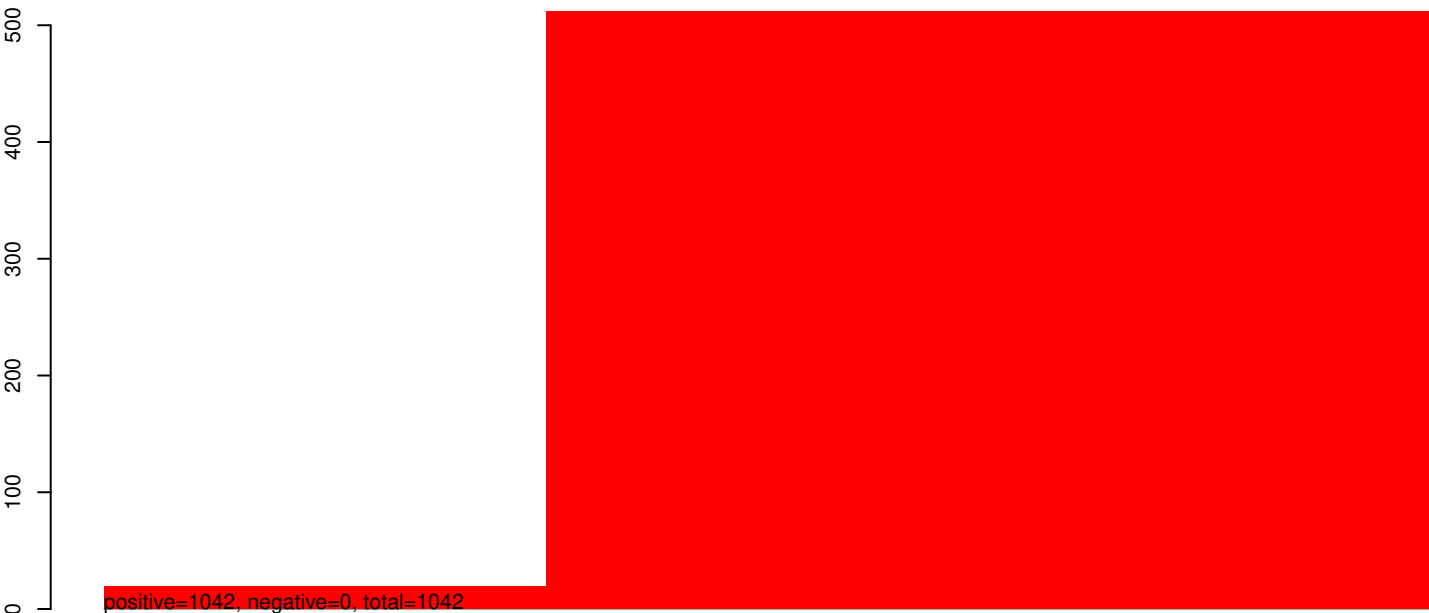


**AeAeg\_Whole\_ZIKVdr\_BM2\_GP.rep**





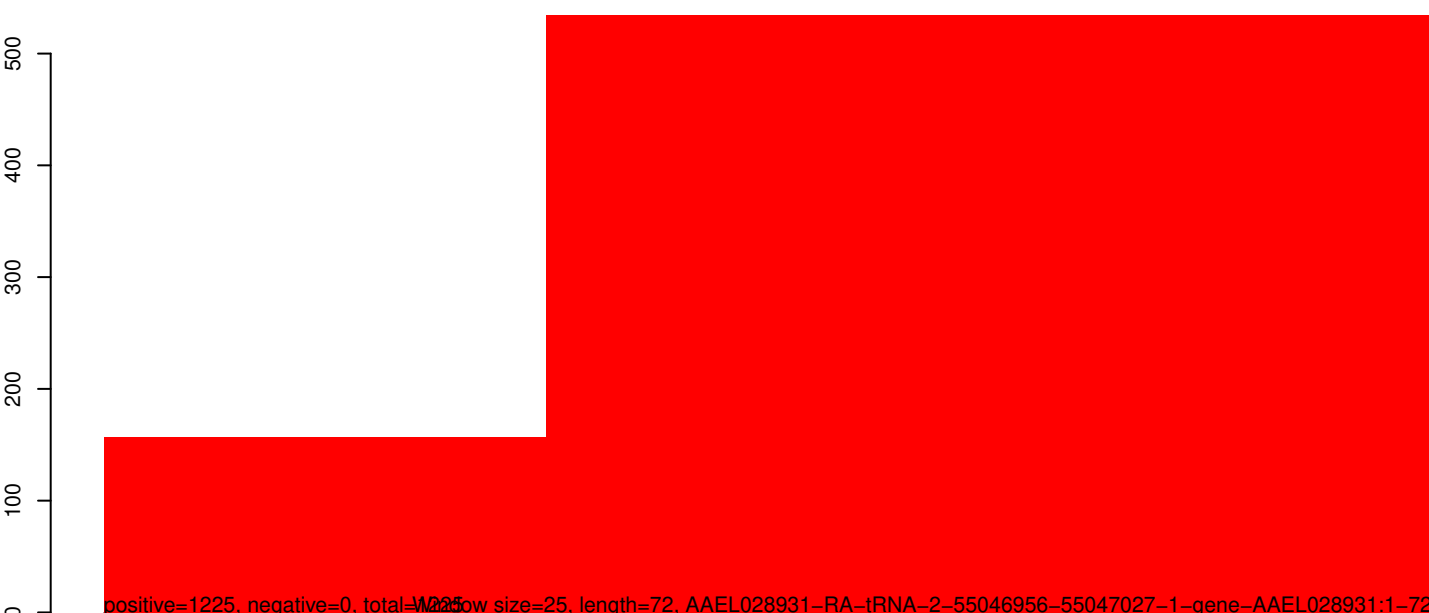
**AeAeg\_Whole\_ZIKVdr\_BM2\_GP.18\_23.rep**



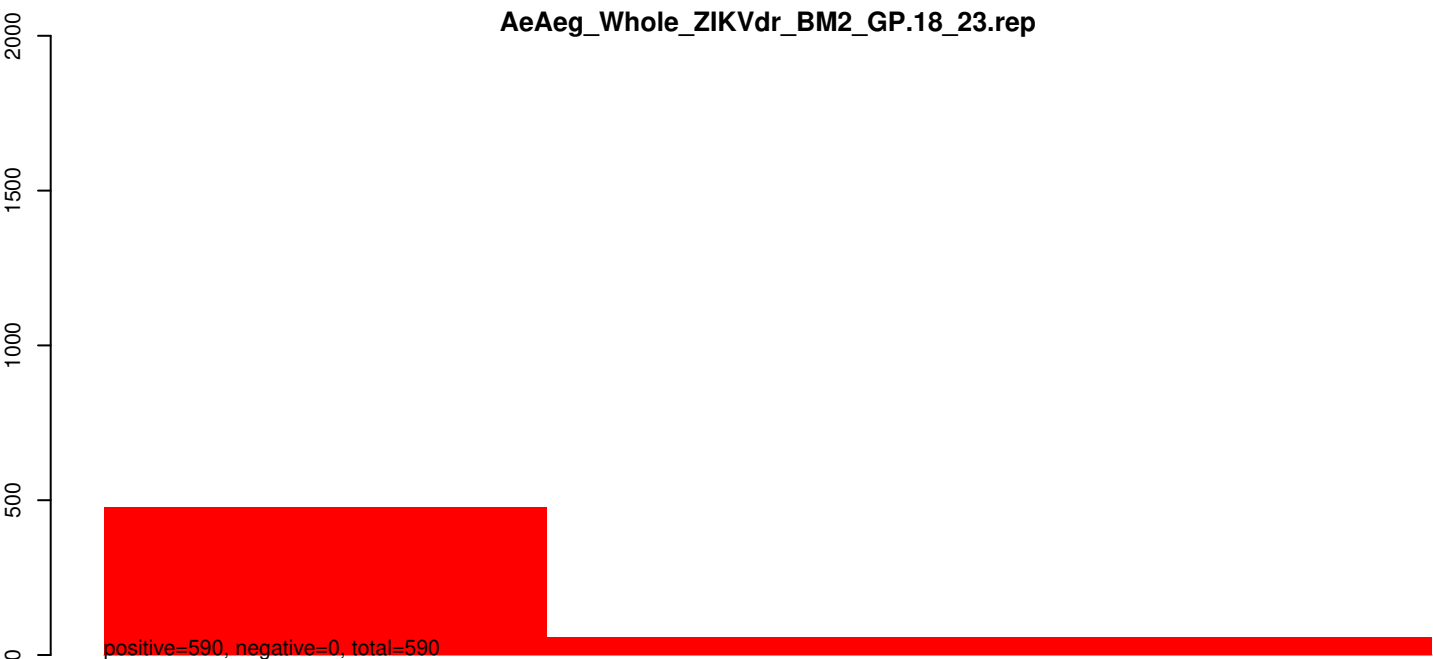
**AeAeg\_Whole\_ZIKVdr\_BM2\_GP.24\_35.rep**



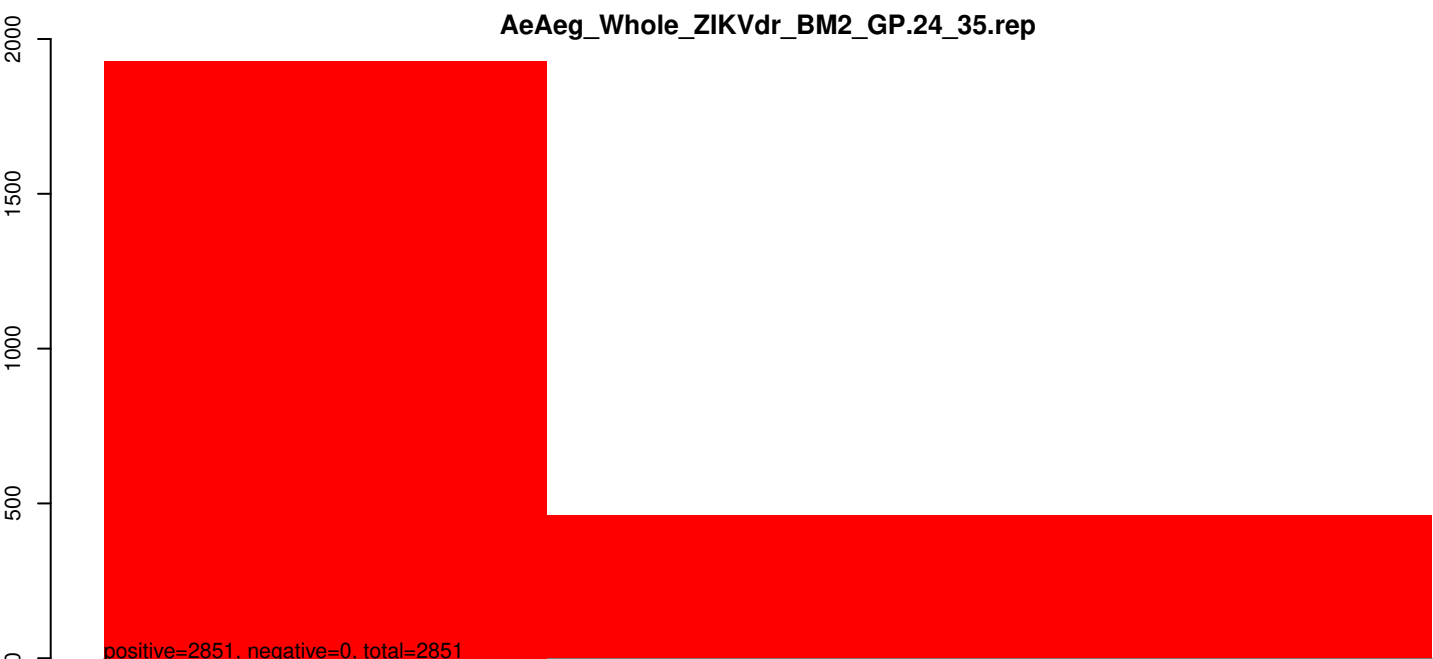
**AeAeg\_Whole\_ZIKVdr\_BM2\_GP.rep**



AeAeg\_Whole\_ZIKVdr\_BM2\_GP.18\_23.rep



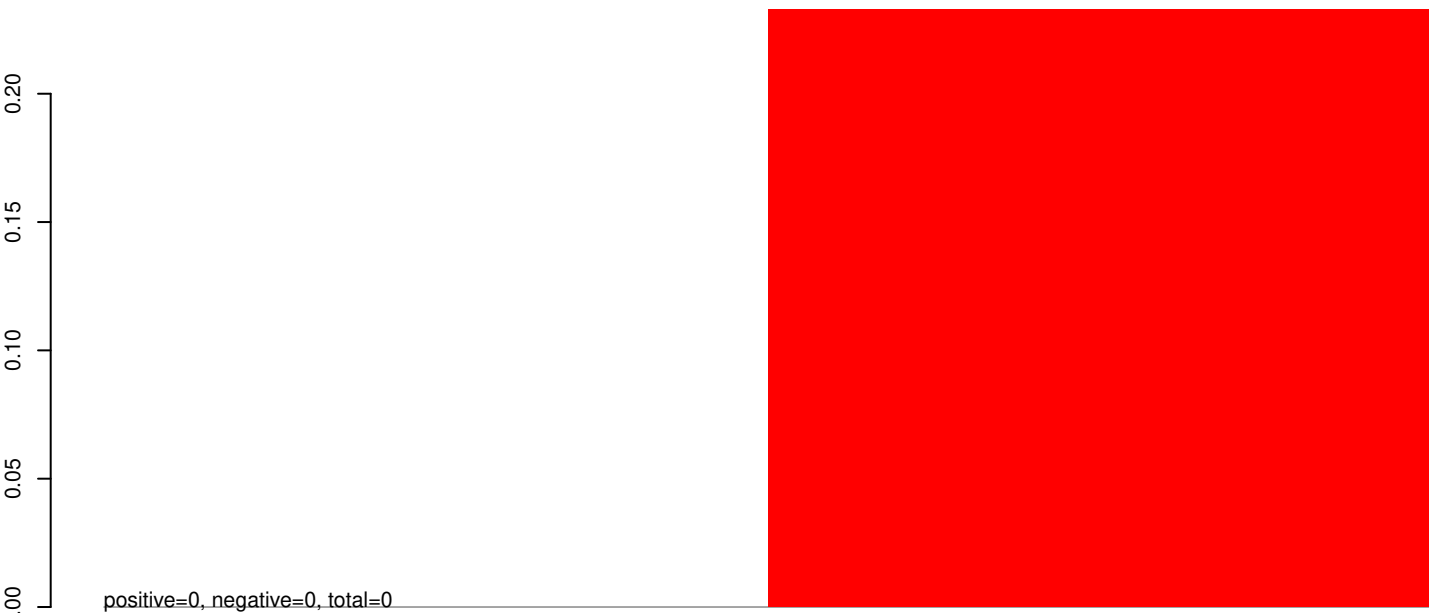
AeAeg\_Whole\_ZIKVdr\_BM2\_GP.24\_35.rep



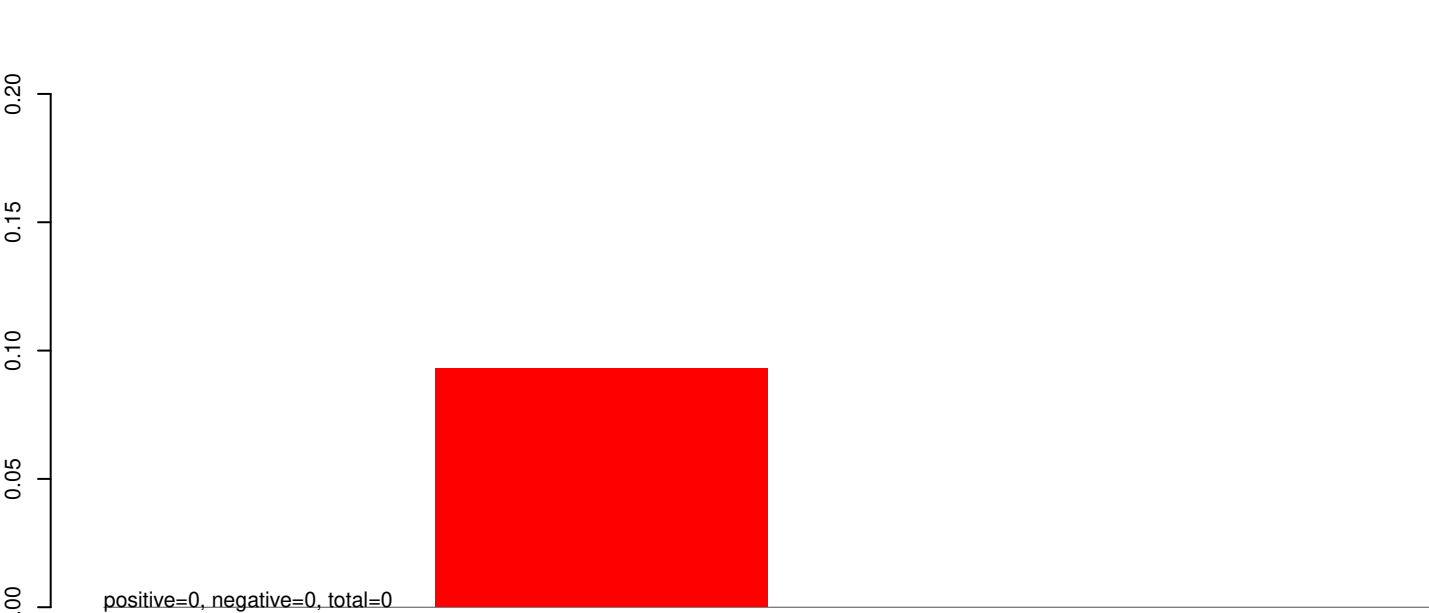
AeAeg\_Whole\_ZIKVdr\_BM2\_GP.rep



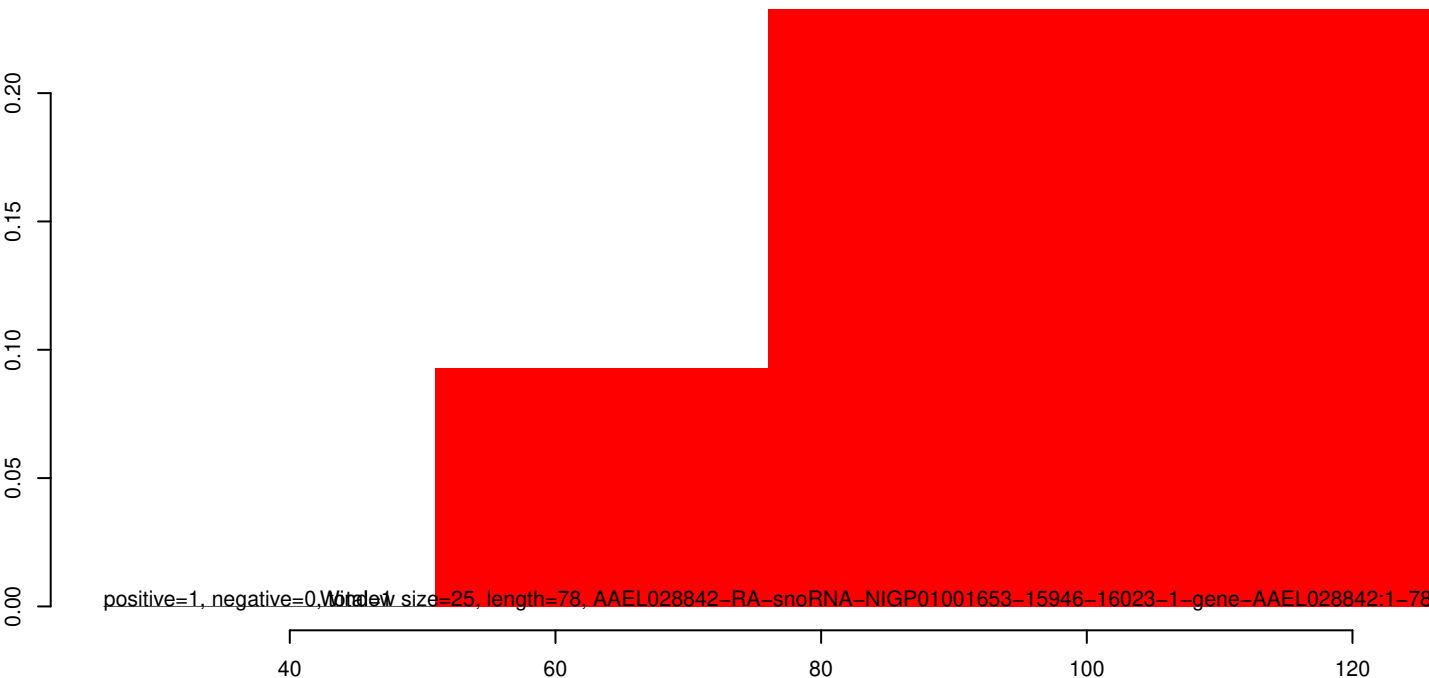
**AeAeg\_Whole\_ZIKVdr\_BM2\_GP.18\_23.rep**



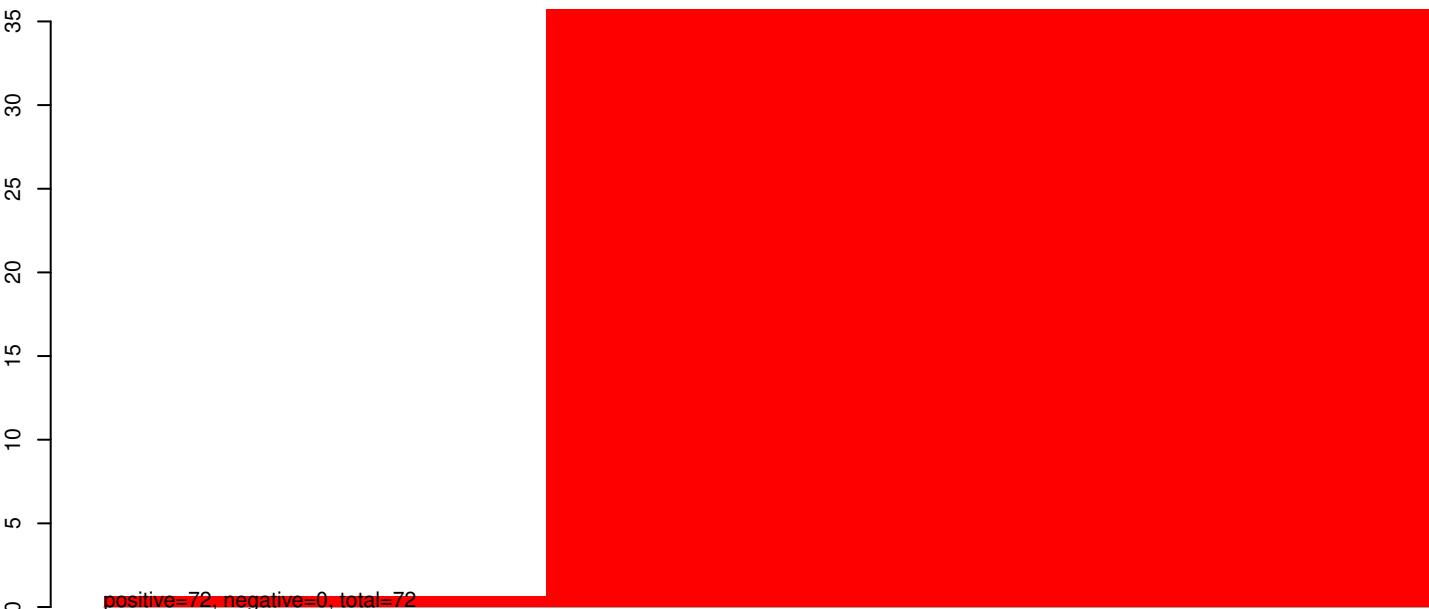
**AeAeg\_Whole\_ZIKVdr\_BM2\_GP.24\_35.rep**



**AeAeg\_Whole\_ZIKVdr\_BM2\_GP.rep**



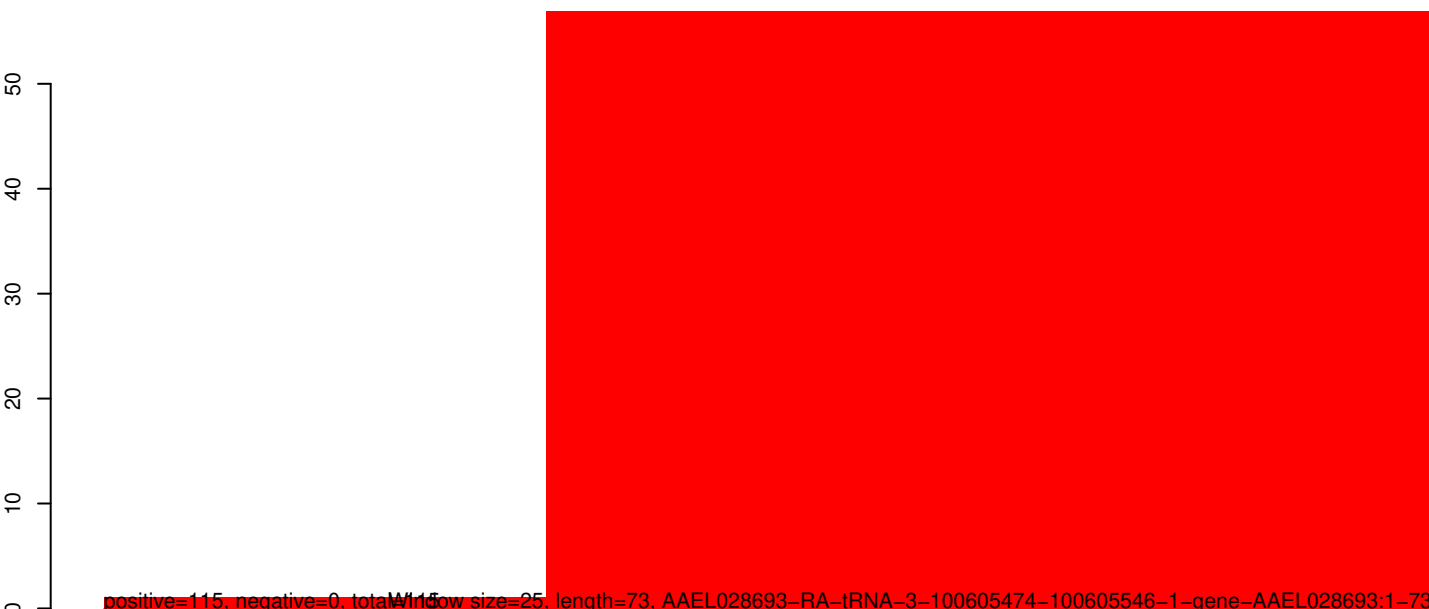
**AeAeg\_Whole\_ZIKVdr\_BM2\_GP.18\_23.rep**



**AeAeg\_Whole\_ZIKVdr\_BM2\_GP.24\_35.rep**



**AeAeg\_Whole\_ZIKVdr\_BM2\_GP.rep**

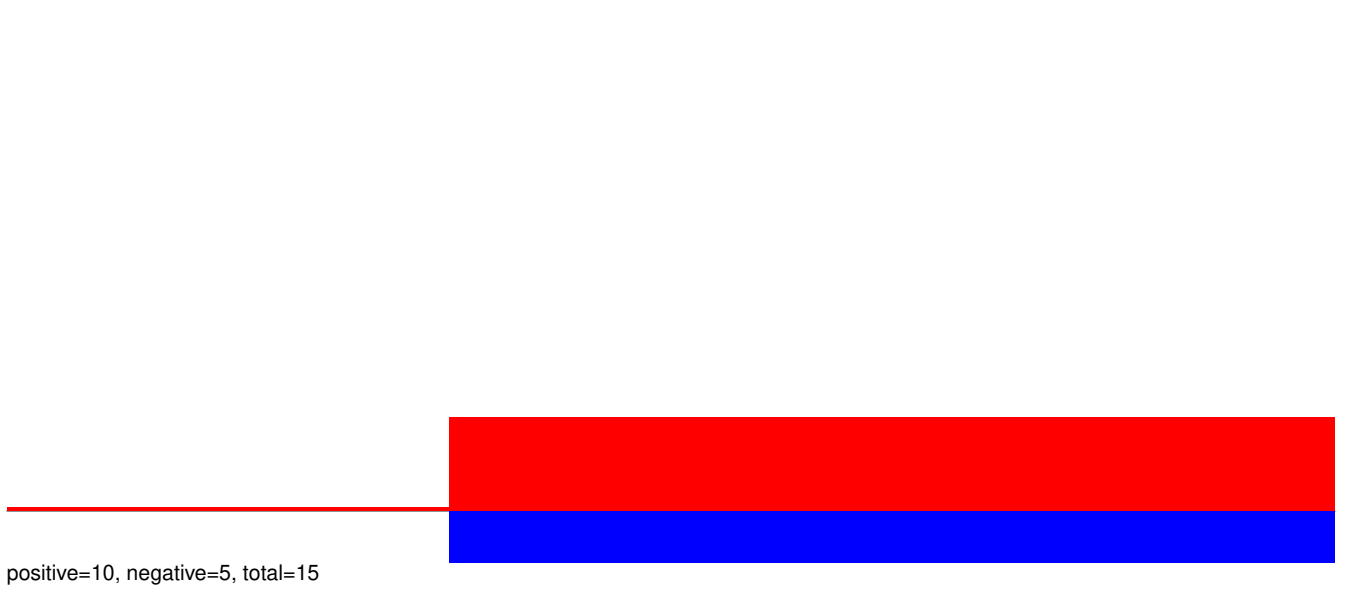


40 60 80 100

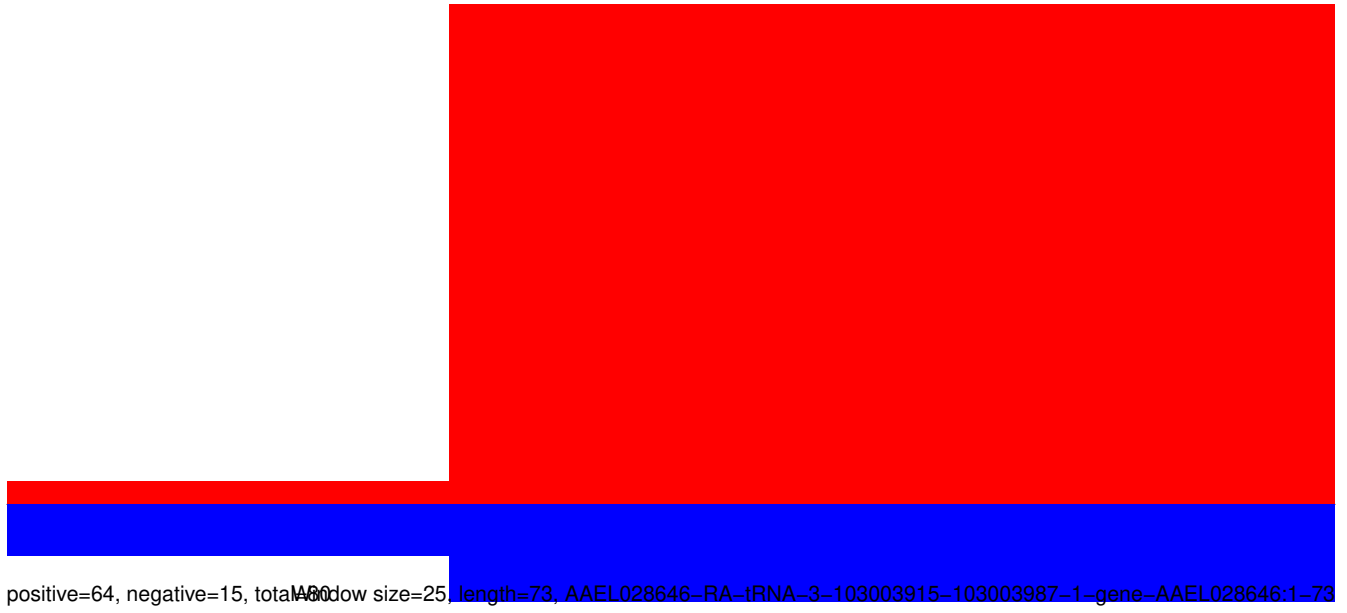
**AeAeg\_Whole\_ZIKVdr\_BM2\_GP.18\_23.rep**



**AeAeg\_Whole\_ZIKVdr\_BM2\_GP.24\_35.rep**



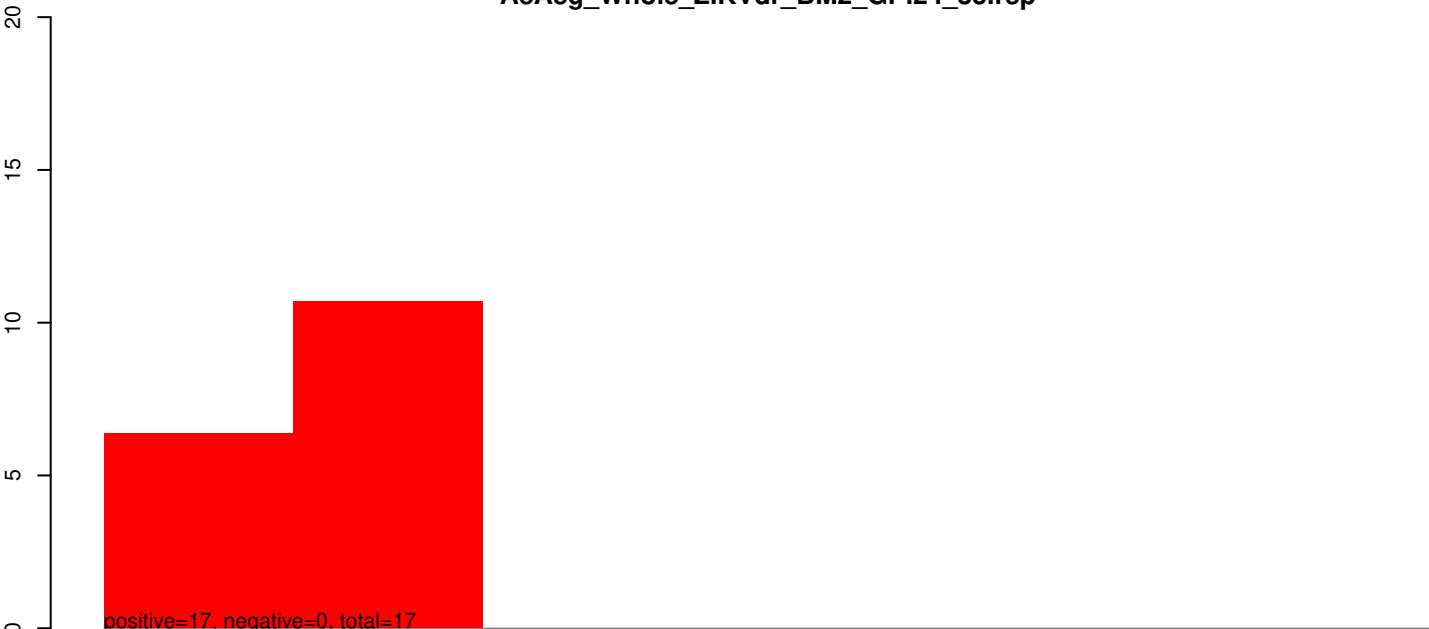
**AeAeg\_Whole\_ZIKVdr\_BM2\_GP.rep**



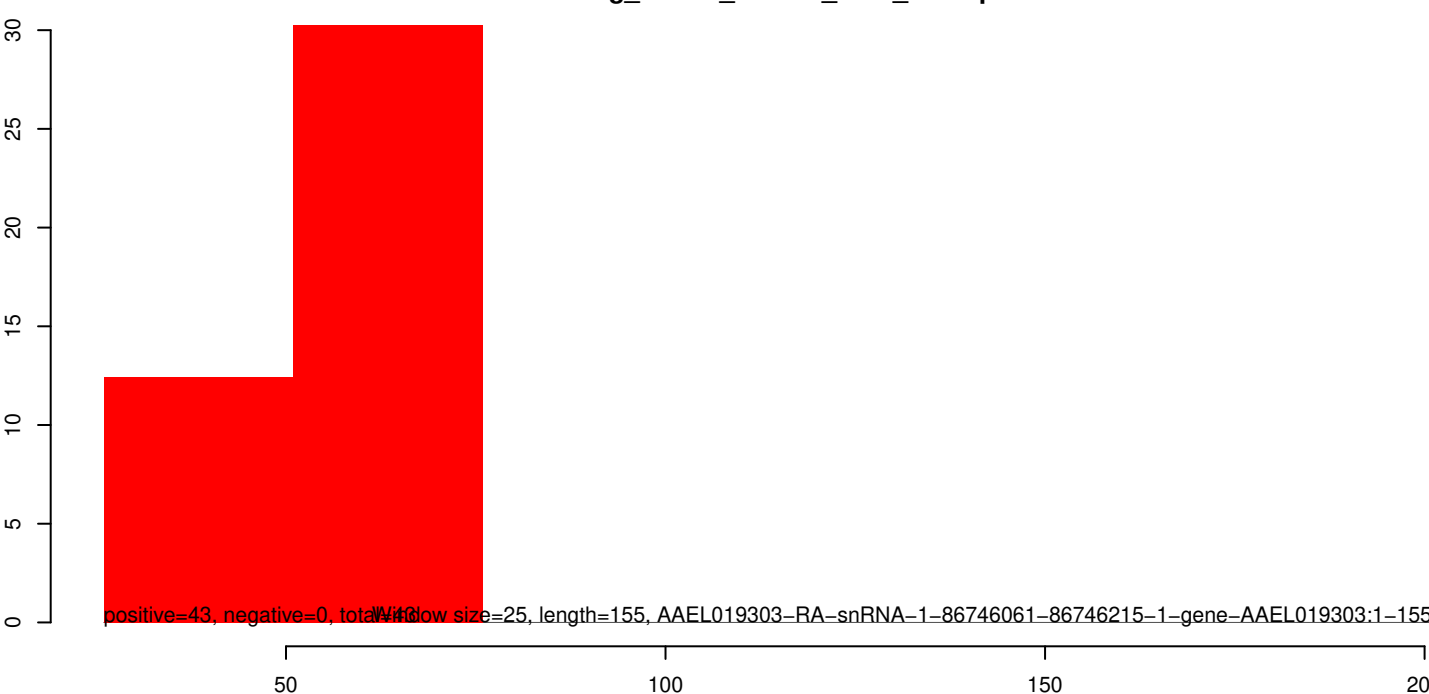
**AeAeg\_Whole\_ZIKVdr\_BM2\_GP.18\_23.rep**

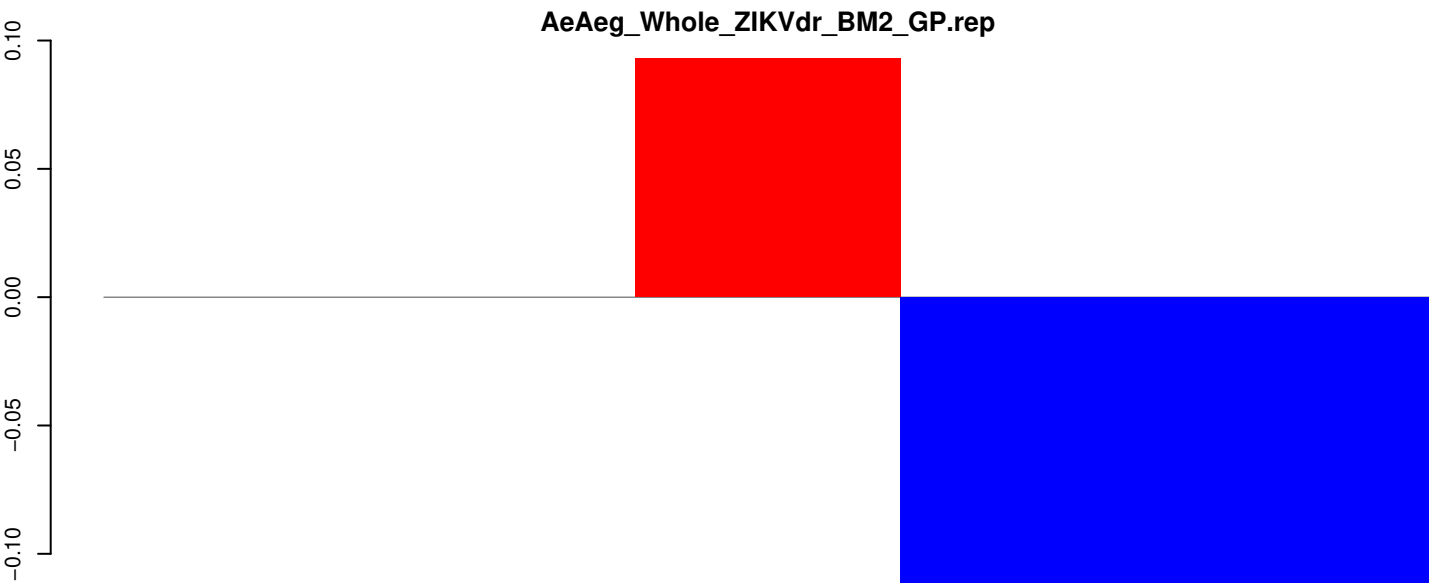
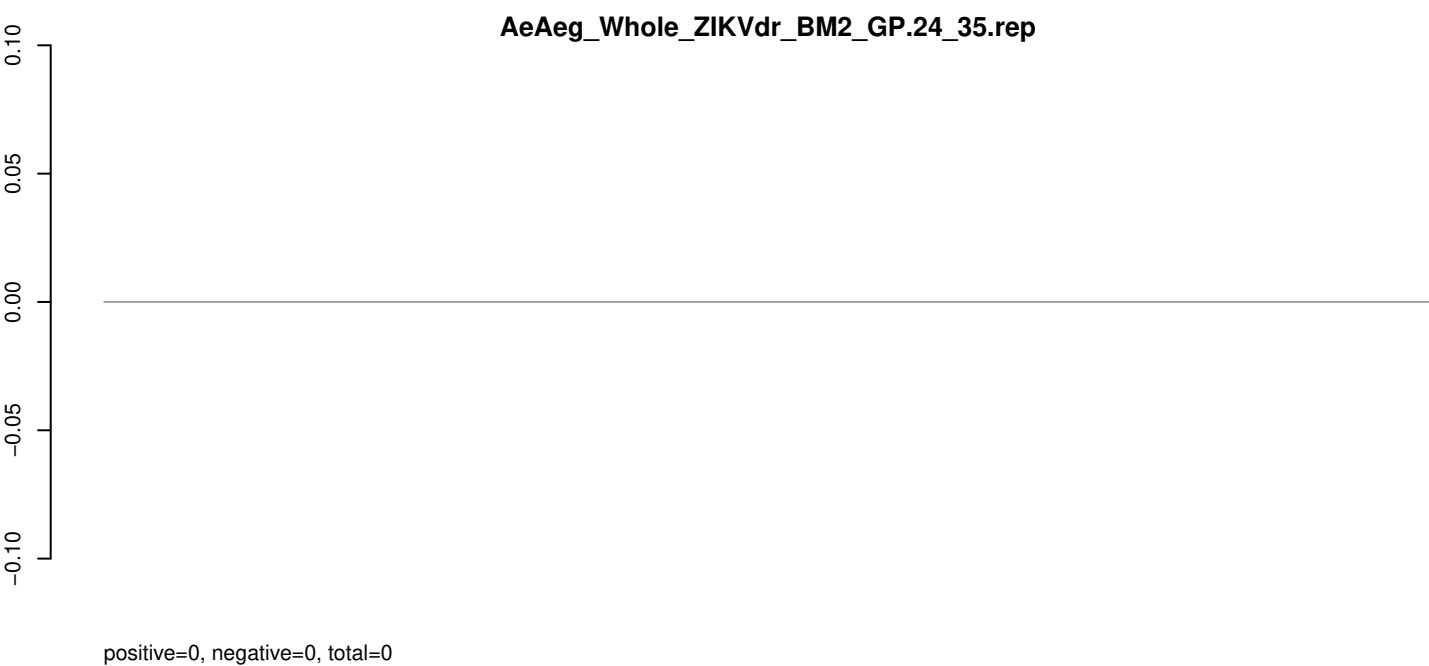


**AeAeg\_Whole\_ZIKVdr\_BM2\_GP.24\_35.rep**



**AeAeg\_Whole\_ZIKVdr\_BM2\_GP.rep**

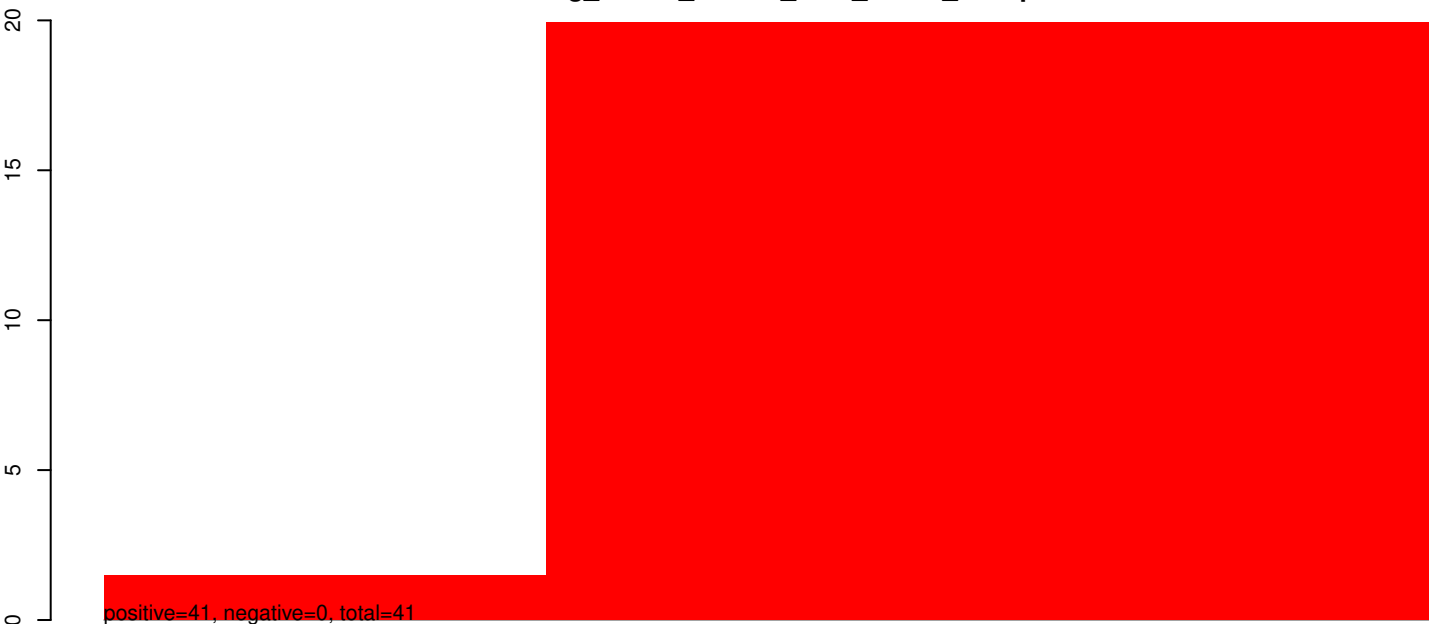




positive=0, negative=0, total=0

40 60 80 100 120 140

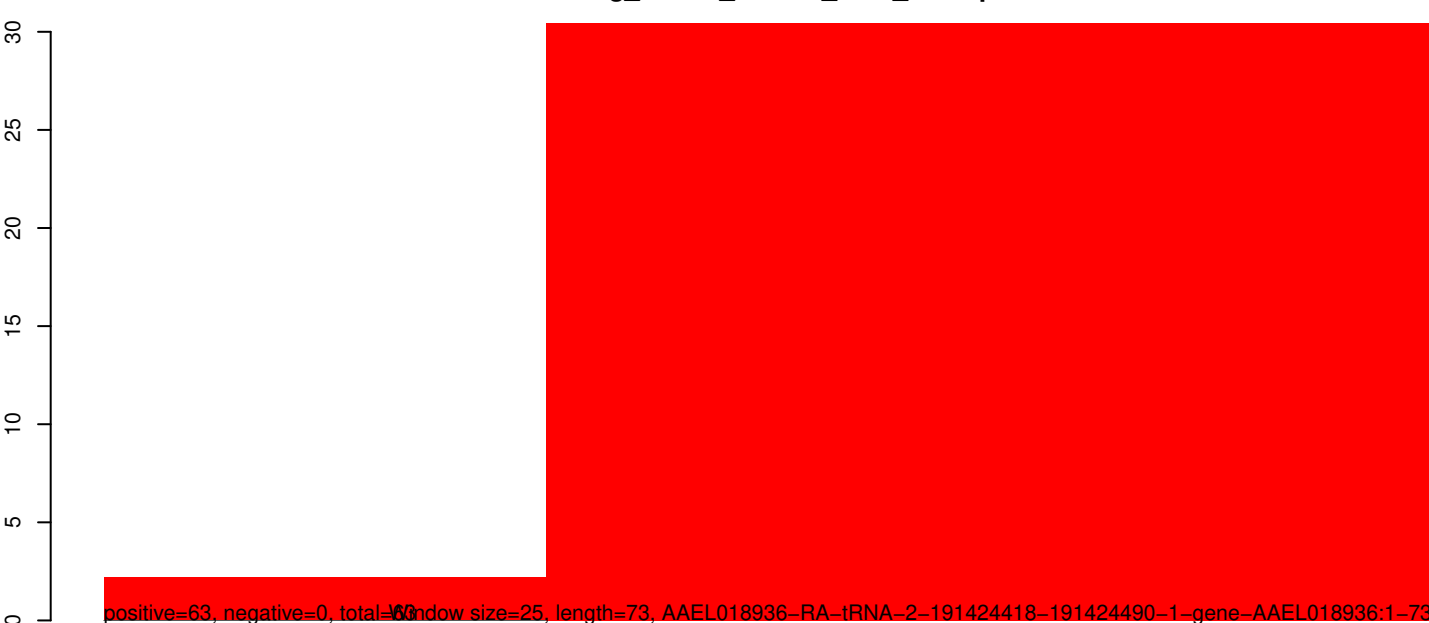
**AeAeg\_Whole\_ZIKVdr\_BM2\_GP.18\_23.rep**



**AeAeg\_Whole\_ZIKVdr\_BM2\_GP.24\_35.rep**



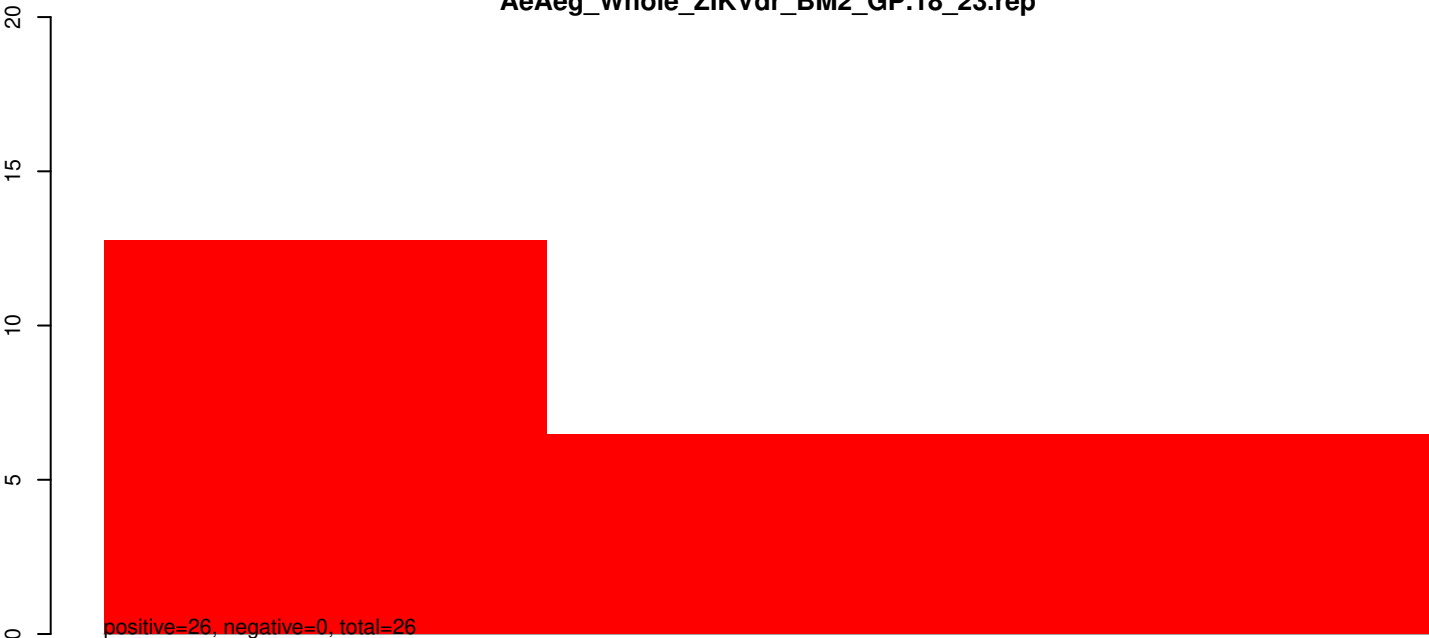
**AeAeg\_Whole\_ZIKVdr\_BM2\_GP.rep**



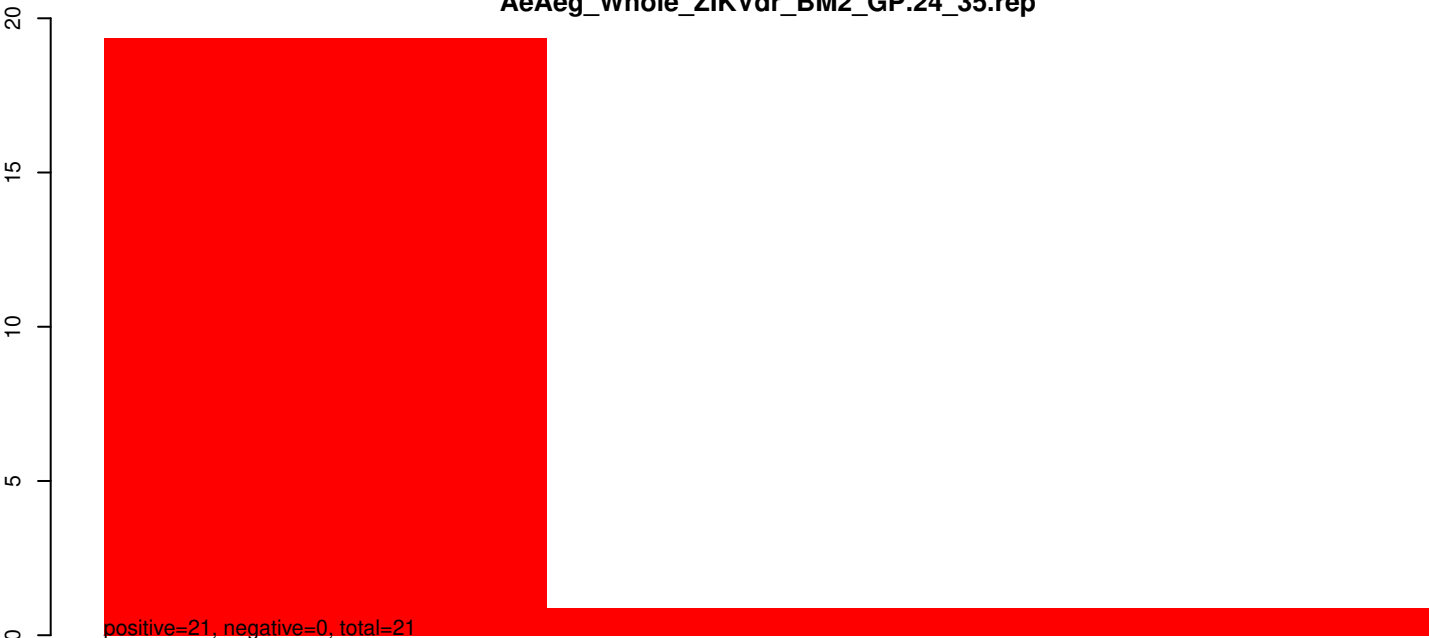
40 60 80 100  
Window size=25, length=73, AAEL018936-RA-tRNA-2-191424418-191424490-1-gene-AAEL018936:1-73



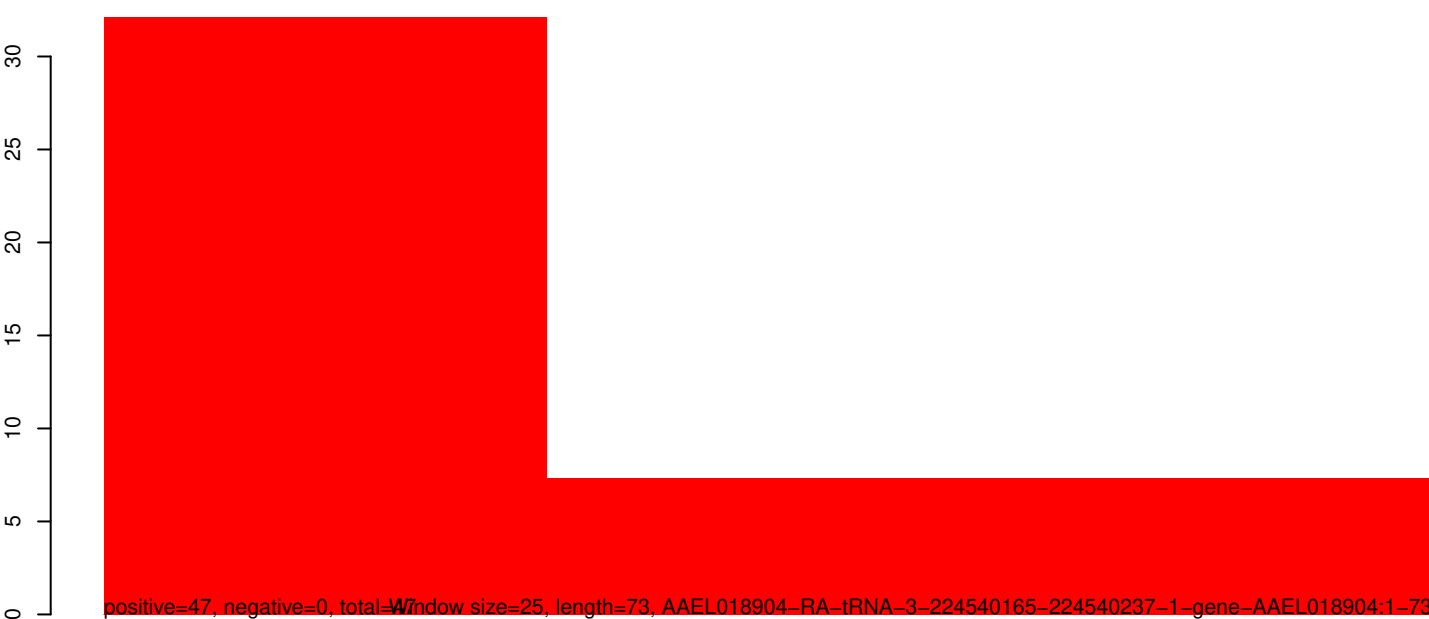
AeAeg\_Whole\_ZIKVdr\_BM2\_GP.18\_23.rep



AeAeg\_Whole\_ZIKVdr\_BM2\_GP.24\_35.rep



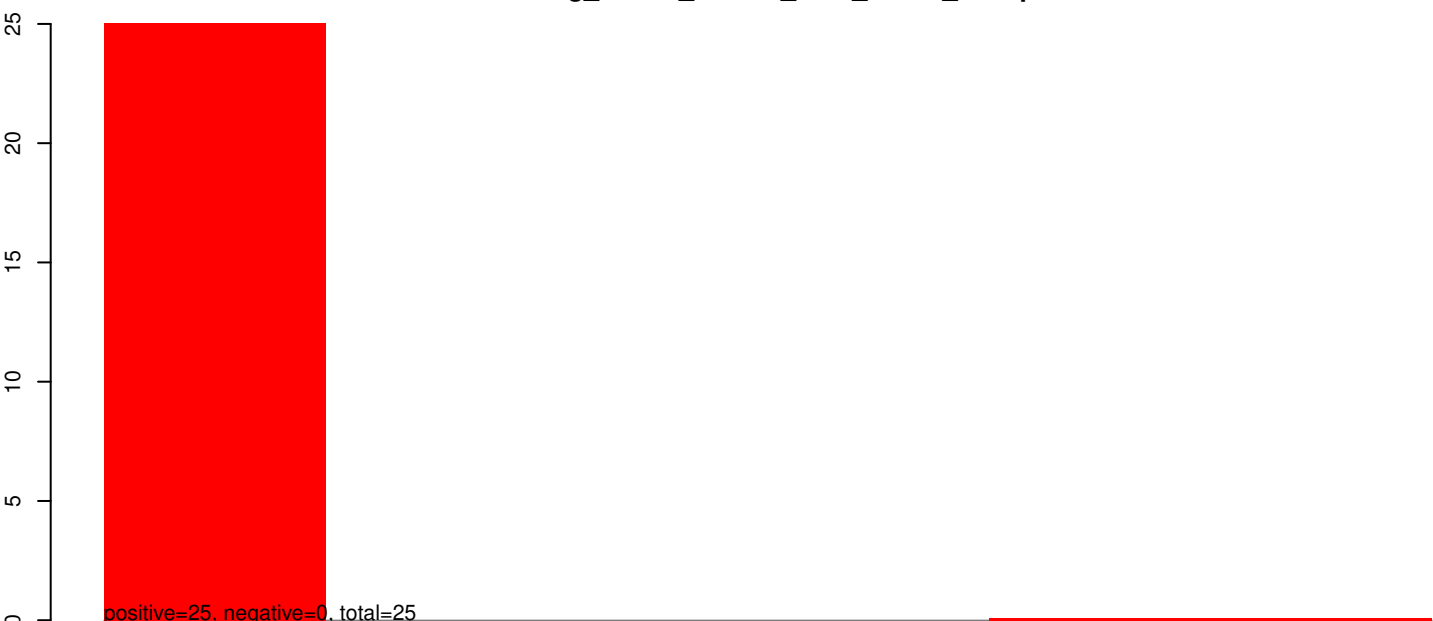
AeAeg\_Whole\_ZIKVdr\_BM2\_GP.rep



AeAeg\_Whole\_ZIKVdr\_BM2\_GP.18\_23.rep



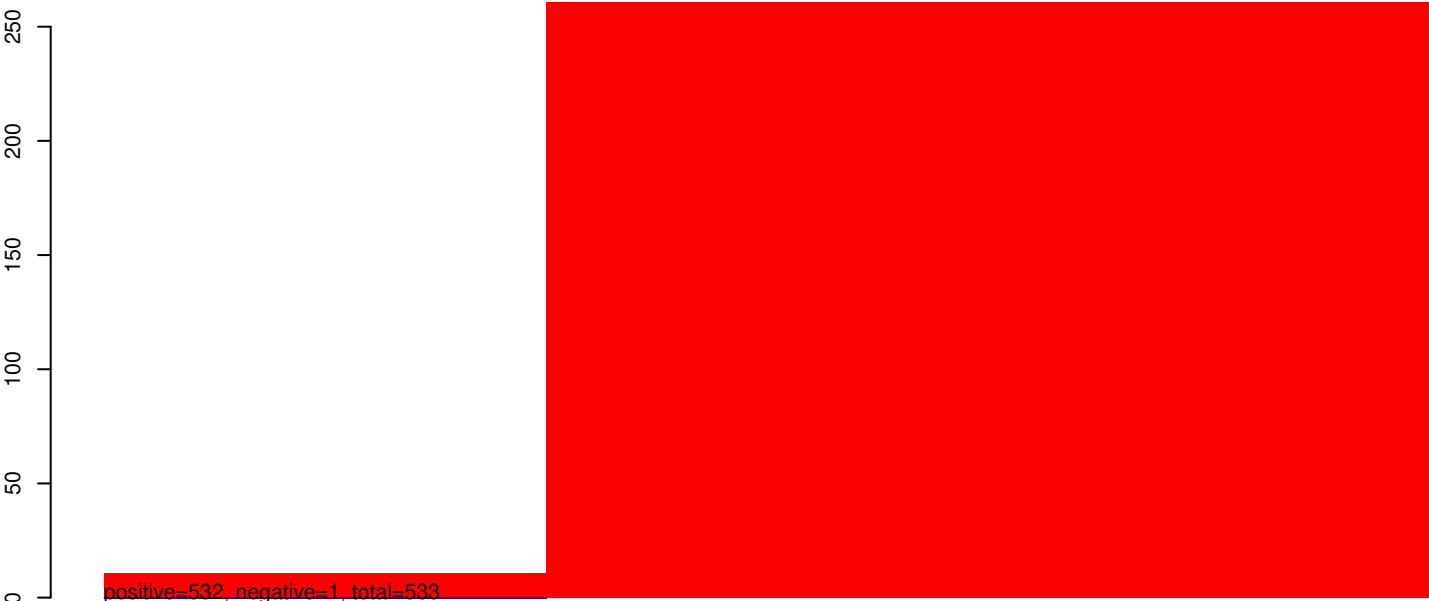
AeAeg\_Whole\_ZIKVdr\_BM2\_GP.24\_35.rep



AeAeg\_Whole\_ZIKVdr\_BM2\_GP.rep



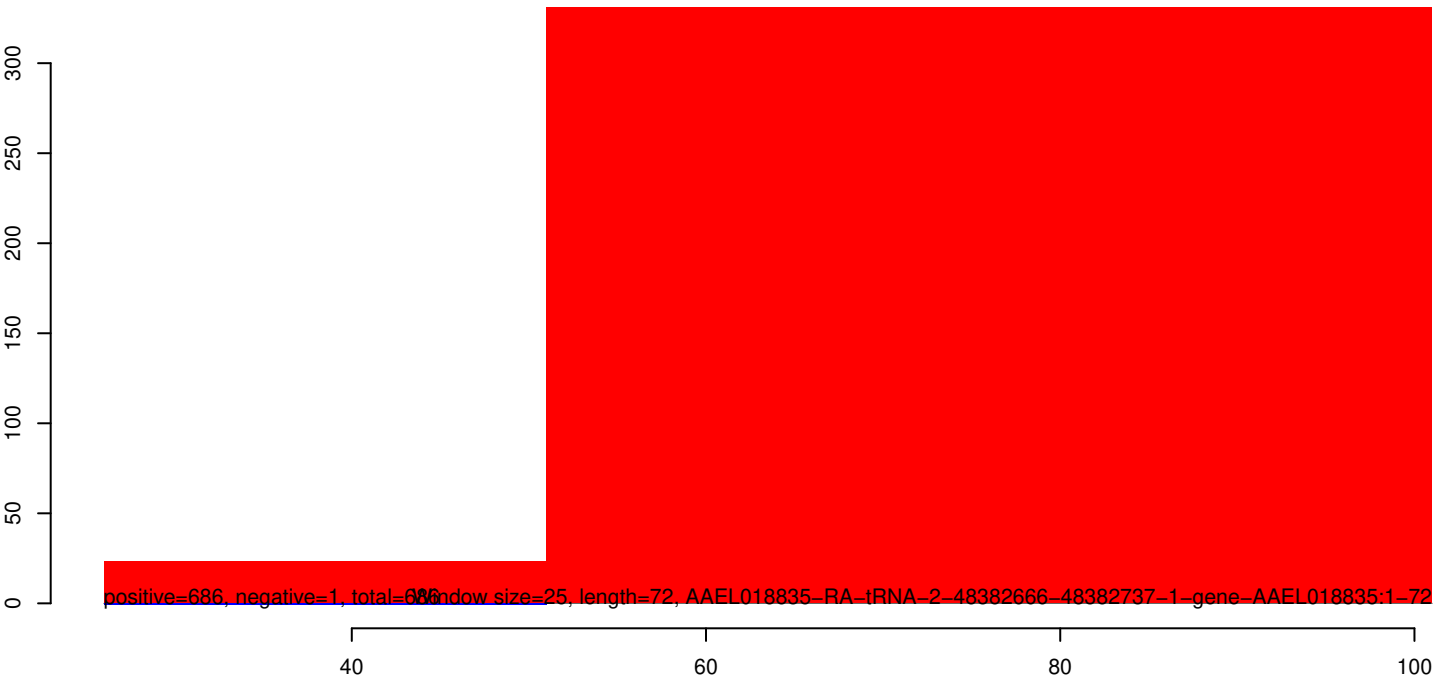
**AeAeg\_Whole\_ZIKVdr\_BM2\_GP.18\_23.rep**



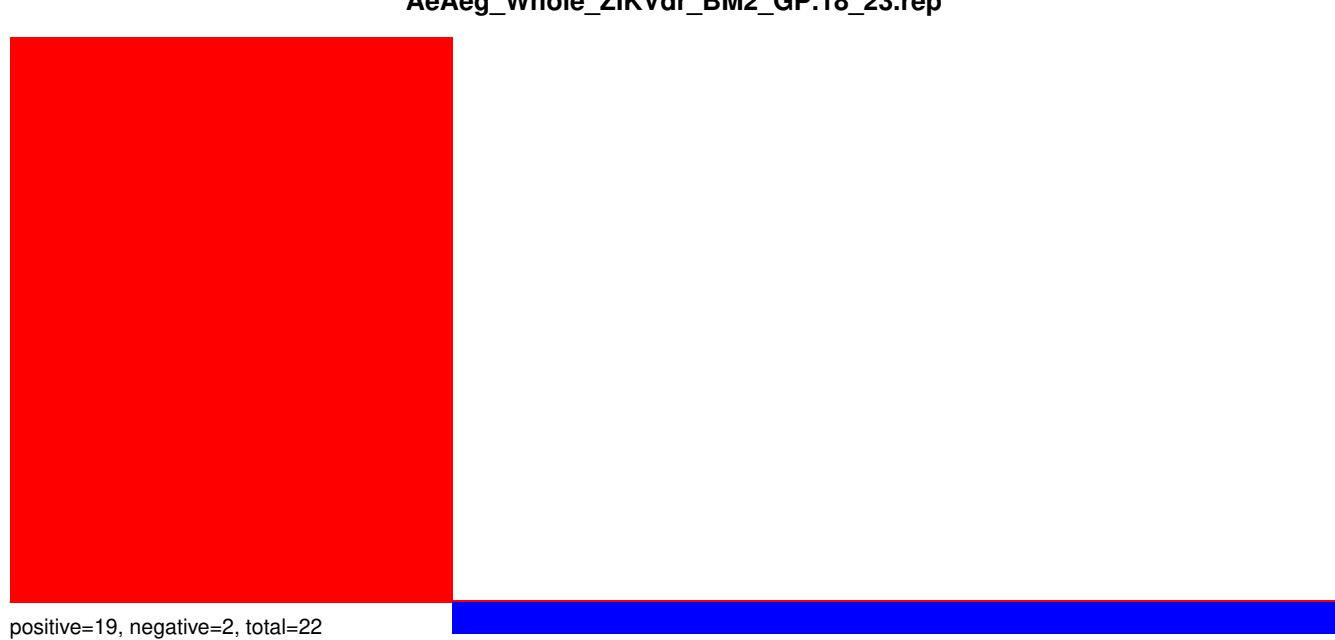
**AeAeg\_Whole\_ZIKVdr\_BM2\_GP.24\_35.rep**



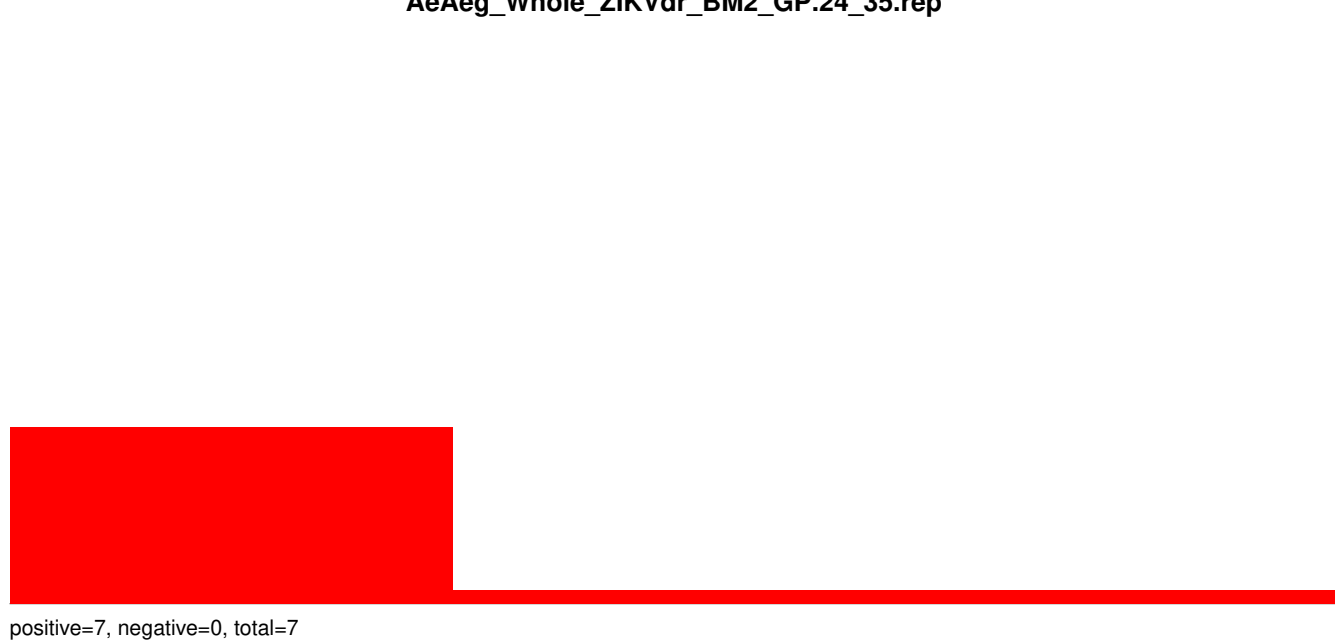
**AeAeg\_Whole\_ZIKVdr\_BM2\_GP.rep**



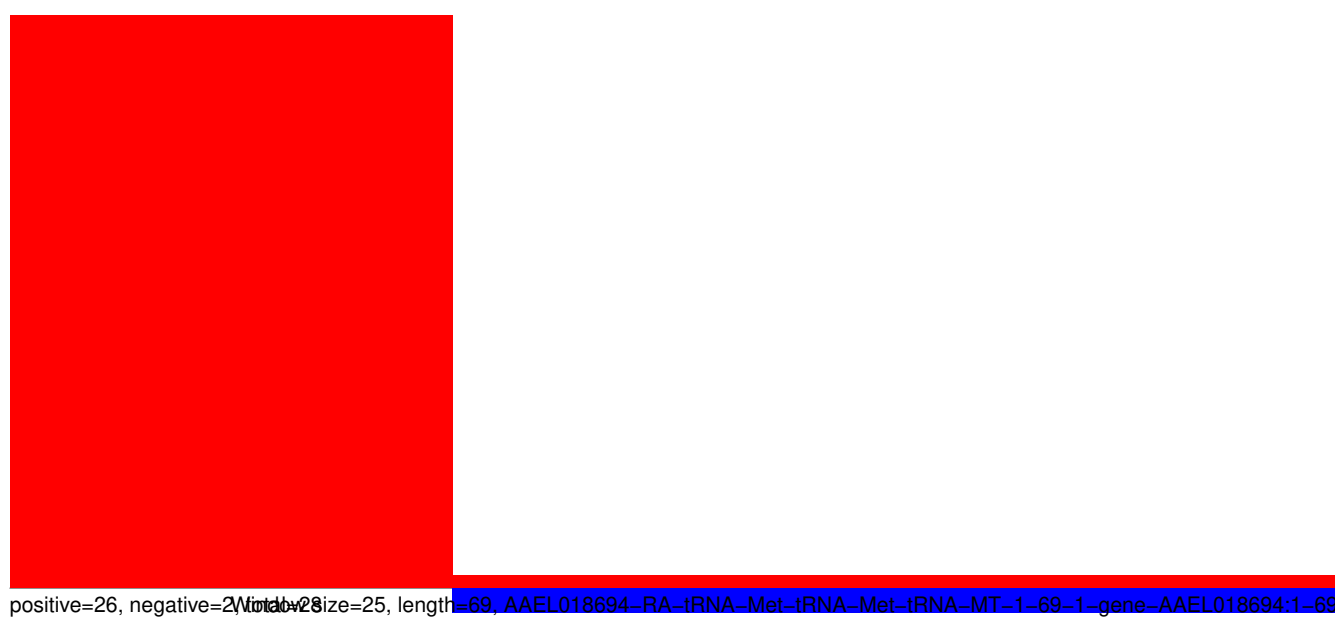
**AeAeg\_Whole\_ZIKVdr\_BM2\_GP.18\_23.rep**



**AeAeg\_Whole\_ZIKVdr\_BM2\_GP.24\_35.rep**



**AeAeg\_Whole\_ZIKVdr\_BM2\_GP.rep**



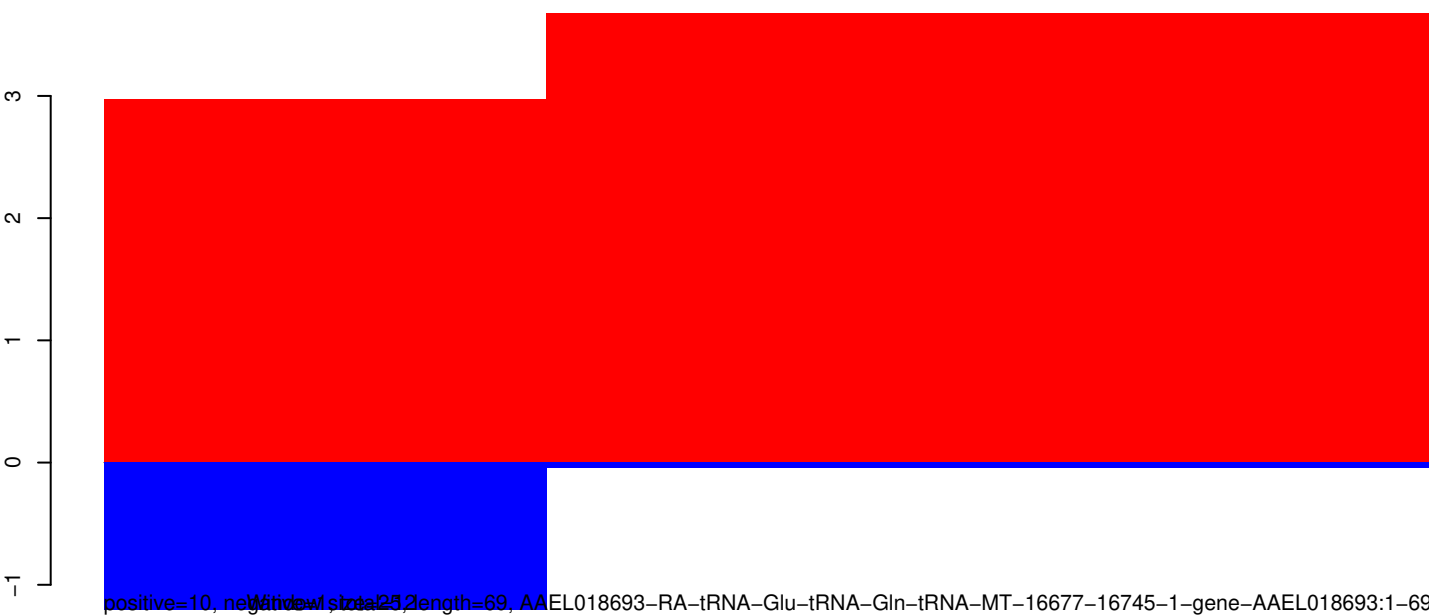
**AeAeg\_Whole\_ZIKVdr\_BM2\_GP.18\_23.rep**



**AeAeg\_Whole\_ZIKVdr\_BM2\_GP.24\_35.rep**



**AeAeg\_Whole\_ZIKVdr\_BM2\_GP.rep**



Window size=25, length=69, AAEL018693-RA-tRNA-Glu-tRNA-Gln-tRNA-MT-16677-16745-1-gene-AAEL018693:1-69

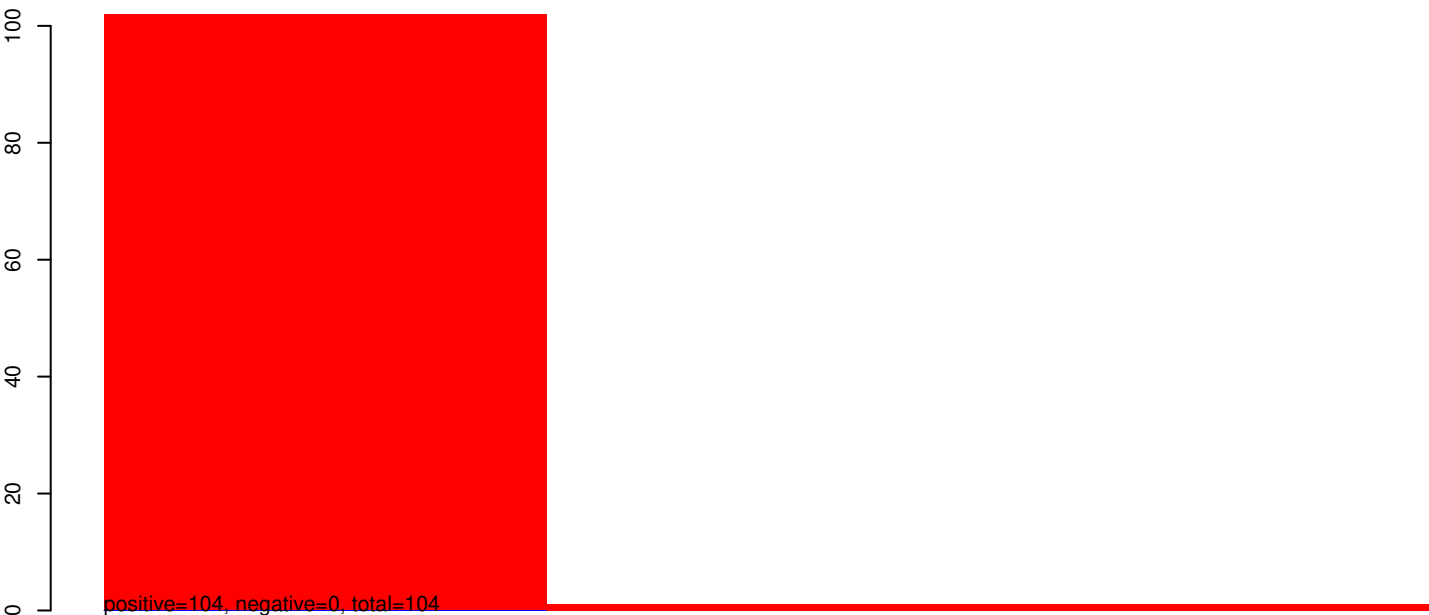
40

60

80

100

AeAeg\_Whole\_ZIKVdr\_BM2\_GP.18\_23.rep



AeAeg\_Whole\_ZIKVdr\_BM2\_GP.24\_35.rep



AeAeg\_Whole\_ZIKVdr\_BM2\_GP.rep

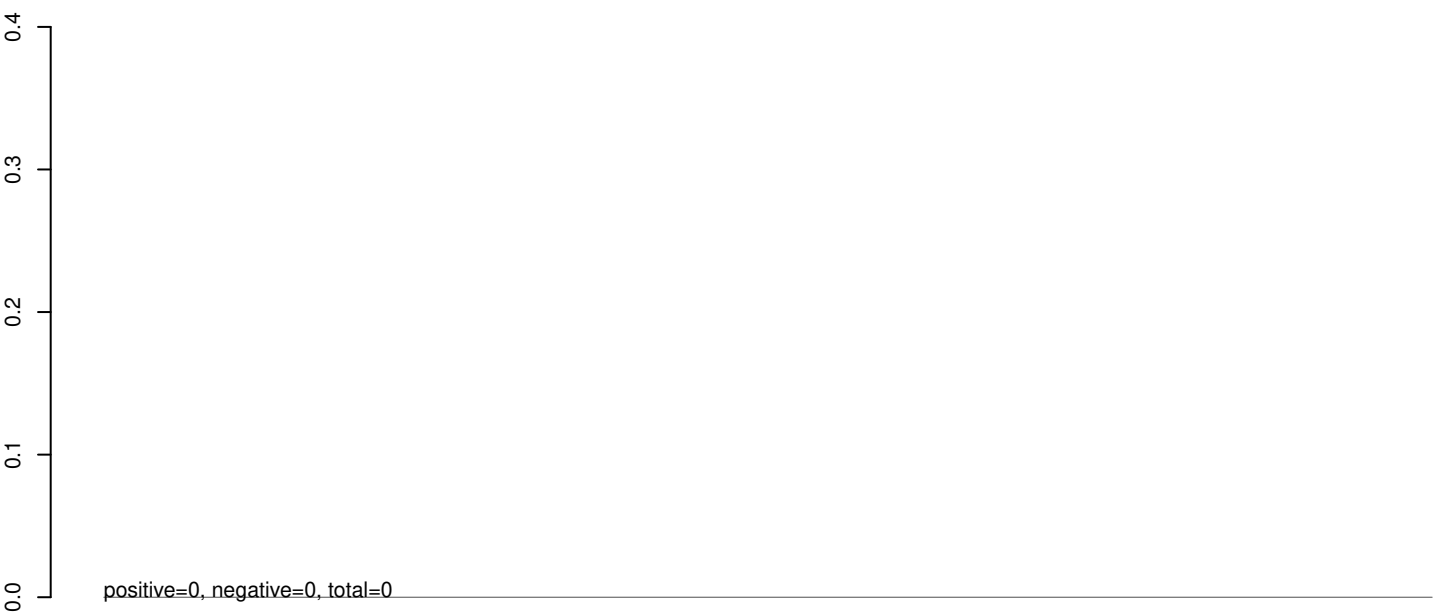


40 60 80 100

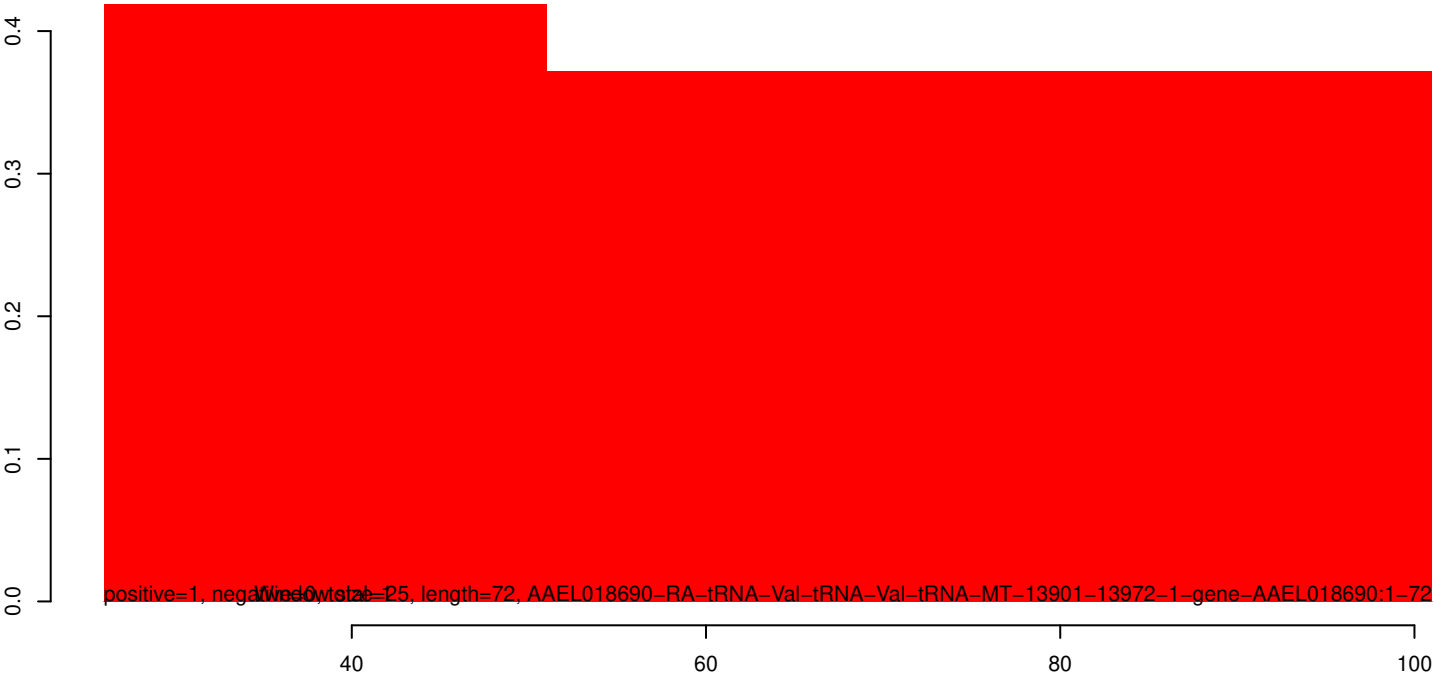
**AeAeg\_Whole\_ZIKVdr\_BM2\_GP.18\_23.rep**



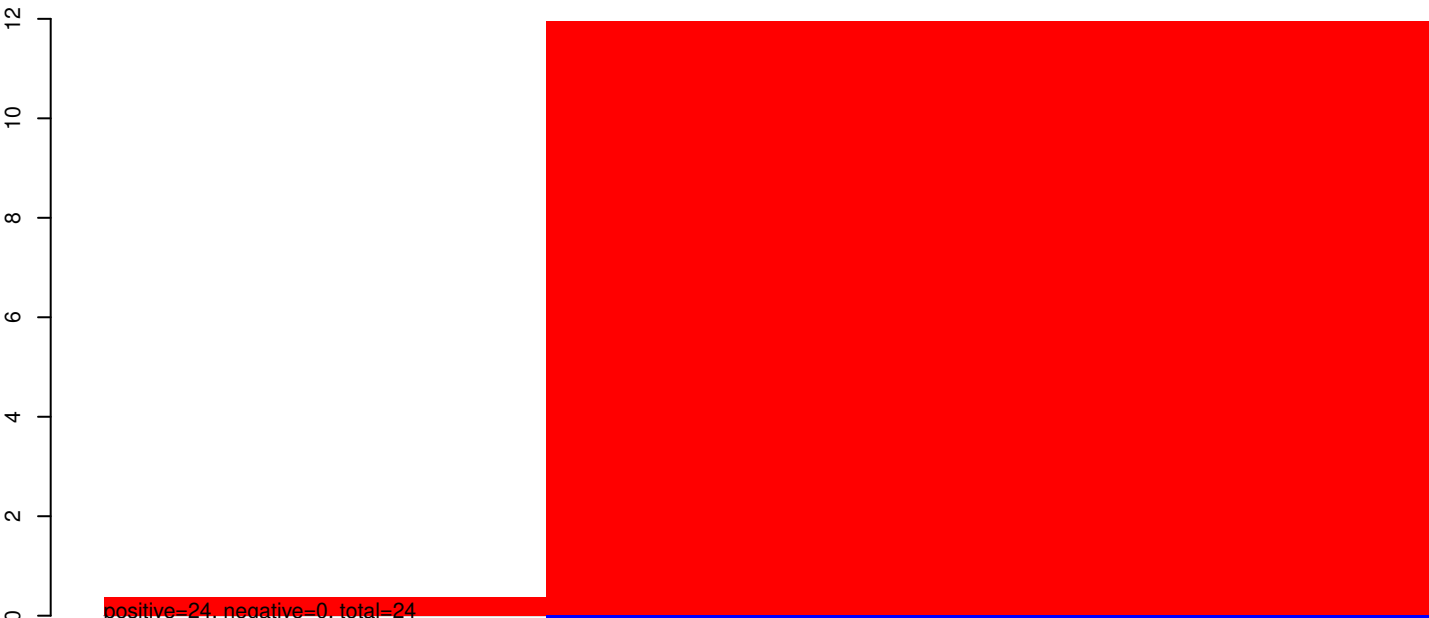
**AeAeg\_Whole\_ZIKVdr\_BM2\_GP.24\_35.rep**



**AeAeg\_Whole\_ZIKVdr\_BM2\_GP.rep**



AeAeg\_Whole\_ZIKVdr\_BM2\_GP.18\_23.rep



AeAeg\_Whole\_ZIKVdr\_BM2\_GP.24\_35.rep



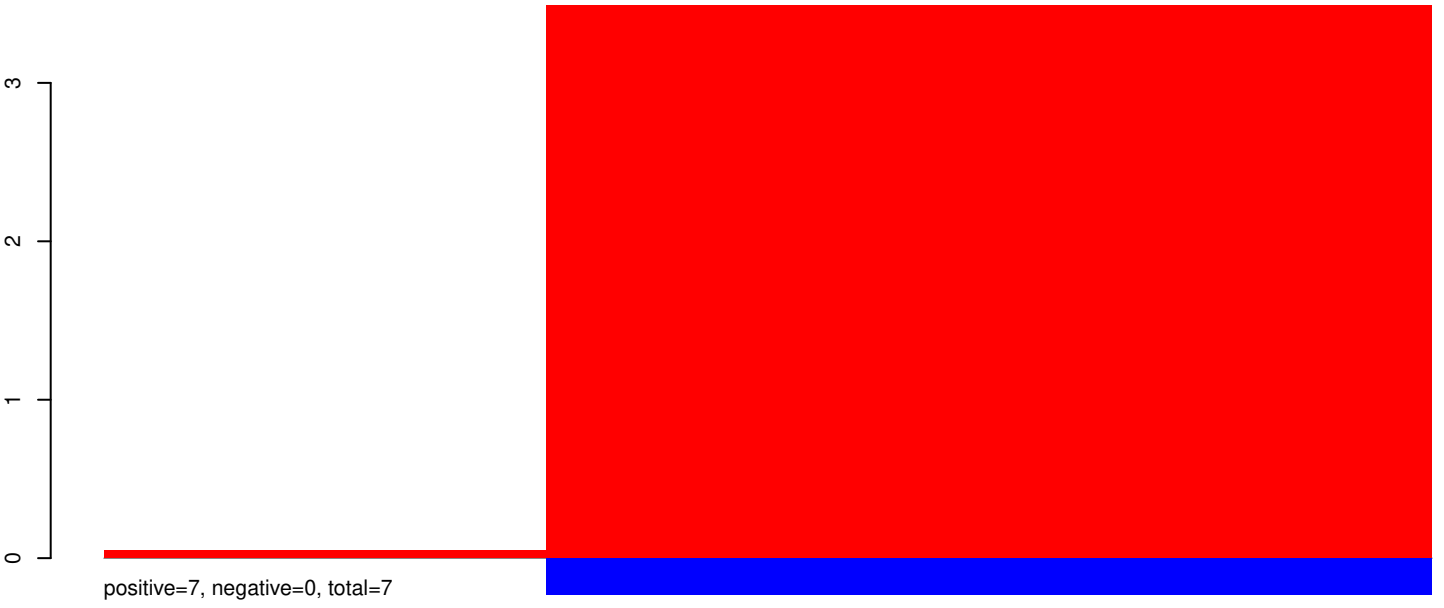
AeAeg\_Whole\_ZIKVdr\_BM2\_GP.rep



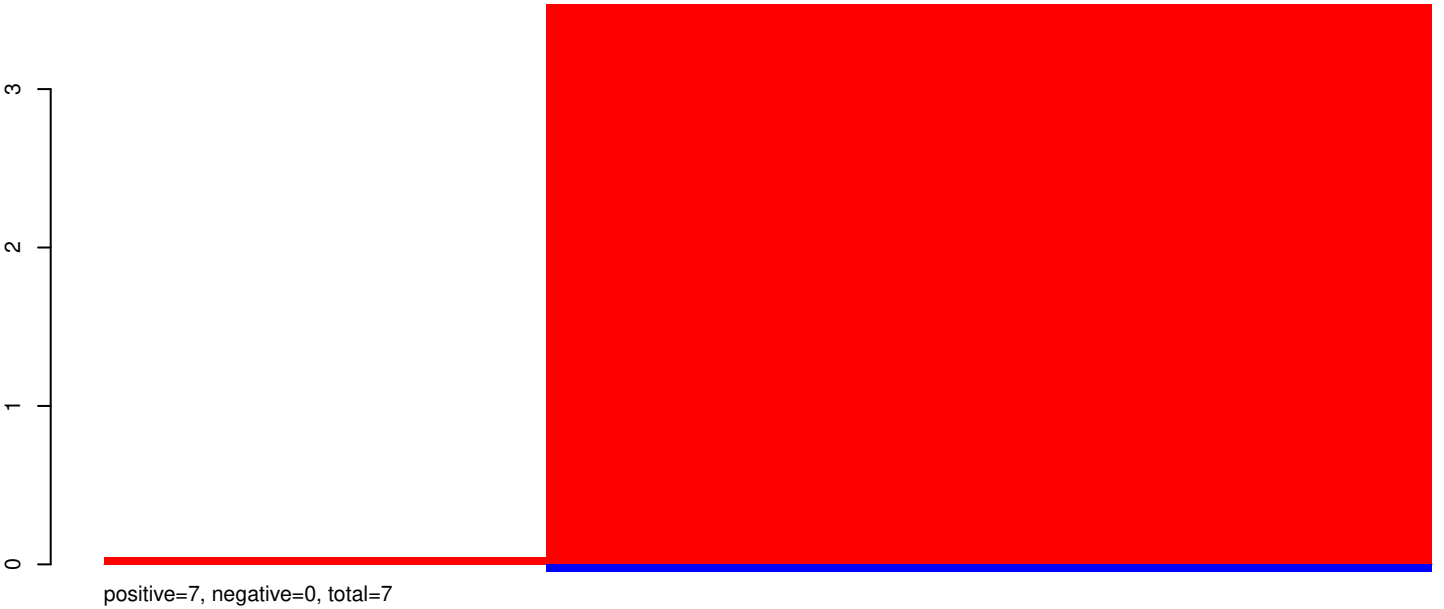
40 60 80 100



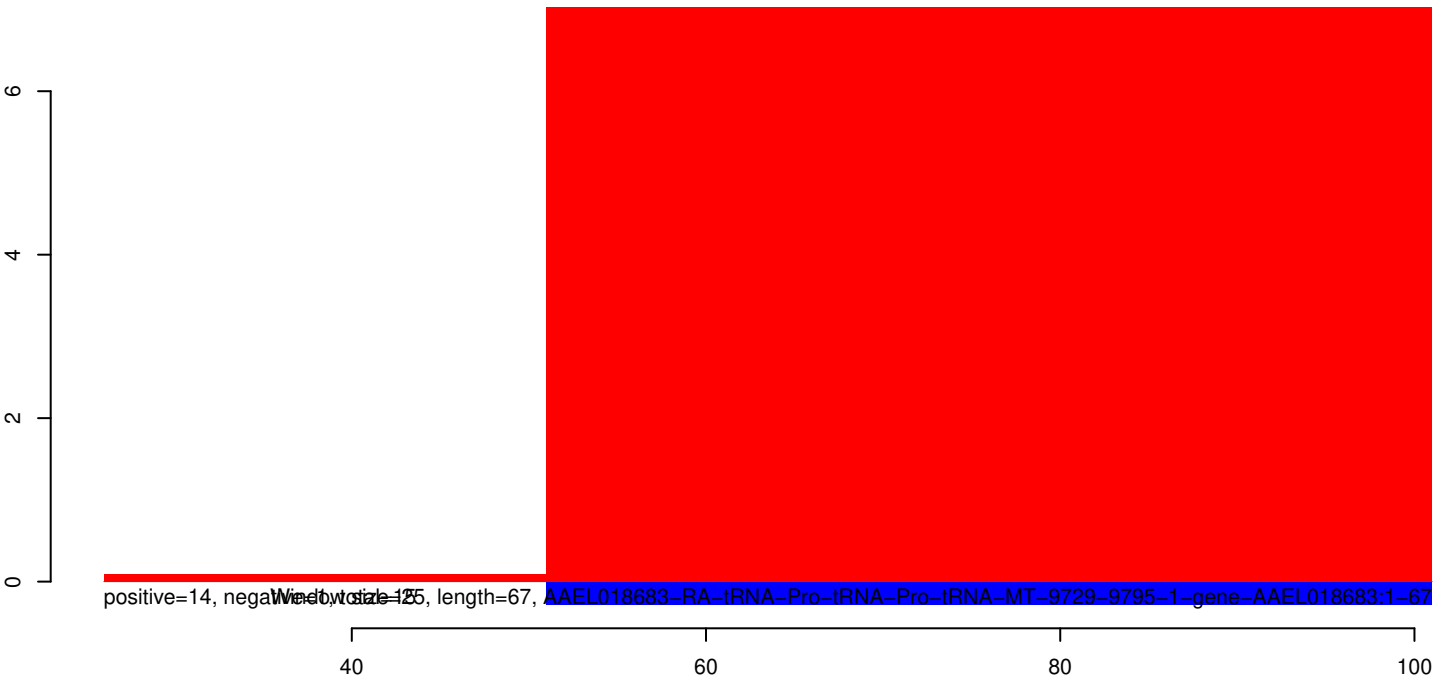
**AeAeg\_Whole\_ZIKVdr\_BM2\_GP.18\_23.rep**



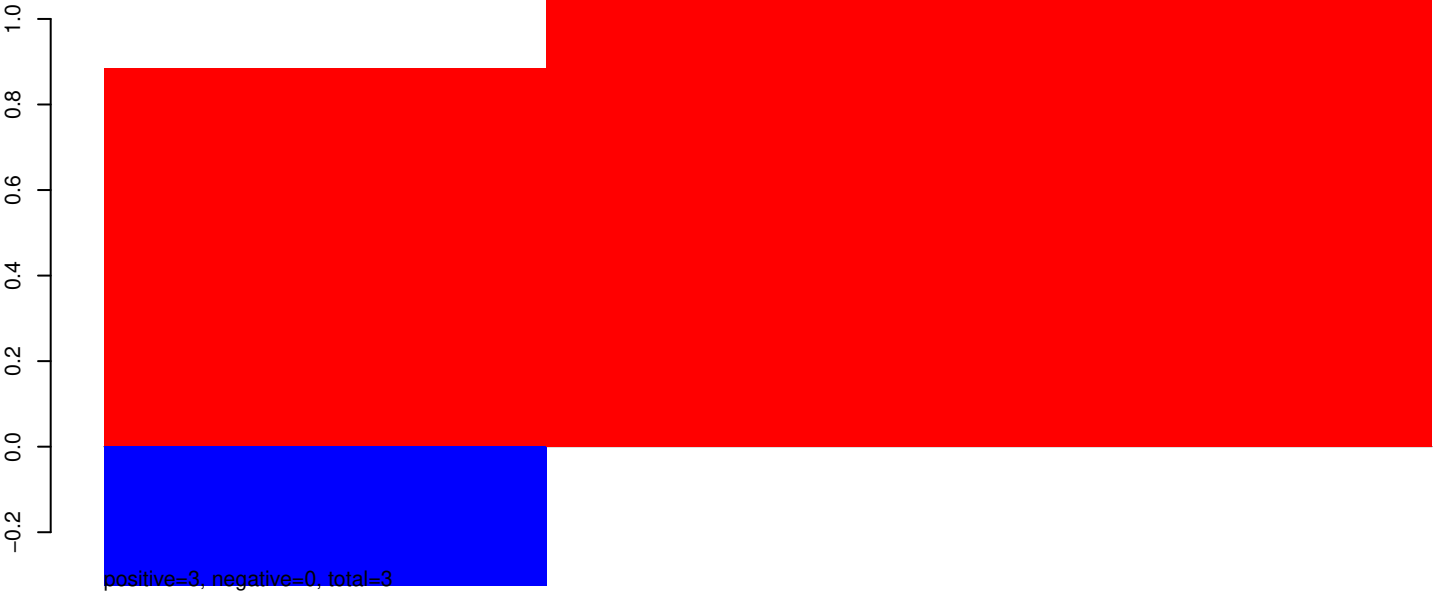
**AeAeg\_Whole\_ZIKVdr\_BM2\_GP.24\_35.rep**



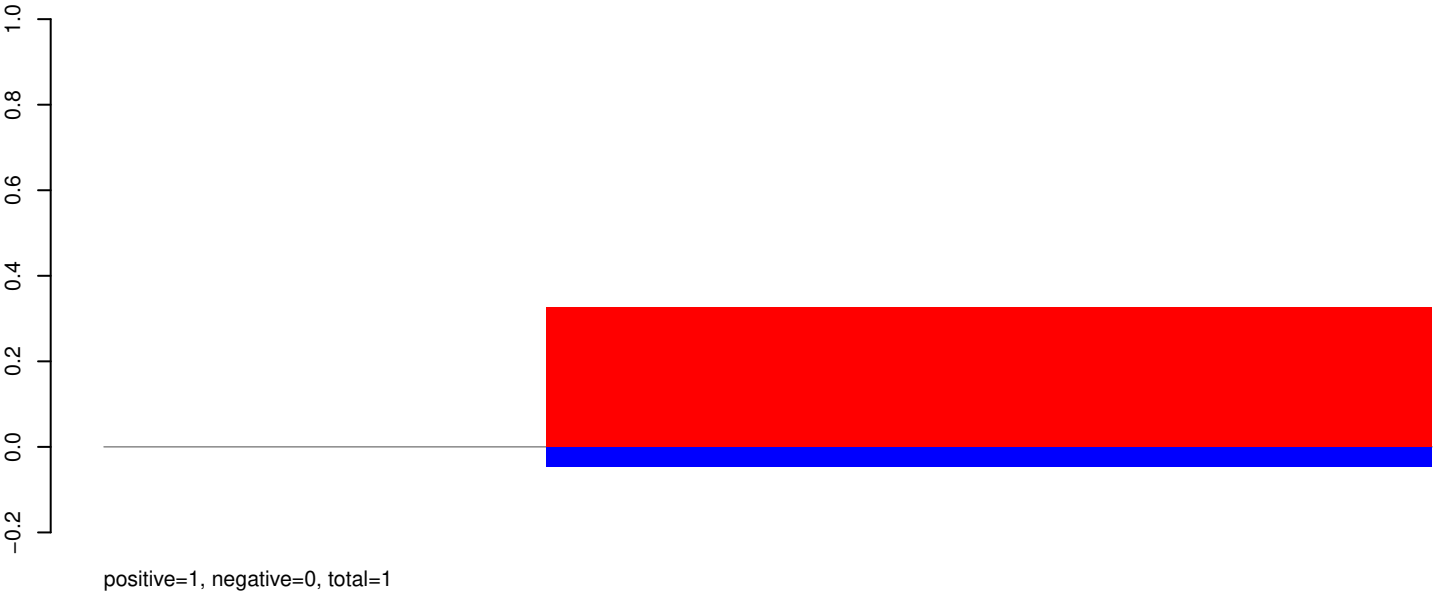
**AeAeg\_Whole\_ZIKVdr\_BM2\_GP.rep**



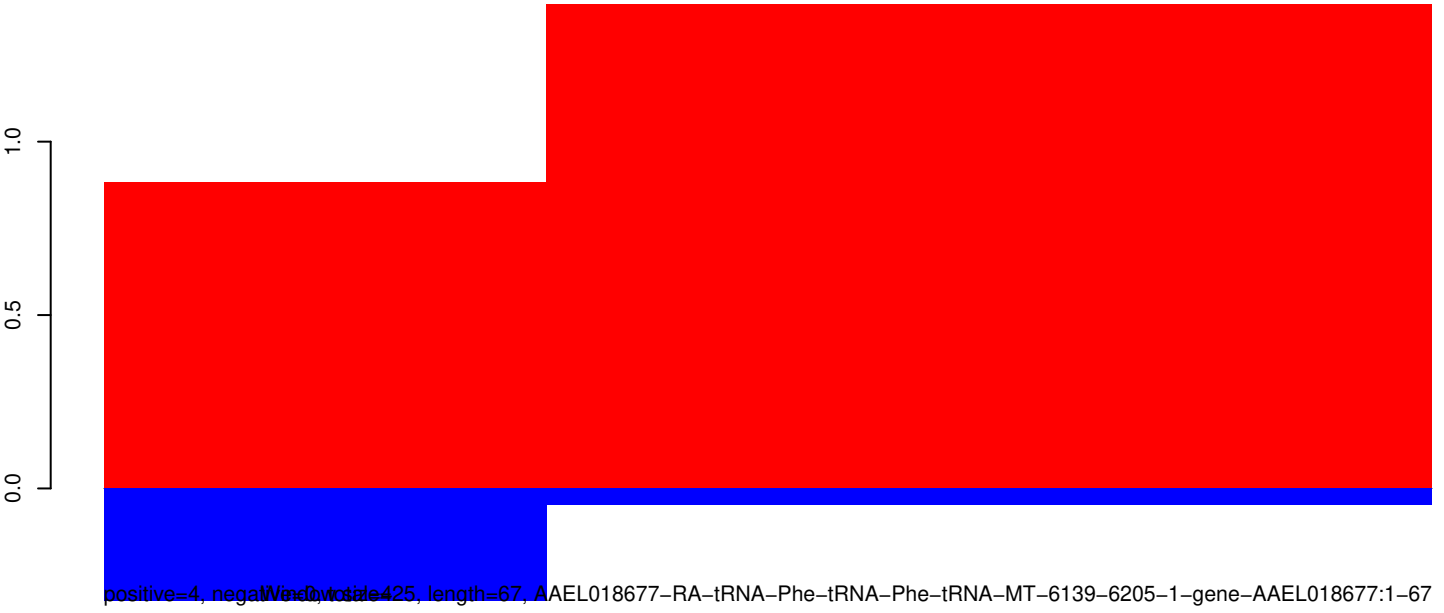
**AeAeg\_Whole\_ZIKVdr\_BM2\_GP.18\_23.rep**



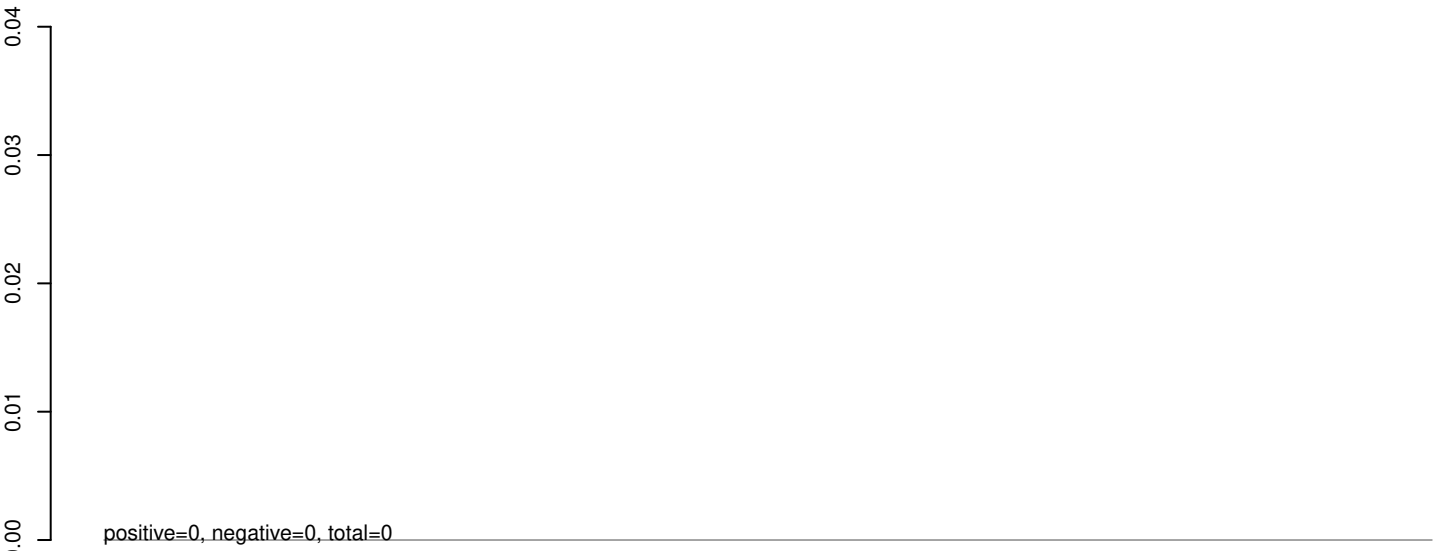
**AeAeg\_Whole\_ZIKVdr\_BM2\_GP.24\_35.rep**



**AeAeg\_Whole\_ZIKVdr\_BM2\_GP.rep**



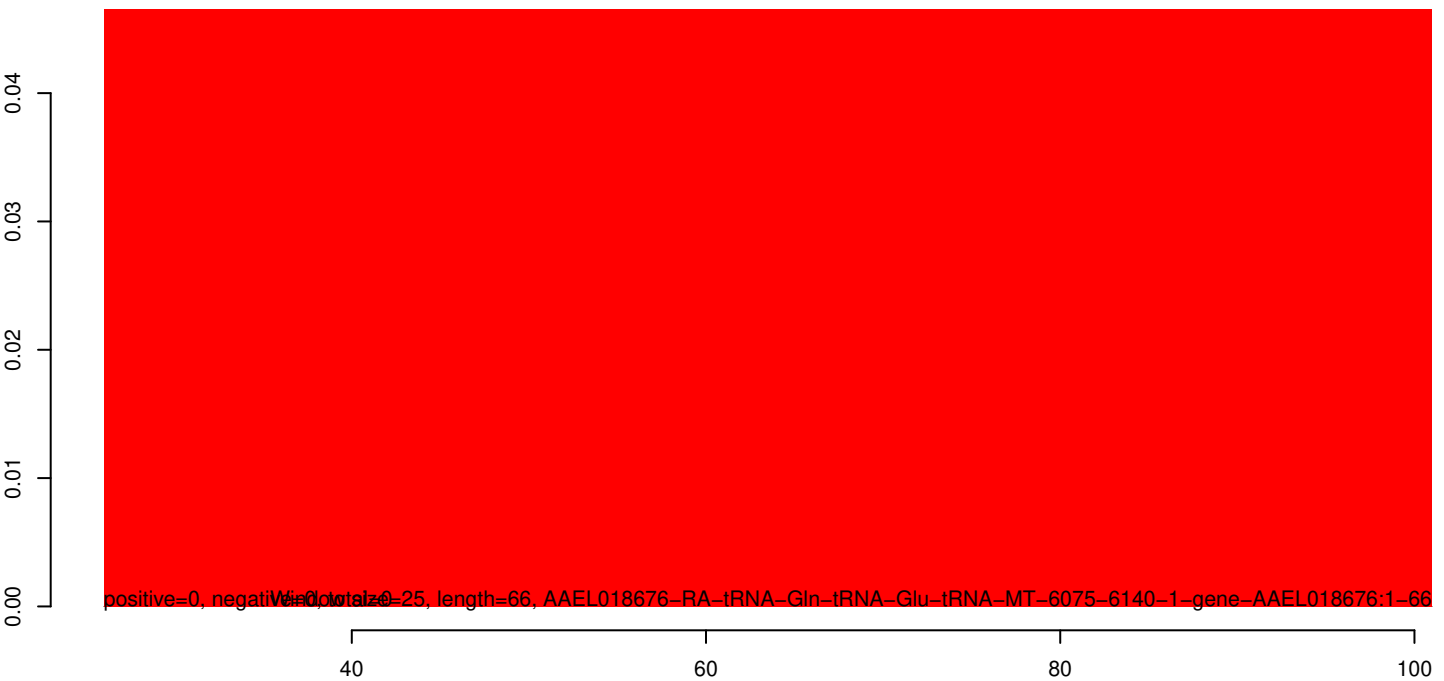
AeAeg\_Whole\_ZIKVdr\_BM2\_GP.18\_23.rep



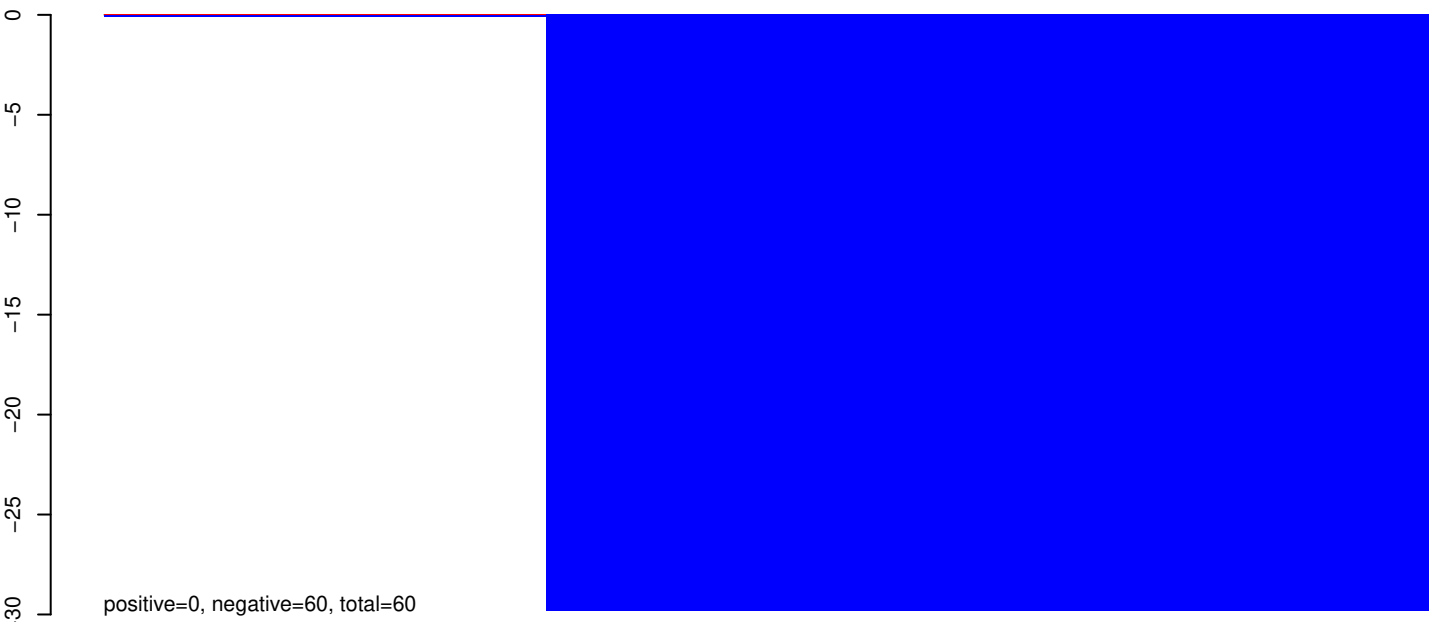
AeAeg\_Whole\_ZIKVdr\_BM2\_GP.24\_35.rep



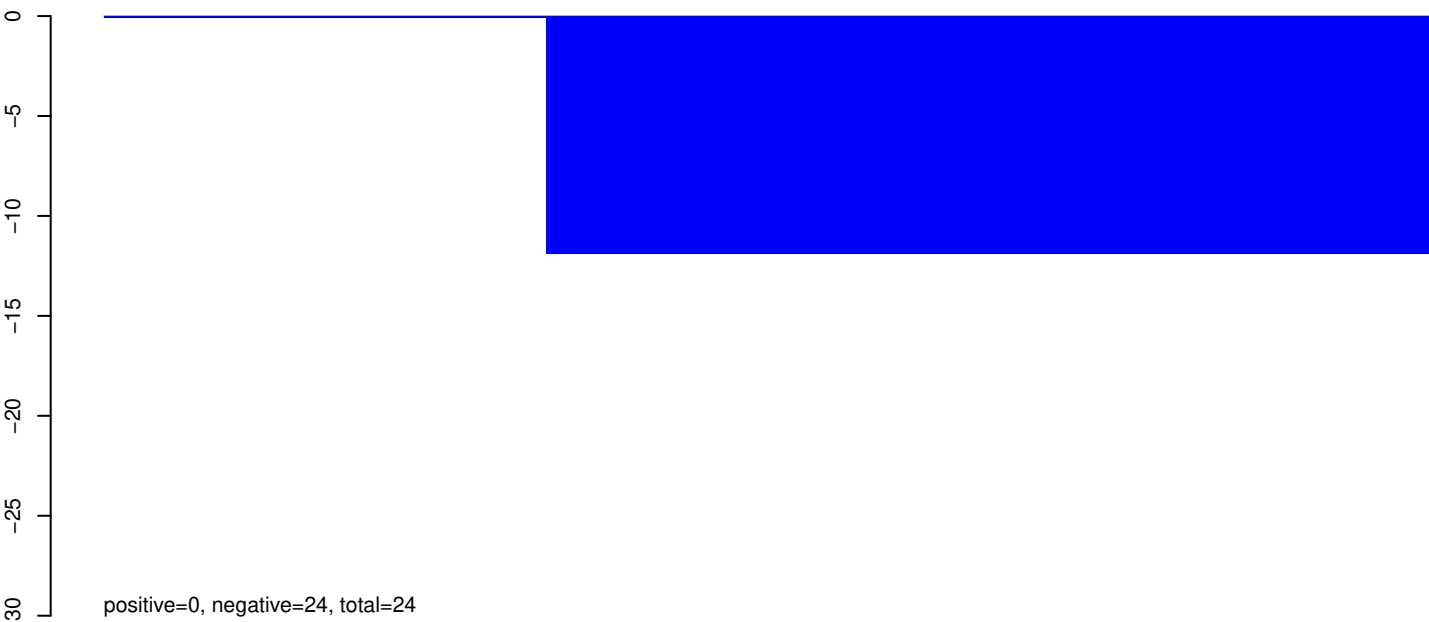
AeAeg\_Whole\_ZIKVdr\_BM2\_GP.rep



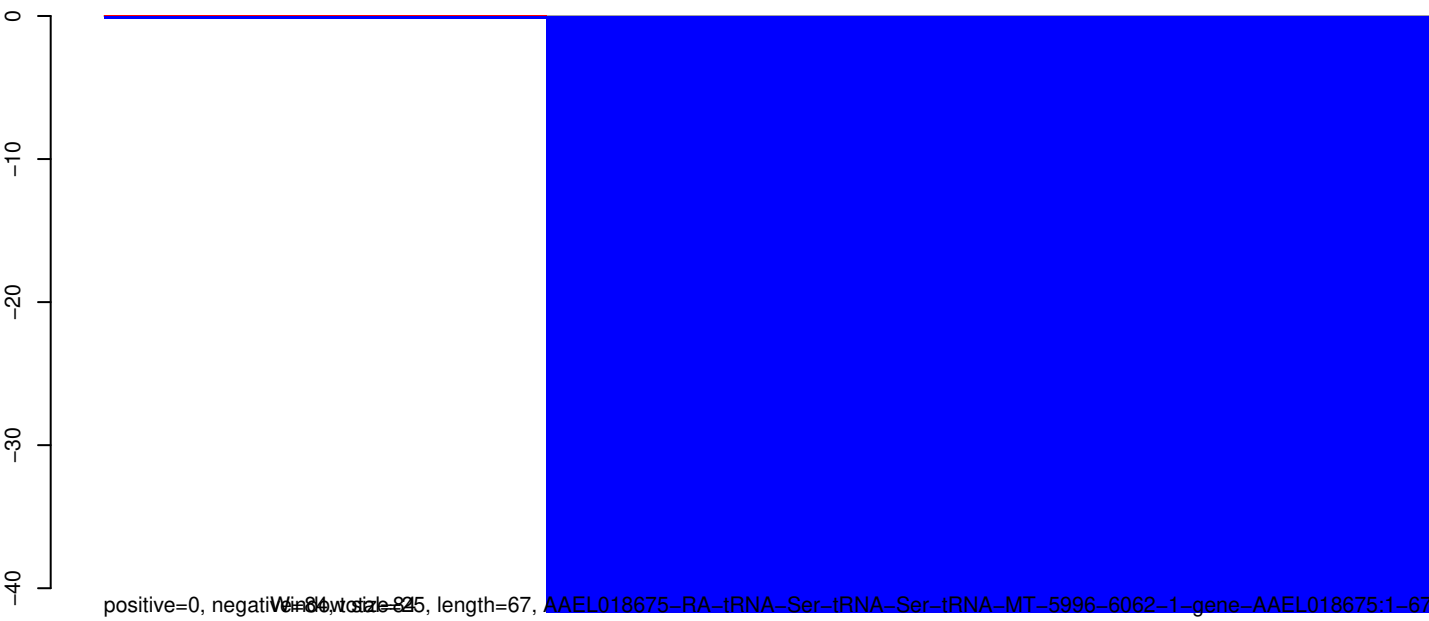
**AeAeg\_Whole\_ZIKVdr\_BM2\_GP.18\_23.rep**



**AeAeg\_Whole\_ZIKVdr\_BM2\_GP.24\_35.rep**



**AeAeg\_Whole\_ZIKVdr\_BM2\_GP.rep**

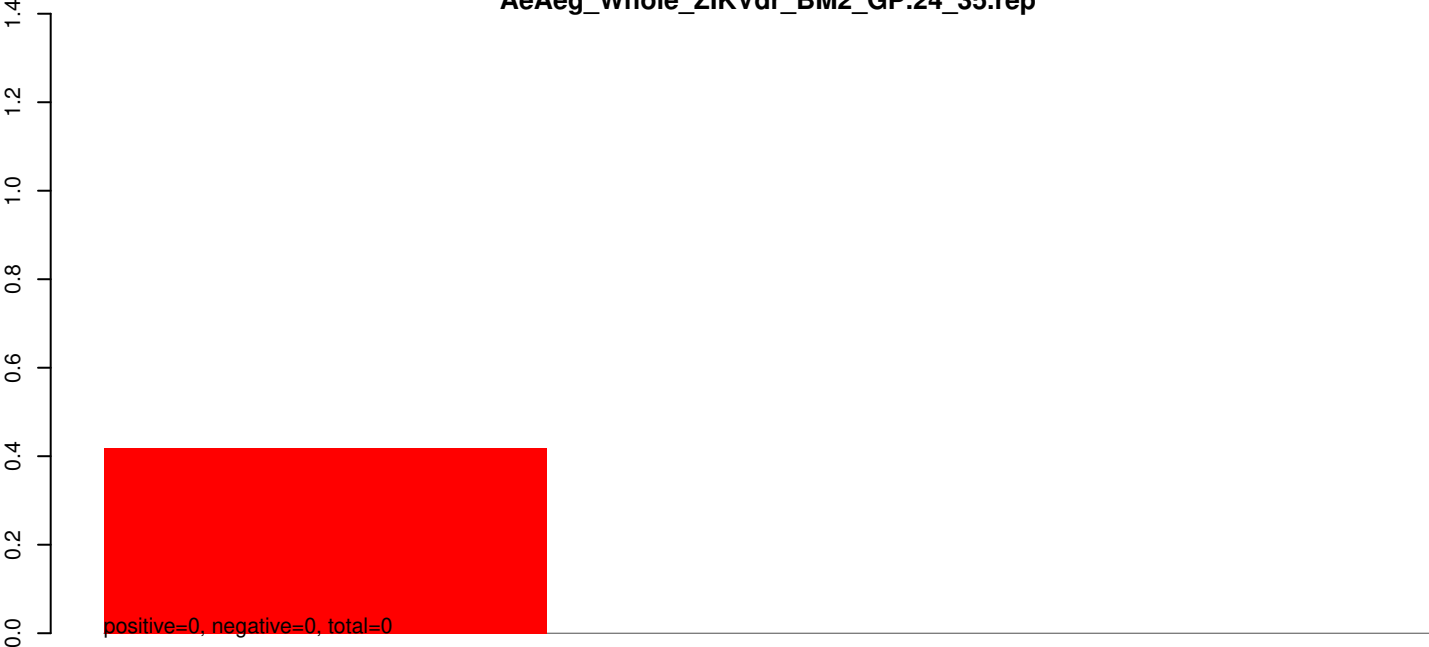


40 60 80 100

**AeAeg\_Whole\_ZIKVdr\_BM2\_GP.18\_23.rep**



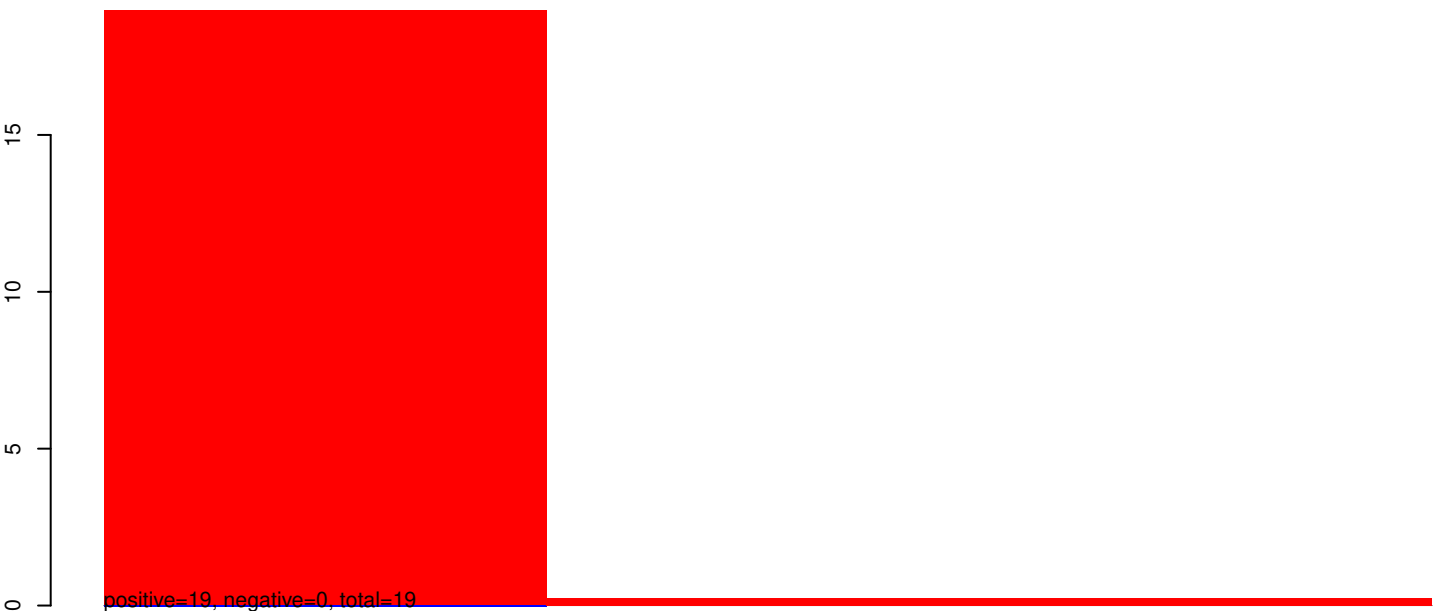
**AeAeg\_Whole\_ZIKVdr\_BM2\_GP.24\_35.rep**



**AeAeg\_Whole\_ZIKVdr\_BM2\_GP.rep**



AeAeg\_Whole\_ZIKVdr\_BM2\_GP.18\_23.rep



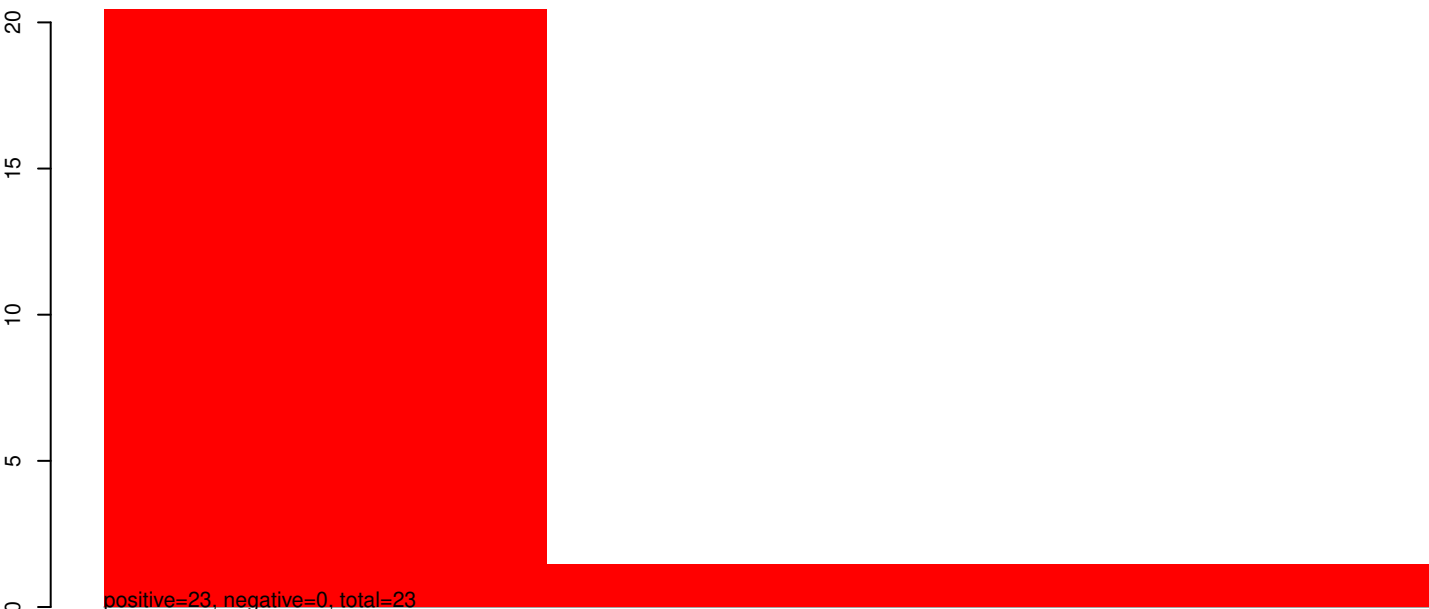
AeAeg\_Whole\_ZIKVdr\_BM2\_GP.24\_35.rep



AeAeg\_Whole\_ZIKVdr\_BM2\_GP.rep



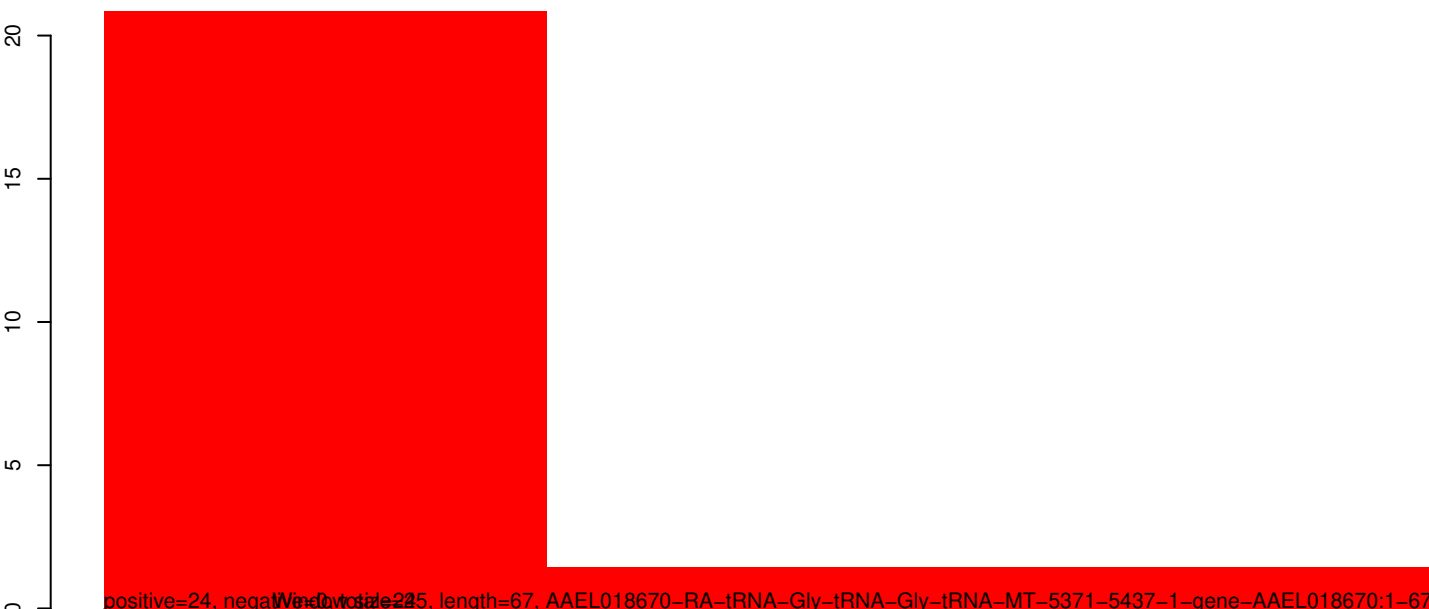
AeAeg\_Whole\_ZIKVdr\_BM2\_GP.18\_23.rep



AeAeg\_Whole\_ZIKVdr\_BM2\_GP.24\_35.rep

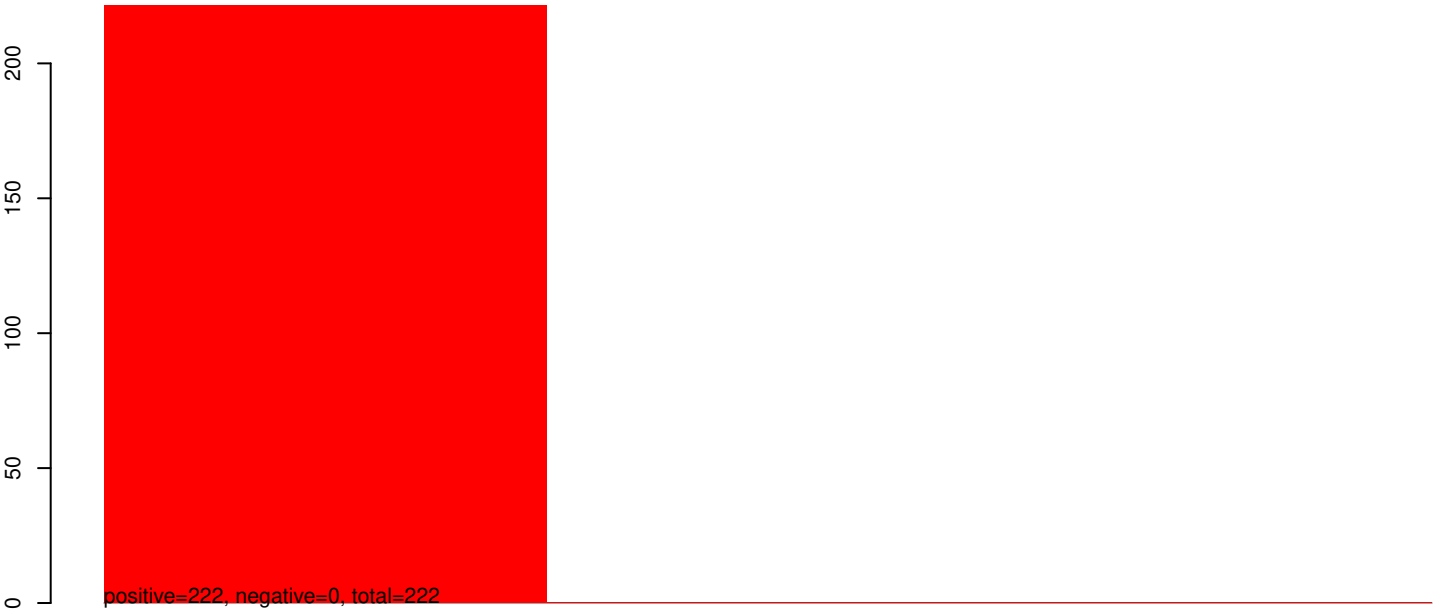


AeAeg\_Whole\_ZIKVdr\_BM2\_GP.rep

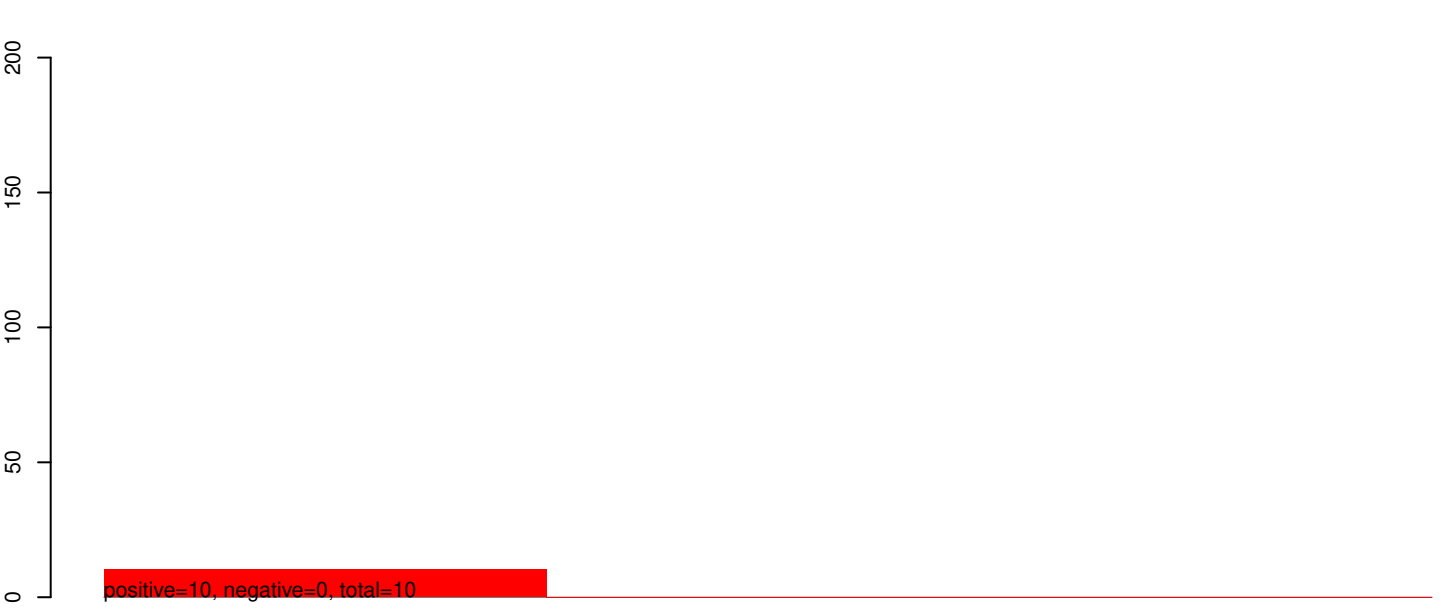


40 60 80 100

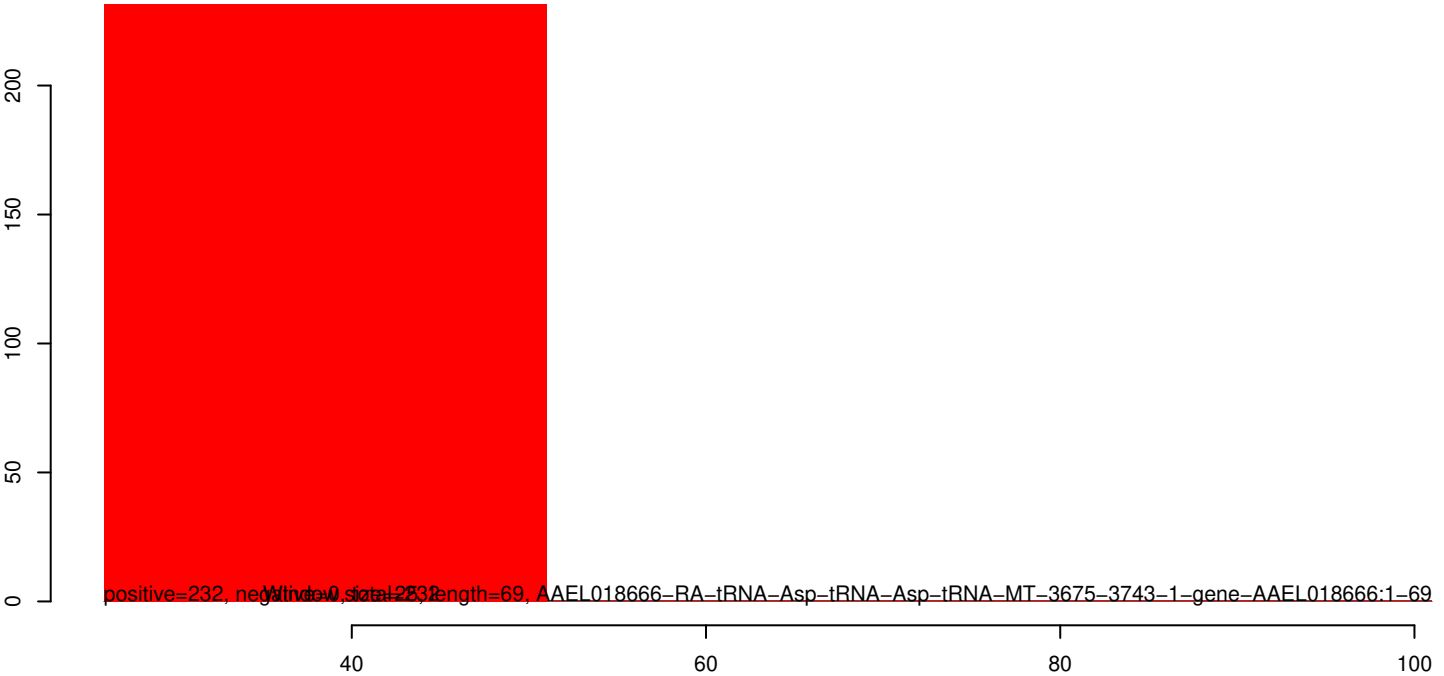
AeAeg\_Whole\_ZIKVdr\_BM2\_GP.18\_23.rep



AeAeg\_Whole\_ZIKVdr\_BM2\_GP.24\_35.rep

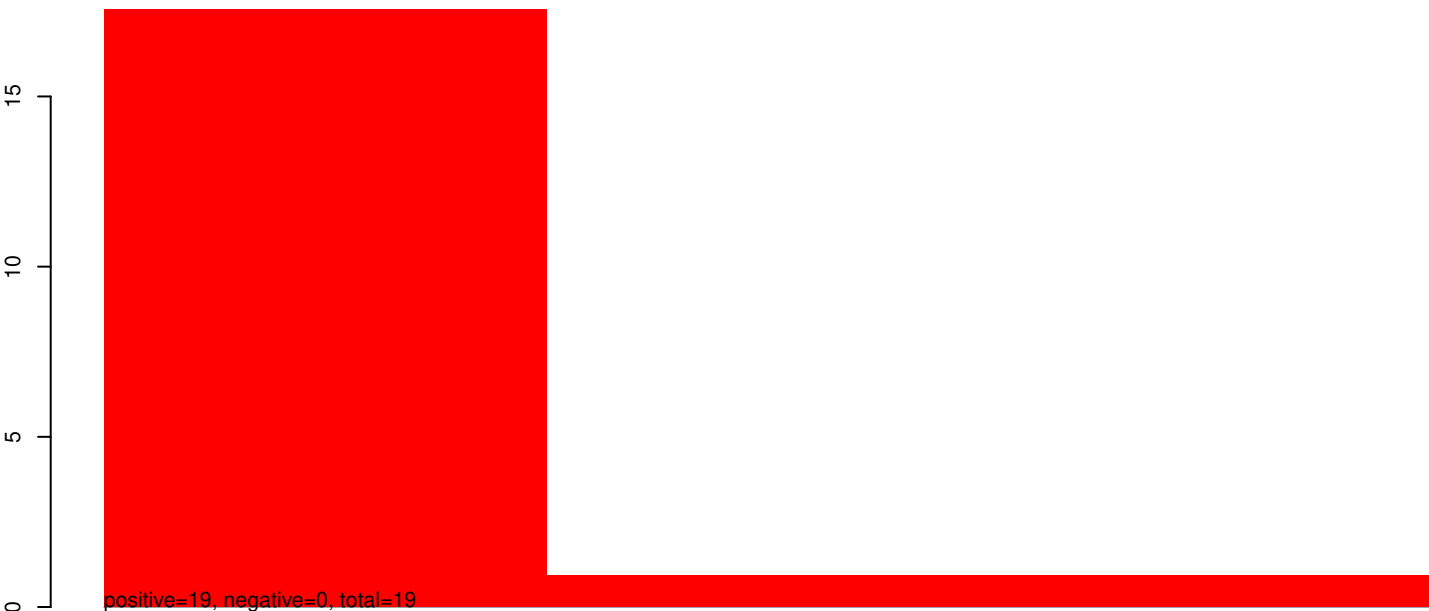


AeAeg\_Whole\_ZIKVdr\_BM2\_GP.rep





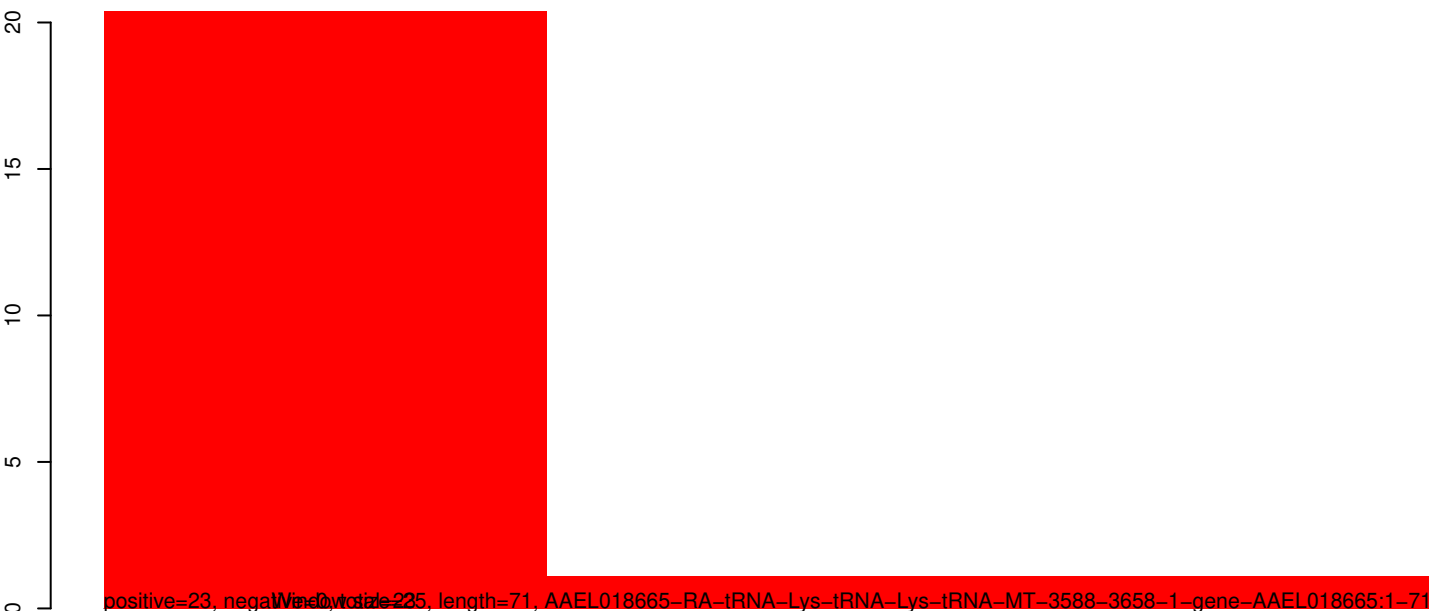
AeAeg\_Whole\_ZIKVdr\_BM2\_GP.18\_23.rep



AeAeg\_Whole\_ZIKVdr\_BM2\_GP.24\_35.rep

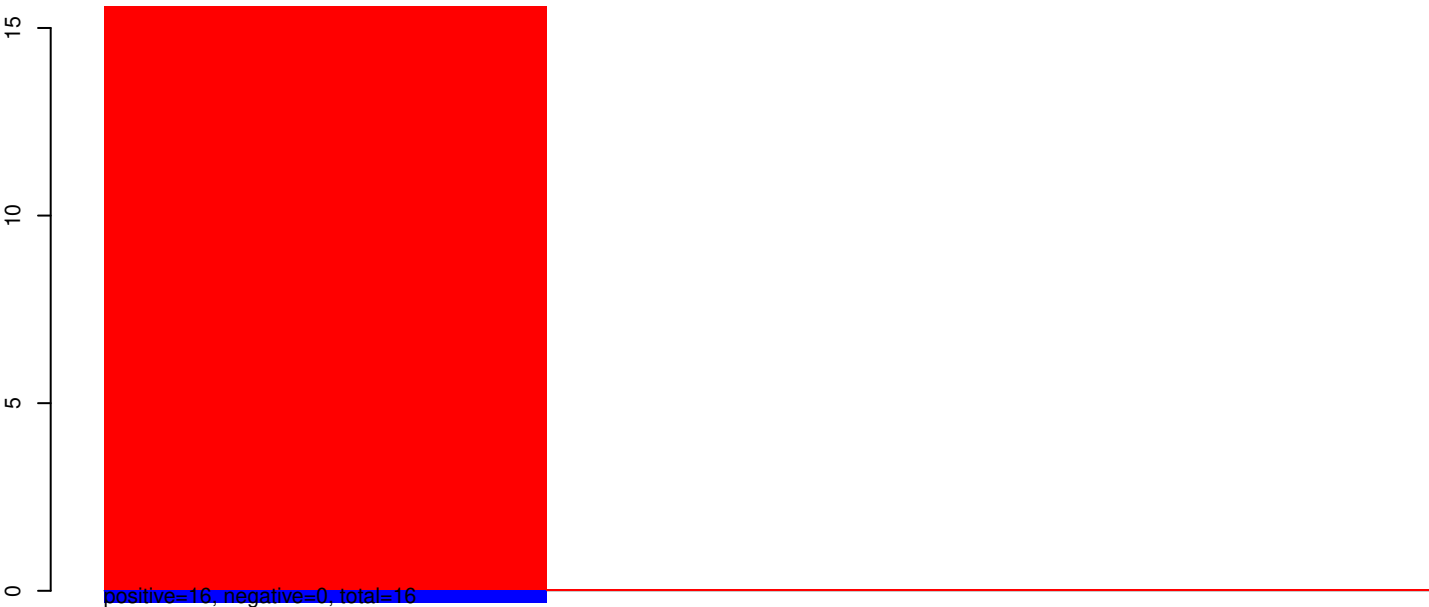


AeAeg\_Whole\_ZIKVdr\_BM2\_GP.rep



40 60 80 100

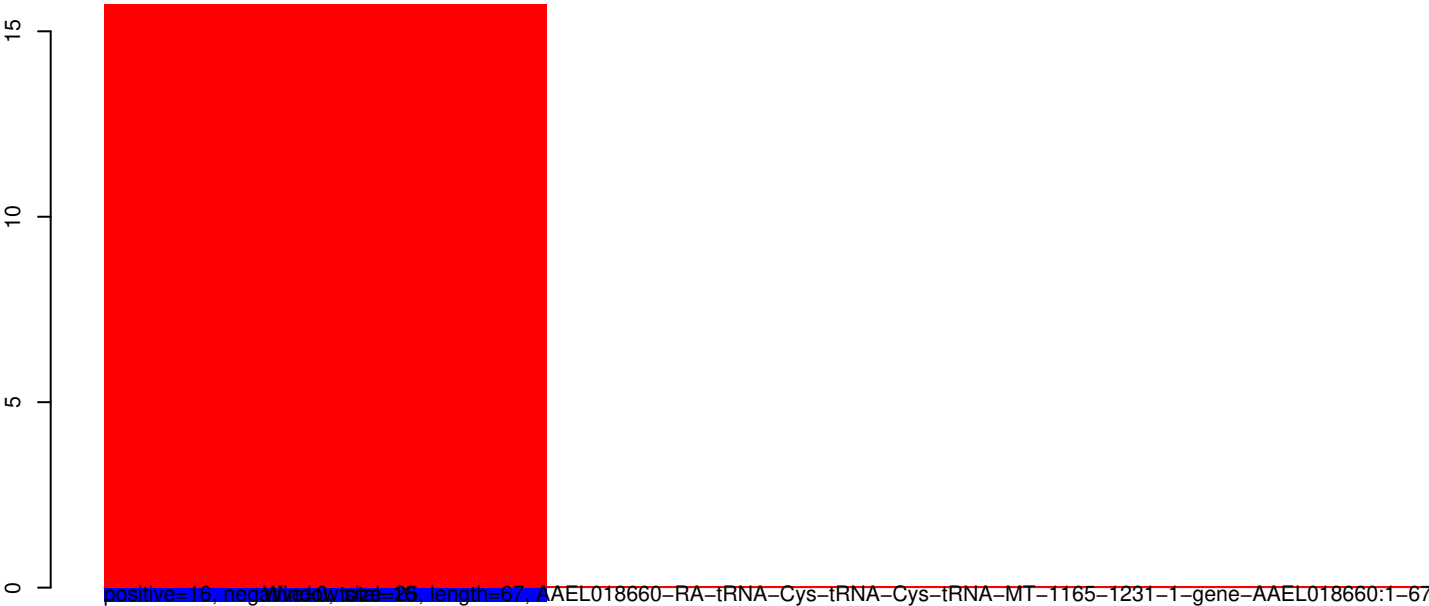
AeAeg\_Whole\_ZIKVdr\_BM2\_GP.18\_23.rep



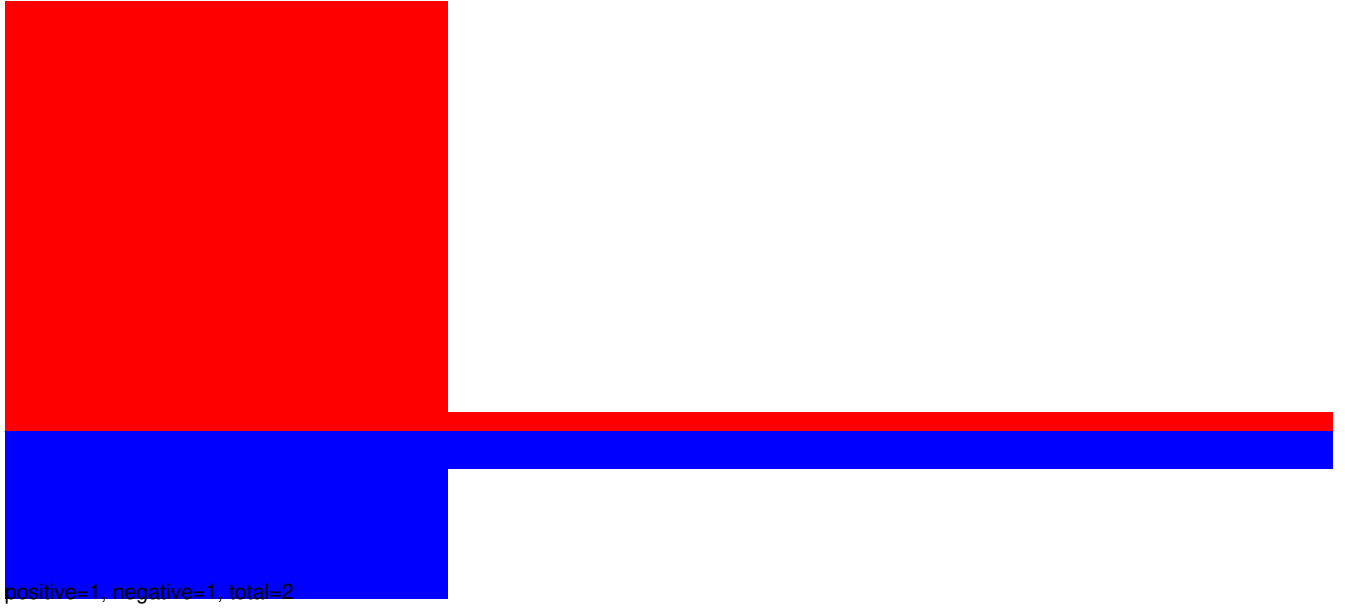
AeAeg\_Whole\_ZIKVdr\_BM2\_GP.24\_35.rep



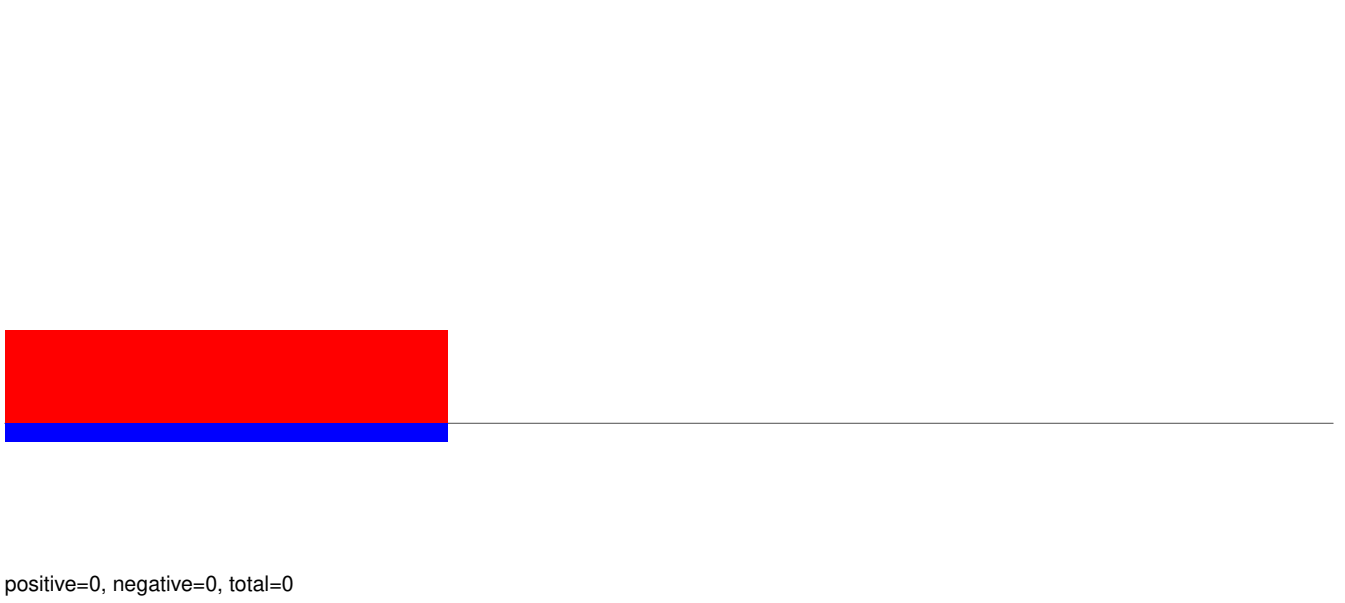
AeAeg\_Whole\_ZIKVdr\_BM2\_GP.rep



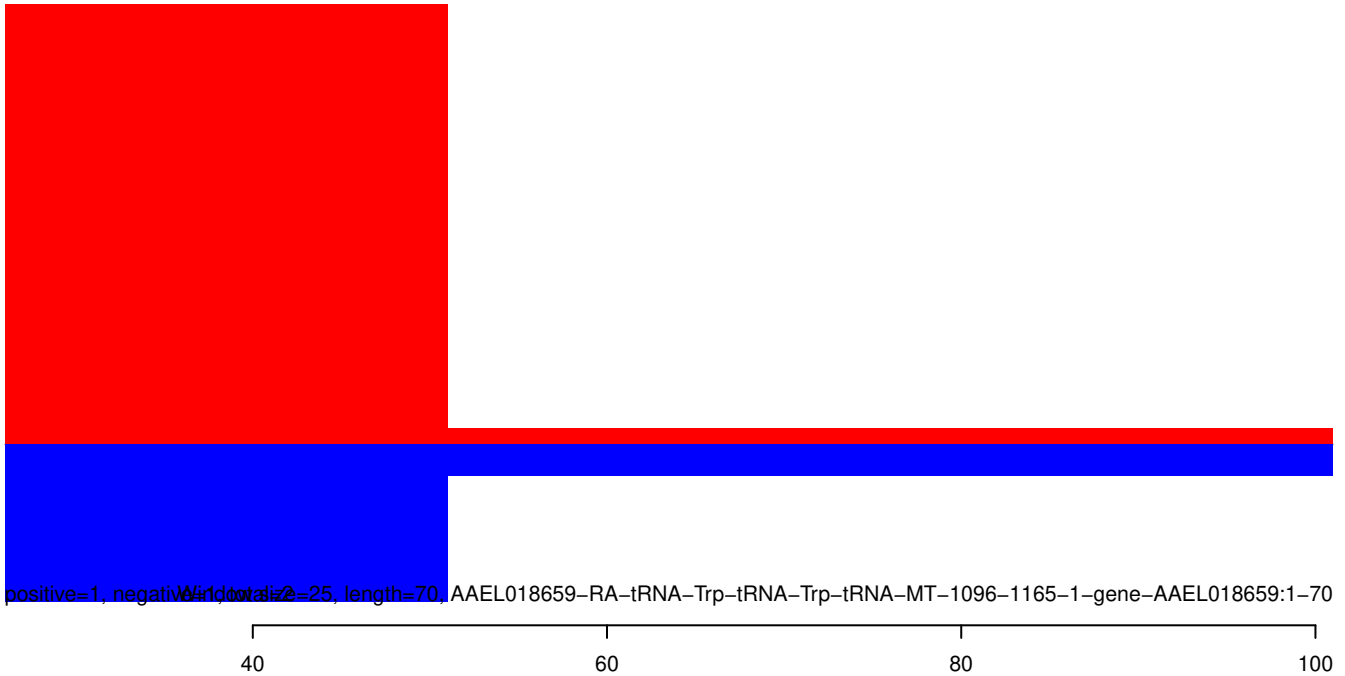
AeAeg\_Whole\_ZIKVdr\_BM2\_GP.18\_23.rep



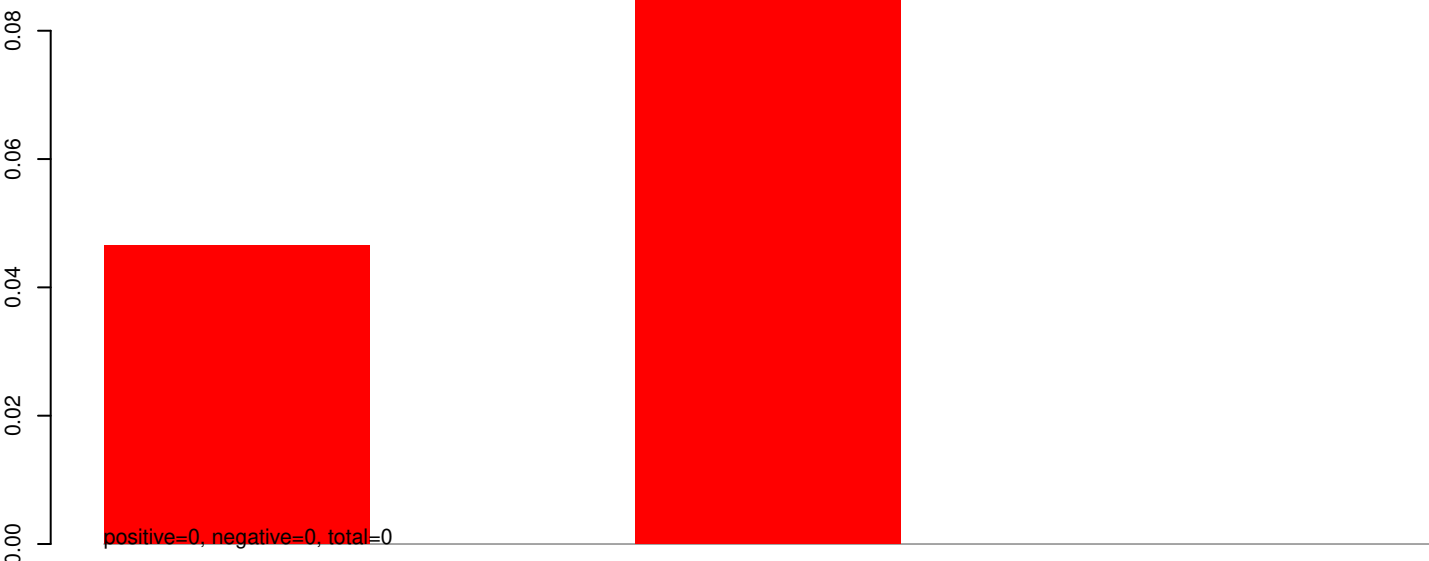
AeAeg\_Whole\_ZIKVdr\_BM2\_GP.24\_35.rep



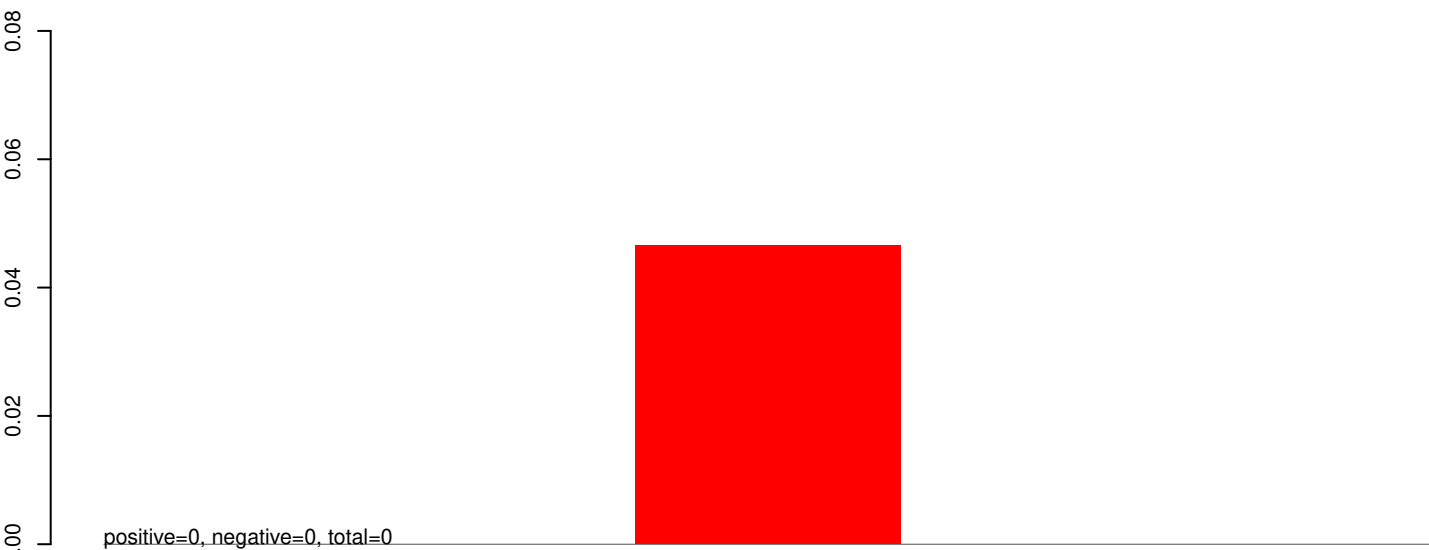
AeAeg\_Whole\_ZIKVdr\_BM2\_GP.rep



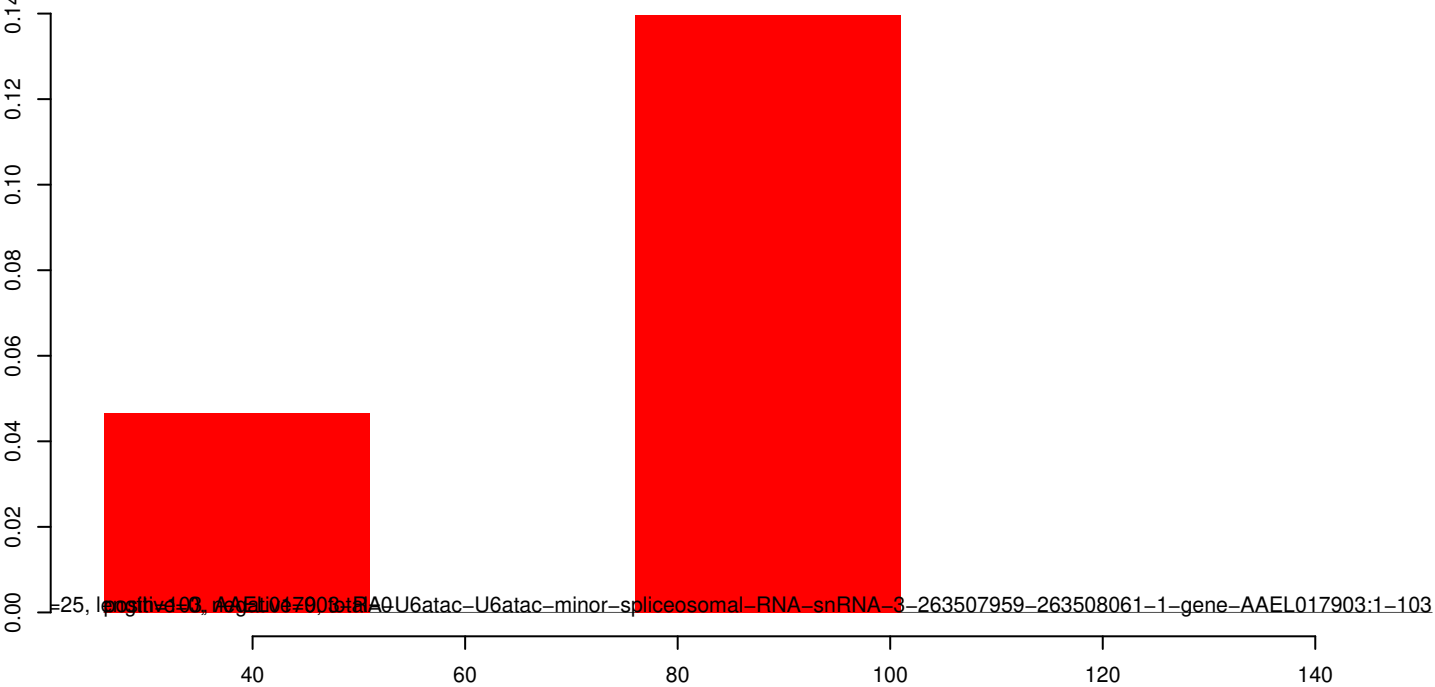
AeAeg\_Whole\_ZIKVdr\_BM2\_GP.18\_23.rep



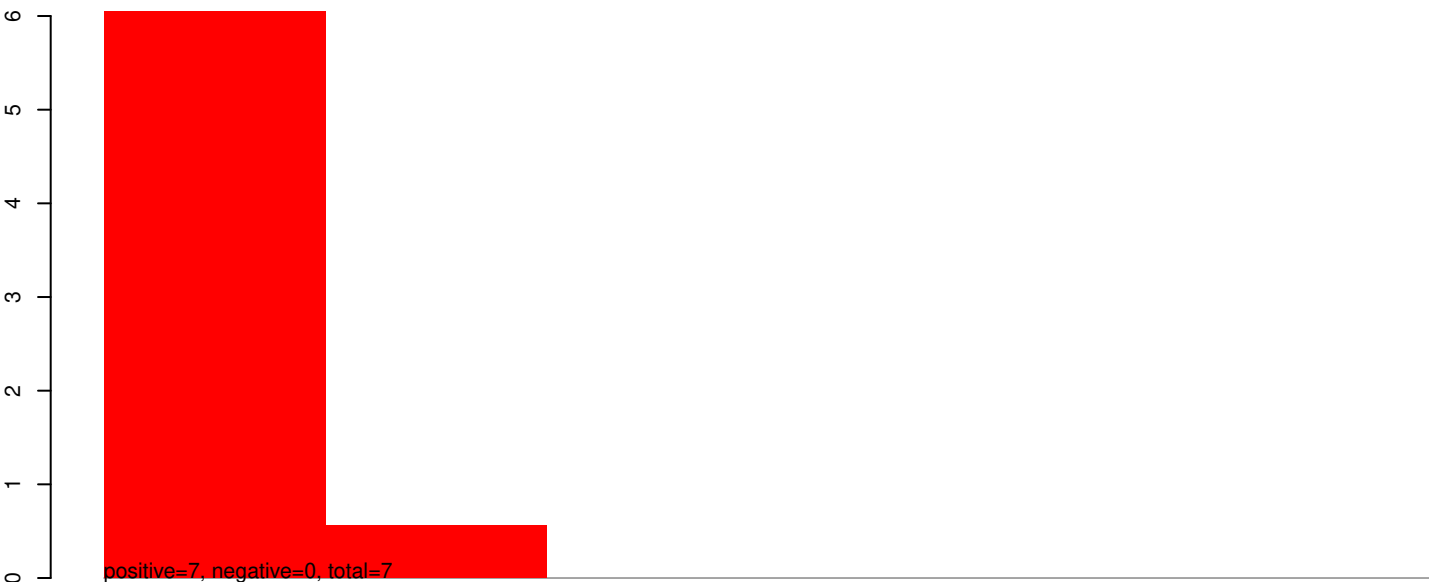
AeAeg\_Whole\_ZIKVdr\_BM2\_GP.24\_35.rep



AeAeg\_Whole\_ZIKVdr\_BM2\_GP.rep



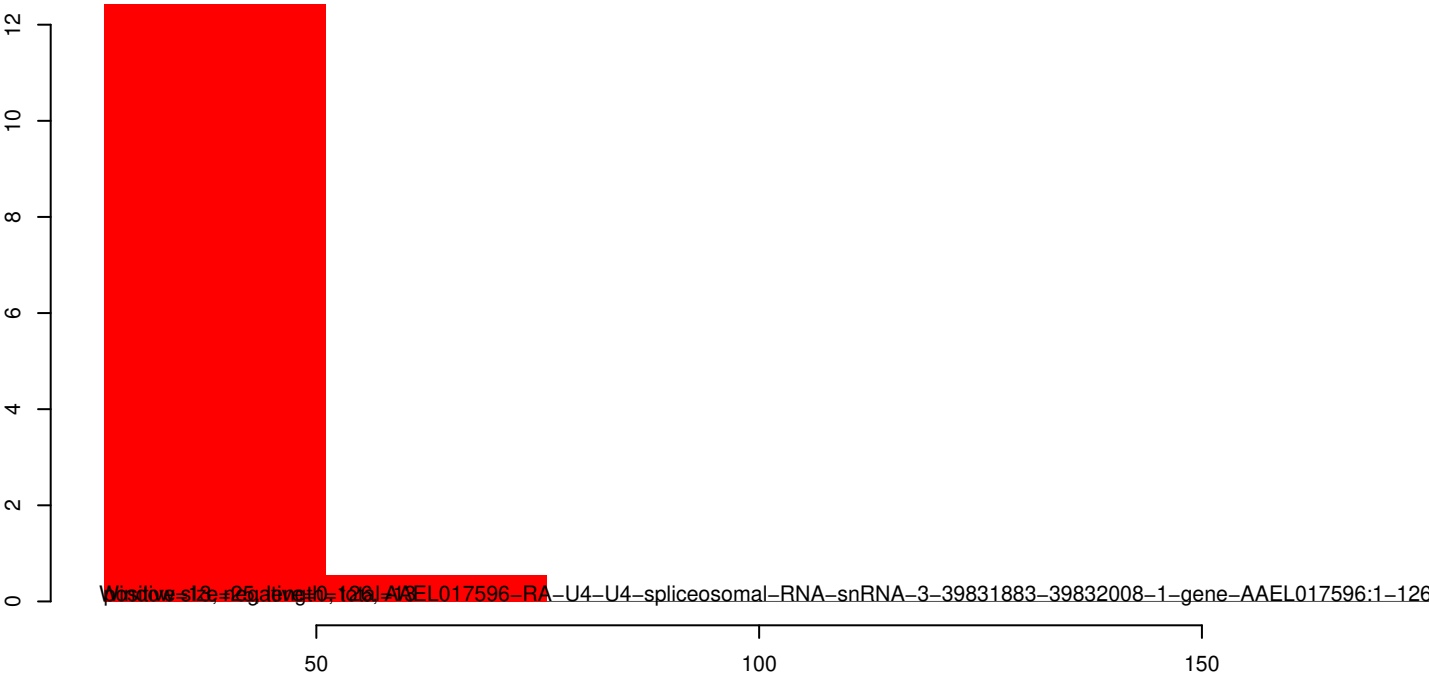
AeAeg\_Whole\_ZIKVdr\_BM2\_GP.18\_23.rep



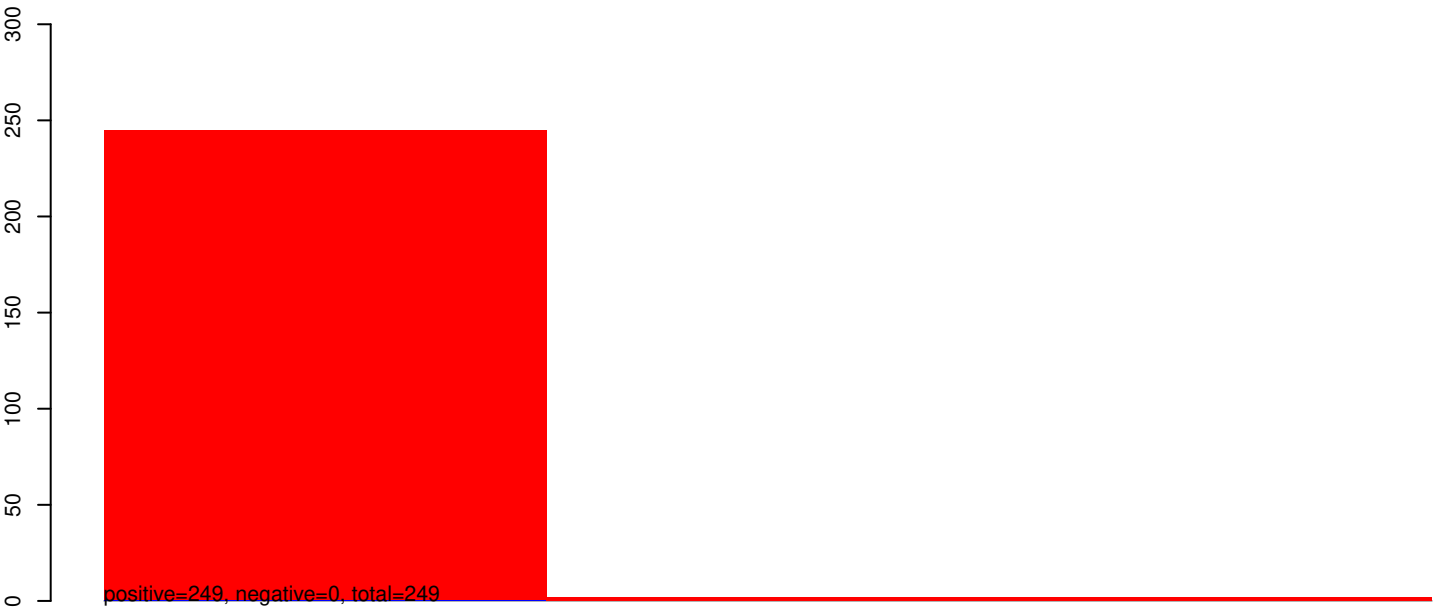
AeAeg\_Whole\_ZIKVdr\_BM2\_GP.24\_35.rep



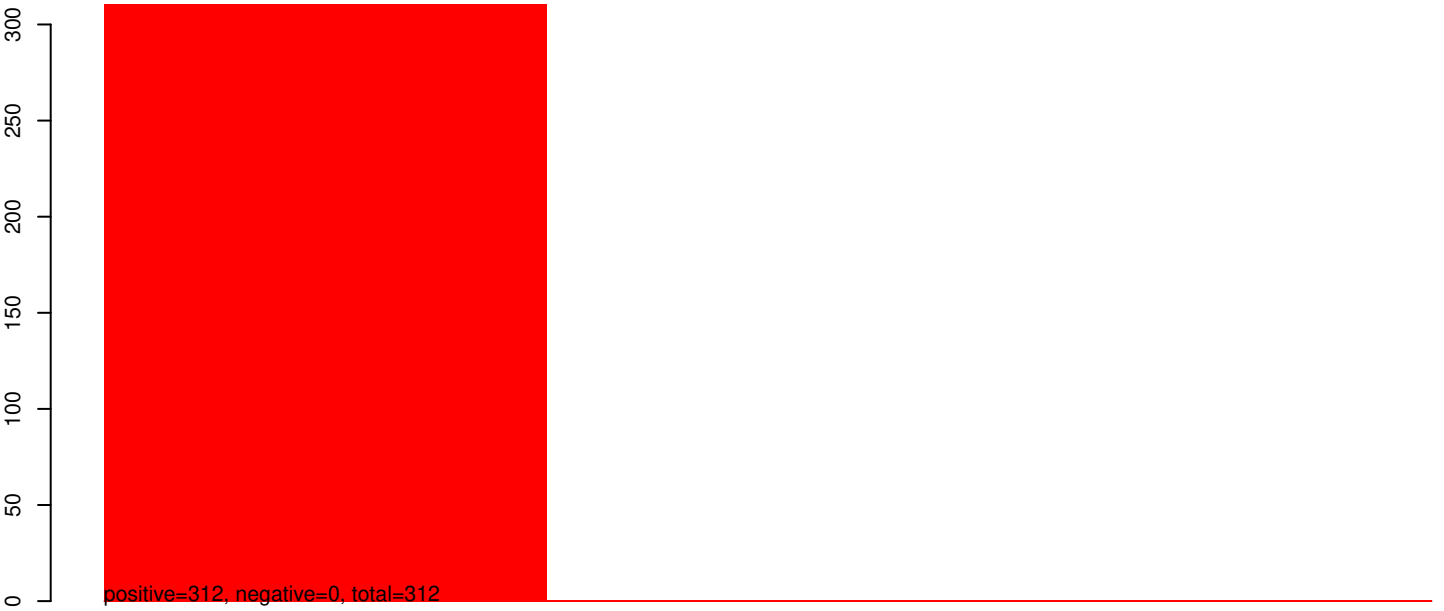
AeAeg\_Whole\_ZIKVdr\_BM2\_GP.rep



AeAeg\_Whole\_ZIKVdr\_BM2\_GP.18\_23.rep



AeAeg\_Whole\_ZIKVdr\_BM2\_GP.24\_35.rep

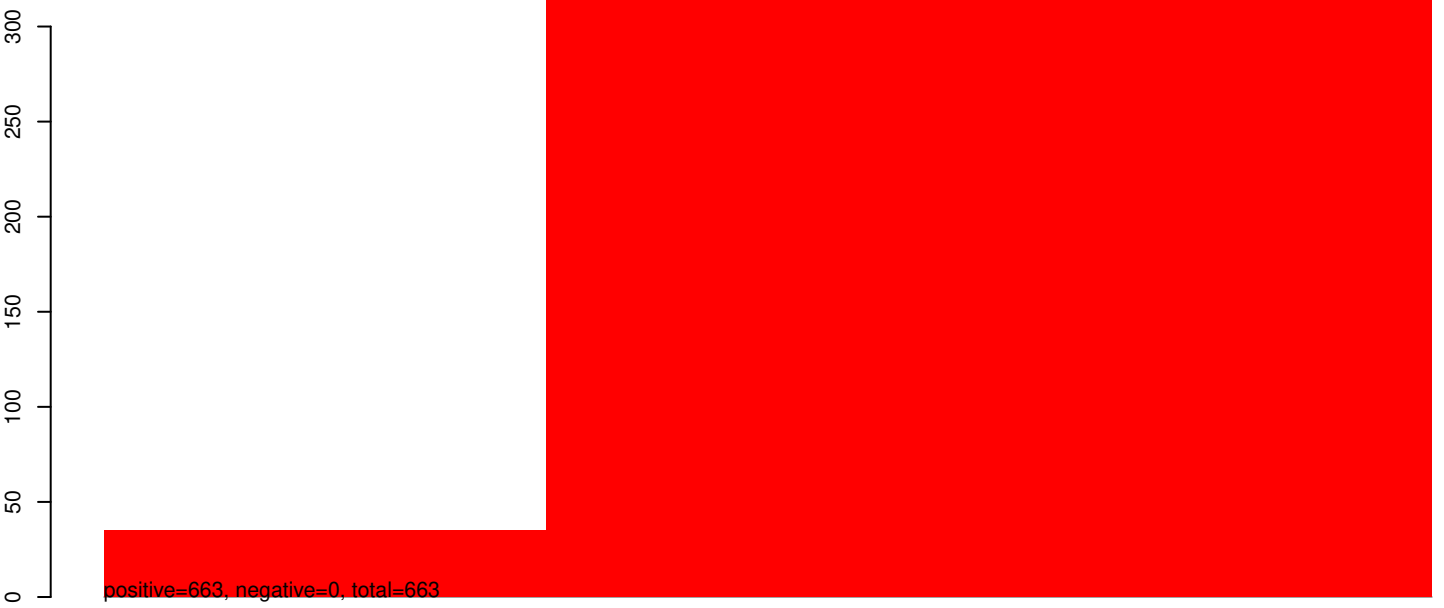


AeAeg\_Whole\_ZIKVdr\_BM2\_GP.rep



40 60 80 100

**AeAeg\_Whole\_ZIKVdr\_BM2\_GP.18\_23.rep**



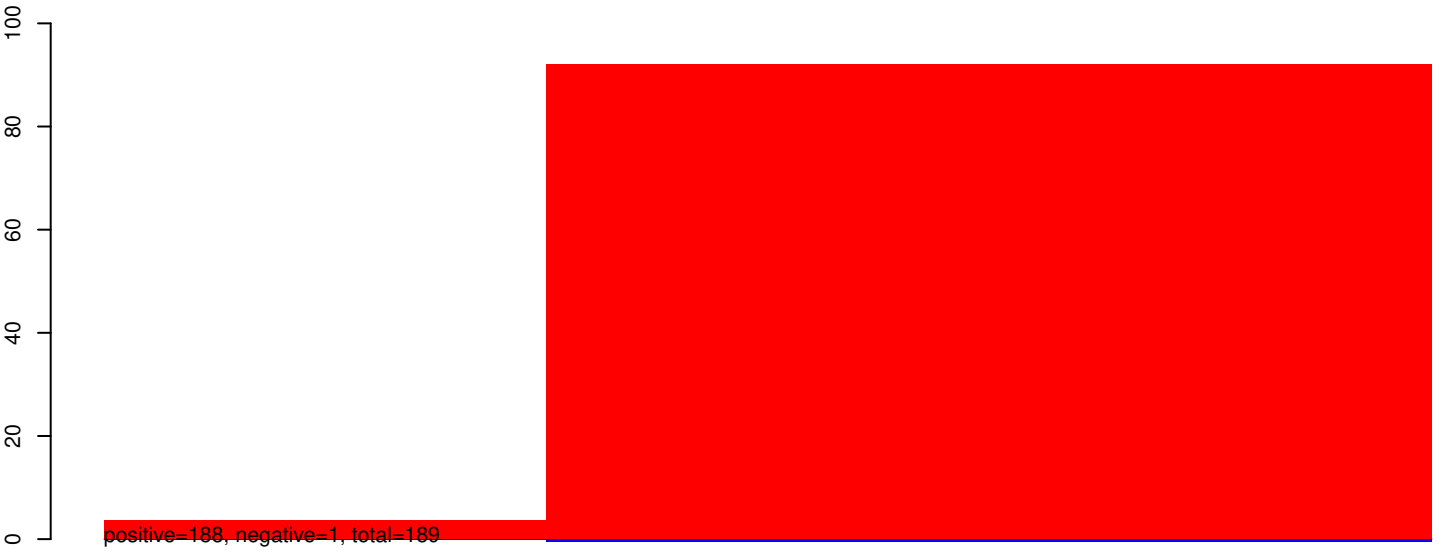
**AeAeg\_Whole\_ZIKVdr\_BM2\_GP.24\_35.rep**



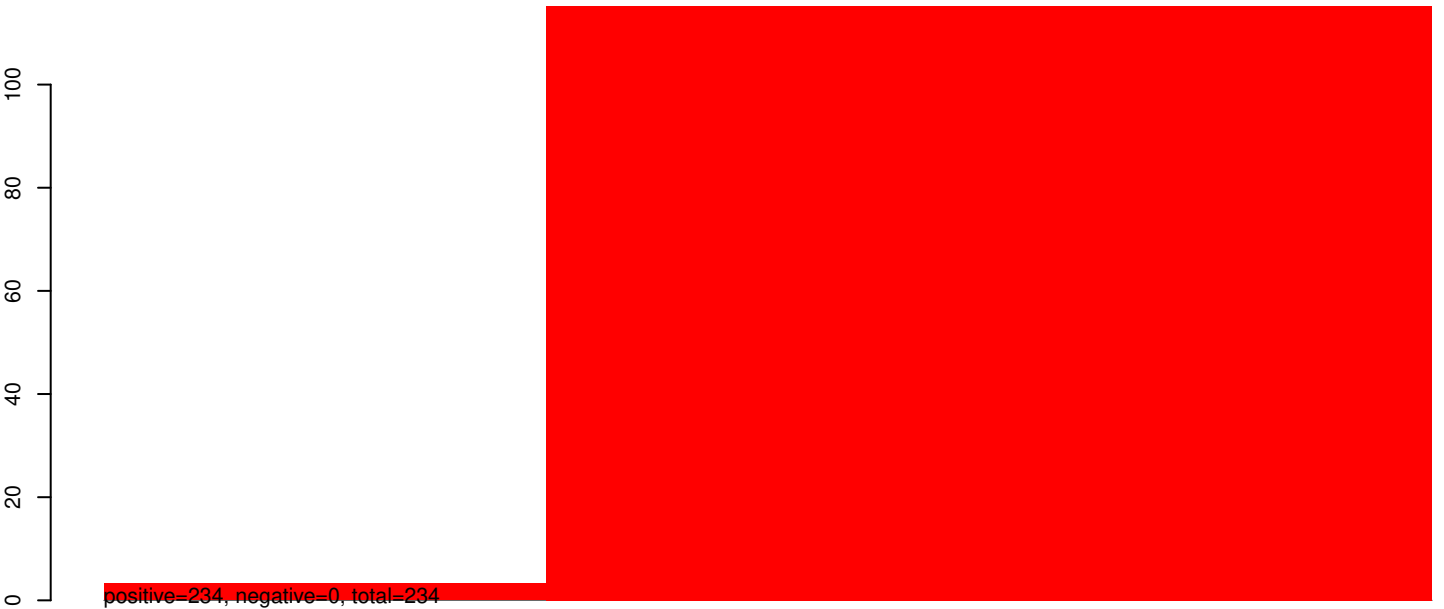
**AeAeg\_Whole\_ZIKVdr\_BM2\_GP.rep**



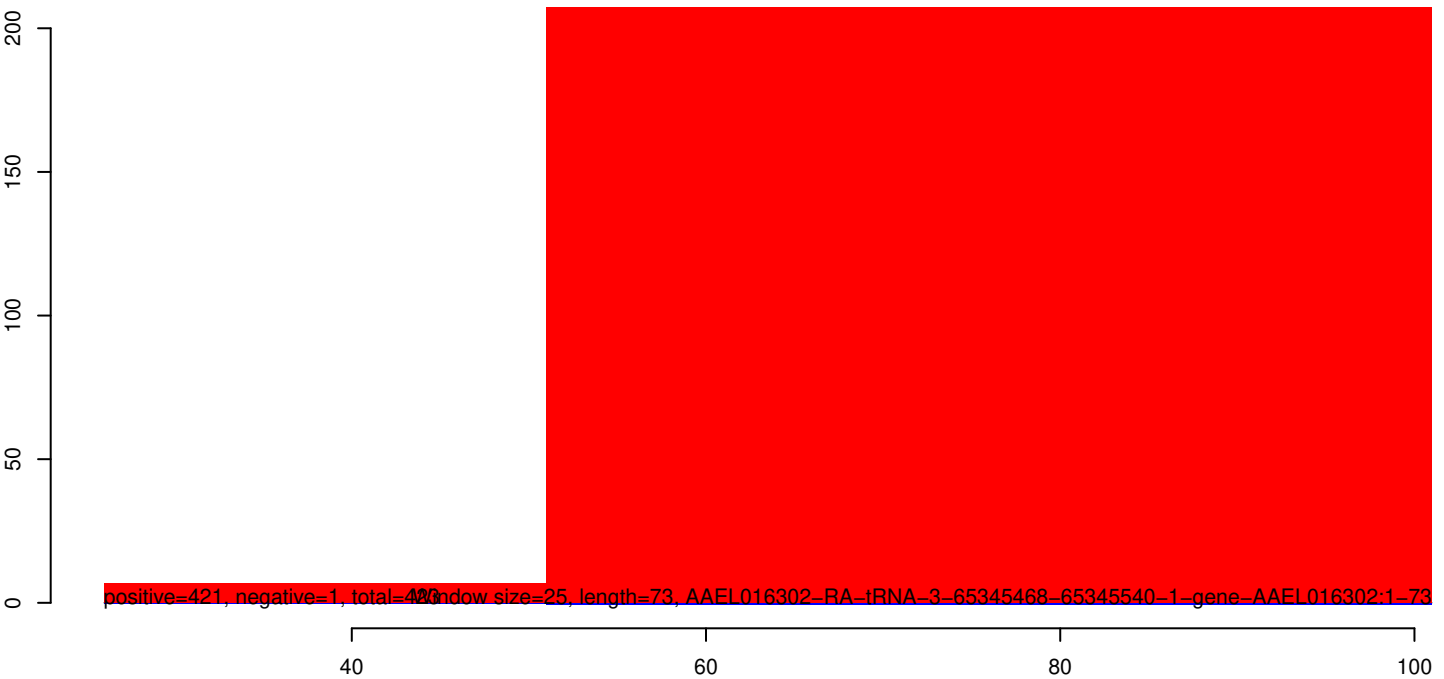
AeAeg\_Whole\_ZIKVdr\_BM2\_GP.18\_23.rep



AeAeg\_Whole\_ZIKVdr\_BM2\_GP.24\_35.rep

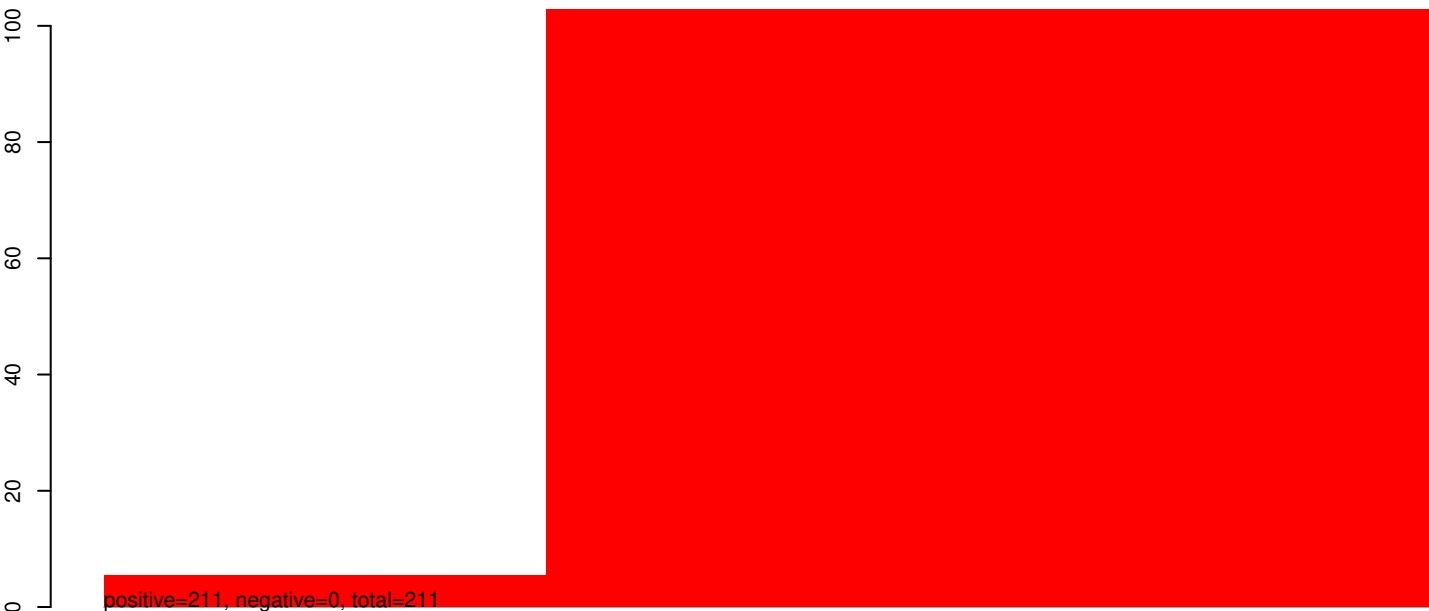


AeAeg\_Whole\_ZIKVdr\_BM2\_GP.rep





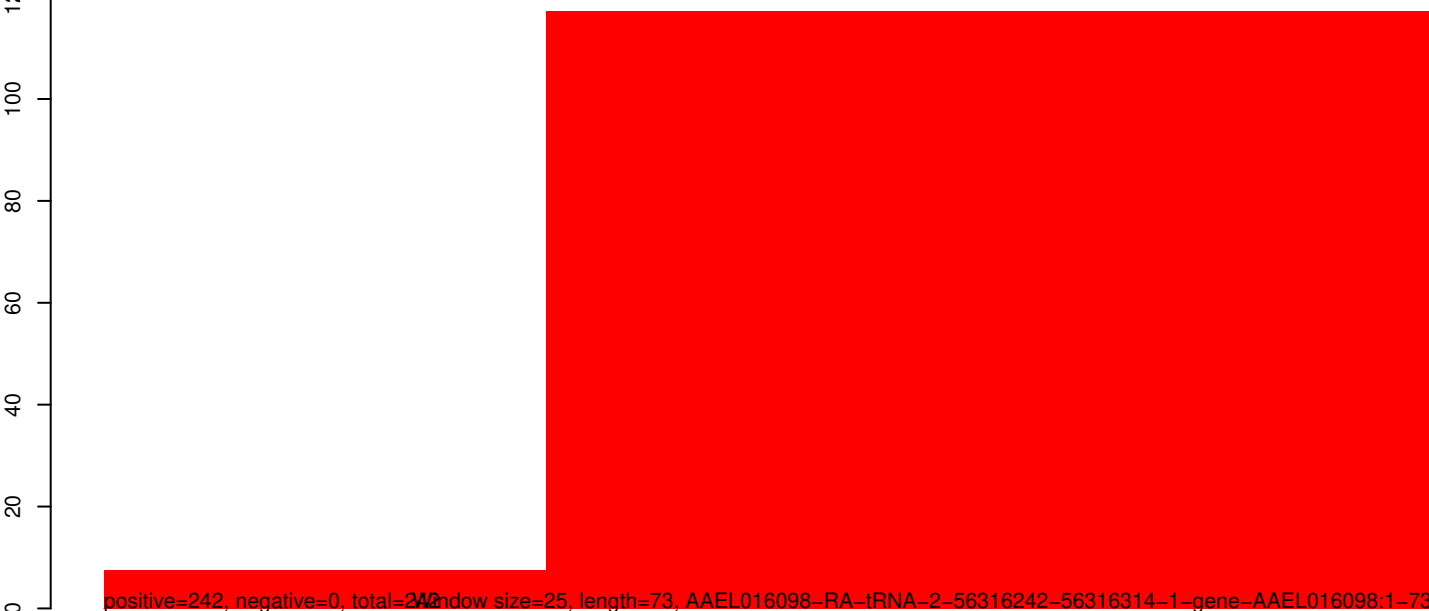
**AeAeg\_Whole\_ZIKVdr\_BM2\_GP.18\_23.rep**



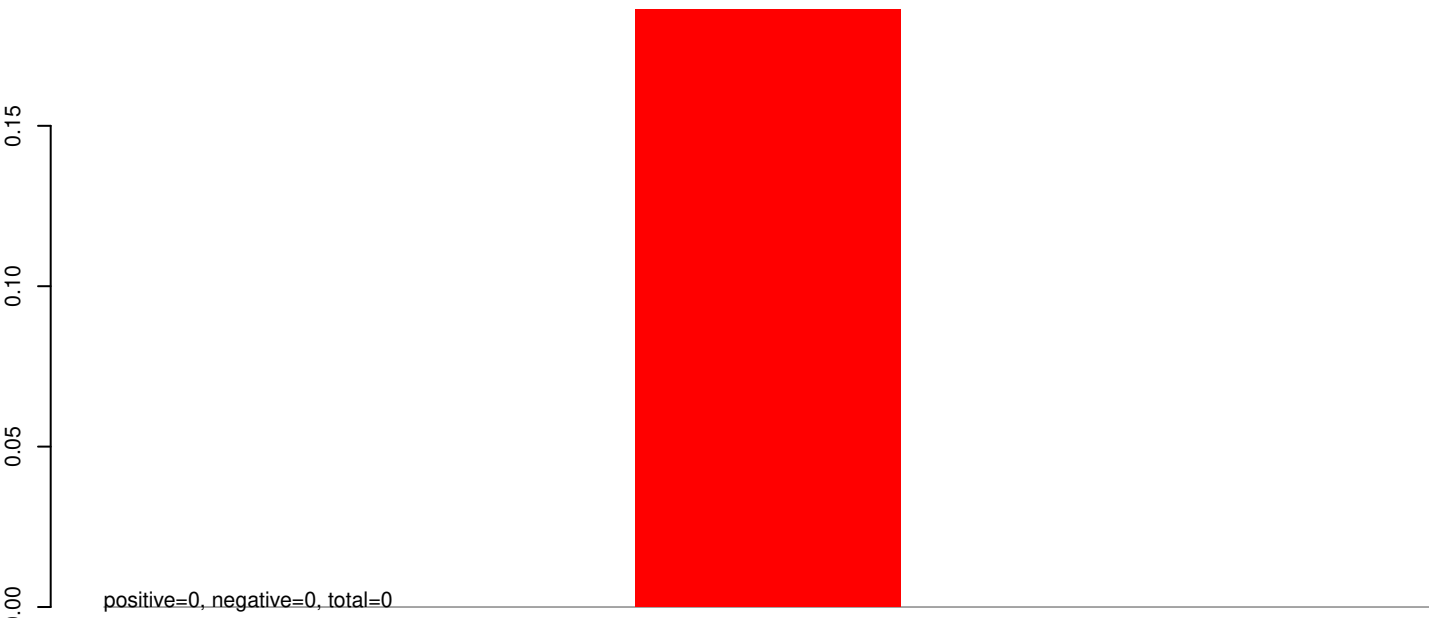
**AeAeg\_Whole\_ZIKVdr\_BM2\_GP.24\_35.rep**



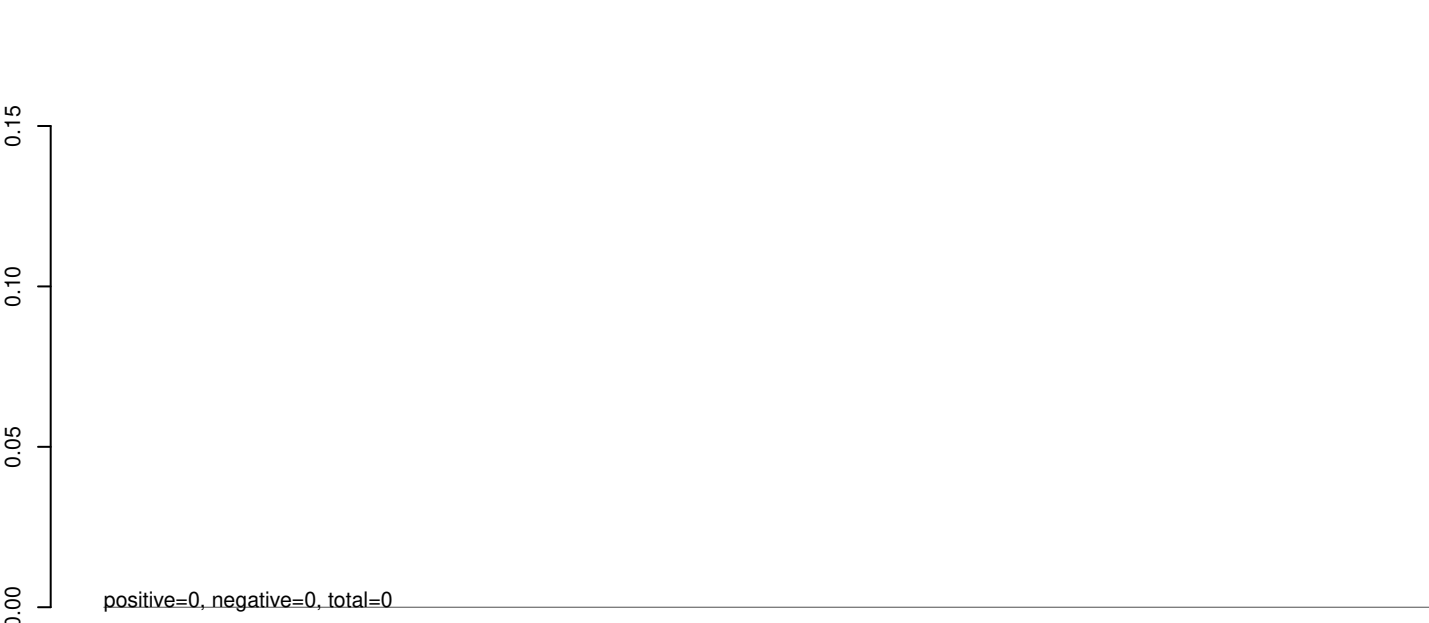
**AeAeg\_Whole\_ZIKVdr\_BM2\_GP.rep**



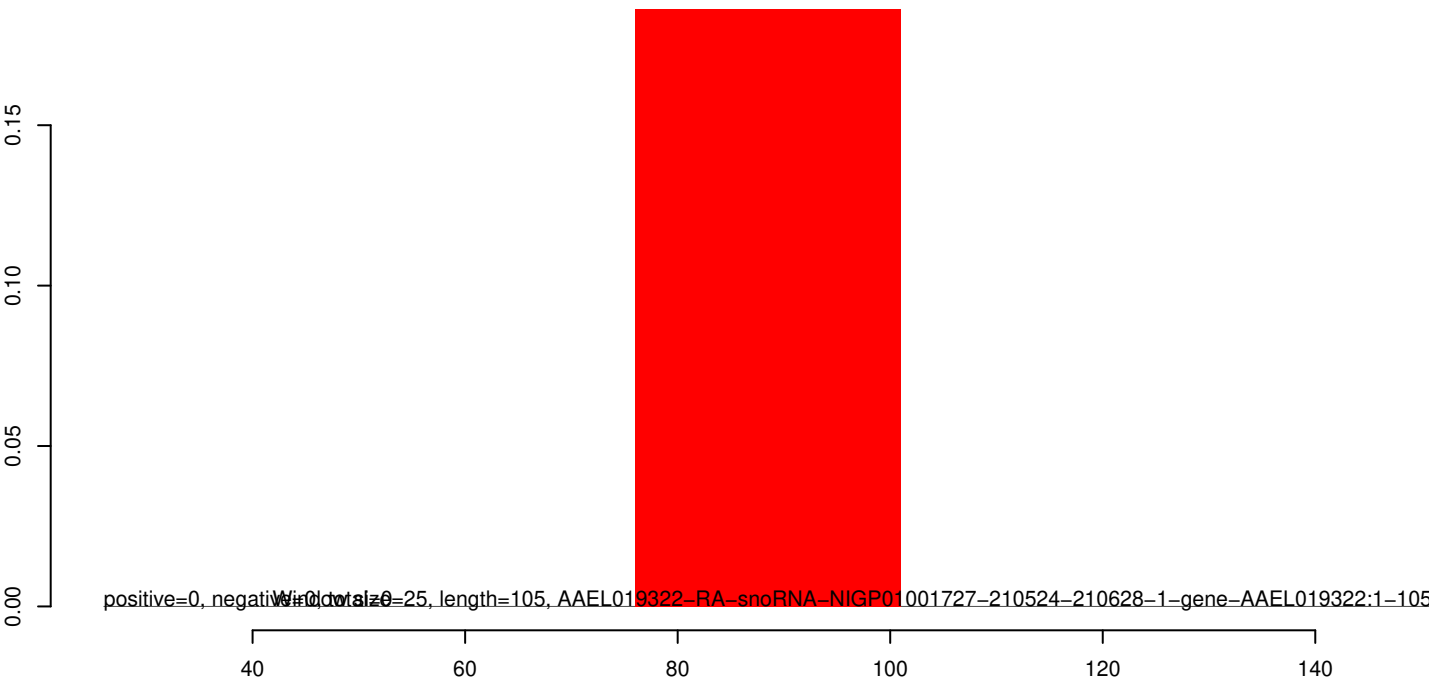
**AeAeg\_Whole\_ZIKVdr\_BM2\_GP.18\_23.rep**



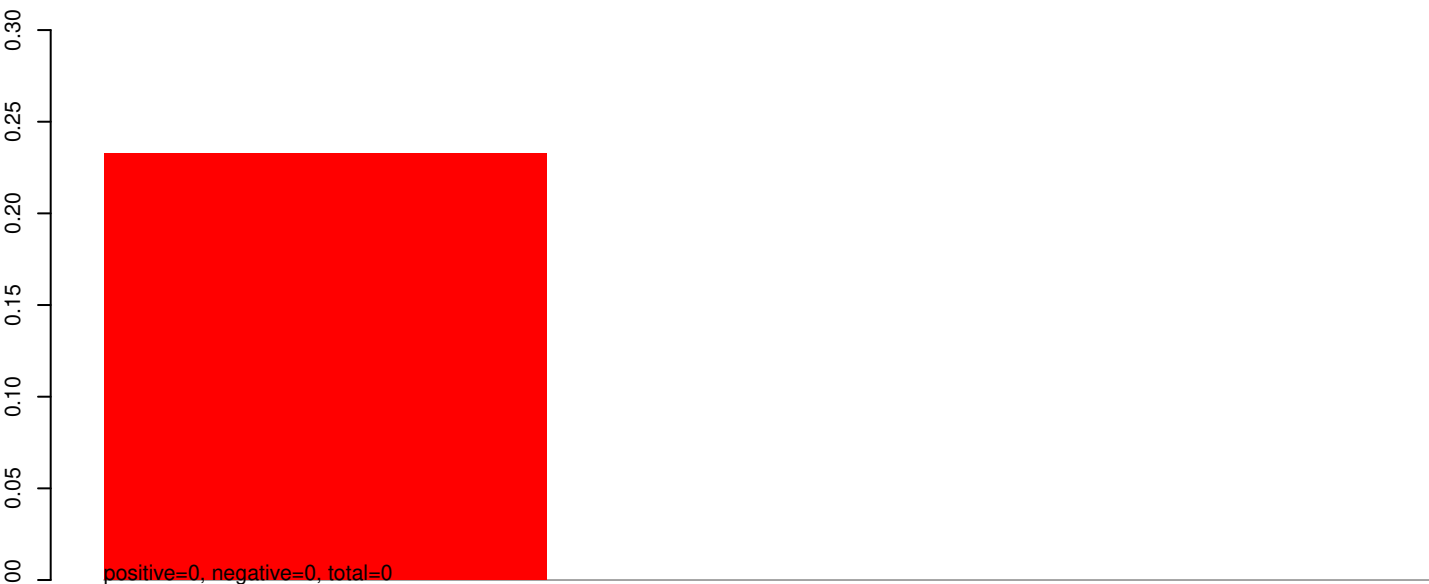
**AeAeg\_Whole\_ZIKVdr\_BM2\_GP.24\_35.rep**



**AeAeg\_Whole\_ZIKVdr\_BM2\_GP.rep**



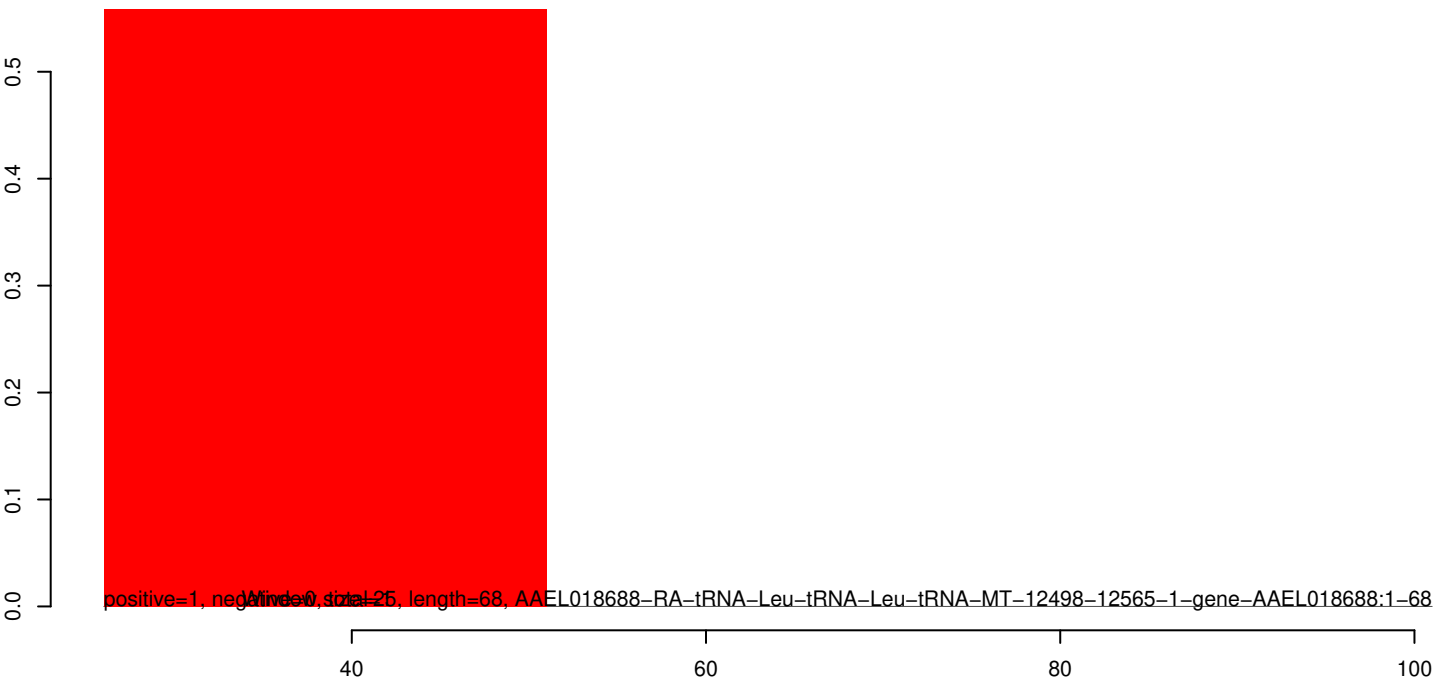
AeAeg\_Whole\_ZIKVdr\_BM2\_GP.18\_23.rep



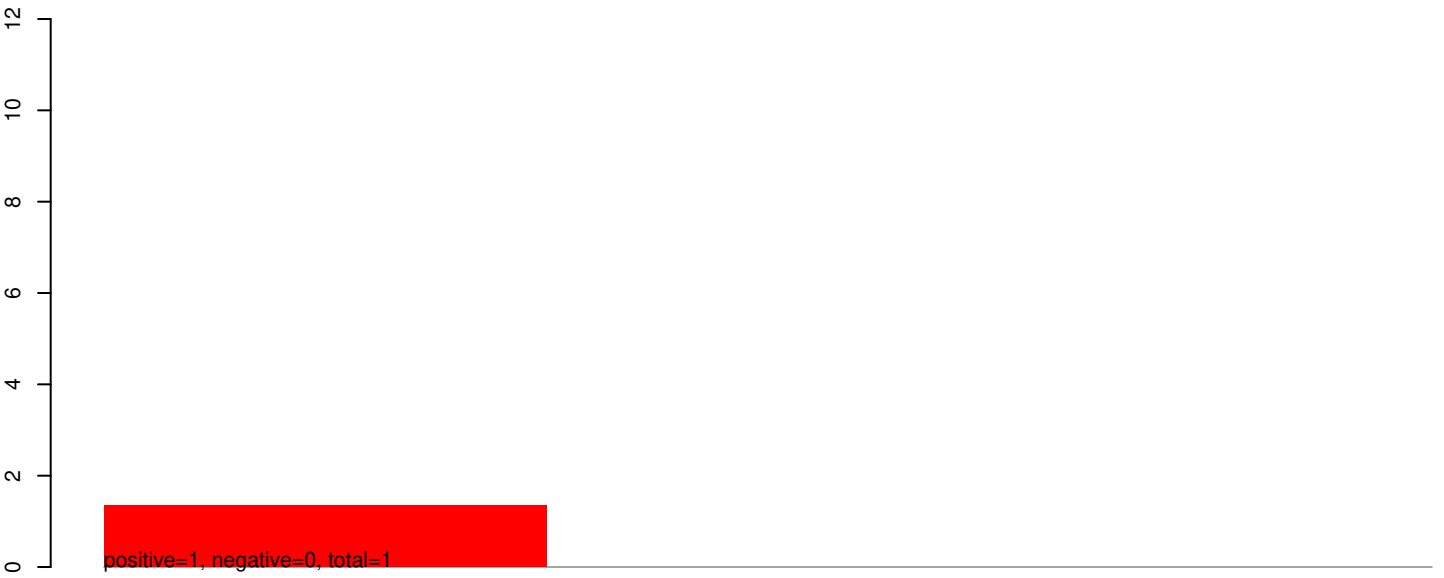
AeAeg\_Whole\_ZIKVdr\_BM2\_GP.24\_35.rep



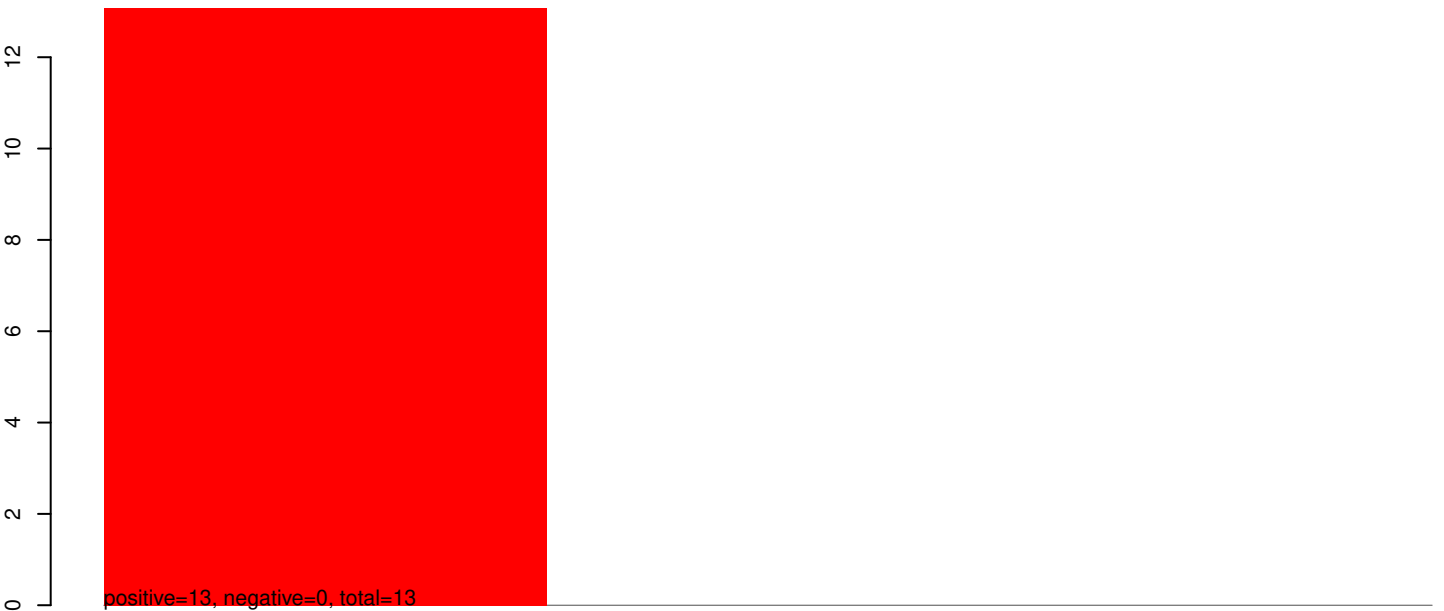
AeAeg\_Whole\_ZIKVdr\_BM2\_GP.rep



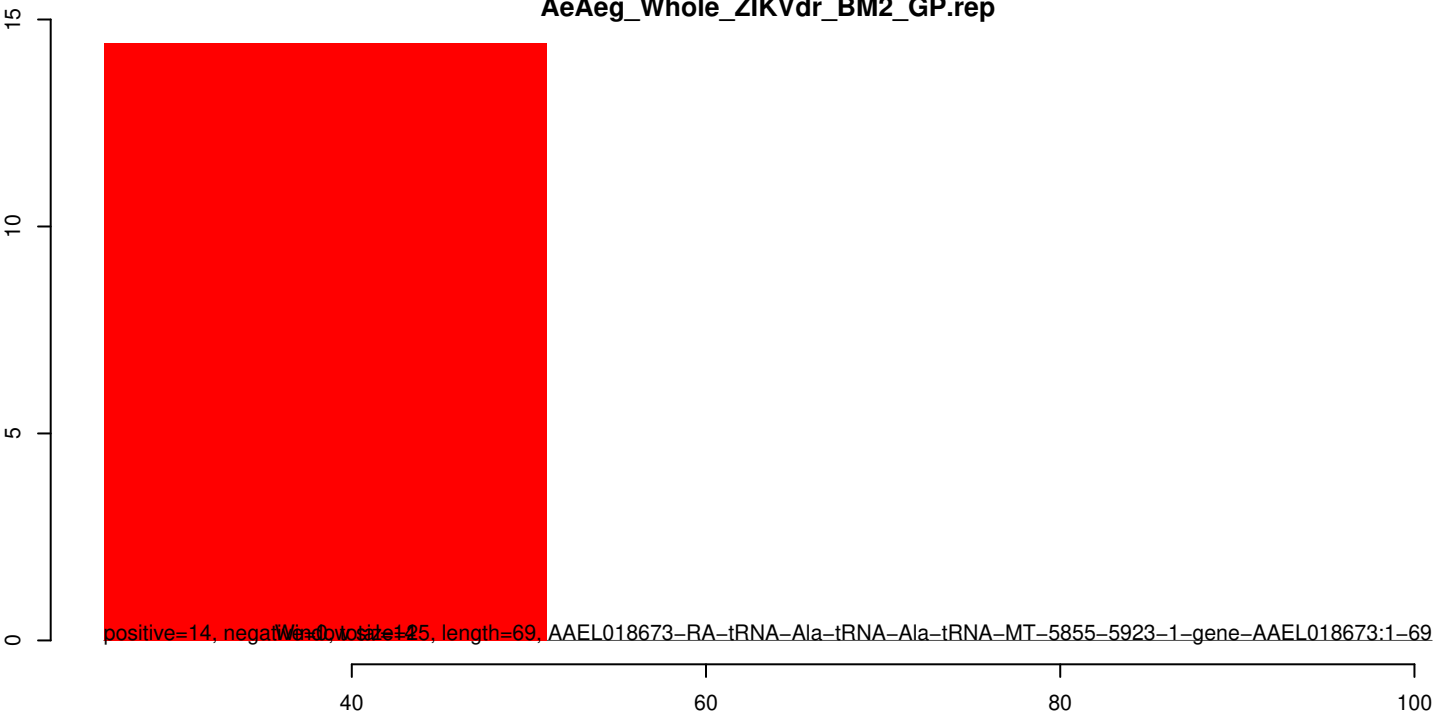
AeAeg\_Whole\_ZIKVdr\_BM2\_GP.18\_23.rep



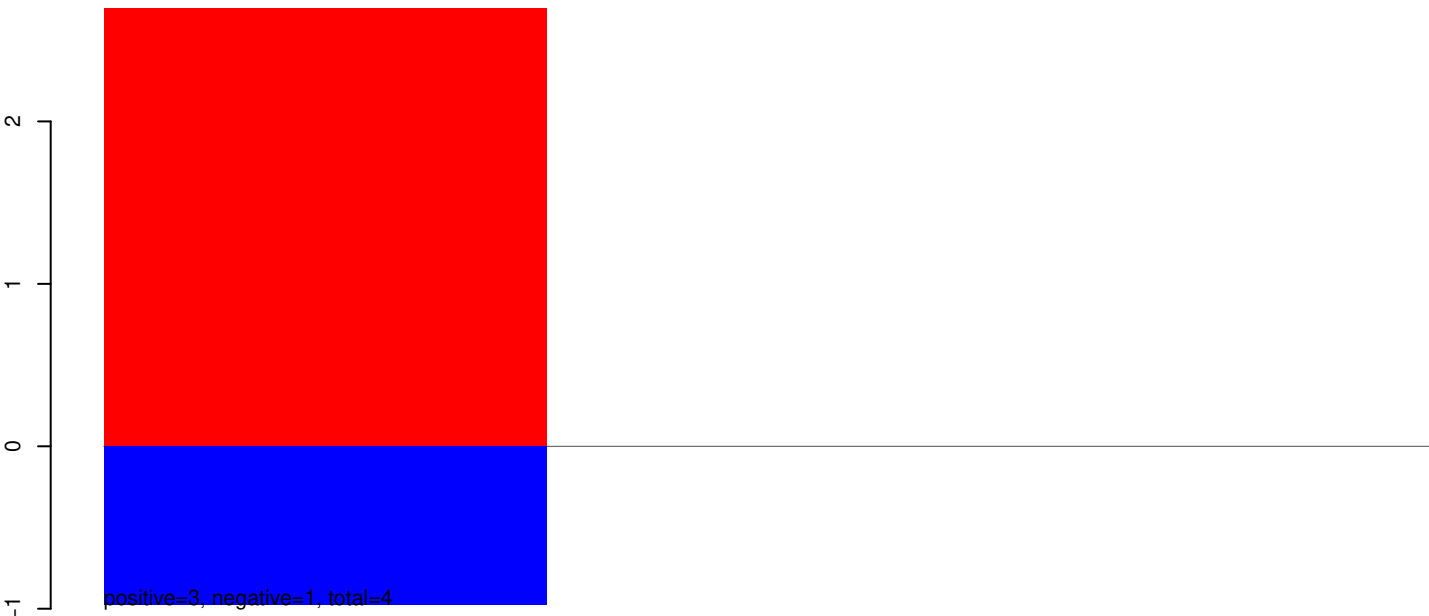
AeAeg\_Whole\_ZIKVdr\_BM2\_GP.24\_35.rep



AeAeg\_Whole\_ZIKVdr\_BM2\_GP.rep



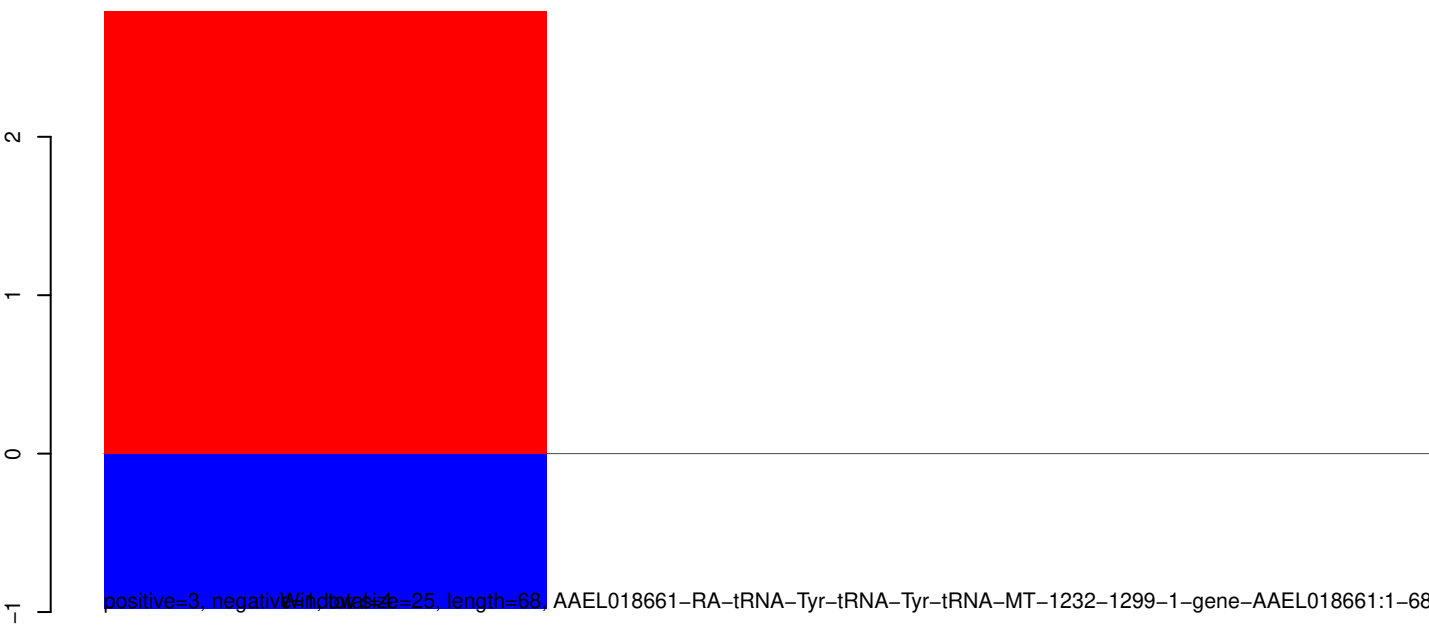
**AeAeg\_Whole\_ZIKVdr\_BM2\_GP.18\_23.rep**



**AeAeg\_Whole\_ZIKVdr\_BM2\_GP.24\_35.rep**



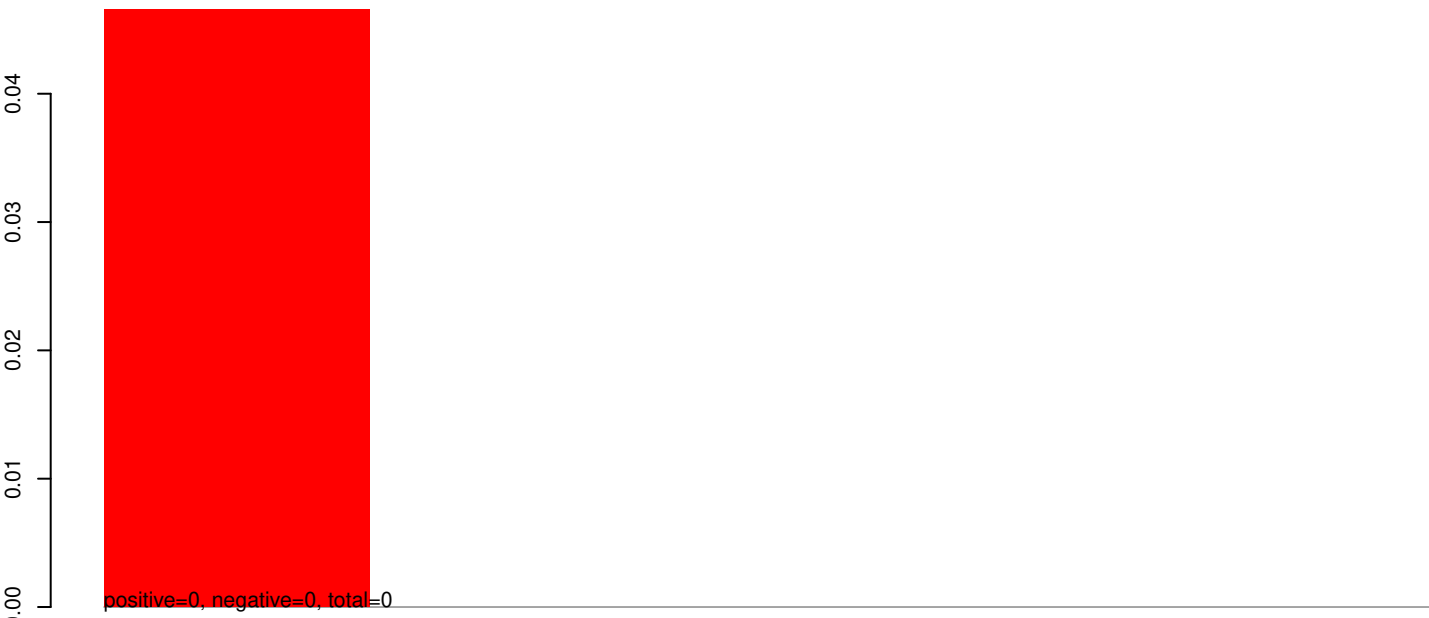
**AeAeg\_Whole\_ZIKVdr\_BM2\_GP.rep**



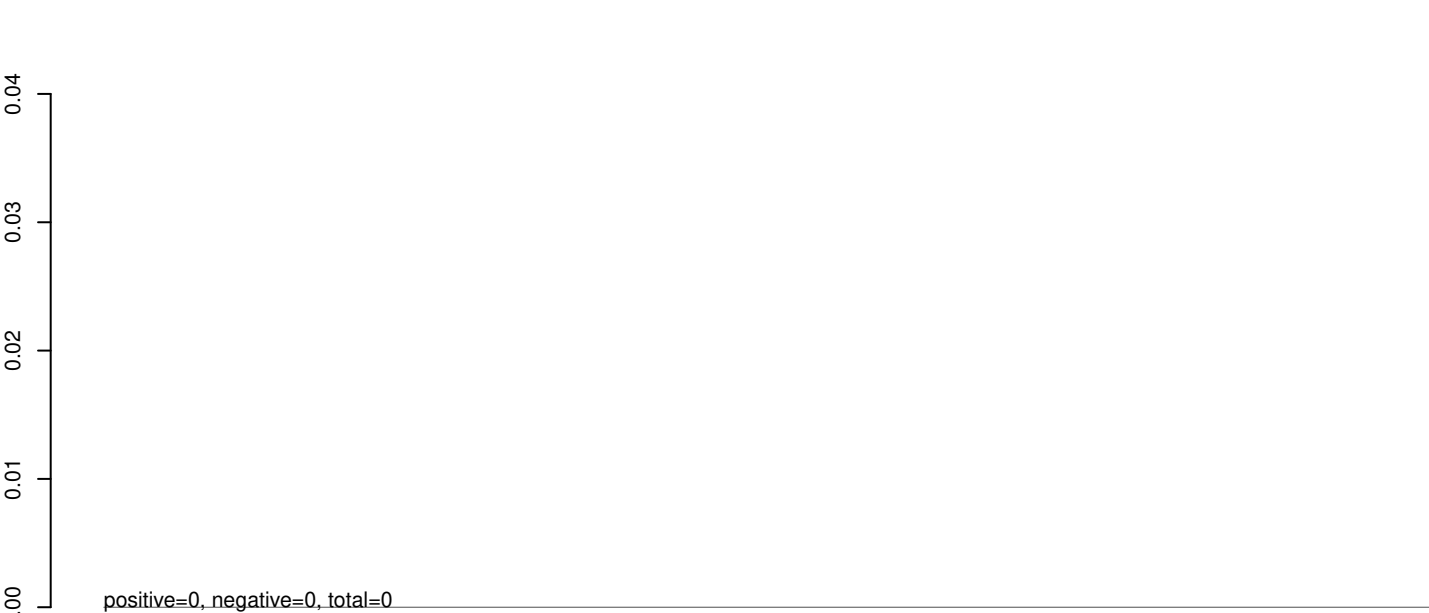
AAEL018661-RA-tRNA-Tyr-tRNA-Tyr-tRNA-MT-1232-1299-1-gene-AAEL018661:1-68

40 60 80 100

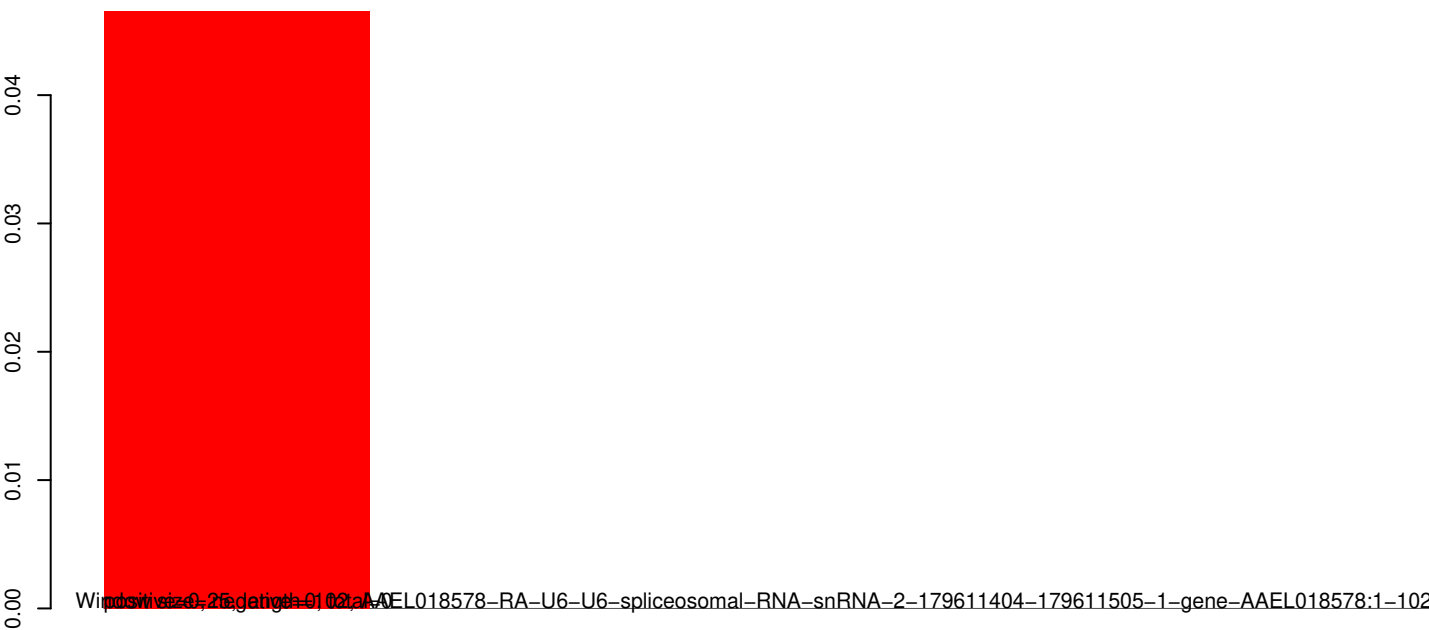
AeAeg\_Whole\_ZIKVdr\_BM2\_GP.18\_23.rep



AeAeg\_Whole\_ZIKVdr\_BM2\_GP.24\_35.rep



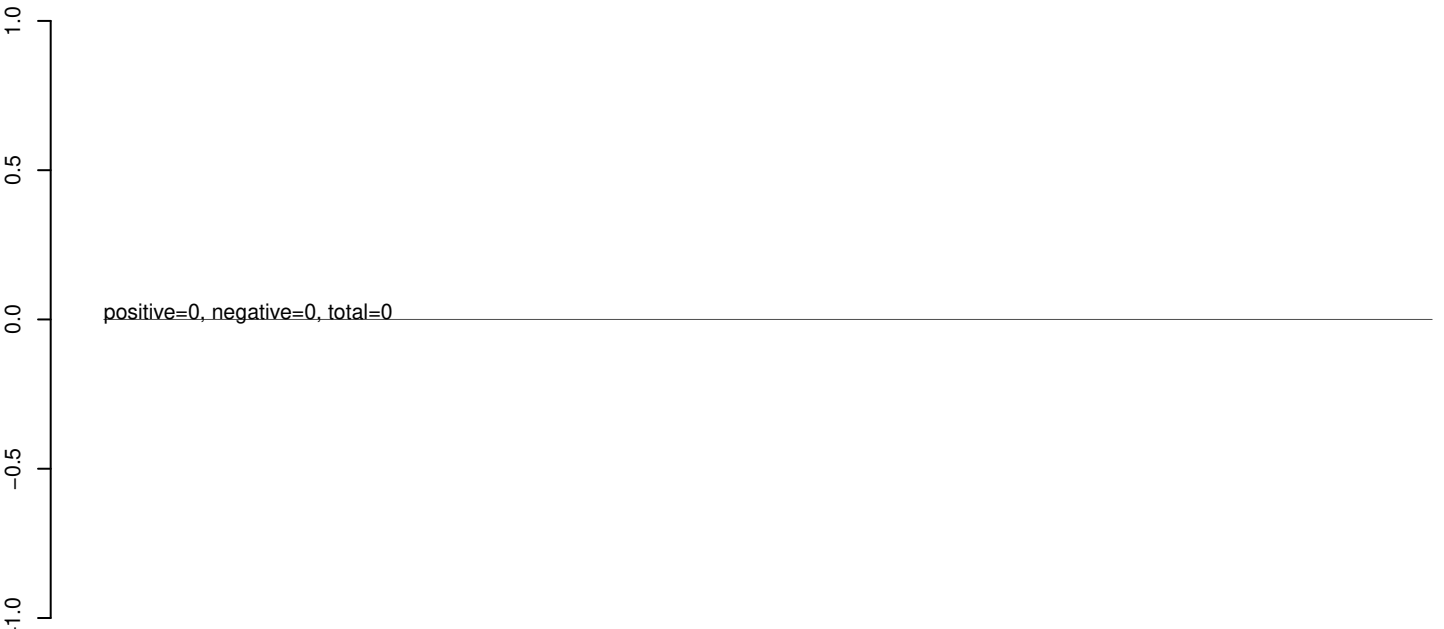
AeAeg\_Whole\_ZIKVdr\_BM2\_GP.rep



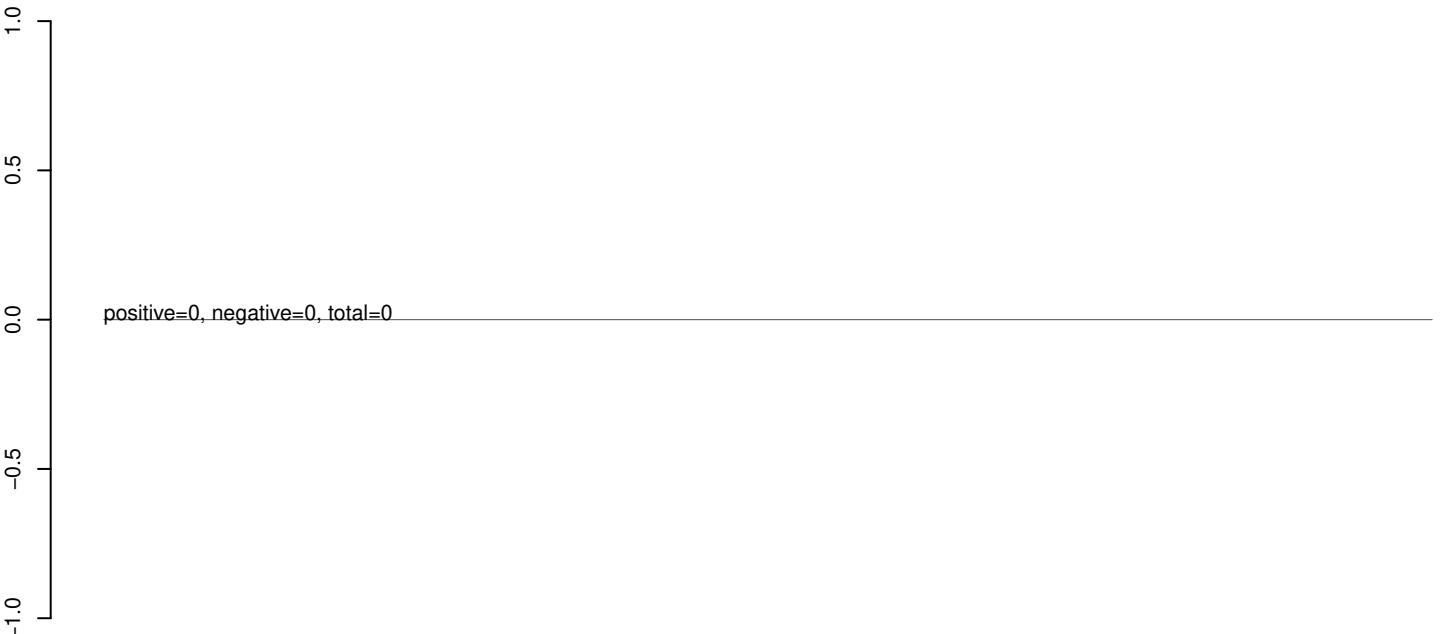
Window size=25, stride=1, gap=0, AAEL018578-RA-U6-U6-spliceosomal-RNA-snRNA-2-179611404-179611505-1-gene-AAEL018578:1-102

40 60 80 100 120 140

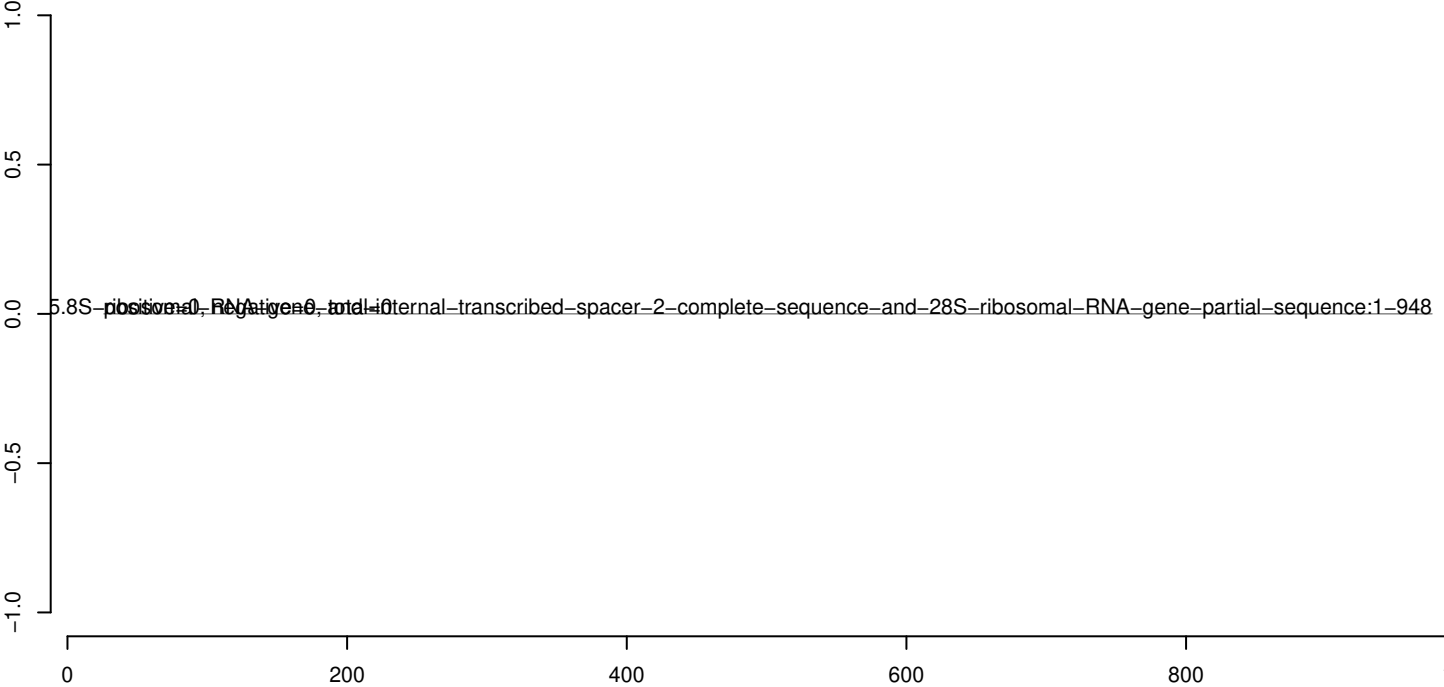
**AeAeg\_Whole\_ZIKVdr\_BM2\_GP.18\_23.rep**



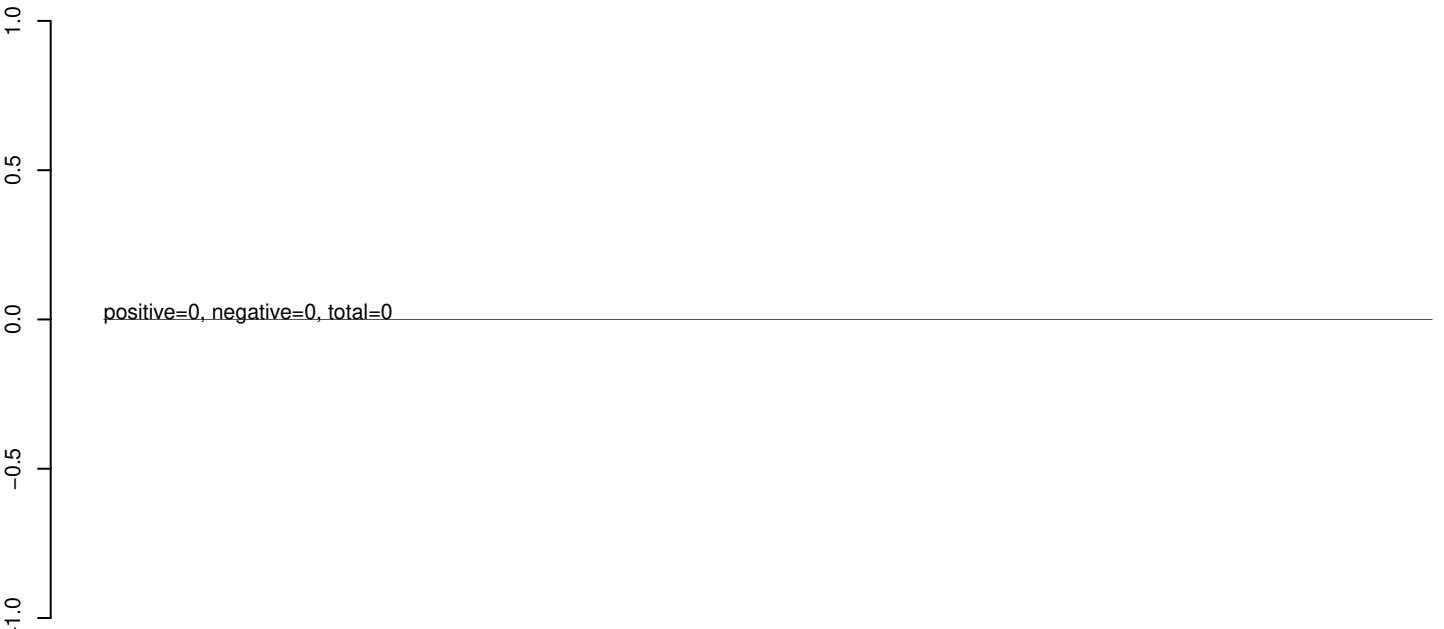
**AeAeg\_Whole\_ZIKVdr\_BM2\_GP.24\_35.rep**



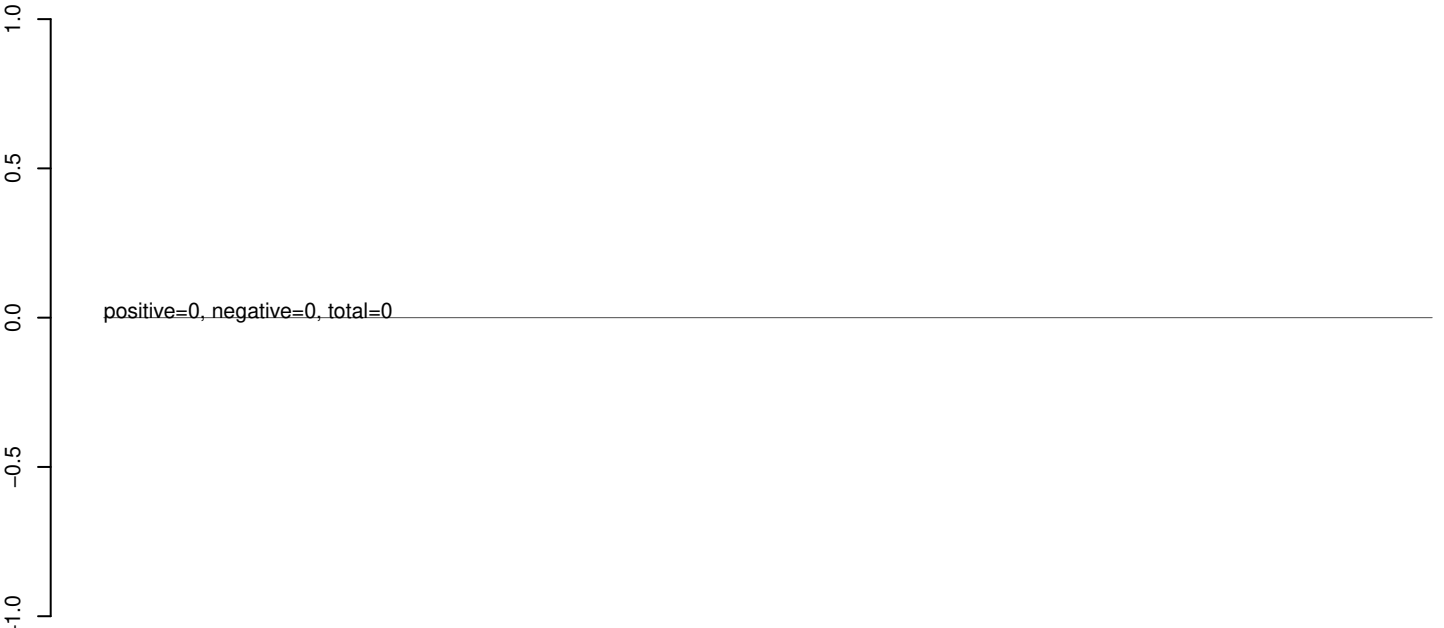
**AeAeg\_Whole\_ZIKVdr\_BM2\_GP.rep**



**AeAeg\_Whole\_ZIKVdr\_BM2\_GP.18\_23.rep**



**AeAeg\_Whole\_ZIKVdr\_BM2\_GP.24\_35.rep**



**AeAeg\_Whole\_ZIKVdr\_BM2\_GP.rep**

